

MARIN VLADA  
IOAN NISTOR  
ADRIAN POSEA  
CĂLIN CONSTANTINESCU

**GRAFICĂ  
PE CALCULATOR  
ÎN LIMBAJELE  
PASCAL ȘI C**

**Implementare și aplicații**

**volumul II: APLICAȚII**



EDITURA TEHNICĂ,





MARIN VLADA  
IOAN NISTOR

ADRIAN POSEA  
CĂLIN CONSTANTINESCU

# GRAFICĂ PE CALCULATOR ÎN LIMBAJELE PASCAL ȘI C

Implementare și aplicații

Volumul I

volumul II: APLICAȚII



EDITURA TEHNICĂ,  
BUCUREȘTI 1992

X-2010-12-270 NR21

ISBN 973-31-0408-8

ADRIAN POSEA  
IOAN NISTOR

Copyright © 1991, Editura Tehnică  
Toate drepturile asupra acestei ediții  
sînt rezervate editurii

MARIN ALADA  
IOAN NISTOR

Adresa: **Editura Tehnică**  
Piața Presei Libere, 1  
33 București, România  
cod 79738

Control științific:  
conf. dr. **HORIA GEORGESCU**,  
conf. dr. **OCTAVIAN BÂSCĂ**

Redactor:  
ing. **SILVIA CÂNDEA**

Coperta:  
**ADRIAN AVRAM**

Tehnoredactare computerizată:  
mat. **GHEORGHE SĂVULESCU**

Bun de tipar: 25.09.1991

Coli de tipar: 16,25

C.Z.: 76:681,3

Comanda nr. 411/1991

IMPRIMERIA "ARDEALUL" CLUJ



ISBN 973-31-0406-X

ISBN 973-31-0408-6

# CUPRINS GENERAL

## Volumul I

INTRODUCERE .....	1
1. GRAFICĂ ÎN LIMBAJUL C (DECUS) .....	9
2. GRAFICĂ ÎN LIMBAJUL PASCAL (OREGON) .....	61
3. GRAFICĂ ÎN LIMBAJUL TURBO PASCAL .....	87
4. INTERPOLAREA CURBELOR PLANE .....	173

## Volumul II

5. APLICAȚII ÎN TEORIA FRACTALILOR .....	1
6. APLICAȚII ÎN GEOMETRIA „TURTLE” .....	93
7. APLICAȚII ÎN TEORIA CURBELOR ȘI SUPRAFETELOR .....	135
8. TRASAREA INCREMENTALĂ A CURBELOR DE GRADUL ÎNTÎI ȘI DOI .....	169

# CUPRINS

## Volumul I

<b>CUVÎNT ÎNAINTE</b> .....	iii
<b>PREFAȚĂ</b> .....	iv
<b>CUPRINS GENERAL</b> .....	viii
<b>CUPRINS</b> .....	ix
<b>INTRODUCERE</b> .....	1
<b>1. GRAFICĂ ÎN LIMBAJUL C (DECUS)</b> .....	9
1.1. Utilizarea limbajului C (memento) .....	12
1.2. Exemple de programe scrise în C .....	14
1.3. O bibliotecă de grafică în C .....	26
1.3.1. Definirea sesiunii de desen .....	29
1.3.2. Trasări/Ștergeri .....	32
1.3.3. Desenarea textelor .....	34
1.3.4. Modul VT-100 .....	35
1.3.5. Funcții specializate .....	37
1.3.6. Exemple .....	40
1.3.7. Probleme propuse .....	53
1.3.8. Observații complementare .....	54
1.4. Bibliografie .....	59
<b>2. GRAFICĂ ÎN LIMBAJUL PASCAL (OREGON)</b> .....	61
2.1. Utilizarea limbajului PASCAL (memento) .....	65
2.2. Exemple de programe PASCAL .....	65



2.3. O bibliotecă de grafică în PASCAL .....	69
2.3.1. Definirea sesiunii de desen .....	71
2.3.2. Trasări/Ștergeri .....	74
2.3.3. Desenarea textelor .....	75
2.3.4. Modul VT-100 .....	76
2.3.5. Subrutine specializate .....	78
2.3.6. Exemple .....	80
2.3.7. Probleme propuse .....	84
2.3.8. Observații complementare .....	84
2.4. Bibliografie .....	85
<b>3. GRAFICĂ ÎN LIMBAJUL TURBO PASCAL .....</b>	<b>87</b>
3.1. Sistemul de operare MS-DOS .....	89
3.2. Mediul de programare TURBO PASCAL .....	91
3.2.1. Operarea în TURBO PASCAL .....	92
3.2.2. Memorator pentru utilizarea limbajului TURBO PASCAL .....	94
3.2.2.1. Declarații .....	94
3.2.2.2. Comenzi .....	103
3.2.3. Programe în limbajul TURBO PASCAL .....	108
3.3. Biblioteca grafică TURBO PASCAL .....	112
3.3.1. Prezentare generală .....	112
3.3.2. Definirea sesiunii de desen .....	113
3.3.2.1. Inițializarea unei sesiuni de desen .....	113
3.3.2.2. Detectarea erorilor .....	116
3.3.2.3. Coordonate .....	116
3.3.2.4. Fixare vizor(viewport). Decupare(clipping) ....	117
3.3.2.5. Punct curent .....	118
3.3.2.6. Scalarea și rotația .....	119
3.3.2.7. Fixarea culorii .....	120
3.3.2.8. Închiderea sesiunii de desen .....	122
3.3.3. Desenarea textelor .....	122
3.3.3.1. Setări pentru trasarea caracterelor .....	122
3.3.3.2. Trasarea unui text .....	123
3.3.3.3. Trasări numerice .....	123
3.3.4. Trasări .....	124
3.3.4.1. Trasări de segmente .....	124
3.3.4.2. Trasări de dreptunghiuri, poligoane, cercuri, arce de cerc și elipse .....	126
3.3.4.3. Hașuri .....	127
3.3.5. Rutine la nivel de pixel .....	129

3.3.6. Diverse .....	130
3.3.7. Ștergerea și copierea ecranului .....	131
3.3.8. Constante, tipuri de date și variabile definite în biblioteca grafică GRAPH.TPU .....	132
3.3.9. Program demonstrativ — Exemple de utilizare .....	136
3.3.10. Algoritmi și programe de grafică .....	150
3.4. Probleme propuse .....	166
3.5. Anexe .....	168
3.5.1. Lista comenzilor MS-DOS V4.0 .....	168
3.5.2. Cuvinte rezervate în TURBO PASCAL versiunea 5.5 .....	170
3.5.3. Proceduri și funcții în biblioteca grafică GRAPH.TPU .....	171
3.6. Bibliografie .....	172
<b>4. INTERPOLAREA CURBELOR PLANE .....</b>	<b>173</b>
4.1. Interpolarea cu funcții spline cubice .....	176
4.2. Interpretarea fizică a interpolării cu funcții spline ..	180
4.3. Considerații de implementare .....	181
4.4. Determinarea analitică a parametrilor curbei .....	183
4.5. Calculul numeric al parametrilor curbei .....	186
4.6. Interpolare cu un număr redus de puncte .....	190
4.7. Trasarea curbelor plane definite parametric .....	196
4.8. Algoritm de trasare eficientă .....	201
4.9. Bibliografie .....	209
<b>Volumul II</b>	
<b>CUPRINS GENERAL .....</b>	<b>III</b>
<b>CUPRINS .....</b>	<b>IV</b>
<b>5. APLICAȚII ÎN TEORIA FRACTALILOR .....</b>	<b>1</b>
5.1. Introducere .....	3
5.2. Aproximații de fractali .....	6

5.2.1. Aproximarea mulțimilor compacte .....	7
5.3. Mulțimile JULIA și proprietățile lor .....	10
5.3.1. Proprietăți fundamentale ale mulțimii JULIA .....	11
5.3.2. Metoda BSM (Boundary Scanning Method) pentru reprezentarea grafică a mulțimilor JULIA .....	13
5.4. Mulțimea lui MANDELBROT .....	17
5.4.1. Proprietăți fundamentale ale mulțimii MANDELBROT .....	17
5.4.2. Clasificarea lui SULLIVAN a structurilor de mulțimi JULIA .....	19
5.4.3. Generarea pe calculator a mulțimii MANDELBROT .....	19
5.5. Mulțimi de secțiune .....	20
5.6. Proceduri și programe grafice .....	25
5.6.1. Desenarea mulțimilor JULIA .....	26
5.6.2. Desenarea mulțimilor MANDELBROT .....	29
5.6.3. Desenarea mulțimilor de secțiune .....	31
5.7. Pachetul de programe FRACTALI .....	32
5.7.1. Prezentare generală .....	32
5.7.2. Procedura de comenzi indirecte FRACTALI.cmd .....	35
5.7.3. Programe sursă .....	37
5.7.4. Biblioteca grafică GRAF.olb .....	67
5.8. Reprezentarea fractalilor în TURBO-PASCAL .....	81
5.9. Anexă .....	86
5.10. Bibliografie .....	92
<b>6. APLICAȚII ÎN GEOMETRIA „TURTLE” .....</b>	<b>93</b>
6.1. Introducere .....	95
6.2. Grafica TURTLE în limbajul PASCAL .....	99
6.2.1. Biblioteca TURTLE.pas .....	101
6.2.2. Aplicații .....	106
6.2.3. Probleme propuse .....	126
6.3. Grafica TURTLE în limbajul C .....	127
6.3.1. Biblioteca TURTLE.c .....	127
6.3.2. Aplicații .....	127
6.3.3. Probleme propuse .....	133
6.4. Bibliografie .....	133

**7. APLICAȚII ÎN TEORIA CURBELOR ȘI SUPRAFETELOR .. 135**

7.1. Curbe date de ecuații explicite .....	138
7.2. Curbe date de ecuații parametrice .....	143
7.3. Curbe date de ecuații polare .....	153
7.4. Curbe și suprafețe în spațiu .....	160
7.5. Probleme propuse .....	167
7.6. Bibliografie .....	168

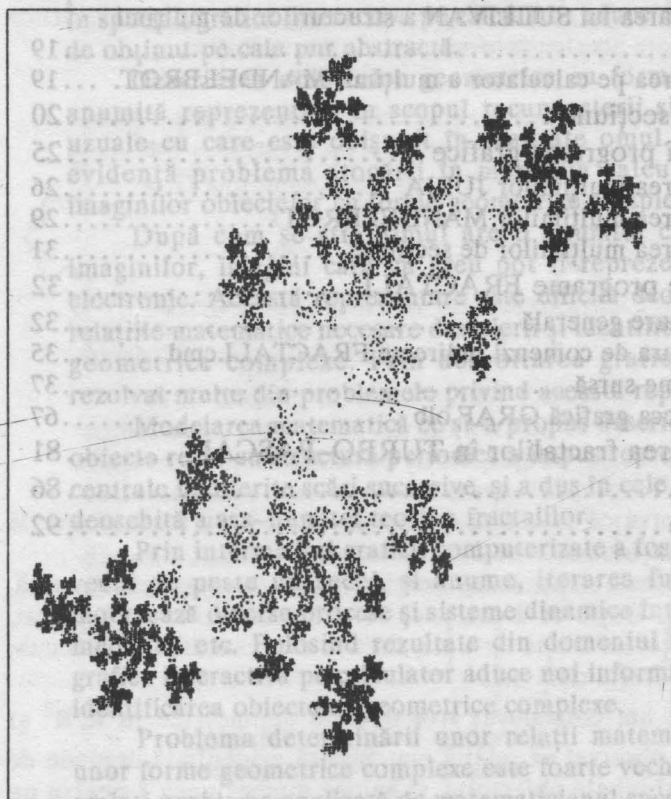
**8. TRASAREA INCREMENTALĂ A CURBELOR  
DE GRADUL ÎNTÎI ȘI DOI ..... 169**

8.1. Generalități .....	172
8.2. Generarea incrementală a liniilor drepte .....	175
8.2.1. Cazuri speciale, optimizări .....	179
8.3. Generarea incrementală a cercurilor .....	180
8.3.1. Analiza algoritmului de generare în primul octant .....	182
8.3.2. Formule de recurență pentru octanții 2, 3 și 4 .....	189
8.3.3. Chestiuni de frontieră .....	192
8.3.3.1. Traversarea primei bisectoare a axelor .....	192
8.3.3.2. Traversarea axei $O_y$ .....	197
8.3.3.3. Trecerea din octantul 3 în octantul 4 .....	198
8.3.4. Descrierea algoritmului de generare incrementală a cercurilor .....	200
8.3.5. Generarea cercurilor cu coordonatele centrului și raza semîntregi .....	205
8.3.6. Numărul de puncte generate .....	209
8.4. Generarea incrementală a curbelor de gradul 2 .....	213
8.4.1. Cîteva aspecte teoretice .....	213
8.4.2. Ipoteze de lucru .....	219
8.4.3. Deducerea metodei de generare incrementală .....	221
8.4.4. Relații de recurență. Bucla principală a algoritmului de generare .....	224
8.4.5. Trasarea unui arc de curbă .....	231
8.4.6. Trasarea curbei generale de gradul doi .....	235
8.4.7. Curbe degenerare .....	244
8.4.8. Considerații de implementare .....	248
8.5. Concluzii .....	249
8.6. Bibliografie .....	249



# APLICAȚII ÎN TEORIA FRACTALILOR

## Haos și fractali



## 7. APLICAȚII ÎN TEORIA CURBELOR ȘI SUPRAFETELOR .. 135

## 7.1. Curbe date de ecuații explicite ..... 135

**5. APLICAȚII ÎN TEORIA FRACTALILOR ..... 1**

## 5.1. Introducere ..... 3

## 5.2. Aproximații de fractali ..... 6

## 5.2.1. Aproximarea mulțimilor compacte ..... 7

## 5.3. Mulțimile JULIA și proprietățile lor ..... 10

## 5.3.1. Proprietăți fundamentale ale mulțimii JULIA ..... 11

5.3.2. Metoda BSM (Boundary Scanning Method) pentru  
reprezentarea grafică a mulțimilor JULIA ..... 13

## 5.4. Mulțimea lui MANDELBROT ..... 17

5.4.1. Proprietăți fundamentale ale mulțimii  
MANDELBROT ..... 175.4.2. Clasificarea lui SULLIVAN a structurilor de mulțimi  
JULIA ..... 19

## 5.4.3. Generarea pe calculator a mulțimii MANDELBROT. ... 19

## 5.5. Mulțimi de secțiune ..... 20

## 5.6. Proceduri și programe grafice ..... 25

## 5.6.1. Desenarea mulțimilor JULIA ..... 26

## 5.6.2. Desenarea mulțimilor MANDELBROT ..... 29

## 5.6.3. Desenarea mulțimilor de secțiune ..... 31

## 5.7. Pachetul de programe FRACTALI ..... 32

## 5.7.1. Prezentare generală ..... 32

## 5.7.2. Procedura de comenzi indirecte FRACTALI.cmd ..... 35

## 5.7.3. Programe sursă ..... 37

## 5.7.4. Biblioteca grafică GRAF.olb ..... 67

## 5.8. Reprezentarea fractalilor în TURBO-PASCAL ..... 81

## 5.9. Anexă ..... 86

## 5.10. Bibliografie ..... 92

## 8.4.2. Ipoteze de lucru ..... 219

## 8.4.3. Deducerea metodei de generare ..... 220

8.4.4. Relația de recurență. Bucle primare  
algoritmului de generare ..... 221

## 8.4.5. Trasarea unui arc de curbă ..... 231

## 8.4.6. Trasarea curbei generate de generatoarele ..... 235

## 8.4.7. Curbe degenerare ..... 244

## 8.4.8. Considerații de implementare ..... 248

## 8.5. Concluzii ..... 249

## 8.6. Bibliografie ..... 249

## 5.1. Introducere

În contextul revoluției actuale a informaticii, calculatorul se recomandă ca un instrument valoros în activitatea de cercetare și în particular în cercetarea matematică cu aplicabilitate în știință și tehnică. În special, grafica interactivă pe calculator aduce noi informații mai dificil de obținut pe cale pur abstractă.

Descrierea obiectelor geometrice cu forme complexe necesită o anumită reprezentare în scopul recunoașterii și identificării formelor uzuale cu care este obișnuit în realitate omul. Acest lucru a scos în evidență problema stocării în memoria calculatorului electronic a imaginilor obiectelor cu forme geometrice complexe.

După cum se știe, omul are o anumită capacitate de analiză a imaginilor, imagini care cu greu pot fi reprezentate pe un calculator electronic. Această reprezentare este dificilă deoarece trebuie precizate relațiile matematice necesare descrierii și identificării obiectelor cu forme geometrice complexe. Prin dezvoltarea graficii computerizate s-au rezolvat multe din problemele privind această reprezentare.

Modelarea matematică ce și-a propus descrierea unor fenomene sau obiecte reale cu structură periodică a impus reprezentarea unor elemente centrale la diferite scări succesive, și a dus în cele din urmă la dezvoltarea deosebită a așa-numitei teorii a fractalilor.

Prin intermediul graficii computerizate a fost revitalizat un domeniu vechi de peste un secol, și anume, iterarea funcțiilor complexe care modelează diverse procese și sisteme dinamice întâlnite în fizică, biologie, medicină etc. Folosind rezultate din domeniul științei calculatoarelor, grafica interactivă pe calculator aduce noi informații privind descrierea și identificarea obiectelor geometrice complexe.

Problema determinării unor relații matematice pentru descrierea unor forme geometrice complexe este foarte veche. Ca exemplu, se poate aminti problema analizată de matematicianul suedez HERGÉ von KOCH care în anul 1904 a enunțat următoarea construcție geometrică (forma geometrică cunoscută sub numele de „curba lui KOCH” cu proprietatea

că are o lungime infinită și delimitează o suprafață de arie finită):

- se pleacă de la un triunghi echilateral cu latura avînd o lungime finită;
- fiecare latură se împarte în 3 părți egale, segmentul din mijloc se elimină și se înlocuiește cu un unghi ale cărui laturi sînt formate din două segmente de lungime egală cu segmentul eliminat;
- pentru fiecare segment al figurii obținute se repetă operația anterioară;
- dacă se repetă acest proces, se obține o linie poligonală închisă cu latura de lungime din ce în ce mai mică.

Se poate observa că după fiecare iterație lungimea curbei crește, la limită aceasta tinde la infinit, dar suprafața delimitată de această linie poligonală are arie finită (vezi fig. 5-1).

Construcția este perfect regulată și după fiecare trecere de la un nivel la altul, numărul de unghiuri crește, de asemenea numărul de laturi ale liniei poligonale și lungimea totală a curbei cresc, dar lungimile laturilor se micșorează și toate acestea într-un raport constant.

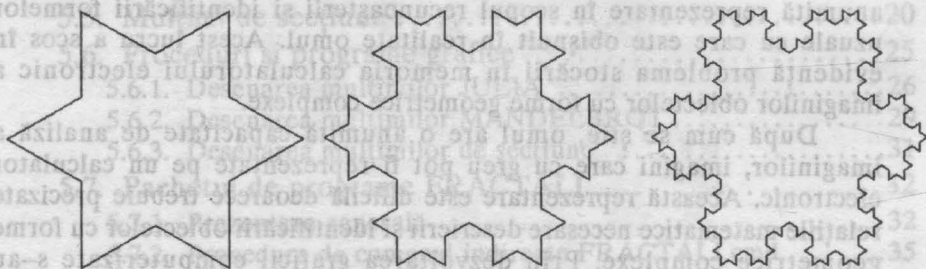


Figura 5-1.

Se poate observa că un astfel de raport există între toate obiectele geometrice de aceeași formă cînd dimensiunile lor cresc.

De exemplu, dacă se dublează lungimea unui segment de dreaptă, atunci lungimea lui crește de 2 ori, dacă se dublează latura unui pătrat, atunci aria suprafeței lui crește de 4 ori, dacă se dublează latura unui cub, atunci volumul lui crește de 8 ori.

Prin urmare, am considerat trei obiecte geometrice în  $\mathbb{R}$ ,  $\mathbb{R}^2$  și respectiv  $\mathbb{R}^3$  și am observat că relația matematică evidențiată depinde de numărul de dimensiuni ale obiectului, și anume dimensiunea 1 pentru un segment de dreaptă din  $\mathbb{R}$ , dimensiunea 2 pentru o suprafață din  $\mathbb{R}^2$  și dimensiunea 3 pentru un corp din  $\mathbb{R}^3$ .

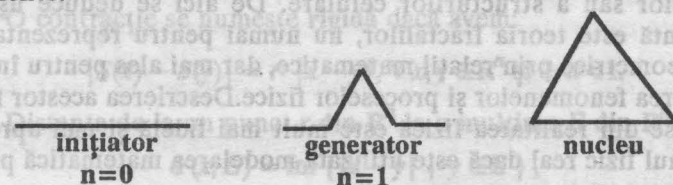


Pentru curba lui KOCH să notăm cu  $l(n)$ ,  $n=0,1,2,\dots$  lungimea curbei la iterația  $n$ . Dacă  $p = l(0)$  reprezintă perimetrul triunghiului echilateral și făcând observația că în procesul de construcție fiecare latură se împarte în 3 părți egale și se transformă într-o linie formată din 4 segmente, atunci, evident, avem:

$$l(n) = p \left(\frac{4}{3}\right)^n, n = 0, 1, 2, \dots$$

$$\lim_{n \rightarrow \infty} l(n) = \infty$$

Pentru realizarea construcției geometrice, se disting următoarele elemente:

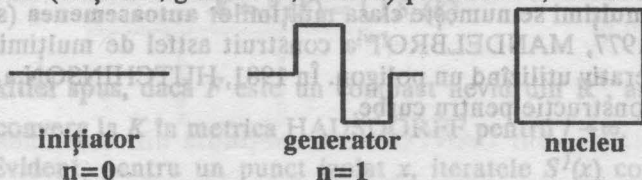


- $s$  = factorul de scară,
- $t$  = factorul de descompunere
- $D$  = dimensiunea fractală, unde

$$\left(\frac{1}{s}\right)^D = t \Leftrightarrow D = \frac{\lg t}{\lg (1/s)}$$

Pentru cazul particular prezentat, avem  $s = 1/3$ ,  $t = 4$  și dimensiunea fractală  $D = \frac{\lg 4}{\lg 3} = 1,2619$

Prin urmare, în cazul curbei KOCH prezentat mai sus, lungimea curbei se mărește după fiecare iterație de  $\frac{4}{3}$  ori, avînd o lege proprie de creștere, determinată de principiul de construcție. Forma geometrică obținută este o construcție geometrică cuprinsă între o curbă și o suprafață a căreia  $i$  se poate asocia numărul fracționar  $\lg 4 / \lg 3$  ce reprezintă dimensiunea fractală. Pentru alte construcții geometrice, cele trei elemente (inițiator, generator, nucleu) pot fi altfel, de exemplu:



unde:

$$s = \frac{1}{4}, \quad t = 8, \quad D = \frac{\lg 8}{\lg 4} = 1,5$$

și astfel se va obține o altă construcție geometrică.

Noțiunea de dimensiune fractală a fost introdusă în anul 1919 de matematicianul HAUSDORFF. Pornind de la această modelare matematică s-au putut reprezenta matematic forme geometrice deosebit de complexe. Deoarece, în reprezentarea fractală forma obiectului se obține printr-o repetare a unui nucleu central, memoria utilizată de calculator pentru stocarea imaginilor respective este deosebit de redusă, în schimb sînt disponibile relațiile matematice cu care se poate recunoaște un obiect sub diferite forme. De exemplu, spațiul de memorie necesar pentru unele reprezentări poate fi de 100, 1000,... ori mai mic.

Viața însăși, sub diferitele ei forme este generată pe baza informațiilor genetice conținute în nucleu prin repetarea la diferite scări a celulelor sau a structurilor celulare. De aici se deduce ușor cît de importantă este teoria fractalilor, nu numai pentru reprezentarea unor forme geometrice prin relații matematice, dar mai ales pentru înțelegerea și studierea fenomenelor și proceselor fizice. Descrierea acestor fenomene și procese din realitatea fizică este mult mai fidelă și mai apropiată de fenomenul fizic real dacă este utilizată modelarea matematică prin teoria fractalilor.

Studii și rezultate importante s-au obținut în domeniul sistemelor dinamice prin contribuții de excepție referitoare la procese de forma:

$$Z_{n+1} = f(Z_n), Z_0 \text{ dat și}$$

$$Z_n \in \mathbb{C} \text{ (planul complex)}$$

Contribuții importante în acest domeniu au fost aduse de GASTON JULIA ( 1893 – 1978 ) și PIERRE FATOU ( 1878 – 1929 ), BENOIT B. MANDELBROT, DENNIS SULLIVAN, ANDRIEN DOUAY, ROBERT L. DEVANEY și JOHN HAMAL HUBBARD, HERMANN WEYL și CARL LUDWIG SIEGEL.

## 5.2. Aproximații de fractali

O clasă specială de fractali este dată de fractalii obținuți prin construcție matematică și prin utilizarea graficii computerizate. Această clasă de mulțimi se numește clasa mulțimilor autoasemenea (similare).

În 1977, MANDELBROT a construit astfel de mulțimi pentru un proces iterativ utilizînd un poligon. În 1981, HUTCHINSON a generalizat această construcție pentru curbe.

### 5.2.1. Aproximarea mulțimilor compacte

În  $\mathbb{R}^n$  se consideră o contracție  $S$ , adică

$$|S(x) - S(y)| \leq c |x - y|, \forall x, y \in \mathbb{R}^n, 0 < c < 1.$$

Valoarea minimă pentru  $c$  care verifică inegalitatea amintită se numește **rația contracției**. O mulțime compactă  $E \subset \mathbb{R}^n$  este invariantă pentru o mulțime finită de contracții din  $\mathbb{R}^n$ ,  $S^* = \{S_1, S_2, \dots, S_m\}$  dacă avem:

$$E = \bigcup_{i=1}^m S_i(E)$$

O contracție se numește **rigidă** dacă avem:

$$|S(x) - S(y)| = r \cdot |x - y|, \forall x, y \in \mathbb{R}^n \text{ și } 0 < r < 1.$$

Distanța de la un punct  $x$  din  $\mathbb{R}^n$  la o mulțime  $E$  din  $\mathbb{R}^n$  este dată de

$$d(x, E) = \inf \{|x - y| \mid y \in E\},$$

iar metrica HAUSDORFF  $\delta$  între două mulțimi nevide din  $\mathbb{R}^n$  este dată de

$$\delta(E, F) = \sup \{d(x, F), d(y, E) \mid x \in E, y \in F\}.$$

Spațiul tuturor mulțimilor compacte din  $\mathbb{R}^n$  este un spațiu metric  $H$  cu metrica  $\delta$ . Fie aplicația:

$$S: E \rightarrow \bigcup_{i=1}^m S_i(E)$$

ce reprezintă o contracție a lui  $H$ . Punctul fix al lui  $S$ , notat  $K$  este o mulțime invariantă pentru mulțimea de contracții  $\{S_i \mid i = \overline{1, m}\}$ . Familia  $\{S_i \mid i = \overline{1, m}\}$  se numește familia generatoare pentru mulțimea  $K$ .

**Teoremă:** Fie  $S^* = \{S_1, S_2, \dots, S_m\}$  o familie finită de contracții din  $\mathbb{R}^n$ ; atunci există o unică mulțime compactă  $K$  astfel că avem:

$$K = S(K) = \bigcup_{i=1}^m S_i(K)$$

Altfel spus, dacă  $F$  este un compact nevid din  $\mathbb{R}^n$ , atunci iteratele  $S^j(F)$  converg la  $K$  în metrica HAUSDORFF pentru  $j \rightarrow \infty$ .

Evident, pentru un punct izolat  $x$ , iteratele  $S^j(x)$  converg la  $K$  în metrica HAUSDORFF și  $S^j(x)$  are cel mult  $m^j$  elemente. În practică, trebuie găsită familia de contracții care generează pe  $K$  și trebuie să se reprezinte grafic  $K$  prin plotarea iteratelor  $S^j(x)$  de la un moment dat (de

exemplu, de la iterata 1000). Problema complicată este cum să se determine contracțiile care generează pe  $K$ .

Dacă mulțimea  $K$  este invariantă pentru familia de contracții  $\{S_i | i=1, n\}$ , iar  $\{r_i | i=1, n\}$  reprezintă mulțimea rațiilor acestor contracții, atunci dimensiunea de autoasemănare (similitudine) a lui  $K$  este unicul număr pozitiv  $s$  astfel ca

$$\sum_{i=1}^n r_i^s = 1$$

Dacă  $H^s(S_i(E) \cap S_j(E)) = 0$ ,  $i \neq j$ , atunci  $K$  se numește mulțime autoasemenea, unde  $H^s$  este  $s$ -măsura HAUSDORFF. Autoasemănarea reprezintă compunerea dintre o translație și o omotetie.

Dacă  $E \subset \mathbb{R}^n$  și  $E \subset \bigcup_{i=1}^{\infty} U_i$ , unde  $0 < |U_i| < \delta$ ,  $\forall i=1, 2, 3, \dots$  vom spune că familia  $\{U_i | i=1, 2, \dots\}$  este  $\delta$ -acoperirea lui  $E$ , unde  $\delta > 0$ .

Pentru  $\delta > 0$ , se definește

$$H^s(E) = \inf \sum_{i=1}^{\infty} |U_i|^s,$$

unde infimumul se consideră pentru orice  $\delta$ -acoperire  $\{U_i | i=1, 2, \dots\}$  a lui  $E$ . Am notat prin  $|U|$  diametrul lui  $U$ , adică

$$|U| = \sup \{ |x - y| \mid x, y \in U \}.$$

Se definește  $s$ -măsura HAUSDORFF a lui  $E$ , numărul

$$H(E) = \lim_{\delta \rightarrow 0} H^s(E)$$

Dimensiunea HAUSDORFF a lui  $E$  se definește prin numărul

$$\dim(E) = \inf \{s \mid H^s(E) = 0\}.$$

**Teoremă:** Dacă  $K$  este mulțime autoasemenea, atunci dimensiunea HAUSDORFF a lui  $K$  este identică cu dimensiunea de autoasemănare a lui  $K$ .

### Exemplul 1:

Mulțimea lui CANTOR este obținută din mulțimea compactă invariantă pentru contracțiile  $\{S_1, S_2\}$ , unde  $S_1(x) = \frac{x}{3}$ ,  $S_2(x) = \frac{x+2}{3}$ .

Evident, rațiile acestor contracții sînt  $r_1 = r_2 = \frac{1}{3}$  și astfel dimensiunea de asemănare  $s$  verifică relația  $2(\frac{1}{3})^s = 1$ , adică  $s = \lg_2 3$ .

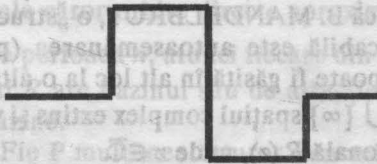


**Exemplul 2:** Pentru  $Z_0 \in \mathbb{C}$ ,  $0 < |Z_0| < 1$ , mulțimea  $J$  este mulțimea de puncte  $Z_n$  obținută din  $Z_0$  prin iterația  $Z_{n+1} = \frac{1}{3}Z_n$ .

Clasica curbă KOCH este generată de patru omotetii care au rațiile egale cu  $\frac{1}{3}$ . Conform teoremei, dimensiunea HAUSDORFF este egală cu  $s = \frac{\lg 4}{\lg 3} = 1,2619$ , deoarece  $r_1 = r_2 = r_3 = r_4 = \frac{1}{3}$ , iar generatorul are forma:

**Exemplul 3:**

Curba lui KOCH corespunzătoare unui pătrat (nucleul este un pătrat) este generată de opt omotetii ce au rațiile contractiilor egale cu  $\frac{1}{4}$ . Prin urmare, dimensiunea HAUSDORFF este egală cu  $s = \frac{\lg 8}{\lg 3} = 1,5$ , deoarece  $r_1 = r_2 = \dots = r_8 = \frac{1}{4}$ , iar generatorul are forma:

**Exemplul 4:**

Curba PEANO este generată de nouă omotetii ce au rațiile contractiilor egale cu  $\frac{1}{3}$ . Prin urmare, dimensiunea HAUSDORFF este egală cu  $s = \frac{\lg 9}{\lg 3} = 2$ , deoarece  $r_1 = r_2 = \dots = r_9 = \frac{1}{3}$ , iar generatorul are forma:



Dimensiunea HAUSDORFF a mulțimii JULIA

DEFINIȚIE

Se consideră mulțimea  $J$  generată de mulțimea de puncte  $Z_n$  obținută din  $Z_0$  prin iterația  $Z_{n+1} = \frac{1}{3}Z_n$ . Se definește dimensiunea HAUSDORFF a mulțimii  $J$  ca fiind:

### 5.3. Mulțimile JULIA și proprietățile lor

Să considerăm în planul complex următorul proces recursiv:

$$Z_{n+1} = f(Z_n) = Z_n^2 + c, \text{ cu } f: \mathbb{C} \rightarrow \mathbb{C}, Z_0, c \in \mathbb{C}, n \in \mathbb{N}.$$

În ciuda formei sale algebrice foarte simple, acest proces prezintă o dinamică extrem de sofisticată, uneori haotică.

Dacă, pentru început,  $c=0$ , sînt posibile trei situații pentru șirul  $(Z_n)$ :

- dacă  $|Z_0| < 1$ , atunci  $|Z_n| \rightarrow 0$  și spunem că 0 se numește atractor al procesului.
- dacă  $|Z_0| > 1$ , atunci  $|Z_n| \rightarrow \infty$  și spunem că  $\infty$  se numește atractor al procesului.
- dacă  $|Z_0| = 1$ , atunci  $|Z_n| = 1$ , pentru orice  $n \in \mathbb{N}$ ; șirul are deci termenii situați pe frontiera dintre două domenii de atracție, în cazul nostru cercul unitate.

Cercul unitate este cel mai simplu exemplu de mulțime JULIA. Dacă modificăm  $c$ , luînd de exemplu  $c = -0,12375 + 0,56508i$ , 0 nu mai rămîne atractor interior, iar frontiera dintre domeniile de atracție devine foarte neregulată, după cum specifică B. MANDELBROT, o „structură fractală”.

Proprietatea ei remarcabilă este autoasemănarea (proprietate de hologramă). Aceeași formă poate fi găsită în alt loc la o altă mărime.

Vom nota prin  $\overline{\mathbb{C}} = \mathbb{C} \cup \{\infty\}$  spațiul complex extins și vom considera în acest spațiu o funcție rațională  $R(z)$ , unde  $z \in \overline{\mathbb{C}}$ .

Fie  $R(z) = \frac{P(z)}{Q(z)}$  o funcție rațională în planul complex extins, unde  $P, Q \in \overline{\mathbb{C}}[X]$ ,  $P, Q$  fiind prime între ele, iar gradul lui  $R$  este  $d = \text{grad}(R) = \max \{ \text{grad}(P), \text{grad}(Q) \}$ .

Preimagea lui  $z$  prin  $R$ , o vom nota prin  $R^{-1}(z) = \{v \in \overline{\mathbb{C}} \mid R(v) = z\}$ .

Vom nota prin  $R^n(z) = (R \circ R \circ \dots \circ R)(z)$ ,  $n \in \mathbb{N}$ , compunerea făcîndu-se de  $n$  ori, iar prin  $R^{-n}(z) = (R^{-1})^n(z)$ ,  $n \in \mathbb{N}$ .

Într-un anumit sens, mulțimea JULIA notată prin  $J_R$  este mulțimea punctelor „excepționale” pentru iterația lui  $R$ , și anume pentru  $R^n(z)$ . Complementara lui  $J_R$  se numește mulțimea FATOU și se notează  $F_R = \overline{\mathbb{C}} \setminus J_R$ .

Pentru  $Z_0 \in \overline{\mathbb{C}}$  dat, considerăm procesul recursiv  $Z_{n+1} = R(Z_n)$ ,  $n \in \mathbb{N}$  ce definește un șir de puncte din spațiul complex extins.

#### DEFINIȚII:

- a) Pentru  $Z_0 \in \mathbb{C}$ ,  $\text{Or}^+(Z_0) = \{Z_n \mid n \in \mathbb{N}\}$  se numește orbită directă a lui  $Z_0$ .

b) Pentru  $Z_0 \in C$ ,  $Or^-(Z_0) = \{R^{-k}(Z_0) \mid k \in \mathbb{N}\}$  se numește **orbită inversă** a lui  $Z_0$ .

c) Pentru  $Or^+(Z_0)$  finită, adică dacă există  $n \in \mathbb{N}$ , cu  $Z_n = Z_0$ , orbita se numește **ciclu** sau **orbită periodică** de perioadă  $n$ , iar punctul  $Z_0$  punct periodic.

d) Dacă  $Or^+(Z_0)$  este orbită periodică de perioada  $n$ , atunci pentru orice  $Z \in Or^+(Z_0)$ ,  $\lambda = R'(Z)$  este o constantă, numită **valoare proprie** a lui  $Z_0$ .

e) Un punct periodic se numește:

atractiv	$\Leftrightarrow 0 <  \lambda  < 1$
indiferent	$\Leftrightarrow  \lambda  = 1$
superatractiv	$\Leftrightarrow \lambda = 0$
repulsiv	$\Leftrightarrow  \lambda  > 1$

f) Dacă  $Z_0$  este un punct fix atractiv al lui  $R$ , deci  $R(Z_0) = Z_0$ , se numește **bazinul de atracție** al lui  $Z_0$ , mulțimea  $A(Z_0) = \{z \in \bar{C} \mid R^k(Z_0) \rightarrow Z_0 \text{ cînd } k \rightarrow \infty\}$ .  $A(Z_0)$  colectează toate punctele ale căror orbite directe aproximează pe  $Z_0$ . Dacă  $\gamma$  este un ciclu atractiv de perioadă  $n$ , atunci fiecare din punctele fixe  $R^i(Z_0)$ ,  $i=0, 1, 2, \dots, n-1$  ale lui  $R$  are bazinul său de atracție, iar  $A(\gamma)$  este de fapt reuniunea acestor bazine.

g) Fie  $P$  mulțimea tuturor punctelor repulsive.  $G$ . JULIA a definit mulțimea  $J_r$  (mulțimea JULIA) ca fiind  $J_r = P'$ , unde  $P'$  este mulțimea derivată a lui  $P$ . Într-un anumit sens, mulțimea JULIA este mulțimea punctelor excepționale ale iteratelor lui  $R$ .

### 5.3.1. Proprietăți fundamentale ale mulțimii JULIA

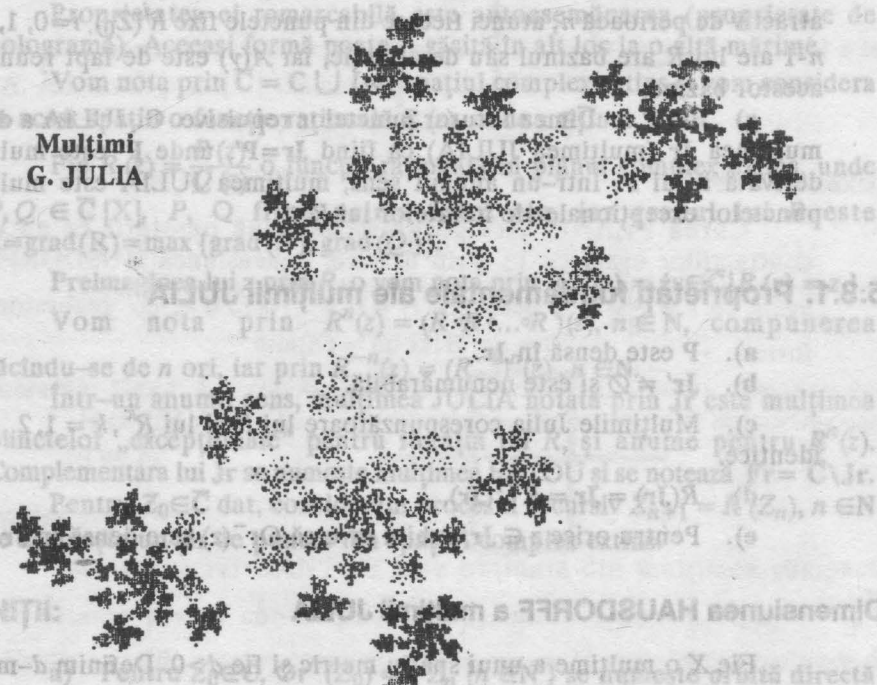
- $P$  este densă în  $J_r$ .
- $J_r' \neq \emptyset$  și este nenumărabilă.
- Mulțimile Julia corespunzătoare lui  $R$  și lui  $R^k$ ,  $k = 1, 2, \dots$ , sînt identice.
- $R(J_r) = J_r = R^{-1}(J_r)$ .
- Pentru orice  $z \in J_r$ , orbita inversă  $Or^-(z)$  este densă în  $J_r$ .

### Dimensiunea HAUSDORFF a mulțimii JULIA

Fie  $X$  o mulțime a unui spațiu metric și fie  $d > 0$ . Definim  $d$ -măsura exterioară a mulțimii  $X$  ca fiind:



**Mulțimi  
G. JULIA**





$$m_d(X) = \liminf_{\varepsilon \rightarrow 0} \left\{ \sum_{i \in I} (\text{diam} S_i)^d \mid X \subseteq \bigcup_{i \in I} S_i, I \text{ finită}, \right. \\ \left. \text{unde } S_i \text{ sînt bile cu } \text{diam } S_i < \varepsilon \right\}$$

$m_d(X)$  depinde de alegerea lui  $d$ , putînd fi finită sau infinită.

În 1919, matematicianul HAUSDORFF demonstrează că există un unic  $d = d^*$  astfel încît  $m_d(X)$  trece de la valoarea infinită la valoare finită, cînd  $d$  crește. Dimensiunea Hausdorff a mulțimii  $X$  se definește astfel:

$$h(X) = \sup \{ d \in \mathbb{R}_+ \mid m_d(X) = \infty \}$$

Intuitiv,  $h(X)$  măsoară mărimea numărului de mulțimi de diametre mai mici decît  $\varepsilon$  necesare pentru a acoperi pe  $X$ , cînd  $\varepsilon \rightarrow 0$ . O mulțime se numește **fractal**, dacă dimensiunea sa Hausdorff  $h(X)$  nu este număr întreg.

Mulțimile JULIA sînt fractali. Mai mult, pentru  $|c| < 1$  și  $f(z) = z^2 + c$ ,  $h(J_c) = 1 + \frac{|c|}{4 \log 2}$ , unde  $J_c$  este mulțimea JULIA corespunzătoare funcției  $f(z)$ .

Pentru  $c$  mic,  $J_c$  este o curbă Jordan. Deși mulțimile JULIA sînt de natură tipic fractală, aproape nimic nu este cunoscut despre dimensiunea lor HAUSDORFF.

O dezvoltare a acestei problematici se află în [2].

### 5.3.2. Metoda BSM (Boundary Scanning Method) pentru reprezentarea grafică a mulțimilor JULIA

Metoda BSM reprezintă metoda analizei frontierelor în scopul reprezentării cu ajutorul calculatorului electronic a mulțimilor JULIA. Dacă  $a$  este un punct fix atractiv,  $|R'(a)| < 1$ ,  $R(a) = a$ , iar  $A(a)$  este bazinul său de atracție, atunci  $J_r = \partial A(a)$ . Fie o mulțime normă  $L_0(a)$  astfel încît  $a \in L_0(a) \subseteq A(a)$ .

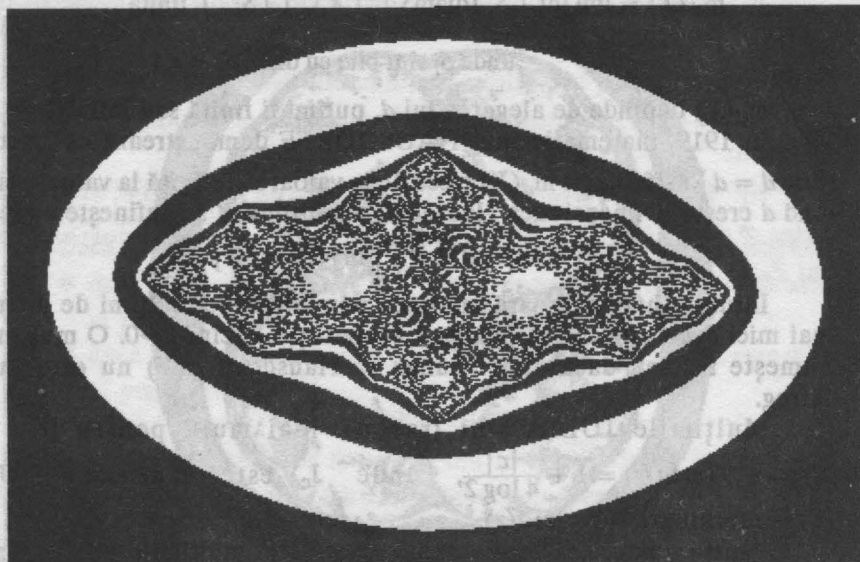
Definim mulțimile de nivel de atracție egală în  $A(a)$  în raport cu mulțimea normă  $L_0(a)$ , ca fiind

$$L_k(a) = \{ z \mid R^k(z) \in L_0(a) \text{ și } R^l(z) \notin L_0(a) \text{ pentru } l < k \}, k = 1, 2, \dots$$

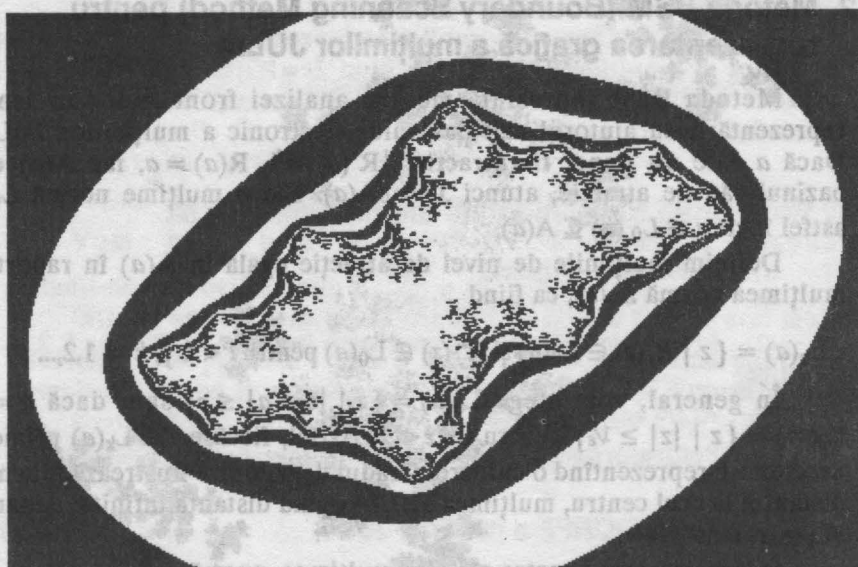
În general, vom alege  $L_0(a) = \{ z \mid |z - a| \leq \varepsilon \}$  sau, dacă  $a = \infty$ ,  $L_0(\infty) = \{ z \mid |z| \geq 1/\varepsilon \}$  pentru  $0 < \varepsilon \ll 1$ . Astfel, fiecare  $z \in L_k(a)$  primește un indice  $k$  reprezentînd o culoare. Gradul de colorare ilustrează dinamica distanței la acel centru, mulțimea JULIA avînd distanța infinită, deoarece  $\partial L_k \rightarrow J_r$ , cînd  $k \rightarrow \infty$ .

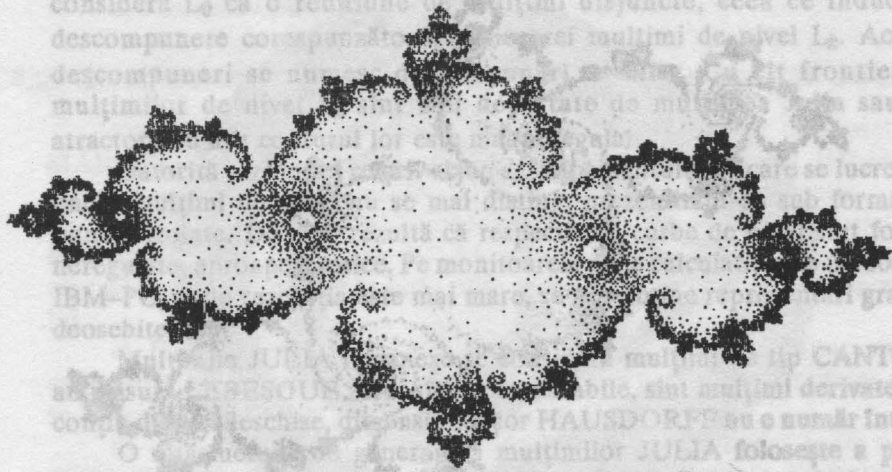
În experiențele noastre am ales mulțimea-normă

$$L_0(\infty) = \{ c \mid |c| > 1/\varepsilon \} \text{ pentru } 0 < \varepsilon \ll 1.$$

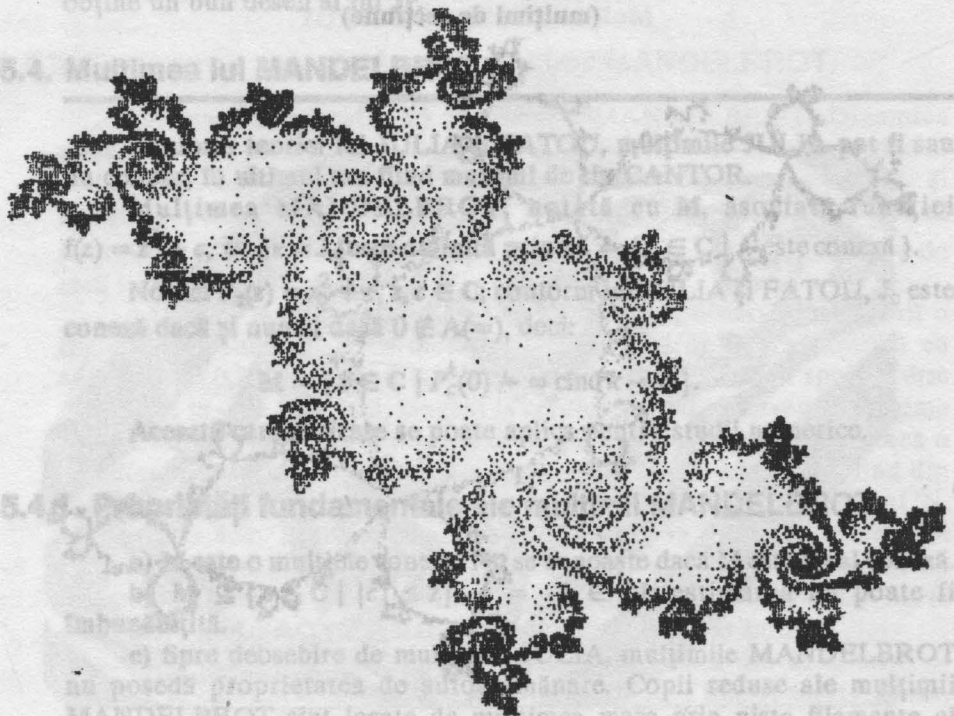


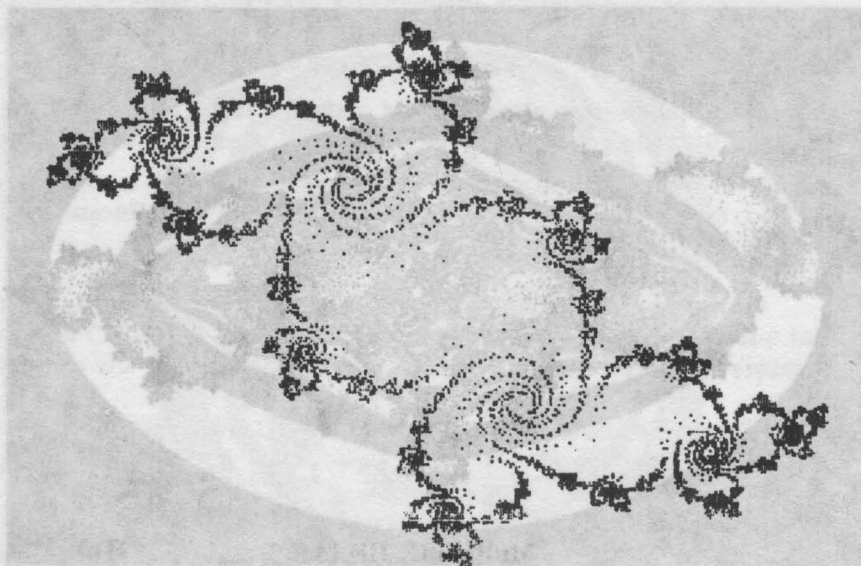
Mulțimi G. JULIA



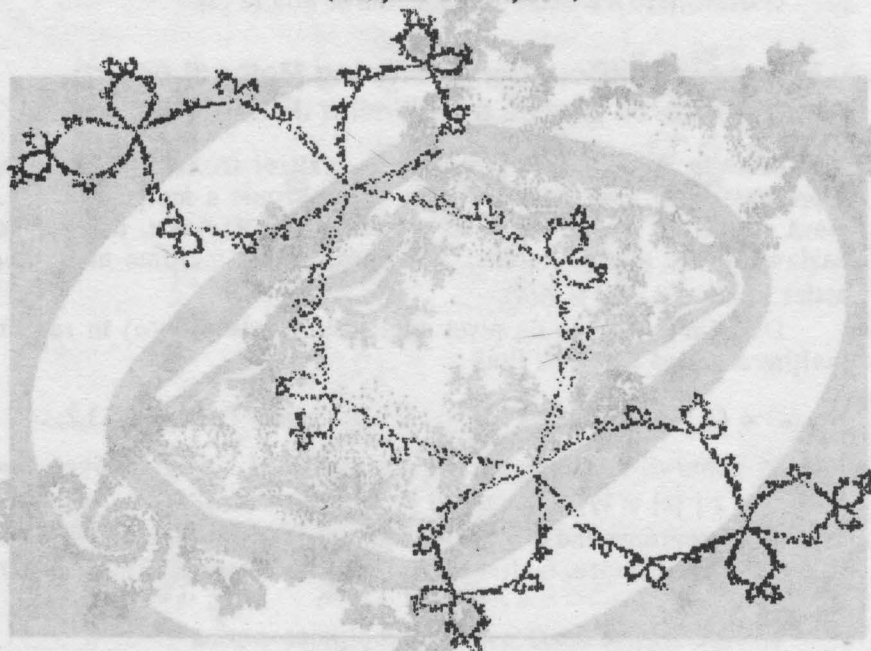


**Mulțimi G. JULIA  
(mulțimi de secțiune)**





(mulțimi de secțiune)  
**Mulțimi G. JULIA**  
(mulțimi de secțiune)





Mulțimea-normă  $L_0$  poate fi aleasă arbitrar. În particular, putem considera  $L_0$  ca o reuniune de mulțimi disjuncte, ceea ce induce o descompunere corespunzătoare a fiecărei mulțimi de nivel  $L_k$ . Aceste descompuneri se numesc descompuneri  $m$ -adice. Cu cât frontierele mulțimilor de nivel  $L_k$  sînt mai depărtate de mulțimea Julia sau de atractori, cu atît conturul lor este mai neregulat.

Datorită rezoluției relativ slabe a echipamentului cu care se lucrează, unele mulțimi de nivel nu se mai disting, prezentîndu-se sub formă de puncte izolate. De aici, rezultă că respectivele curbe de nivel sînt foarte neregulate, aproape haotice. Pe monitoarele de la calculatoarele personale IBM-PC, unde rezoluția este mai mare, se pot obține reprezentări grafice deosebite.

Mulțimile JULIA neconexe se consideră mulțimi de tip CANTOR: au măsura LEBESGUE zero, sînt nenumărabile, sînt mulțimi derivate, nu conțin discuri deschise, dimensiunea lor HAUSDORFF nu e număr întreg.

O altă metodă de generare a mulțimilor JULIA folosește a patra proprietate fundamentală a mulțimilor Julia. Reprezentînd grafic mulțimile  $J_r^n = \{z \in \mathbb{C} \mid \exists k \leq n \text{ cu } R^k(z) = \bar{z}\}$ , unde  $\bar{z} \in J_r$  este un punct periodic repulsiv fixat, deducem că pentru un  $n$  suficient de mare vom obține un bun desen al lui  $J_r$ .

## 5.4. Mulțimea lui MANDELBROT

Conform teoriei lui JULIA și FATOU, mulțimile JULIA pot fi sau nu conexe, în ultimul caz fiind mulțimi de tip CANTOR.

Mulțimea MANDELBROT, notată cu  $M$ , asociată funcției  $f(z) = z^2 + c$ , cu  $J_r = J_c$  este definită prin  $M = \{c \in \mathbb{C} \mid J_c \text{ este conexă}\}$ .

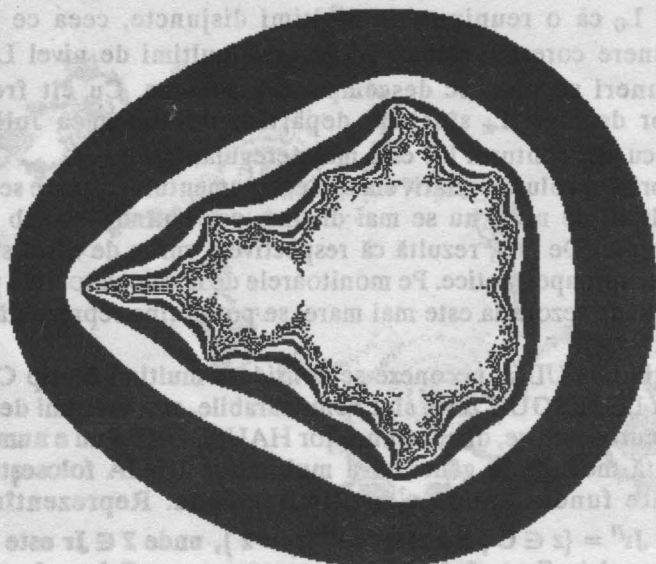
Notăm  $P_c(z) = z^2 + c$ ,  $z, c \in \mathbb{C}$ ; conform lui JULIA și FATOU,  $J_c$  este conexă dacă și numai dacă  $0 \notin A(\infty)$ , deci:

$$M = \{c \in \mathbb{C} \mid P_c^k(0) \not\rightarrow \infty \text{ cînd } k \rightarrow \infty\}.$$

Această caracterizare se poate aplica pentru studii numerice.

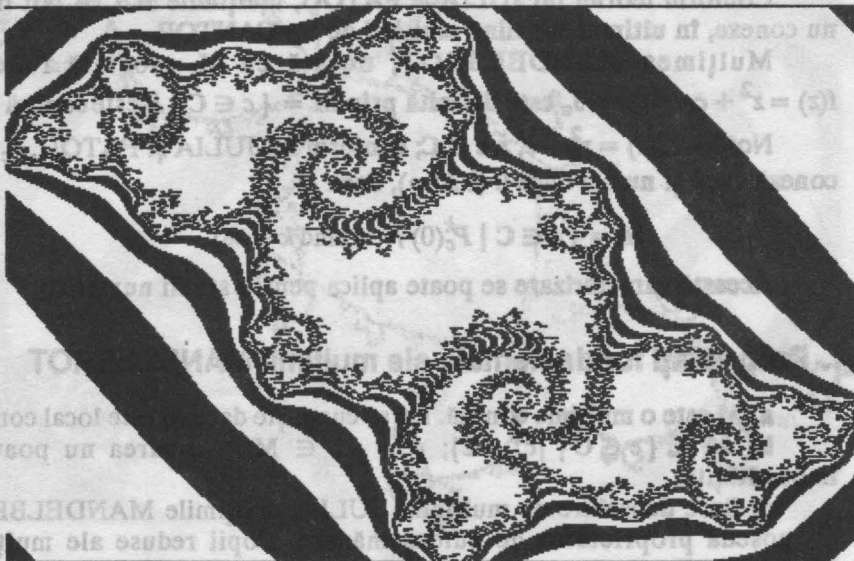
### 5.4.1. Proprietăți fundamentale ale mulțimii MANDELBROT

- $M$  este o mulțime conexă. Nu se cunoaște dacă  $M$  este local conexă.
- $M \subseteq \{c \in \mathbb{C} \mid |c| \leq 2\}$ ;  $c = -2 \in M$ ; estimarea nu poate fi îmbunătățită.
- Spre deosebire de mulțimile JULIA, mulțimile MANDELBROT nu posedă proprietatea de autoasemănare. Copii reduse ale mulțimii MANDELBROT sînt legate de mulțimea mare prin niște filamente al



**Mulțimea B. MANDELBROT**

**Mulțimea G. JULIA**



căror aspect depinde de poziția copiilor.

d) Mulțimea MANDELBROT este fractală.

#### 5.4.2. Clasificarea lui SULLIVAN a structurilor de mulțimi JULIA

a) Dacă  $c$  este în interiorul corpului principal al mulțimii MANDELBROT, care are forma unei cardioide, mulțimea JULIA se prezintă ca un cerc deformat fractal în jurul unui punct fix atractiv.

b) Dacă  $c$  este în interiorul unui „mugure” al mulțimii MANDELBROT, mulțimea JULIA constă dintr-o mulțime infinită de cercuri deformate fractal în jurul unui atractor periodic și a preimaginilor lui.

c) Dacă  $c$  este în punctul de germinație al unui mugur, avem așa-numitul caz parabolic: frontiera se prezintă asemeni unor cîrcei care se îmbogățesc spre margine în raport cu un atractor stabil.

d) Dacă  $c$  este pe frontiera cardioidei sau a unui mugur avem cazul numit **discurile lui SIEGEL**, în interiorul regiunii limitate de mulțimea JULIA găsim cercuri invariante în jurul punctelor fixe.

e) Cazul numit **inelele lui HERMAN** nu are loc pentru  $z \rightarrow z^2 + c$  și nu a fost încă generat pe calculator.

#### 5.4.3. Generarea pe calculator a mulțimii MANDELBROT.

Folosim proprietatea b) a mulțimii MANDELBROT. Dinamica punctelor este studiată tot cu ajutorul mulțimilor de nivel, aplicînd o metodă aproape identică cu BSM. Alegem o rețea de puncte  $c \in \mathbb{C}$  și testăm pentru fiecare dacă după  $N$  iterații termenul corespunzător al șirului  $0 \rightarrow c \rightarrow c^2 + c \rightarrow \dots$  depășește sau nu un disc centrat în origine de rază suficient de mare.

Analizînd desenul mulțimii MANDELBROT, observăm mai întîi o regiune delimitată de o cardioidă, simetrică față de o axa centrală cu adîncitura  $+0,25$  și cuprinsă la stînga pîna la  $-0,75$ . Urmează apoi un disc cu centrul în  $-1$  și raza  $0,25$ , tangent la cardioidă. Mai observăm o mulțime practic infinită de discuri tangente la  $M$ , pentru ele există de asemenea o infinitate de discuri mici tangente. Mergînd mereu la stînga, pornind din cardioidă, se ajunge la punctul, numit MYRBERT – FEIGENBAUN, situat la  $-1,401$ . În acest punct se poate observa apariția primei noi cardioide. Segmentul conținut între acest punct și  $-2$  este conținut în  $M$ . Pe acest segment se găsesc o infinitate de componente-cardioide, foarte mici. MANDELBROT a arătat că acestea sînt în număr infinit.

Dacă imaginăm un drum în  $c$ -plan care pleacă din  $M$  și care se sfîrșește în exteriorul lui  $M$ , dacă îl variem pe  $c$  de-a lungul acestui drum, mulțimea JULIA asociată lui  $c$  prezintă o schimbare calitativă. Frontiera

lui  $M$  joacă rolul de fază de tranziție pentru funcția  $z \rightarrow z^2 + c$ .

## 5.5. Mulțimi de secțiune

Fie  $f: \mathbb{C}^2 \rightarrow \mathbb{C}$ ,  $f(z, c) = z^2 + c$ . Considerăm  $f$  ca funcție reală:

$$f: \mathbb{R}^4 \rightarrow \mathbb{R}^2, \quad f(x, y, p, q) = (x^2 - y + p, 2xy + q)$$

Dacă fixăm  $p$  și  $q$ ,  $J_r = \lim_{k \rightarrow \infty} \partial L_k(a)$ , unde  $L_k(a)$  sînt mulțimi de nivel, iar  $L_0(a) \subseteq A(a)$  este fixată. Dacă fixăm  $x = y = 0$ , considerăm

$$M = \{ (p, q) \in \mathbb{R}^2 \mid P_c^k(0) \not\rightarrow \infty \text{ cînd } k \rightarrow \infty \},$$

și definim

$$L'_0(\infty) = \{ (p, q) \in \mathbb{R}^2 \mid p^2 + q^2 \geq 1/\varepsilon \}$$

$$L'_k(\infty) = \{ (p, q) \in \mathbb{R}^2 \mid P_c^k(x, y) \in L_0(\infty) \text{ și } P_c^l(x, y) \notin L_0(\infty), l < k \}$$

unde  $\varepsilon \ll 1$ , atunci  $\partial M = \lim_{k \rightarrow \infty} \partial L'_k(\infty)$

După cum sublinia ADRIEN DOUDAY, mulțimile MANDELROT și JULIA au fost obținute prin considerente de potențial care, intuitiv, este legat de așa-numitul „timp de evadare”. Timpul de evadare al unui punct  $Z_0$  al unei mulțimi JULIA sau MANDELROT exprimă numărul  $N$  de iterații necesar pentru ca numărul  $Z_n$  obținut prin iterarea

$$Z_{n+1} = P_c(Z_n) = Z_n^2 + c$$

să aibă modulul mai mare decît un  $r > 0$ . Potențialul este aproximativ egal cu  $\lg r/2^N$ .

În general, pentru  $f$  și pentru  $r > 0$  fixat vom considera funcția  $T: \mathbb{R}^4 \rightarrow \mathbb{N} \cup \{+\infty\}$  (timpul de evadare),

$$T(x, y, p, q) = \begin{cases} \min \{ n \in \mathbb{N} \mid X_n^2 - Y_n^2 > r \}, & \text{dacă există } n \\ \infty, & \text{în caz contrar} \end{cases}$$

unde  $X_{n+1} = X_n^2 - Y_n^2 + p$ ,  $Y_{n+1} = 2X_n Y_n + q$  și  $X_0 = X$ ,  $Y_0 = Y$ .

Vom considera mulțimea  $\tau = \{ (x, y, p, q) \in \mathbb{R}^4 \mid T(x, y, p, q) = \infty \}$ . Mulțimile JULIA și MANDELROT sînt situate în planul  $\Pi^{p,q}(x, y)$  de secțiune prin  $\tau$  determinat de  $p, q$  fixate, descris de  $x$  și de  $y$  și, respectiv în planul  $\Pi^{0,0}(p, q)$  de secțiune prin  $\tau$  determinat de  $x=y=0$  și descris de  $p$  și  $q$ .

Potențialul punctelor lor se exprimă în funcție de  $T \mid \Pi^{p,q}(x, y)$  și  $T \mid \Pi^{0,0}(p, q)$ .



Mulțimea  $\tau$  se reprezintă deci în spațiul cu 4 dimensiuni și pentru a ne „apropia” de ea, trebuie să studiem secțiuni ale ei după diverse hiperplane, secțiuni care vor fi mulțimi tridimensionale. Deoarece, nici pe acestea nu le putem reprezenta convenabil pe calculator, ne vom mulțumi cu secțiuni plane prin acestea.

Am ales spre exemplu, hiperplanul determinat de condiția  $y=0$ , și  $x$ ,  $p$ ,  $q$  variabile. Considerăm mulțimea din spațiul  $\mathbb{R}^3$ :

$$\tau_{x,p,q} = \{(x,p,q) \mid T(x,0,p,q) = \infty\}$$

Secționăm această mulțime după planele  $\Pi(p,q)$ ,  $\Pi(p,x)$ ,  $\Pi(q,x)$ . Secțiunea după primul dintre aceste plane determină mulțimea

$$\tau_{p,q} = \{(p,q) \mid T(0,0,p,q) = +\infty\} \setminus \{(p,q) \mid P_{p,q}^k \not\rightarrow \infty \text{ când } k \rightarrow \infty\} = M$$

deci, chiar mulțimea MANDELBROT conform celei de-a doua caracterizări.

Deci, mulțimea MANDELBROT este secțiunea prin  $\tau$  după planul  $\Pi^{0,0}(p,q)$ .

Secțiunea după  $\Pi^{q,0}(p,x)$  determină mulțimea

$$\tau_{x,p} = \{(x,p) \mid T(x,0,p,q) = \infty, \text{ unde } q \text{ e fixat}\},$$

deci, se poate defini mulțimea  $\tau_{x,p}$  ca fiind:

$$\tau_{x,p} = \{(p,x) \in \mathbb{R}^2 \mid P_{0,q}^k(0,0) \not\rightarrow \infty, \text{ când } k \rightarrow \infty\}$$

Experimental, distingem următoarele

### Proprietăți

a) Dacă  $q=0$  mulțimea  $\tau_{p,x}$  este conexă, altfel, în general, este neconexă.

b)  $\tau_{x,p}$  intersectează  $\tau_{p,q} = M$  după axa centrală  $OP$ .

$$\tau_{x,p} \subseteq \{(x,p) \in \mathbb{R}^2 \mid p^2 + x^2 \leq 2\}$$

c) Dacă  $q \in \mathbb{R}$  astfel încât există  $p \in \mathbb{R}$  cu proprietatea  $(p,q) \in M$ ,  $\tau_{p,x}$  este nevidă. În caz contrar, planul de secțiune  $\Pi^{0,q}(x,p)$  nu mai intersectează mulțimea MANDELBROT și, așa cum este de așteptat,  $\tau_{x,p}$  este vidă. Obținem că pentru  $|q| > 1,1$  mulțimea  $\tau_{p,x}$  este vidă (vezi fig. 5-2).

Mulțimea  $\tau_{x,p}$  ne furnizează informații despre mulțimea tip MANDELBROT pe care o obținem dacă iterăm cu  $y=0$  și cu  $x \neq 0$ , adică:

$$M^* = \{(p,q) \mid P^k(x,0) \not\rightarrow \infty \text{ când } k \rightarrow \infty, x \text{ fixat}\}$$

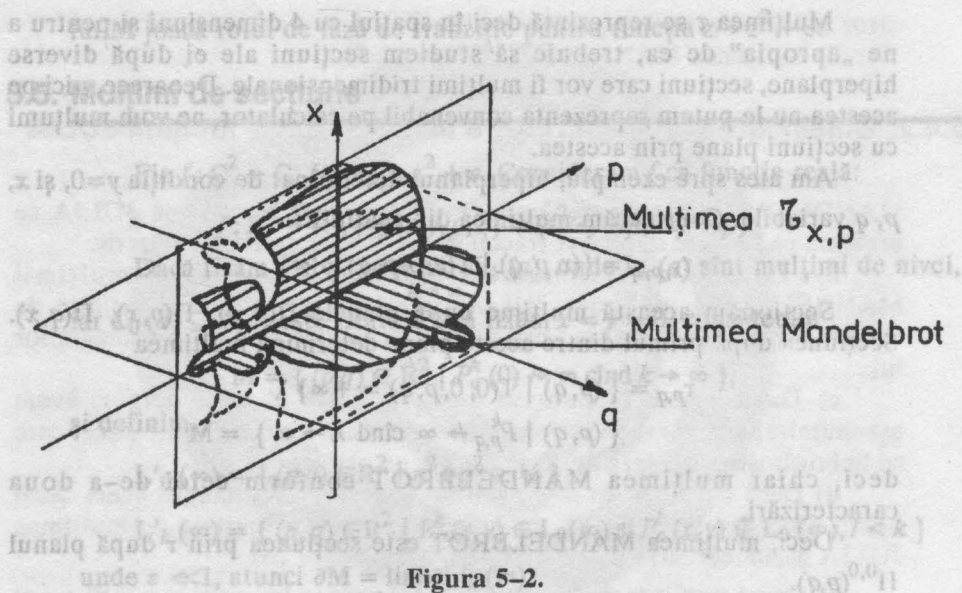


Figura 5-2.

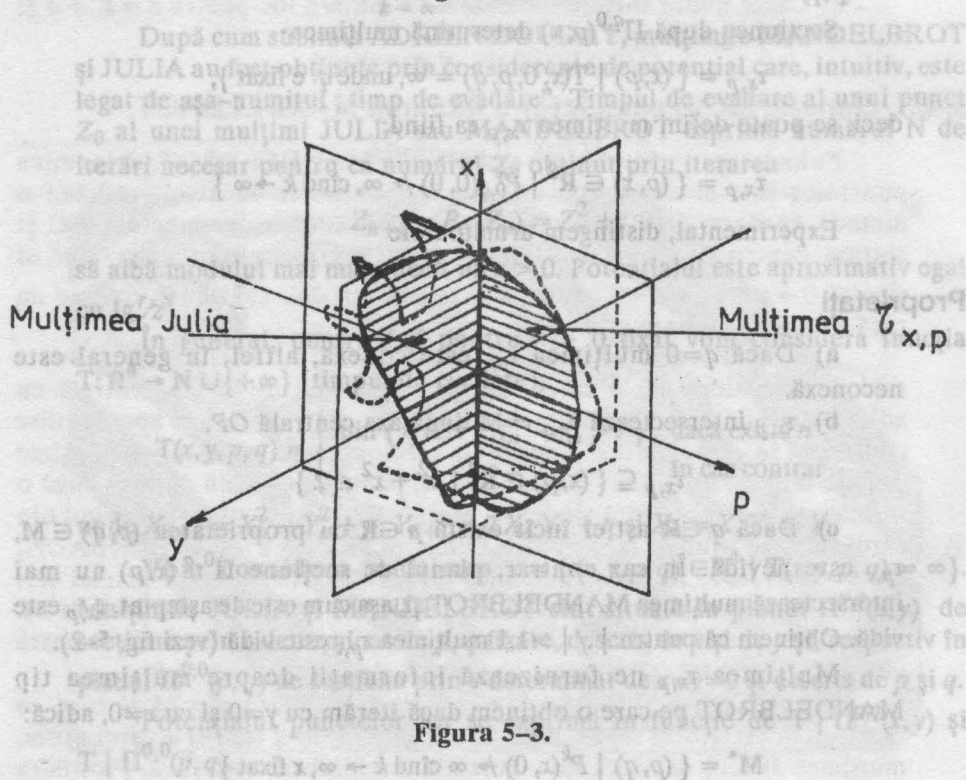


Figura 5-3.

$M^*$  coincide cu  $M$  dacă  $x=0$ , deci e conexă, și în general neconexă dacă  $x \neq 0$  ( $M^*$  taie mai multe „cozi de rîndunică”). De asemenea,  $\tau_{x,p}$  este conexă dacă  $\Pi^{p,q}(x,p)$  taie cardioida după axa centrală și în general neconexă în caz contrar.

**Observație:** Pentru  $q \in \mathbb{R}$  fixat, observăm că  $\tau_{x,p}$  taie mulțimile JULIA generate pentru  $p=0$  și  $q \in \mathbb{R}$  după o axă „verticală”  $OX$  (vezi fig. 5–3). Acest lucru se poate vedea clar pentru mulțimea JULIA obținută pentru  $c=i$  (am folosit aici mulțimea JULIA, ca și ADRIEN DOUDAY, în sensul de întreg desen reprezentat pe calculator).

Secțiunea după  $\Pi^{0,0}(x,q)$  determină mulțimea

$$\tau_{x,q} = \{ (x,q) \in \mathbb{R}^2 \mid T(x,0,p,q) = \infty, \text{ unde } p \text{ este fixat} \}$$

Deci, se poate defini mulțimea  $\tau_{x,q}$  ca fiind

$$\tau_{x,q} = \{ (x,q) \in \mathbb{R}^2 \mid P_{0,p}^k(0,0) \nrightarrow \infty, \text{ cînd } k \rightarrow \infty \}$$

Experimental, distingem următoarele

### Proprietăți

- $\tau_{x,q}$  este totdeauna mulțime conexă (în caz că este mulțime nevidă).
- $\tau_{x,q}$  intersecționează  $\tau_{p,q}=M$  după o axă paralelă cu axa  $OQ$ .
- Dacă  $p \in \mathbb{R}$  astfel încît există  $q \in \mathbb{R}$  cu proprietatea  $(p,q) \in M$ , atunci mulțimea  $\tau_{x,q}$  este nevidă. În caz contrar, planul de secțiune  $\Pi^{0,p}(x,q)$  nu mai intersecționează mulțimea MANDELBROT, deci, cum ar fi firesc, mulțimea  $\tau_{x,q}$  este vidă (vezi fig. 5–4).

Pe baza secțiunilor după cele trei plane, ne putem imagina forma mulțimii spațiale  $\tau_{x,p,q}$  („meduza”, vezi fig. 5–5).

### Precizări:

- Am dori, în final să remarcăm complementaritatea informațiilor pe care le aduc unele despre altele mulțimile de secțiune;
- În cercetările pe plan mondial despre acest domeniu există relativ numeroase rezultate experimentale nejustificate teoretic. De aceea, recunoaștem caracterul preponderent empiric al contribuțiilor în acest moment, relativ la evidențierea și analiza acestor mulțimi de secțiune. Considerăm că ele pun într-o lumină nouă rezultatele cunoscute obținute de către JULIA, MANDELBROT, DOUDAY și ne permit să formulăm, în acest context, ca perspectivă de cercetare, iterarea funcțiilor (raționale)  $n$ -dimensionale.

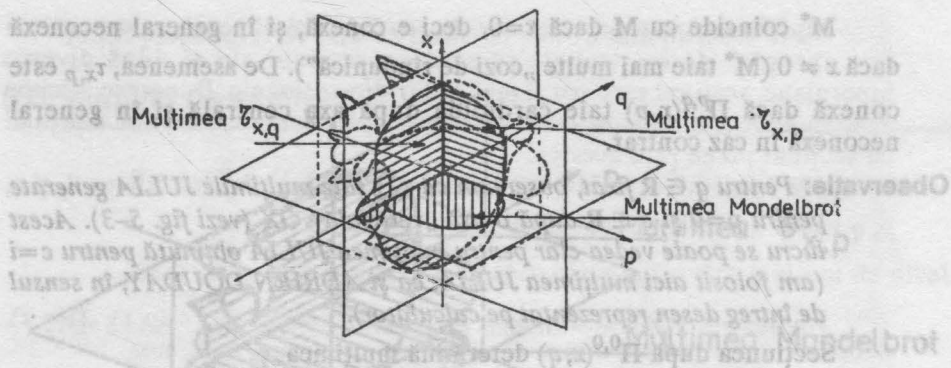


Figura 5-4.

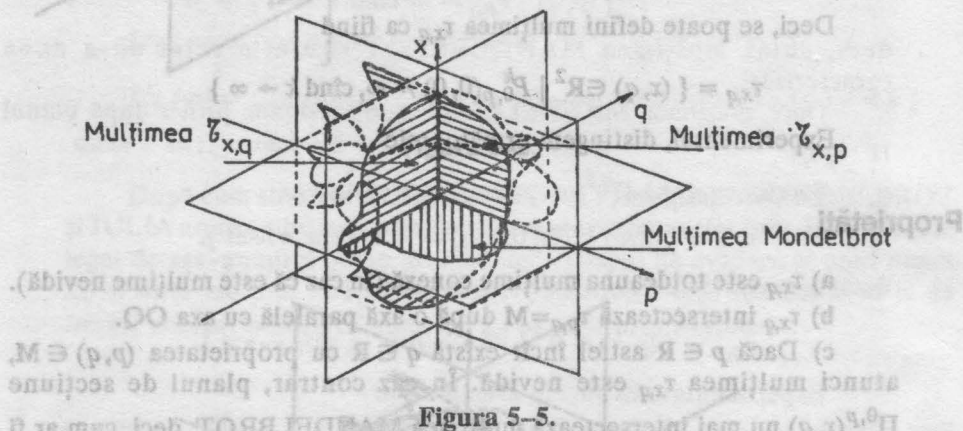


Figura 5-5.

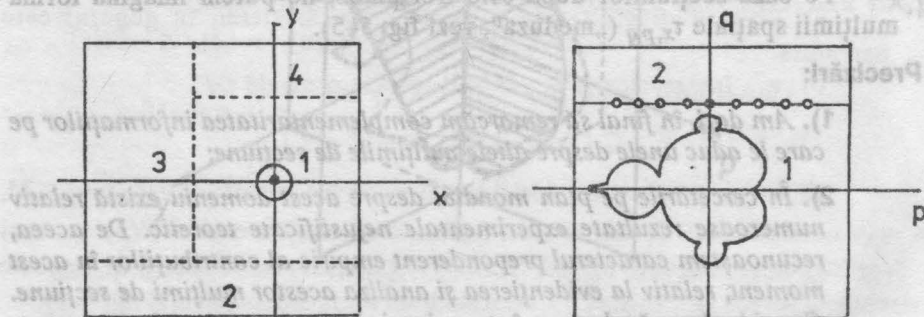


Figura 5-6.

Figura 5-7.



## 5.6. Proceduri și programe grafice

Vom prezenta modurile de generare grafică a mulțimilor JULIA, MANDELBROT și mulțimilor de secțiune cu ajutorul unor proceduri și programe scrise în limbajul PASCAL-OREGON implementat pe minicalculatoare sub sistemul de operare RSX-11M.

Limbajul PASCAL-OREGON nu are implementate facilități grafice datorită dependenței acestora de terminalul grafic aflat la dispoziția utilizatorului. Aceste proceduri sînt specifice terminalelor DAF-2020 (alb-negru) și DAF-2020C (color). Limbajul TURBO-PASCAL implementat pe microcalculatoare de tip IBM-PC sub sistemul de operare MS-DOS, are facilități grafice prin intermediul unei biblioteci de proceduri grafice. Vom observa că pentru optimizarea reprezentării grafice a mulțimilor de care ne ocupăm, în limbajul PASCAL-OREGON avem posibilitatea să elaborăm procedurile grafice astfel încît operațiile de intrare/ieșire să utilizeze un timp de execuție cît mai mic. În general, procedurile grafice se execută prin transmiterea unor coduri terminalului, care sînt interpretate prin trasare de linii, schimbarea fondului, schimbarea cernelii (pentru DAF-2020C).

Deoarece operațiile de intrare/ieșire necesită mai mult timp decît celelalte operații, primele trebuie optimizate, folosindu-se cît mai rar posibil. Astfel, transmiterea unor coduri nu este recomandat să se facă cu ajutorul procedurii standard WRITE, deoarece scrierea unui număr de  $N$  caractere implică apelarea de  $N$  ori a procedurii de scriere a unui caracter.

De aceea, s-a adoptat soluția utilizării unui buffer de 256 de caractere, buffer în care se depun caracterele și care sînt transmise spre terminal toate simultan, atunci cînd acesta e plin.

Procedurile ce utilizează acest buffer sînt:

INIBUF	inițializează bufferul
OUTCHR(k: integer)	depozează în buffer caracterul al cărui cod ASCII este k
OUTBUF	transmite bufferul la terminal

Bufferul este transmis spre terminal atunci cînd este folosită în mod explicit procedura OUTBUF sau, atunci cînd se apelează procedura OUTCHR încercîndu-se depunerea unui caracter, iar bufferul este plin, caz în care se transmite mai întîi bufferul spre terminal, după care bufferul este golit și se depune în el caracterul.

Toate procedurile grafice care urmează folosesc OUTCHR în loc de WRITE.

Procedurile de grafică propriu-zise sînt următoarele:

MOVE(X, Y: integer)	poziționează punctul curent în punctul de coordonate absolute (X, Y).
DRAW(X, Y: integer)	trasează o linie începînd din punctul curent pînă în punctul de coordonate absolute (X, Y), punct care devine și punct curent.
APRINDE (X, Y: integer)	aprinde pe ecran punctul de coordonate (X, Y).

**Observație:** Pentru DAF-2020C, atît la MOVE, cît și la DRAW avem:

$$0 \leq x \leq 447 \text{ și } 0 \leq y \leq 287,$$

iar pentru DAF-2020 avem :

$$0 \leq x \leq 511 \text{ și } 0 \leq y \leq 389,$$

însă nu se pot vizualiza concomitent pe ecran mai mult de 288 linii cuprinse într-o fereastră, așa că se recomandă ca

$$102 \leq y \leq 389.$$

Fereastra de vizualizare se poate modifica cu tastele-săgeți, astfel încît să se folosească, de exemplu,  $0 \leq y \leq 287$ .

Alte proceduri grafice sînt:

INK(k: integer)	culoarea cernelii devine k
PAPER(k: integer)	culoarea fondului devine k (acestea două sînt valabile doar pentru DAF 2020C)
SUPERPOSE	afișarea se face cu suprainprimare
DELMODE	afișarea se face cu ștergere
INI_GR	șterge ecranul (devine verde, iar cerneala galbenă), afișarea se face cu ștergere, iar punctul grafic curent devine (0, 0).

Toate aceste proceduri se află în biblioteca GRAF.OLB (dedicată acestui capitol), și vor fi declarate în programele apelante folosind directiva **EXTERNAL**.

### 5.6.1. Desenarea mulțimilor JULIA

Pentru reprezentarea grafică a mulțimilor JULIA din planul XOY, se vor citi de la terminal următoarele valori: p, q, lung, înalt, xmin, xmax, ymin, ymax, unde:

- $c = p + iq$  este constantă complexă din procesul  $z \rightarrow z^2 + c$  cu

condiția  $-2 \leq p, q \leq +2$

- lung și înalt reprezintă dimensiunile figurii de pe ecran, adică  $0 \leq \text{lung} \leq 447$  și  $0 \leq \text{înalt} \leq 287$
- xmin, xmax, ymin, ymax reprezintă porțiunea din planul XOY ce se vizualizează pe ecran, adică  $-2 \leq \text{xmin}, \text{xmax} \leq +2$  și  $-2 \leq \text{ymin}, \text{ymax} \leq +2$ .

Pentru generarea grafică a mulțimilor JULIA vom folosi metoda BSM (Boundary Scanning Method) și anume, pentru fiecare punct  $(nx, ny)$  de pe ecran, se determină punctul corespunzător  $(x, y)$  din planul XOY, determinându-se cât de repede diverge către infinit procesul  $Z_{k+1} = Z_k^2 + c$  cu  $Z_0 = (x, y)$ , adică se determină valoarea  $k$  pentru care modulul numărului complex  $Z_k$  devine mai mare decât o valoare fixată  $M$ , de exemplu  $M = 100$ , sau dacă depășește o anumită valoare  $KMARE$ , de exemplu  $KMARE = 160$ .

Deoarece, terminalul DAF-2020C poate afișa cel mult 8 culori, iar DAF-2020 cel mult 2 culori (alb și negru), vom considera că  $NRCULORI$  este o constantă egală cu numărul de culori ce pot fi afișate de terminal și vom colora cu aceeași culoare atît punctele ce evadează după  $k$  pași cît și cele ce evadează după  $k + NRCULORI$  pași. Deoarece, există posibilitatea ca unele puncte să nu evadeze, unui punct care nu evadează după  $KMAX$  pași i se va atribui culoarea neagră.

Astfel, desenarea figurii poate fi realizată cu ajutorul următoarelor proceduri:

```
procedure DESENEAZA_JULIA;
```

```
var nx, ny, k: integer;
```

```
    deltax, deltay: real;
```

```
begin
```

```
    deltax := (xmax - xmin) / lung;
```

```
    deltay := (ymax - ymin) / înalt;
```

```
    for ny := 0 to înalt do
```

```
        for nx := 0 to lung do
```

```
            begin
```

```
                CALCUL(xmin + nx * deltax,
```

```
                    ymin + ny * deltay, k);
```

```
            ink(k);
```

```
            APRINDE(nx, ny)
```

```
        end
```

```
    end;
```

Procedurile CALCUL și APRINDE sînt următoarele:

```
procedure CALCUL(x, y: real; var k: integer);
```

```
var x1, y1: real;
```

```
begin
```

```

k := 0;
repeat
  k := k + 1;
  x1 := sqr(x) - sqr(y) + p;
  y1 := 2 * x * y + q;
  x := x1;
  y := y1;
  r := sqr(x) + sqr(y)
until (r > M) or (k >= KMARE);
k := k mod NRCULORI
end;

procedure APRINDE ( x , y : integer ) ;
begin
  move( x, y ) ;
  draw( x , y )
end;

```

Valorile constantelor M, KMARE și NRCULORI sînt declarate în programul principal apelant și anume M = 100.0, KMARE = 160, NRCULORI = 8 pentru DAF-2020C și NRCULORI = 2 pentru DAF-2020 (alb-negru).

Acest algoritm prezintă următoarele posibilități de optimizare:

- Mulțimea JULIA este simetrică față de origine, astfel că punctelor (x,y) și (-x,-y) li se asociază aceeași culoare, deci desenarea mulțimii JULIA poate fi realizată în felul următor:

```

procedure DESENEAZA_JULIA;
var nx, ny, k: integer;
    deltax, deltay: real;
begin
  deltax := (xmax - xmin) / lung;
  deltay := (ymax - ymin) / inalt;
  for ny := 0 to inalt div 2 do
    for nx := 0 to lung do
      begin
        calcul(xmin + nx * deltax,
              ymin + ny * deltay, k);
        ink(k);
        aprinde(lung - nx , inalt - ny)
      end
    end;
end;

```

- O optimizare posibilă a procedurii APRINDE ar fi să trasăm un vector doar atunci cînd se modifică culoarea, impunîndu-se astfel



introducerea unor variabile suplimentare:  $xvechi$ ,  $yvechi$ ,  $kvechi$ .

- Deoarece, calculul culorii pentru fiecare pixel consumă mult timp, iar imaginile nu pot fi salvate așa cum se realizează pe unele microcalculatoare, se pot crea fișiere în care să se introducă pentru fiecare punct culoarea asociată, iar la o desenare ulterioară a aceluiași figuri, în loc să se calculeze culoarea, aceasta să fie citită din fișier.

**Observație:** *Optimizările prezentate reduc în mod spectaculos din timpul de desenare al unei figuri pe ecran, de la peste 60 minute, la mai puțin de 10 minute. Acest fapt atrage atenția asupra modului (in)eficient de implementare pe minicalculatoare a bibliotecilor de grafică față de implementările cunoscute pe microcalculatoare IBM-PC, dar și asupra (in)dependenței acestora de dispozitiv.*

### 5.6.2. Desenarea mulțimilor MANDELBROT

Pentru reprezentarea grafică a mulțimilor MANDELBROT se vor citi de la terminal următoarele valori:  $pmin$ ,  $pmax$ ,  $qmin$ ,  $qmax$ ,  $lung$ ,  $inalt$ , unde:

- $pmin$ ,  $pmax$ ,  $qmin$ ,  $qmax$  reprezintă porțiunea din planul POQ ce se vizualizează pe ecran, cu  $0 \leq pmin, pmax \leq 447$  și  $0 \leq qmin, qmax \leq 287$ ;
- $lung$  și  $inalt$  reprezintă dimensiunile figurii de pe ecran.

Se va folosi o metodă aproape identică cu metoda BSM, și anume se alege o rețea de puncte complexe  $c$  și se testează pentru fiecare punct din rețea dacă după  $N$  iterații termenul corespunzător al șirului  $0 \rightarrow c \rightarrow c^2 + c \rightarrow \dots$  depășește sau nu un disc centrat în origine și de rază suficient de mare.

Se reprezintă mulțimea MANDELBROT din planul POQ situată în porțiunea:

$$pmin \leq p \leq pmax \text{ și } qmin \leq q \leq qmax.$$

Spre deosebire de generarea mulțimii JULIA, acum se iterează același proces  $Z_{k+1} = Z_k^2 + c$ , dar cu  $Z_0 = (0, 0)$  constant și cu  $c = p + iq$  variabil.

Procedurile de desenare și calcul sînt :

**procedure** DESENEAZA\_MANDELBROT;

var  $np, nq, k$ :integer;

delta $p$ , delta $q$ : real;

```

begin
  deltap := (pmax - pmin) / lung;
  deltaq := (qmax - qmin) / inalt;
  for nq := 0 to inalt do
    for np := 0 to lung do
      begin
        calcul(pmin + np * deltap,
              qmin + nq * deltaq, k);
      ink(k);
      aprinde(np, nq)
      end
    end;
  procedure CALCUL(p, q: real; var k: integer);
    var x1, y1: real;

```

```

begin
  k := 0;
  x := 0;
  y := 0;
  repeat
    k := k + 1;
    x1 := sqr(x) - sqr(y) + p;
    y1 := 2 * x * y + q;
    x := x1;
    y := y1;
    r := sqr(x) + sqr(y)
  until (r > M) or (k >= KMARE);
  k := k mod NRCULORI
end;

```

Mulțimea Mandelbrot nu este simetrică față de origine dar este simetrică față de axa OP deoarece:

• pentru  $(p, q) : (0, 0) \rightarrow (p, q) \rightarrow (p^2 - q^2 + p, 2pq + q) \rightarrow \dots$

• pentru  $(p, -q) : (0, 0) \rightarrow (p, -q) \rightarrow (p^2 + q^2 + p, -2pq - q) \rightarrow \dots$

Modulele termenilor șirurilor sînt egale, deci, un termen al primului șir depășește în modul valoarea M atunci cînd un termen al celui de-al doilea șir depășește în modul valoarea M.

Rutina de desenare în cazul  $q_{min} = -q_{max}$  este următoarea:

```

procedure Deseneaza_Mandelbrot;

```

```

var np, nq, k: integer;
    deltap, deltaq: real;

```

```

begin
deltap := (pmax - pmin) / lung;
deltaq := (qmax - qmin) / inalt;
for nq := 0 to inalt div 2 do
  for np := 0 to lung do
    begin
      calcul(pmin + np * deltap,
             min + nq * deltaq, k);
      ink(k);
      aprinde(np, nq);
      aprinde(np, inalt - nq);
    end
  end;
end;

```

**Observații:**

1. În cazul când „ferestrele” de reprezentare pentru mulțimile JULIA și MANDELBROT sînt dreptunghiuri necentrate în origine, pentru a optimiza algoritmul se poate proceda astfel: pentru o mulțime JULIA, se desenează zona 1 prin simetrie, iar zonele 2, 3 și 4 fără simetrie; pentru mulțimea MANDELBROT, întîi se desenează zona 2 fără simetrie (vezi fig. 5-6 și fig. 5-7).

2. Pentru a studia dinamica formei cînd  $c$  se apropie de frontiera mulțimii MANDELBROT, este util să cunoaștem valori ale lui  $c$  în anumite puncte „speciale”: puncte de germinație ale mugurilor, punctul de adîncitură al cardioidei etc.

Pentru aceasta ne folosim de utilitatea furnizată de terminalele grafice menționate care, în regim „introducere grafică”, afișează un cursor cruce pe care îl putem deplasa pe ecran cu ajutorul săgeților. Din acest regim se iese la apăsarea unei taste oarecare, diferită de săgeți, iar la ieșirea din acest regim, terminalul ne transmite codul tastei și, ceea ce este mai important, coordonatele pe care se află cursorul cruce. Făcînd anumite calcule simple se poate afla valoarea  $c$  corespunzătoare punctului de pe ecran.

**5.6.3. Desenarea mulțimilor de secțiune**

Pentru reprezentarea grafică a mulțimii  $r_{x,p}$  se citesc de la terminal următoarele: lung, inalt,  $q$ , pmin, pmax, xmin, xmax, iar pentru mulțimea  $r_{x,q}$ : lung, inalt,  $p$ , qmin, qmax, xmin, xmax.

Figurile se desenează analog ca și mulțimea Mandelbrot, doar că se înlocuiește unde este cazul  $q$  cu  $x$ , respectiv  $p$  cu  $x$ , iar în rutina de calcul nu se modifică decît variabilele corespunzătoare.

Se observă că mulțimea  $\tau_{x,p}$  este simetrică față de axa orizontală OP:

- $(p,x): (x,0) \rightarrow (x^2+p,q) \rightarrow \dots$
- $(p,-x): (-x,0) \rightarrow (x^2+p,q) \rightarrow \dots$

Se observă că mulțimea  $\tau_{x,q}$  este simetrică atât față de axa orizontală OQ cât și față de axa verticală OX:

- $(q,x): (x,0) \rightarrow (x^2+p,q) \rightarrow \dots$
- $(q,-x): (-x,0) \rightarrow (x^2+p,q) \rightarrow \dots$

și respectiv:

- $(q,x): (x,0) \rightarrow (x^2+p,q) \rightarrow \dots$
- $(-q,x): (x,0) \rightarrow (x^2+p,-q) \rightarrow \dots$

deoarece termenii corespunzători celor două șiruri evadează la  $\infty$  cu aceeași viteză.

## 5.7. Pachetul de programe FRACTALI

### 5.7.1. Prezentare generală

Pentru implementarea celor prezentate mai sus, s-au elaborat 9 programe în limbajul PASCAL-OREGON sub sistemul de operare RSX-11M, care să realizeze reprezentarea grafică a mulțimilor JULIA și MANDELBROT conform metodelor prezentate mai sus. Aceste programe utilizează procedurile grafice din biblioteca GRAF.olb pe care o vom prezenta la sfârșitul capitoului (secțiunea 5.7.4). Reprezentarea grafică a acestor mulțimi se realizează pe terminalul grafic color DAF-2020C, dar și pe terminalul grafic alb-negru DAF-2020, de asemenea prin copierea ecranului, desenul poate fi reprodus pe imprimanta matricială. Pachetul de programe FRACTALI are următoarele componente :

- programe care să realizeze reprezentarea grafică direct pe terminalul grafic utilizat ;
- programe care să realizeze reprezentarea grafică pe terminal prin utilizarea la intrare a unor fișiere intermediare create anterior;
- programe pentru crearea de fișiere intermediare în scopul utilizării lor ulterioare la reprezentarea grafică pe terminal.

Programele care sînt componente ale pachetului sînt: JUL, MAN, JJ, SJ, SM, CJ, CM, DCJ, DCM. Funcțiile pachetului de programe sînt clasificate astfel:

a) reprezentarea grafică direct pe terminalul grafic color DAF-2020C, ce se realizează cu următoarele programe :

- JUL.pas; desenarea mulțimilor JULIA
- MAN.pas; desenarea mulțimilor MANDELBROT



**Exemple de utilizare**

```
>run JUL
Introduceti p q lung inalt xmin xmax ymin ymax
```

```
... ..
```

```
>run MAN
```

```
Introduceti lung inalt pmin pmax qmin qmax
```

```
... ..
```

b) reprezentarea grafică direct pe terminalul grafic alb-negru DAF-2020, ce se realizează cu programul JJ.pas;

**Exemplu de utilizare**

```
>run JJ
```

```
Introduceti, in ordine: p,q,lung,inalt,xmin,xmax,ymin,ymax
```

```
... ..
```

c) crearea de fișiere intermediare pentru utilizarea ulterioară la reprezentarea grafică pe terminal, aceasta realizându-se cu următoarele programe:

- SJ.pas; pentru mulțimile JULIA

- SM.pas; pentru mulțimile MANDELBROT

**Exemple de utilizare**

```
>run SJ
```

```
Numele fisierului:
```

```
Introduceti, in ordine: p,q,lung,inalt,xmin,xmax,ymin,ymax
```

```
... ..
```

```
>run SM
```

```
Numele fisierului:
```

```
Introduceti lung inalt pmin pmax qmin qmax
```

```
... ..
```

d) reprezentarea grafică pe terminalul grafic color DAF-2020C folosind fișiere intermediare, aceasta se realizează cu următoarele programe:

- CJ.pas; pentru mulțimile JULIA

- CM.pas; pentru mulțimile MANDELBROT

**Exemple de utilizare**

```
>run CJ
```

```
Numele fisierului:
```

```
... ..
```

```
>run CM
```

```
Numele fisierului:
```

```
... ..
```

e) reprezentarea grafică pe terminalul grafic alb-negru DAF-2020 folosind fișiere intermediare, aceasta realizându-se cu următoarele programe:

- DCJ.pas; pentru mulțimile JULIA
- DCM.pas; pentru mulțimile MANDELBROT

Exemple de utilizare

```
>run DCJ
```

Numele fisierului:

```
.....
```

```
>run DCM
```

Numele fisierului:

```
.....
```

Precizăm faptul că pentru realizarea formei executabile a unui program din cele de mai sus, trebuie ca în comanda destinată link-editării, pe lângă indicarea bibliotecii PASLIB, să se indice și biblioteca GRAF ce conține procedurile grafice și care execută reprezentări grafice pe terminal. Astfel, de exemplu, pentru programul JUL comenzile de operare vor fi următoarele:

```
>pas JUL=JUL
```

```
>tkb JUL/fp/cp=JUL,[1,1]GRAF/lb,lb:[1,1]PASLIB/lb
```

```
>run JUL
```

Introduceti p q lung inalt xmin xmax ymin ymax

```
-0.18 0.667 447 287 -1.5 1.5 -1.5 1.5
```

Pentru testarea programului JUL precizăm câteva variante în funcție de valorile parametrilor p și q ce determină obținerea diferitelor forme ale mulțimii JULIA :

```
>run JUL
```

Introduceti p q lung inalt xmin xmax ymin ymax

```
0.27334 0.007421 447 287 -2 2 -2 2
```

```
>run JUL
```

Introduceti p q lung inalt xmin xmax ymin ymax

```
-0.74543 0.113011 447 287 -2 2 -2 2
```

```
>run JUL
```

Introduceti p q lung inalt xmin xmax ymin ymax

```
-0.194 0.65571 447 287 -2 2 -2 2
```

```
>run JUL
```

Introduceti p q lung inalt xmin xmax ymin ymax

```
0.11031 -0.67037 447 287 -2 2 -2 2
```

```
>run JUL
```

Introduceti p q lung inalt xmin xmax ymin ymax

```
-0.39054 -0.58679 447 287 -2 2 -2 2
```

Pentru testarea programului MAN ce realizează reprezentarea grafică a mulțimii MANDELBROT, se poate proceda astfel:

```
>run MAN
```

Introduceti lung inalt pmin pmax qmin qmax

```
447 287 -1.5 1.5 -1.5 1.5
```

Pentru utilizarea pachetului de programe FRACTALI se poate apela procedura de comenzi indirecte FRACTALI.cmd ce va fi prezentată în cele ce urmează.

### 5.7.2. Procedura de comenzi indirecte FRACTALI.cmd

```
.disable display
.10;
; ***** F R A C T A L I *****
;
; Pachet de programe pentru reprezentarea grafica
; a multimilor JULIA si MANDELNBROT pe terminalele grafice
; color sau alb-negru , desenarea realizandu-se direct pe
; terminal sau prin intermediul unor fisiere intermediare
; create anterior
; AUTORI : M. VLADA, std. S. BRINZEI, std. M. Gidea
;
; OBSERVATIE : pentru transmiterea desenului de pe
; terminal pe imprimanta matriciala, se testeaza :
; <CTRL> + <PF2> + <S> ( <S> pentru copiere simpla,
; respectiv <D> pentru copiere dubla )
;
;-----
;START:
; FRACTALI : OPTIUNI pentru utilizare
; 1 = desenarea directa pe terminalul color
; 2 = desenarea directa pe terminalul alb-negru
; 3 = crearea de fisiere intermediare in vederea desenarii
; 4 = desenarea pe terminalul color folosind fis. intermed.
; 5 = desenarea pe terminalul alb-negru folosind fisiere
; intermediare
; 6 = EXIT
;-----
.20:
.askn OPT tastati o optiune ( 1,2,3,4,5,6 ) ;
.if OPT eq 6 .goto STOP
.if OPT eq 5 .goto 140
.if OPT eq 4 .goto 110
.if OPT eq 3 .goto 70
.if OPT eq 2 .goto 60
.if OPT eq 1 .goto 30
.goto 20
.30:
;-----
;Desenarea DIRECTA a multimilor JULIA si MANDELNBROT
;OPTIUNI :1 = multimi JULIA, 2 =multimi MANDELNBROT, 3=EXIT
.askn OPT tastati optiunea ( 1,2,3 ) :
.if OPT eq 3 .goto START
.if OPT eq 2 .goto 50
.if OPT eq 1 .goto 40
.goto 30
.40:
;Desenarea DIRECTA pe terminalul color a multimii JULIA
```

```

run JUL
.wait JUL
.goto START
.50:
;Desenarea DIRECTA pe terminalul color a multimii MANDELBROT
run MAN
.wait MAN
.goto START
.60:
;-----
;Desenarea DIRECTA pe terminalul alb-negru a multimii JULIA
run JJ
.wait JJ
.goto START
.70:
;-----
;Crearea de fisiere intermediare pentru desenare
;OPTIUNI : 1=multimi JULIA, 2=multimi MANDELBROT, 3=EXIT
.askn OPT Tastati optiunea ( 1,2,3 ) :
.if OPT eq 3 .goto START
.if OPT eq 2 .goto 90
.if OPT eq 1 .goto 80
.goto 70
.80:
;Crearea de fisiere intermediare pentru multimea JULIA
run SJ
.wait SJ
.goto 100
.90:
;Crearea de fisiere intermediare pentru multimi MANDELBROT
run SM
.wait SM
.100:
;Desenarea pe terminalul color sau alb-negru
;OPTIUNI : 1= terminal color, 2= terminal alb-negru, 3=EXIT
.askn OPT Tastati optiunea ( 1,2,3 ) ;
.if OPT eq 3 .goto START
.if OPT eq 2 .goto 140
.if OPT eq 1 .goto 110
.goto 100
.110:
;-----
;Desenarea pe terminalul color folosind fisiere intermediare
;OPTIUNI : 1=multimi JULIA, 2=multimi MANDELBROT, 3 = EXIT
.askn OPT Tastati optiunea ( 1,2,3 ) :
.if OPT eq 3 .goto START
.if OPT eq 2 .goto 130
.if OPT eq 1 .goto 120
.goto 110
.120:
run CJ
.wait CJ

```



```

.goto START
.130:
run CM
.wait CM
.goto START
.140:
;-----
;Desenarea pe terminalul alb-negru folosind fisiere intermediare
;OPTIUNI : 1=multimi JULIA, 2=multimi MANDELBROT, 3 =EXIT
.askn OPT Tastati optiunea ( 1,2,3 ) :
.if OPT eq 3 .goto START
.if OPT eq 2 .goto 160
.if OPT eq 1 .goto 150
.goto 140
.150:
run DCJ
.wait DCJ
.goto START
.160:
run DCM
.wait DCM
.goto START
.STOP:
.exit

```

### 5.7.3. Programe sursă

#### Programul JUL.pas

```

[[1-]]
{$NOCHECK}
program JUL;
{ desenarea directa pe terminalul color
  a multimilor JULIA }
const
  inaltime_ecran = 287;
  m = 100.0;
  kmare = 160;
  nr culori = 8;
  lungime_ecran = 447;
type
  culori = array [0..7] of 0..7;
const
  redef = culori(7, 3, 2, 6, 5, 1, 4, 0);
var
  minimx, minimy, x, deltax, deltax, p, q, xmin, xmax,
  ymin, ymax, y, x1, x2, y2, r: real;
  dr, sscx1, sscyl, scx1, scx2, scyl, scyl, inalt, lung,
  nx, ny, k, kvechi, xvechi, yvechi: integer;
procedure inibuf; external;
procedure delmode; external;

```

```

procedure outbuf; external;
procedure move(x, y: integer); external;
procedure draw(x, y: integer); external;
procedure ink(k: integer); external;

#include aprinde.pas;
#include calcul.pas;

procedure bipunct(nx, ny, k: integer);
begin
  if nx = 0 then
  begin
    kvechi := k;
    xvechi := nx;
    yvechi := ny;
  end
  else if (k <> kvechi) or (nx = dr) then
  begin
    ink(redef[kvechi]);
    move(scx1 + xvechi, scy1 + yvechi);
    draw(scx1 + nx, scy1 + ny);
    move(scx2 - xvechi, scy2 - yvechi);
    draw(scx2 - nx, scy2 - ny);
    if (k <> kvechi) and (nx = dr) then
    begin
      ink(redef[k]);
      aprinde(scx1 + nx, scy1 + ny);
      aprinde(scx2 - nx, scy2 - ny);
    end;
    kvechi := k;
    xvechi := nx;
    yvechi := ny;
  end;
end;

procedure punct(nx, ny, k: integer);
begin
  if nx = 0 then
  begin
    kvechi := k;
    move(scx1, scy1 + ny);
  end
  else if (k <> kvechi) or (nx = dr) then
  begin
    ink(redef[kvechi]);
    draw(scx1 + nx, scy1 + ny);
    if (k <> kvechi) and (nx = dr) then
    begin
      ink(redef[k]);
      draw(scx1 + nx, scy1 + ny);
    end;
    kvechi := k;
  end;
end;

```

```

#include julial.pas;

procedure scalare;
begin
  sscx1 := lungime_ecran div 2 + round(xmin / deltax);
  if sscx1 < 0 then
    sscx1 := 0
  else if sscx1 > lungime_ecran - lung then
    sscx1 := lungime_ecran - lung;
  sscyl := inaltime_ecran div 2 + round(ymin / deltay);
  if sscyl < 0 then
    sscyl := 0
  else if sscyl > inaltime_ecran - inalt then
    sscyl := inaltime_ecran - inalt;
end; {SCALARE}

procedure deseneaza_figura;
begin
  inibuf;
  delmode;
  verifica_datele;
  deltax := (xmax - xmin) / lung;
  deltay := (ymax - ymin) / inalt;
  scalare;
  min(-xmin, xmax, -ymin, ymax, minimx, minimy);
  if (minimx <= 0) or (minimy <= 0) then
    dreptunghi(xmin, xmax, ymin, ymax)
  else
    begin
      patrat(minimx, minimy);
      dreptunghi(xmin, minimx, ymin, -minimy);
      dreptunghi(xmin, -minimx, -minimy, ymax);
      dreptunghi(-minimx, xmax, minimy, ymax);
      dreptunghi(minimx, xmax, ymin, minimy);
    end;
  outbuf;
end;

begin { main }
  writeln('Introduceti p q lung inalt xmin xmax ymin ymax ');
  read(p, q, lung, inalt, xmin, xmax, ymin, ymax);
  deseneaza_figura;
end.

```

## Programul MAN.pas

```

{[1-]}
{$NOCHECK}
program MAN;
{ desenarea directa pe terminalul color
  a multimirilor MANDELBROT }
const

```

```

inaltime_ecran = 287;
m = 100.0;
kmare = 160;
nrculori = 8;
lungime_ecran = 447;
type
    culori = array [0..7] of 0..7;
const
    redef = culori(7, 3, 2, 6, 5, 1, 4, 0);
var
    minimp, minimq, x, deltap, deltaq, p, q, pmin, pmax,
    qmin, qmax, y, x1, x2, y2, r: real;
    dr, sscpl, sscql, scpl, scp2, scql, scq2, inalt, lung,
    np, nq, k, kvechi, pvechi, qvechi: integer; ch: char;
procedure inibuf; external;
procedure delmode; external;
procedure outbuf; external;
procedure move(x, y: integer); external;
procedure draw(x, y: integer); external;
procedure ink(k: integer); external;
procedure pozc(var x, y: integer;
               var ch: char); external;
#include aprinde.pas;

procedure punct(np, nq, k: integer);
begin
    if np = 0 then
    begin
        kvechi := k;
        move(scpl, scql + nq);
        end
    else if (k <> kvechi) or (np = dr) then
    begin
        ink(redef[kvechi]);
        draw(scpl + np, scql + nq);
        if (k <> kvechi) and (np = dr) then
        begin
            ink(redef[k]);
            draw(scpl + np, scql + nq);
        end;
        kvechi := k;
        end;
    end;
end;
procedure scalare;
begin
    sscpl := lungime_ecran div 2 + round(pmin / deltap);
    if sscpl < 0 then
        sscpl := 0
    else if sscpl > lungime_ecran - lung then
        sscpl := lungime_ecran - lung;
    sscql := inaltime_ecran div 2 + round(qmin / deltaq);
    if sscql < 0 then

```



```

ssqcl := 0
else if sscqcl > inaltime_ecran - inalt then
    sscqcl := inaltime_ecran - inalt;
end; {SCALARE}
procedure bipunct(np, nq, k: integer);
begin
    if np = 0 then
        begin
            kvechi := k;
            pvechi := np;
            qvechi := nq;
        end
    else if (k <> kvechi) or (np = dr) then
        begin
            ink(redef[kvechi]);
            move(scpl + pvechi, scq1 + qvechi);
            draw(scpl + np, scq1 + nq);
            move(scpl + pvechi, scq2 - qvechi);
            draw(scpl + np, scq2 - nq);
            pvechi := np;
            qvechi := nq;
            if (k <> kvechi) and (np = dr) then
                begin
                    ink(redef[k]);
                    aprinde(scpl + np, scq1 + nq);
                    aprinde(scpl + np, scq2 - nq);
                end;
            kvechi := k;
        end;
    end;
end;

#include mandelbl.pas;

{ in DREPTUNGHI se inlocuieste PUNE cu PUNCT;
  in PATRAT se inlocuieste PUNE cu BIPUNCT}
procedure deseneaza_figura;
begin
    verifica_datele;
    deltap := (pmax - pmin) / lung;
    deltaq := (qmax - qmin) / inalt;
    scalare;
    min(-qmin, qmax, minimq);
    if minimq <= 0 then
        dreptunghi(pmin, pmax, qmin, qmax)
    else
        begin
            patrat(pmin, pmax, minimq);
            dreptunghi(pmin, pmax, qmin, -minimq);
            dreptunghi(pmin, pmax, minimq, qmax);
        end;
    outbuf;
end;

procedure afla_coord(var p, q: real;

```

```

var ch: char;
begin
  pozc(np, nq, ch);
  p := (np - sscpl) * deltap + pmin;
  q := (nq - sscql) * deltaq + qmin;
end;

begin { main }
  writeln('Introduceti lung inalt pmin pmax qmin qmax');
  read(lung, inalt, pmin, pmax, qmin, qmax);
  deseneaza_figura;
  repeat;
    afla_coord(p, q, ch);
    writeln('P=', p: 8: 6, 'Q=', q: 8: 6)
  until ord(ch) = 13;
end.

```

### Programul JJ.pas

```

{[1-]}
{$OWN}
program jj;
{ desenarea directa pe terminalul alb-negru
  a multimilor JULIA }
const
  inaltime_ecran = 287;
  lungime_ecran = 447;
  kmare = 20;
  txt_len = 6;
type
  pointer = ^nod;
  nod =
    record
      absc, ordo: real;
      leg: pointer
    end;
  bit = 0..1;
var
  ecran: packed array [0..lungime_ecran, 0..inaltime_ecran]
    of bit;
  deltax, deltay, p, q, xmin, xmax, ymin, ymax, x, y: real;
  sscx1, sscy1, inalt, lung, nx, ny: integer;
  urm, cap, coada, sfirsit: pointer;
  gata: boolean;
  %include outti.def;
  %include tekdr.def;
procedure calc_coord(x, y: real);
begin
  nx := round((x - xmin) / deltax);
  ny := round((y - ymin) / deltay);

```

```

end;
procedure creaza(x, y: real);
var
  z: pointer;
begin
  new(z);
  with z^ do
  begin
    absc := x;
    ordo := y;
    leg := nil;
  end;
  sfirsit^.leg := z;
  sfirsit := z;
end;

procedure testeaza(x, y: real);
begin
  calc_coord(x, y);
  if (0 <= nx) and (nx <= lung) and (0 <= ny)
    and (ny <= inal) then
    if (ecran[nx, ny] = 0) then
    begin
      ecran[nx, ny] := 1;
      creaza(x, y);
      gata := false;
    end
    else
    begin
      creaza(x, y);
    end
  end;

procedure calc_invers(a, b: real);
var x, y: real;
begin
  z: real;
  begin
    if b = 0 then
    begin
      if a >= 0 then
      begin
        x := sqrt(a);
        y := 0;
      end
      else
      begin
        x := 0;
        y := sqrt(-a);
      end
    end
    else
    begin
      z := sqrt(sqr(a) + sqr(b));
      x := sqrt((z + a) / 2);
      y := b / (2 * x);
    end
  end
end;

```

```

end;
procedure inverseaza(x, y: real);
var
  xl, yl: real;
begin
  calc_invers(x - p, y - q, xl, yl);
  testeaza(xl, yl);
  if (xl <> 0) or (yl <> 0) then
    testeaza(-xl, -yl);
  end;
procedure taie_capul;
var
  urm: pointer;
begin
  urm := cap^.leg;
  dispose(cap);
  cap := urm;
end;
procedure scalare;
begin
  deltax := (xmax - xmin) / lung;
  deltax := (ymax - ymin) / inal;
  sscxl := lungime_ecran div 2 + round(xmin / deltax);
  if sscxl < 0 then
    sscxl := 0;
  else if sscxl > lungime_ecran - lung then
    sscxl := lungime_ecran - lung;
  sscyl := inaltime_ecran div 2 + round(ymin / deltax);
  if sscyl < 0 then
    sscyl := 0;
  else if sscyl > inaltime_ecran - inal then
    sscyl := inaltime_ecran - inal;
  end; {SCALARE}
procedure verifica_datele;
procedure schimba(var x, y: real);
var
  z: real;
begin
  z := x;
  x := y;
  y := z;
end;
begin
  if xmin > xmax then
    schimba(xmin, xmax);
  if ymin > ymax then
    schimba(ymin, ymax);
  if lung > lungime_ecran then
    lung := lungime_ecran;
  if inal > inaltime_ecran then
    inal := inaltime_ecran;
end;
procedure deseneaza_figura;
  ny := round((y - ymin) / deltax);

```



```

var
  i: integer;
begin
  verifica_datele;
  scalare;
  ecran[0, 0] := 0;
  new(cap);
  sfirsit := cap;
  calc_invers(0.25 - p, - q, x, y);
  testeaza(0.5 + x, y);
  if (x <> 0) or (y <> 0) then
    testeaza(0.5 - x, - y);
  taie_capul;
  coada := sfirsit;
  repeat
    gata := true;
    while cap <> coada do
      begin
        inverseaza(cap^.absc, cap^.ordo);
        taie_capul
      end;
      inverseaza(cap^.absc, cap^.ordo);
    coada := sfirsit
  until gata;
end;
procedure citeste_datele;
begin
  writeln('Introduceti, in ordine : p, q, lung, inalt,
    xmin, xmax, ymin, ymax');
  readln(p, q, lung, inalt, xmin, xmax, ymin, ymax);
end;

begin { main }
  inibuf;
  ini_gr;
  citeste_datele;
  deseneaza_figura;
  outbuf;
end.

```

### Programul SJ.pas

```

{[1-]}
{$NOCHECK}
program SJ;
{ crearea de fisiere intermediare pentru
  desenarea multimilor JULIA }
const
  inaltime_ecran = 287;
  m = 100.0;
  kmare = 160;
  nrculori = 8;

```

```

lungime_ecran = 447;
lgbuf = 509;
type
  buffer = packed array [0..lgbuf] of char;
  bloc =
    record
      nr: integer;
      buf: buffer;
    end;
  numefisier = packed array [1..12] of char;
  culori = array [0..7] of 0..7;
const
  redef = culori(7, 3, 2, 6, 5, 1, 4, 0);
var
  minimx, minimy, x, deltax, deltay, p, q, xmin, xmax,
  ymin, ymax, y, x1, x2, y2, r: real;
  opt, dr, sscx1, sscyl, scx1, scx2, scyl, scy2, inalt, lung,
  nx, ny, k, kvechi, xvechi, yvechi: integer;
  fisier: file of bloc;
  inreg: bloc;
  numefis: numefisier;
procedure detach; external;
procedure scrie;
begin
  write(fisier, inreg);
  break(fisier);
  inreg.nr := 0;
end;
procedure pune(ch: char);
begin
  with inreg do
    begin
      buf[nr] := ch;
      if nr >= lgbuf then
        scrie
      else
        nr := succ(nr);
      end;
    end;
end;
procedure conv_real(var x: real;
  var nr: integer;
  var f: buffer); external;
procedure conv_int(var x: integer;
  var nr: integer;
  var f: buffer); external;
procedure converteste;
begin {CONVERTESTE}
  with inreg do
    begin
      conv_real(p, nr, buf);
      conv_real(q, nr, buf);
      conv_int(lung, nr, buf);
      conv_int(inalt, nr, buf);
    end;
end;

```

```

conv_real(xmin, nr, buf);
conv_real(xmax, nr, buf);
conv_real(ymin, nr, buf);
conv_real(ymax, nr, buf);
end
end;

%include calcul.pas;

procedure punefis(x, y, k: integer);
begin
  pune(chr(k))
end;

%include julial.pas;

{ in DREPTUNGHI se inlocuieste PUNCT cu PUNE
  in PATRAT se inlocuieste BIPUNCT cu PUNE}
procedure deseneaza_figura;
begin
  deltax := (xmax - xmin) / lung;
  deltax := (ymax - ymin) / inalt;
  min(-xmin, xmax, -ymin, ymax, minimx, minimy);
  if (minimx <= 0) or (minimy <= 0) then
    dreptunghi(xmin, xmax, ymin, ymax)
  else
    begin
      patrat(minimx, minimy);
      dreptunghi(xmin, minimx, ymin, -minimy);
      dreptunghi(xmin, -minimx, -minimy, ymax);
      dreptunghi(-minimx, xmax, minimy, ymax);
      dreptunghi(minimx, xmax, ymin, minimy);
    end;
  end;

end;

procedure citeste_datele;
begin
  writeln('Introduceti, in ordine : p,q,lung,inalt,xmin,
    xmax,ymin,ymax');
  readln(p, q, lung, inalt, xmin, xmax, ymin, ymax);
end;

procedure citnumefis;
begin
  write('Numele fisierului : ');
  readln(numefis);
end;

begin { main }
  citnumefis;
  rewrite(fisier, numefis);
  citeste_datele;
  verifica_datele;
  detach;
end;

```

```

converteste;
deseneaza_figura;
scrie;
break (fisier);
end.

```

## Programul SM.pas

```

{[1-1]}
{$NOCHECK}
program SM;
{ crearea de fisiere intermediare pentru
  desenarea multimilor MANDELBROT }
const
  inaltime_ecran = 287;
  m = 100.0;
  kmare = 160;
  nr culori = 8;
  lungime_ecran = 447;
  lgbuf = 509;
type
  buffer = packed array [0..lgbuf] of char;
  bloc =
    record
      nr: integer;
      buf: buffer
    end;
  numefisier = packed array [1..12] of char;
  culori = array [0..7] of 0..7;
const
  redef = culori(7, 3, 2, 6, 5, 1, 4, 0);
var
  minimp, miniq, x, deltap, deltaq, p, q, pmin, pmax,
  qmin, qmax, y, x1, x2, y2, r: real;
  dr, sscpl, sscql, scp1, scp2, scql, scq2, inalt, lung,
  np, nq, k, kvechi, pvechi, qvechi: integer;
  fisier: file of bloc;
  inreg: bloc;
  numefis: numefisier;
procedure detach; external;
procedure scrie;
begin
  write(fisier, inreg);
  inreg.nr := 0;
end;
procedure pune(ch: char);
begin
  with inreg do
    begin
      buf[nr] := ch;
      if nr >= lgbuf then
        scrie

```



```

    else
        nr := succ(nr);
    end
end;
procedure conv_real(var x: real;
                    var nr: integer;
                    var f: buffer); external;
procedure conv_int(var x: integer;
                  var nr: integer;
                  var f: buffer); external;
procedure converteste;
begin {CONVERTESTE}
    with inreg do
        begin
            conv_int(lung, nr, buf);
            conv_int(inalt, nr, buf);
            conv_real(pmin, nr, buf);
            conv_real(pmax, nr, buf);
            conv_real(qmin, nr, buf);
            conv_real(qmax, nr, buf);
        end
    end;
procedure citnumefis;
begin
    write('Numele fisierului :');
    readln(numefis);
end;
%include mandelbl.pas;
procedure deseneaza_figura;
begin
    verifica_datele;
    deltap := (pmax - pmin) / lung;
    deltaq := (qmax - qmin) / inalt;
    min(- qmin, qmax, minimq);
    if minimq <= 0 then
        dreptunghi(pmin, pmax, qmin, qmax)
    else
        begin
            patrat(pmin, pmax, minimq);
            dreptunghi(pmin, pmax, qmin, - minimq);
            dreptunghi(pmin, pmax, minimq, qmax);
        end
    end;
procedure citește_datele;
begin
    writeln('Introduceti lung inalt pmin pmax qmin qmax');
    read(lung, inalt, pmin, pmax, qmin, qmax);
end;

begin { main }

```

```

citnumefis;
rewrite(fisier, numefis);
citeste_datele;
verifica_datele;
inreg.nr := 0;
detach;
converteste;
deseneaza_figura;
scrie;
break(output)
end.

```

## Programul CJ.pas

```

[[1-]]
{$NOCHECK}
program CJ;
{ desenarea pe terminalul color a multimilor
  JULIA folosind fisiere intermediare }
const
  inaltime_ecran = 287;
  m = 100.0;
  kmare = 160;
  nrculori = 8;
  us = 31;
  lungime_ecran = 447;
  lgbuf = 509;
type
  buffer = packed array [0..lgbuf] of char;
  bloc =
    record
      nr: integer;
      buf: buffer
    end;
  numefisier = packed array [1..12] of char;
  culori = array [0..7] of 0..7;
const
  redef = culori(7, 3, 2, 6, 5, 1, 4, 0);
var
  minimx, minimy, x, deltax, deltay, p, q, xmin, xmax,
  ymin, ymax, y, x1, x2, y2, r: real;
  opt, dr, sscx1, sscyl, scx1, scx2, scyl, scy2, inalt,
  lung, nx, ny, k, kvechi, xvechi, yvechi: integer;
  fisier: file of bloc;
  inreg: bloc;
  numefis: numefisier;
procedure inibuf; external;
procedure outchr(k: integer); external;
procedure wait; external;
procedure delmode; external;
procedure outbuf; external;
procedure ini_gr; external;

```

```

procedure move(x, y: integer); external;
procedure draw(x, y: integer); external;
procedure ink(k: integer); external;
procedure detach; external;
procedure citeste;
begin
  read(fisier, inreg);
  inreg.nr := 0
end;
procedure scoate(var ch: char);
begin
  with inreg do
  begin
    ch := buf[nr];
    if nr >= lgbuf then
      citeste
    else
      nr := succ(nr);
    end
  end;
end;

#include julia2.pas;

procedure citfis(var k: integer);
var
  ch: char;
begin
  scoate(ch);
  k := ord(ch)
end;

#include julia3.pas;
procedure citnumefis;
begin
  write('Numele fisierului : ');
  readln(numefis);
end;

begin { main }
  inibuf;
  citnumefis;
  reset(fisier, numefis);
  delmode;
  outbuf;
  citeste;
  deconverteste;
  scrie_datele;
  deseneaza_figura
end.

```

# Programul CM.pas

```

[[1-]]
{$NOCHECK}
program CM;
{ desenarea pe terminalul color a multimilor
  MANDELBROT folosind fisiere intermediare }
const
  inaltime_ecran = 287;
  m = 100.0;
  kmare = 160;
  nrculori = 8;
  us = 31;
  lungime_ecran = 447;
  lgbuf = 509;
type
  buffer = packed array [0..lgbuf] of char;
  bloc =
    record
      nr: integer;
      buf: buffer;
    end;
  numefisier = packed array [1..12] of char;
  culori = array [0..7] of 0..7;
const
  redef = culori(7, 3, 2, 6, 5, 1, 4, 0);
var
  minimq, x, deltap, deltaq, p, q, pmin, pmax, qmin,
  qmax, y, x1, x2, y2, r: real;
  opt, dr, sscpl, sscql, scp1, scp2, scq1, scq2, inal,
  lung, np, nq, k, kvechi, pvechi, qvechi: integer;
  ch: char;
  fisier: file of bloc;
  inreg: bloc;
  numefis: numefisier;
procedure inibuf; external;
procedure outchr(k: integer); external;
procedure wait; external;
procedure delmode; external;
procedure outbuf; external;
procedure ini_gr; external;
procedure move(x, y: integer); external;
procedure draw(x, y: integer); external;
procedure ink(k: integer); external;
procedure detach; external;
procedure citeste;
begin
  read(fisier, inreg);
  inreg.nr := 0;
end;
procedure scoate(var ch: char);

```



```

begin
  with inreg do
    begin
      ch := buf[nr];
      if nr >= lgbuf then
        citeste
      else
        nr := succ(nr);
      end
    end;
end;

#include mandelb2.pas;
#include citfis.pas;
#include mandelb3.pas;

procedure scrie_datele;
begin
  move(0, 24 + inaltime_ecran);
  outchr(us);
  outbuf;
  wait;
  writeln(' LG=', lung: 3, ' IN=', inalt: 3, ' PMI=',
    pmin: 3: 1, ' PMA=', pmax: 3: 1, ' QMI=',
    qmin: 3: 1, ' QMA=', qmax: 3: 1);
end;

procedure citnumefis;
begin
  write('Numele fisierului :');
  readln(numefis);
end;

procedure pozc(var x, y: integer;
  var ch: char); external;
procedure afla_coord(var p, q: real;
  var ch: char);
begin
  pozc(np, nq, ch);
  p := (np - sscpl) * deltap + pmin;
  q := (nq - sscql) * deltaq + qmin;
end;

begin { main }
  inibuf;
  citnumefis;
  reset(fisier, numefis);
  delmode;
  outbuf;
  citeste;
  deconverteste;
  scrie_datele;
  deseneaza_figura;
  repeat;
    afla_coord(p, q, ch);

```

```

writeln('P=', p: 8: 6, 'Q=', q: 8: 6)
until ord(ch) = 13;
end.

Programul DCJ.pas

{[1-]}
{$nocheck}
program DCJ;
{ desenarea pe terminalul alb-negru a multimilor
  JULIA folosind fisiere intermediare }
const
  inaltime_ecran = 287;
  m = 100.0;
  kmare = 160;
  nrculori = 2;
  us = 31;
  lungime_ecran = 447;
  lgbuf = 509;
type
  buffer = packed array [0..lgbuf] of char;
  bloc =
    record
      nr: integer;
      buf: buffer;
    end;
  numefisier = packed array [1..12] of char;
  culori = array [0..7] of 0..7;
const
  redef = culori(7, 3, 2, 6, 5, 1, 4, 0);
var
  minimx, minimy, x, deltax, deltay, p, q, xmin, xmax,
  ymin, ymax, y, x1, x2, y2, r: real;
  opt, dr, sscx1, sscy1, scx1, scx2, scy1, scy2, inalt, lung,
  nx, ny, k, kvechi, xvechi, yvechi: integer;
  fisier: file of bloc;
  inreg: bloc;
  numefis: numefisier;
procedure inibuf; external;
procedure outchr(k: integer); external;
procedure wait; external;
procedure delmode; external;
procedure outbuf; external;
procedure ini_gr; external;
procedure move(x, y: integer); external;
procedure draw(x, y: integer); external;
procedure ink(k: integer); external;
procedure detach; external;
procedure citeste;
begin
  read(fisier, inreg);
  inreg.nr := 0

```

```

end;
procedure scoate(var ch: char);
begin
  with inreg do
  begin
    ch := buf[nr];
    if nr >= lgbuf then
      citeste
    else
      nr := succ(nr);
    end
  end;
end;

#include julia2.pas;

procedure citfis(var k: integer);
var
  ch: char;
begin
  scoate(ch);
  k := ord(ch) mod nrculori;
end;

#include julia3.pas;

procedure citnumefis;
begin
  write('Numele fisierului :');
  readln(numefis);
end;

procedure pauza(tim: real);
var
  x: real;
begin
  x := time;
  while time < x + tim / 3600 do
  end;

begin { main }
  inibuf;
  citnumefis;
  reset(fisier, numefis);
  ini_gr;
  outbuf;
  citeste;
  deconverteste;
  deseneaza_figura;
  pauza(10);
end.

```

Programul DCM.pas

```

[1-]
{$NOCHECK}
program DCM;
{ desenarea pe terminalul alb-negru a multimilor
  MANDELBROT folosind fisiere intermediare }
const
  inaltime_ecran = 287;
  m = 100.0;
  kmare = 160;
  nrculori = 2;
  us = 31;
  lungime_ecran = 447;
  lgbuf = 509;
type
  buffer = packed array [0..lgbuf] of char;
  bloc =
    record
      nr: integer;
      buf: buffer
    end;
  numefisier = packed array [1..12] of char;
  culori = array [0..7] of 0..7;
const
  redef = culori(7, 3, 2, 6, 5, 1, 4, 0);
var
  minimq, x, deltap, deltaq, p, q, pmin, pmax, qmin,
  qmax, y, x1, x2, y2, r: real;
  opt, dr, sscpl, sscql, scpl, scp2, scql, scq2, inalt, lung,
  np, nq, k, kvechi, pvechi, qvechi: integer;
  ch: char;
  fisier: file of bloc;
  inreg: bloc;
  numefis: numefisier;
procedure inibuf; external;
procedure outchr(k: integer); external;
procedure wait; external;
procedure delmode; external;
procedure outbuf; external;
procedure ini_gr; external;
procedure move(x, y: integer); external;
procedure draw(x, y: integer); external;
procedure ink(k: integer); external;
procedure detach; external;
procedure citeste;
begin
  read(fisier, inreg);
  inreg.nr := 0;
end;
procedure scoate(var ch: char);

```



```

begin
  with inreg do
    begin
      ch := buf[nr];
      if nr >= lgbuf then
        citeste
      else
        nr := succ(nr);
      end
    end;
end;

#include mandelb2.pas;
#include citfis.pas;
#include mandelb3.pas;

procedure scrie_datele;
begin
  move(0, inaltime_ecran);
  outchr(us);
  outbuf;
  wait;
  writeln(' LG=', lung: 3, ' IN=', inalt: 3, ' PMI=', pmin:
    3: 1, ' PMA=', pmax: 3: 1, ' QMI=', qmin: 3: 1,
    ' QMA=', qmax: 3: 1);
end;

procedure citnumefis;
begin
  write('Numele fisierului :');
  readln(numefis);
end;

procedure pozc(var x, y: integer;
  var ch: char); external;

procedure afla_coord(var p, q: real;
  var ch: char);
begin
  pozc(np, nq, ch);
  p := (np - sscpl) * deltap + pmin;
  q := (nq - sscql) * deltaq + qmin;
end;

function getnr:char;external;

begin { main }
  inibuf;
  citnumefis;
  reset(fisier, numefis);
  ini_gr;
  outbuf;
  citeste;
  deconverteste;
  scrie_datele;
  deseneaza_figura;
  repeat until getnr='Q';

```

```

repeat;
  afla_coord(p, q, ch);
  writeln('P=', p: 8: 6, 'Q=', q: 8: 6)
until ord(ch) = 13;
end.

```

## Proceduri citate cu include

### JULIA1

```

procedure dreptunghi(x1, x2, y1, y2: real);
var
  nx, ny: integer;
begin
  scx1 := sscx1 + round((x1 - xmin) / deltax);
  scy1 := sscy1 + round((y1 - ymin) / deltax);
  dr := round((x2 - x1) / deltax);
  for ny := 0 to round((y2 - y1) / deltax) do
    for nx := 0 to dr do
      begin
        calcul(x1 + nx * deltax, y1 + ny * deltax, k);
        punct(nx, ny, k);
      end;
    end;
  end;

procedure patrat(minimx, minimy: real);
var
  nx, ny: integer;
begin
  scx1 := sscx1 + round((- minimx - xmin) / deltax);
  scx2 := scx1 + 2 * round(minimx / deltax);
  scy1 := sscy1 + round((- minimy - ymin) / deltax);
  scy2 := scy1 + 2 * round(minimy / deltax);
  dr := round(minimx / deltax);
  for ny := 0 to round(2 * minimy / deltax) do
    for nx := 0 to dr do
      begin
        calcul(-minimx + nx * deltax, -minimy + ny * deltax, k);
        bpunct(nx, ny, k);
      end;
    end;
  end;

procedure min(a, b, c, d: real;
              var minimx, minimy: real);
begin
  minimx := a;
  if minimx > b then
    minimx := b;
  minimy := c;
  if minimy > d then
    minimy := d;
  end;
end;

procedure verifica_datele;

```

```
procedure schimba(var x, y: real);
```

```
var
```

```
z: real;
```

```
begin
```

```
z := x;
```

```
x := y;
```

```
y := z
```

```
end;
```

```
begin
```

```
if xmin > xmax then
```

```
schimba(xmin, xmax);
```

```
if ymin > ymax then
```

```
schimba(ymin, ymax);
```

```
if lung > lungime_ecran then
```

```
lung := lungime_ecran;
```

```
if inal > inaltime_ecran then
```

```
inal := inaltime_ecran
```

```
end;
```

---

## JULIA2

---

```
procedure deco_real(var x: real;
```

```
var nr: integer;
```

```
var f: buffer); external;
```

```
procedure deco_int(var x: integer;
```

```
var nr: integer;
```

```
var f: buffer); external;
```

```
procedure deconverteste;
```

```
begin {DECONVERTESTE}
```

```
with inreg do
```

```
begin
```

```
deco_real(p, nr, buf);
```

```
deco_real(q, nr, buf);
```

```
deco_int(lung, nr, buf);
```

```
deco_int(inal, nr, buf);
```

```
deco_real(xmin, nr, buf);
```

```
deco_real(xmax, nr, buf);
```

```
deco_real(ymin, nr, buf);
```

```
deco_real(ymax, nr, buf);
```

```
end
```

```
end;
```

```
procedure aprinde(x, y: integer);
```

```
begin
```

```
move(x, y);
```

```
draw(x, y)
```

```
end;
```

```
procedure bipunct(nx, ny, k: integer);
```

```
begin
```

```
if nx = 0 then
```

```
begin
```

```
kvechi := k;
```

```
xvechi := nx;
```

```

yvechi := ny;
end
else if (k <> kvechi) or (nx = dr) then
begin
ink(undef[kvechi]);
move(scx1 + xvechi, scyl + yvechi);
draw(scx1 + nx, scyl + ny);
move(scx2 - xvechi, scy2 - yvechi);
draw(scx2 - nx, scy2 - ny);
xvechi := nx;
yvechi := ny;
if (k <> kvechi) and (nx = dr) then
begin
ink(undef[k]);
aprinde(scx1 + nx, scyl + ny);
aprinde(scx2 - nx, scy2 - ny);
end;
kvechi := k;
end;
end;
end;
procedure punct(nx, ny, k: integer);
begin
if nx = 0 then
begin
kvechi := k;
ink(undef[k]);
move(scx1, scyl + ny);
end
else if (k <> kvechi) or (nx = dr) then
begin
ink(undef[kvechi]);
draw(scx1 + nx, scyl + ny);
if (k <> kvechi) and (nx = dr) then
begin
ink(undef[k]);
aprinde(scx1 + nx, scyl + ny);
end;
kvechi := k;
end;
end;
end;

```

### JULIA3

```

procedure dreptunghi(x1, x2, y1, y2: real);
var
nx, ny: integer;
begin
scx1 := sscx1 + round((x1 - xmin) / deltax);
scyl := sscyl + round((y1 - ymin) / deltay);
dr := round((x2 - x1) / deltax);
for ny := 0 to round((y2 - y1) / deltay) do
for nx := 0 to dr do

```



```

begin
  citfis(k);
  punct(nx, ny, k);
end;

end;

procedure patrat(minimx, minimy: real);
var
  nx, ny: integer;
begin
  scx1 := sscx1 + round((- minimx - xmin) / deltax);
  scx2 := scx1 + 2 * round(minimx / deltax);
  scy1 := sscy1 + round((- minimy - ymin) / deltay);
  scy2 := scy1 + 2 * round(minimy / deltay);
  for ny := 0 to round(2 * minimy / deltay) do
    begin
      dr := round(minimx / deltax);
      for nx := 0 to dr do
        begin
          citfis(k);
          bipunct(nx, ny, k);
        end;
      end;
    end;
  end;

end;

procedure min(a, b, c, d: real;
  var minimx, minimy: real);
begin
  minimx := a;
  if minimx > b then
    minimx := b;
  minimy := c;
  if minimy > d then
    minimy := d;
  end;
end;

procedure scalare;
begin
  sscx1 := lungime_ecran div 2 + round(xmin / deltax);
  if sscx1 < 0 then
    sscx1 := 0;
  else if sscx1 > lungime_ecran - lung then
    sscx1 := lungime_ecran - lung;
  sscy1 := inaltime_ecran div 2 + round(ymin / deltay);
  if sscy1 < 0 then
    sscy1 := 0;
  else if sscy1 > inaltime_ecran - inalt then
    sscy1 := inaltime_ecran - inalt;
  end; {scalare}
end;

procedure verifica_datele;
procedure schimba(var x, y: real);
var
  z: real;
begin
  z := x;
  x := y;
  y := z;
end;

```

```

y := z
end;
begin
  if xmin > xmax then
    schimba(xmin, xmax);
  if ymin > ymax then
    schimba(ymin, ymax);
  if lung > lungime_ecran then
    lung := lungime_ecran;
  if inaltd > inaltime_ecran then
    inaltd := inaltime_ecran;
end;
procedure deseneaza_figura;
begin
  verifica_datele;
  deltax := (xmax - xmin) / lung;
  deltax := (ymax - ymin) / inaltd;
  scalare;
  min(-xmin, xmax, -ymin, ymax, minimx, minimy);
  if (minimx <= 0) or (minimy <= 0) then
    dreptunghi(xmin, xmax, ymin, ymax)
  else
    begin
      patrat(minimx, minimy);
      dreptunghi(xmin, minimx, ymin, -minimy);
      dreptunghi(xmin, -minimx, -minimy, ymax);
      dreptunghi(-minimx, xmax, minimy, ymax);
      dreptunghi(minimx, xmax, ymin, minimy);
    end;
  outbuf;
end;
procedure scrie_datele;
begin
  move(0, inaltime_ecran);
  outchr(us);
  outbuf;
  wait;
  writeln('P=', p: 5: 3, ' Q=', q: 5: 3, ' LG=', lung: 3,
    ' IN=', inaltd: 3, ' XMI=', xmin: 3: 1, ' XMA=',
    xmax: 3: 1, ' YMI=', ymin: 3: 1, ' YMA=', ymax: 3: 1);
end;
=====
MANDELB1
=====
procedure calcul(p, q: real;
  var k: integer);
begin
  k := 0;
  x := 0;
  y := 0;
  repeat
    k := succ(k);

```

```

x2 := sqr(x);
y2 := sqr(y);
x1 := x2 - y2 + p;
y := 2 * x * y + q;
x := x1;
r := x2 + y2;
until (r > m) or (k >= kmare);
k := k mod nrculori;
end;
procedure dreptunghi(p1, p2, q1, q2: real);
var
  np, nq: integer;
begin
  scp1 := sscp1 + round((p1 - pmin) / deltap);
  scq1 := sscq1 + round((q1 - qmin) / deltag);
  dr := round((p2 - p1) / deltap);
  for nq := 0 to round((q2 - q1) / deltag) do
    for np := 0 to dr do
      begin
        calcul(p1 + np * deltap, q1 + nq * deltag, k);
        pune(chr(k))
      end;
    end;
  end;
procedure verifica_datele;
procedure schimba(var x, y: real);
var
  z: real;
begin
  z := x;
  x := y;
  y := z;
end;
begin
  if pmin > pmax then
    schimba(pmin, pmax);
  if qmin > qmax then
    schimba(qmin, qmax);
  if lung > lungime_ecran then
    lung := lungime_ecran;
  if inaltd > inaltime_ecran then
    inaltd := inaltime_ecran;
end;
procedure patrat(p1, p2, minimq: real);
var
  np, nq: integer;
begin
  scp1 := sscp1 + round((p1 - pmin) / deltap);
  scq1 := sscq1 + round((- minimq - qmin) / deltag);
  scq2 := scq1 + 2 * round(minimq / deltag);
  dr := round((p2 - p1) / deltap);
  for nq := 0 to round(minimq / deltag) do

```

```

for np := 0 to dr do
begin
calcul(p1 + np * deltap, - minmq + nq * deltaq, k);
pune(chr(k));
end;
end;
procedure min(a, b: real;
var c: real);
begin
c := a;
if c > b then
c := b
end;

```

---

**MANDELB2**

---

```

procedure deco_real(var x: real;
var nr: integer;
var f: buffer); external;
procedure deco_int(var x: integer;
var nr: integer;
var f: buffer); external;
procedure deconverteste;
begin {deconverteste}
with inreg do
begin
deco_int(lung, nr, buf);
deco_int(inalt, nr, buf);
deco_real(pmin, nr, buf);
deco_real(pmax, nr, buf);
deco_real(qmin, nr, buf);
deco_real(qmax, nr, buf);
end
end;
procedure aprinde(x, y: integer);
begin
move(x, y);
draw(x, y)
end;
procedure punct(np, nq, k: integer);
begin
if np = 0 then
begin
kvechi := k;
move(scpl, scql + nq);
end
else if (k <> kvechi) or (np = dr) then
begin
ink(redef[kvechi]);
draw(scpl + np, scql + nq);
if (k <> kvechi) and (np = dr) then
begin

```



```

ink(undef[k]);
aprinde(scpl + np, scql + nq);
end;
kvechi := k;
end;
end;

```

### MANDELB3

```

procedure dreptunghi(x1, x2, y1, y2: real);

```

```

var
  np, nq: integer;
begin
  scpl := sscpl + round((x1 - pmin) / deltap);
  scql := sscql + round((y1 - qmin) / deltap);
  dr := round((x2 - x1) / deltap);
  for nq := 0 to round((y2 - y1) / deltap) do
    for np := 0 to dr do
      begin
        citfis(k);
        punct(np, nq, k);
      end;
    end;
  end;

```

```

procedure bipunct(np, nq, k: integer);

```

```

begin
  if np = 0 then
    begin
      kvechi := k;
      pvechi := np;
      qvechi := nq;
    end

```

```

  else if (k <> kvechi) or (np = dr) then

```

```

    begin

```

```

      ink(undef[kvechi]);

```

```

      move(scpl + pvechi, scql + qvechi);

```

```

      draw(scpl + np, scql + nq);

```

```

      move(scpl + pvechi, scql - qvechi);

```

```

      draw(scpl + np, scql - nq);

```

```

      pvechi := np;

```

```

      qvechi := nq;

```

```

      if (k <> kvechi) and (np = dr) then

```

```

        begin

```

```

          ink(undef[k]);

```

```

          aprinde(scpl + np, scql + nq);

```

```

          aprinde(scpl + np, scql - nq);

```

```

        end;

```

```

      kvechi := k;

```

```

    end;

```

```

  end;

```

```

procedure min(a, b: real;

```

```

  var c: real);

```

```

begin

```

```

c := a;
if c > b then
    c := b
end;
procedure patrat(p1, p2, minimq: real);
var
    np, nq: integer;
begin
    sscpl := sscpl + round((p1 - pmin) / deltap);
    scq1 := sscq1 + round((- minimq - qmin) / deltap);
    scq2 := scq1 + 2 * round(minimq / deltap);
    dr := round((p2 - p1) / deltap);
    for nq := 0 to round(minimq / deltap) do
        for np := 0 to dr do
            begin
                citfis(k);
                bipunct(np, nq, k);
            end;
        end;
    end;
end;
procedure scalare;
begin
    sscpl := lungime_ecran div 2 + round(pmin / deltap);
    if sscpl < 0 then
        sscpl := 0
    else if sscpl > lungime_ecran - lung then
        sscpl := lungime_ecran - lung;
    sscq1 := inaltime_ecran div 2 + round(qmin / deltap);
    if sscq1 < 0 then
        sscq1 := 0
    else if sscq1 > inaltime_ecran - inalt then
        sscq1 := inaltime_ecran - inalt;
    end; {scalare}
end;
procedure verifica_datele;
procedure schimba(var x, y: real);
var
    z: real;
begin
    z := x;
    x := y;
    y := z
end;
begin
    if pmin > pmax then
        schimba(pmin, pmax);
    if qmin > qmax then
        schimba(qmin, qmax);
    if lung > lungime_ecran then
        lung := lungime_ecran;
    if inalt > inaltime_ecran then
        inalt := inaltime_ecran
    end;
end;
procedure deseneaza_figura;
begin

```

```

verifica_datele;
deltap := (pmax - pmin) / lung;
deltaq := (qmax - qmin) / inal;
scalare;
min( - qmin, qmax, minimq);
if minimq <= 0 then
  dreptunghi(pmin, pmax, qmin, qmax)
else
  begin
    patrat(pmin, pmax, minimq);
    dreptunghi(pmin, pmax, qmin, - minimq);
    dreptunghi(pmin, pmax, minimq, qmax);
  end;
outbuf;
end;

```

#### 5.7.4. Biblioteca grafică GRAF.olb

Ținând seama că limbajul PASCAL nu are implementată posibilitatea utilizării zonelor de date comune (instrucțiunea COMMON din FORTRAN 77) biblioteca a fost astfel elaborată încît să fie eliminat acest obstacol, făcînd-se desigur apel la un artificiu impus de realitatea limbajului. În continuare, vom prezenta modul de construire a bibliotecii grafice, dar mai înainte prezentăm lista procedurilor conținute și care pot fi apelate din programe aplicative de grafică.

#### Proceduri grafice din biblioteca GRAF

procedure DRAW (x,y: integer)	trasează un segment de dreaptă din punctul curent pînă în punctul de coordonate absolute (x,y)
procedure MOVE (x,y: integer)	intră în modul grafic și punctul curent devine punctul de coordonate absolute (x,y)
procedure APRINDE (x,y: integer)	aprinde punctul de coordonate absolute (x,y)
procedure TYPE_AT (x,y: integer; var line: txt; line_lg: integer)	tipărește tabloul LINE de tip TXT de max. 6 caractere și de lungime LINE_LG începînd de la punctul de coordonate (x,y)
procedure COMENZI_SPECIALE	intră în modul de comenzi speciale
procedure INK (col:integer)	culoarea cernelii (pe terminalul color) devine COL ce poate fi din subdomeniul 0..7, iar ce s-a aflat pe ecran pînă la acel moment nu se schimbă

procedure PAPER (col: integer)	culoarea fondului pe care se scriu caracterele devine COL ce poate fi din subdomeniul 0..7
procedure SUPERPOSE	tipărirea caracterelor se face prin suprapunere
procedure DELMODE	tipărirea caracterelor se face prin ștergere
procedure TEKTRONIX__MODE	terminalul trece în mod TEKTRONIX
procedure CLEAR__SCREEN	șterge ecranul, iar culoarea fondului este culoarea setată prin PAPER
procedure INI__GR	inițializează modul grafic, punctul curent devine (0,0), fondul VERDE, cerneala GALBEN și se șterge ecranul
procedure PAPINK (i,j: integer)	analog ca și INI__GR, dar fondul are codul i, iar cerneala codul j
procedure STERGERE	ștergerea ecranului pentru DAF-2020
procedure VECTOR (vect: MOD__V)	pentru DAF-2020, trasarea vectorilor se face în mod uzual dacă MOD__V este '??' și se realizează ștergerea dacă MOD__V este 'ee'
procedure VECTOR	afectează rezultatul procedurii DRAW
procedure INTRA__PROG	pentru DAF-2020 se începe programarea caracterelor
procedure IESE__PROG	pentru DAF-2020 se termină programarea caracterelor
procedure COPIE	copierea ecranului terminalului DAF-2020 la imprimanta matricială
procedure INTROD	afișează cursorul cruce pe DAF-2020

### Proceduri utilizate special pentru pachetul FRACTALI

procedure INIBUF	inițializarea bufferului ce trebuie să se realizeze înaintea apelării oricărei proceduri ce folosește bufferul
procedure OUTBUF	transmite bufferul la terminal
procedure OUTCHR (n: integer)	depune în buffer caracterul CHR(n)



procedure OUTCAR (ch: char)	depune în buffer caracterul CH
procedure OUTBNR (nr, basis: integer)	serie în buffer numărul NR în baza BASIS
procedure WAIT	forțează task-ul să aștepte terminarea operațiilor de I/O; în mod obișnuit, când transmite bufferul la terminal, task-ul transmite comanda de tipărire a șirului de caractere și continuă mai departe, fără să aștepte sfârșitul operației de tipărire
procedure DMOVE (lin, col: integer)	pentru terminalele alb-negru se poziționează în linia LIN și coloana COL, unde LIN ia valori în subdomeniul 1..24, iar COL ia valori în subdomeniul 1..80
procedure VID__INV	trecerea în modul video-invers
procedure VID__NOR	trecerea în modul video-normal
procedure CLEAR	ștergerea ecranului
procedure TIP__LA (lin, col: integer)	pentru TETRIS
procedure SETGR (term: TIP_TERMINAL)	setează parametrii folosiți de DMOVE, VID__INV, VID__NOR și CLEAR
procedure VT100	modul de lucru VT100 pentru terminal
procedure VT52	modul de lucru VT52 pentru terminal
procedure ANSI	modul de lucru ANSI pentru terminal
function ASKTERM	interoghează terminalul și întoarce tipul terminalului; se atașează terminalul astfel ca să nu acționeze nici măcar tasta <CTRL/C>

**Observație:** Biblioteca GRAF.olb conține câteva rutine (scrise în limbajul MACRO) care eclipsează unele puncte de intrare din PASLIB.olb în scopul utilizării aceluiași buffer de ieșire la rutinele de grafică și la cele apelate de instrucțiunile de ieșire (WRITE, WRITELN, etc). Acest artificiu a fost impus de implementarea compilatorului PASCAL V02.H sub sistemul de operare RSX-11M.

# Proceduri sursă

## TEKDR.pas

```

Program Tekdr;
{$nomain}
{$own}
{ modul de lucru TEKTRONIX }
Const
  white = 0;
  green = 2;
  yellow = 4;
  black = 7;
  max_len = 80;

  %Include lb:[1,1]graf.def
  %include termgr.def

Var
  lyh, lyl, lxh, lxl: integer;
  { current pixel coordinate codes }

Procedure Draw;
Var
  hiy, loy, hix: integer;
Begin
  if x < 0 then
    x := 0;
  if y < 0 then
    y := 0;
  x := x * 2;
  y := y * 2;
  { compute coordinate codes }
  hiy := y div 32 or 32;
  loy := y mod 32 or 96;
  hix := x div 32 or 32;
  { output them ( only if needed )
  and save them as current pixel }
  if hiy <> lyh then
    begin
      outchr(hiy);
      lyh := hiy
    end;
  if hix <> lxh then
    begin
      outchr(loy);
      outchr(hix);
      lyl := loy;
      lxh := hix
    end
  else if loy <> lyl then

```

```

begin
  outchr(loy);
  ly1 := loy
end;
  lx1 := x mod 32 or 64;
  outchr(lx1);
End;

Procedure Move;
Begin
  outchr(GS); { do not trace next "draw" }
  draw(x, y)
End;

Procedure Aprinde;
begin
  move(x, y);
  outchr(lx1);
end;

Procedure Type_at;
Var
  i: integer;
Begin
  move(x, y);
  outchr(US); { Tektronix alpha mode; the first character }
  for i := 1 to line_lg do { will be typed at x, y }
    outchr(ord(line[i]))
  End;

Function cvt(n: integer): integer;
{ one digit integer to ASCII conversion }
Begin
  cvt := ord('0') + n
End;

Procedure comenzi speciale;
begin
  outchr(esc);
  outchr('X');
end;

Procedure Ink;
Begin
  comenzi_speciale;
  outchr(ord('C'));
  outchr(cvt(col))
End;

Procedure Paper;
Begin
  comenzi_speciale;
  outchr(ord('F'));
  outchr(cvt(col))
End;

```

APLICAȚII ÎN TEORIA FRACTALILOR

```

End;

Procedure Superpose;
Begin
    comenzi_speciale;
    outchr(ord('2'))
End;

Procedure Delmode;
Begin
    comenzi_speciale;
    outchr(ord('3'))
End;

Procedure Tektronix_mode;
Begin
    outchr(ESC);
    outchr(ord('1'))
End;

Procedure Clear_screen;
Begin
    outchr(ESC);
    outchr(FF) End;

Procedure Ini_gr;
Begin
    OUTCHR(ESC);
    OUTCHR(ORD('<')));
    papink(green, yellow)
end;

Procedure PAPINK;
Begin
    tektronix_mode;
    delmode;
    paper(1);
    ink(J);
    clrtek;
End;

Procedure clrtek;
begin
    clear_screen;
    { set false coordinates
    to current pixel to assure
    an effective move }
    lyh := 33;
    lyl := 97;
    lxh := 33;
    lxl := 65;
    move(0, 500)
end;
    
```



```

PROCEDURE VECTOR;
BEGIN
  COMENZI_SPECIALA;
  OUTCHR(SOH);
  OUTCHR(ORD(VECT[1]));
  OUTCHR(ORD(VECT[2]));
END;

procedure vt100;
begin
  comenzi_speciale;
  outchr(ord('1'));
end;

procedure vt52;
begin
  outchr(esc);
  outbuf;
  wait;
  writeln('721');
end;

procedure ansi;
begin
  outchr(esc);
  outchr(ord('<'));
end;

procedure intra_prog;
begin
  comenzi_speciale;
  outchr(ord('P'))
end;

procedure iese_prog;
begin
  comenzi_speciale;
  outchr(ord('A'))
end;

procedure copie;
begin
  outchr(esc);
  outchr(eth);
  outbuf;
end;

procedure introd;
begin
  outchr(esc);
  outchr(sub);
  outbuf;
end;

```

---

### TERMGR.pas

---

```

program termgr;
{$nomain}

```

```
{ $own[1-]}
{ modul de lucru VT 100 }
```

```
const
  dc4 = 20;
  dc2 = 18;
  esc = 27;
  bell = 7;
  bs = 8;
  ff = 12;
```

```
var
  cd1, cd2, cd3, cv1, cv2, cv3, cvi2, cvn2, clr1,
  clr2, clr3, clr4,
  term: integer;
```

```
%include outti.def;
%include ast.def;
%include termgr.def;
```

```
procedure exitst(n: integer ) ;external ;
procedure dmove;
```

```
begin
  outchr(cd1);
  outchr(cd2);
  if term <> 1 then
    begin
      outchr(31 + lin); if term=3 then outchr(ord(','));
      outchr(31 + col)
    end
  else
    begin
      outchr(31 + col);
      outchr(31 + lin)
    end;
  outchr(cd3)
end;
```

```
procedure vid_inv;
```

```
begin
  outchr(cv1);
  outchr(cv2);
  outchr(cvi2);
  outchr(cv3)
end;
```

```
procedure vid_nor;
```

```
begin
  outchr(cv1);
  outchr(cv2);
  outchr(cvn2);
  outchr(cv3)
end;
```

```
procedure clear;
```

```
begin
  outchr(clr1);
```

```

    outchr(clr2);
    dmove(1, 1);
    vid_nor;
    outbuf
end;
procedure tip_la;
begin
    dmove(11n, col * 2 - 1);
    outchr(ord(' '));
    outchr(ORD(' '))
end;
procedure setgrf;
begin
    term := terminal;
    case terminal of
        1:
            begin
                cd1 := 0;
                cd2 := dc2;
                cd3 := 0;
                cv1 := 0;
                cv2 := dc4;
                cv3 := 0;
                cvi2 := ord('H');
                cvn2 := ord('@');
                clr1 := esc;
                clr2 := ord('Z');
                clr3 := 0;
                clr4 := 0
            end;
        2:
            begin
                cd1 := esc;
                cd2 := ord('Y');
                cd3 := 0;
                cv1 := 0;
                cv2 := 0;
                cv3 := 0;
                cvi2 := ord('N') - 64;
                cvn2 := ord('O') - 64;
                clr1 := esc;
                clr2 := ord('E');
                clr3 := 0;
                clr4 := 0
            end;
        3:
            begin
                cd1 := esc;
                cd2 := ord('[');
                cd3 := ord('H');
                cv1 := esc;
                cv2 := ord('[');
                cvi2 := ord('7');
            end;
    end;
end;

```

```

cvn2 := ord('0');
cv3 := ord('m');
clr1 := esc;
clr2 := ord('[');
clr3 := ord('2');
clr4 := ord('J');
outchr(esc);
bell := outchr(ord('<')); {Trece in mod ANSI din mod VT52 }
bs = 8;
end;
ff = otherwise
BEGIN
writeln(terminal);
EXITST(2);
END
end;
end; {setgrf}

```

```

=====
%include lb:[1,1]outti.def;
%include lb:[1,1]tekdr.def;
GRAF.def
=====
procedure exitst(n: integer); external;
const esc=27;us=31;cr=13;
lf=10;
ff=12;gs=29;enq=5;soh=1;sub=26;
etb=23;
dc4=20;dc2=18;bel=7;bs=8;
ALB=0;ROSU=1;VERDE=2;GALBEN=4;MOV=6;NEGRU=7;

%include lb:[1,1]outti.def
%include lb:[1,1]tekdr.def

```

**Observație:** se include la începutul fiecărui program ce folosește procedurile grafice.

```

=====
%include lb:[1,1]outti.def;
%include lb:[1,1]tekdr.def;
TEKDR.def
=====
Const
txt_len=6;
Type
txt = packed array [1..txt_len] of char;
MOD V=PACKED ARRAY[1..2]OF CHAR;
Procedure Draw(x,y: integer); External;
Procedure Move(x,y: integer); External;
Procedure aprinde(x,y: integer); External;
Procedure Type_at(x,y: integer;
var line: txt;
outchr(cvn2); line lg: integer); External;
Procedure Comenzi_speciale; External;
Procedure Ink(col: integer); External;
Procedure Paper(col: integer); External;
Procedure Superpose; External;
Procedure Delmode; External;

```



```

Procedure Tektronix_mode; External;
Procedure Clear_screen; External;
Procedure Ini_gr; External;
Procedure PAPINK(I, J: INTEGER); EXTERNAL;
procedure STERGERE;external;
Procedure VECTOR(VECT: MOD V);EXTERNAL;
procedure intra_prog;external;
procedure iese_prog;external;
procedure copie;external;
procedure introd;external;

```

### OUTTI.def

```

Procedure Inibuf; External;
Procedure Outbuf; External;
Procedure Outchr(n: integer); External;
Procedure OUTCAR(CH: char); External;
Procedure OUTBNR(NR, BASIS: integer); External;
Procedure WAIT; External;

```

### TERMGR.def

```

type tip_terminal=(daf2010,vdt52,daf_ansi,daf_vt52,daf_color);
procedure dmove(lin, col: integer);external;
procedure vid_inv;external;
procedure vid_nor;external;
procedure clear;external;
procedure tip_la(lin, col: integer);external;
procedure setgrf(terminal:tip_terminal);external;
procedure vt100;external;
procedure vt52;external;
procedure ansi;external;
function askterm:tip_terminal;external;

```

### OUTPUT.pas

```

procedure wrtlin;external; { writeln }
procedure $b36;external;
procedure $b36; begin wrtlin end;

procedure outasc;external; { write('hgf': 7) }
procedure $b32;external;
procedure $b32; begin outasc end;

procedure outcha;external; { write('i':6) }
procedure $b20;external;
procedure $b20; begin outcha end;

```

```

procedure outr0;external;
procedure $putch;external;
procedure $putch; begin outr0 end;

procedure putfil;external;
procedure $b60;external;
procedure $b60; begin putfil end;
procedure stctrl(ch:char);external;

```

**Observație:** *bufferul este trimis la terminal dacă se apelează OUTPUT sau WRITELN, sau dacă s-a umplut mai mult de jumătate din zona alocată lui.*

### OUTPUT.mac

```

.title soutpt
.ident /030590/
.mcall qiow$,dir$,setf$,wtse$

qiowal: qiow$ io.wal,5,5,,, <buf,,40>
buf: .blkb 512.
.even
poscrt: .word buf
mijloc= buf + 300.

.macro chkpos ; daca s-a umplut jumătate
    cmp poscrt,#mijloc ; din buffer , se apeleaza
    blo .+6 ; OUTBUF
    call outbuf
.endm

.macro chkro ; analog
    cmp r0,#mijloc
    blo .+6
    call outbuf
.endm

outcar::
outchr::
    movb 2(sp),@poscrt
    inc poscrt
    chkpos
    mov (sp)+,(sp)
    return

outbuf::
    cmp poscrt,#buf
    blos l$
    mov poscrt,qiowal+q.iopl+2
    sub #buf,qiowal+q.iopl+2
    dir$ #qiowal
    mov #buf,poscrt

```

```

1$: return
inibuf::
    mov #buf,poscrt
    setfss #5
    return

wait:: wtse$ #5
    return

outro0:: ;putch
    movb r0,@poscrt
    inc poscrt
    chkr0
    return

outreg::
    sub #buf,r0
    ble 1$
    mov r0,qiowal+q.iopl+2
    dir$ #qiowal
1$: mov #buf,r0
    mov r0,poscrt
    return

stctrl:: ; seteaza caracterul de
    clr qiowal+q.iopl+4 ; control( conventie
    movb 2(sp),qiowal+q.iopl+4 ; FORTRAN implicit
    mov (sp)+,(sp) ; este ' ' )
    return ; sau 0(NULL),'$', '0'

outasc:: ;$b32
adasc= 14
lgsir = 12
lgtot = 10
rtadr = 6
    mov r0,(sp) ; scrie in buffer un sir de
    mov r1,-(sp) ; caractere
    mov r2,-(sp) ; se apeleaza de exemplu cu
    mov poscrt,r0 ; write('ABC')
    mov lgtot(sp),r1
    sub lgsir(sp),r1
    ble 2$
1$: movb #' ,(r0)+
    sob r1,1$
2$: add lgsir(sp),r1
    mov adasc(sp),r2
3$: movb (r2)+,(r0)+
    dec r1
    bgt 3$
    chkr0
    mov r0,poscrt
    mov (sp)+,r2

```

```

proc movsp "mov sp, #6"
    mov (sp)+, r1
    mov (sp)+, r0
    mov (sp), 6(sp)
    add #6, sp
    return
endproc

```

\$wlnrc::

```
wrtlin::      ;$b36      ; se apeleaza la WRITELN
```

```
cmp poscrt, #buf
```

bne 1\$ 100, sau dacă s-a umplut mai mult de fumătate din zona alocată

```
clr -(sp)
```

```
call outchr ; apel OUTBUF
```

```
1$: imp outbuf
```

```
$b22::  tst  -(sp)
```

```
outcha::          ;$b20      ; scrie un caracter in buffer
```

ch = 10

$$lqtot = 6$$

```
mov r0, (sp)
```

```
mov r1,-(sp)
```

```
mov r11, (%SP)           ; se apereaza de exemplu ca
mov poscrt, r0            ; write('S')
```

```
mov lgtot(sp),r1
```

```
mov 19000(sp),r1
dec r1
```

```

10: dec 11
    ble 2$

```

моя

```
br 1$
```

```
movb    ch(sp), (r0)+
```

```
28: MOV     EAX, EBX
29: MOV     ECX, EDI
30: MOV     EDI, ECX
31: MOV     ECX, EDI
32: MOV     EDI, ECX
33: MOV     ECX, EDI
34: MOV     EDI, ECX
35: MOV     ECX, EDI
36: MOV     EDI, ECX
37: MOV     ECX, EDI
38: MOV     EDI, ECX
39: MOV     ECX, EDI
40: MOV     EDI, ECX
41: MOV     ECX, EDI
42: MOV     EDI, ECX
43: MOV     ECX, EDI
44: MOV     EDI, ECX
45: MOV     ECX, EDI
46: MOV     EDI, ECX
47: MOV     ECX, EDI
48: MOV     EDI, ECX
49: MOV     ECX, EDI
50: MOV     EDI, ECX
51: MOV     ECX, EDI
52: MOV     EDI, ECX
53: MOV     ECX, EDI
54: MOV     EDI, ECX
55: MOV     ECX, EDI
56: MOV     EDI, ECX
57: MOV     ECX, EDI
58: MOV     EDI, ECX
59: MOV     ECX, EDI
60: MOV     EDI, ECX
61: MOV     ECX, EDI
62: MOV     EDI, ECX
63: MOV     ECX, EDI
64: MOV     EDI, ECX
65: MOV     ECX, EDI
66: MOV     EDI, ECX
67: MOV     ECX, EDI
68: MOV     EDI, ECX
69: MOV     ECX, EDI
70: MOV     EDI, ECX
71: MOV     ECX, EDI
72: MOV     EDI, ECX
73: MOV     ECX, EDI
74: MOV     EDI, ECX
75: MOV     ECX, EDI
76: MOV     EDI, ECX
77: MOV     ECX, EDI
78: MOV     EDI, ECX
79: MOV     ECX, EDI
80: MOV     EDI, ECX
81: MOV     ECX, EDI
82: MOV     EDI, ECX
83: MOV     ECX, EDI
84: MOV     EDI, ECX
85: MOV     ECX, EDI
86: MOV     EDI, ECX
87: MOV     ECX, EDI
88: MOV     EDI, ECX
89: MOV     ECX, EDI
90: MOV     EDI, ECX
91: MOV     ECX, EDI
92: MOV     EDI, ECX
93: MOV     ECX, EDI
94: MOV     EDI, ECX
95: MOV     ECX, EDI
96: MOV     EDI, ECX
97: MOV     ECX, EDI
98: MOV     EDI, ECX
99: MOV     ECX, EDI
```

```
mov r0, poscrt
```

```
mov r0, poscrt
mov (sp)+, r0
```

```
mov (sp)+, r10h ; r10h = 00000000
mov (sp)+, r0
```

```
mov (sp)+, r0
mov (sp)+, (sp)
```

mov (sp)+, (sp)  
mov (sp)+, (sp)

```
mov (sp)+, (sp)
return
```

```

return

```

\$b62::

```
mov qiowal+q.iopl+4,-(sp) ; se apeleaza la (qz), 0x vom
```

```
mov #'$,giowal+q.iopl+4: BREAK( OUTPUT ) si
```

```
call outbuf; break; : forteaza scrierea cu...
```

```
mov (sp)+,giowal+q.iopl+4 : caracterul de control
```

```
return : '$'
```

putfil:: ; \$b60

```
isr r5,$setio
```

iot

```
bit #10000,(r5)
```

beg c664

```
movb    01777776(r5),r0
```

```

move    e1777770(15),10      , 1 2  14 0 0  INREG
call    $putch

```

br c756

4: BOY

```
c664:  mov 10(r15),r0
      beg c714
```

```

beq c714
bith      #fd, rax, f, ragg(r0)

```

```

bitb      #rd.ran,r.racc(r0)

```

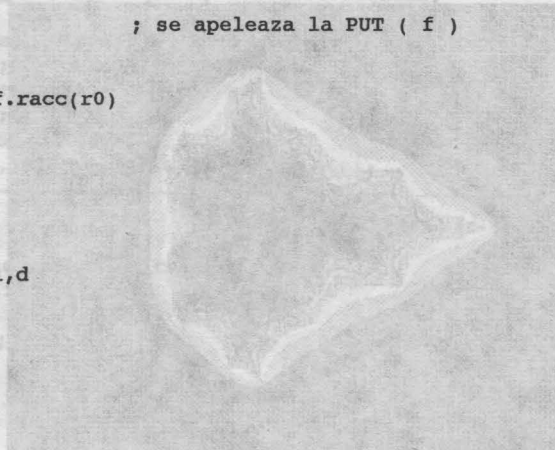


```

    beq c714
    sub #1,f.rcnm+2(r0)
    sbc f.rcnm(r0)
c714:  mov 2(r5),r0
    call @10(r0)          ; se apeleaza la PUT ( f )
    mov 10(r5),r0
    beq c756
    bitb #fd.ran,f.racc(r0)
    beq c756
    bic #100000,(r5)
    mov 2(r5),r0
    call @6(r0)
c756:  return

.psect $$iovr,ovr,gbld
.+.2
    .word  wrtlin
.+.4
    .word  outr0
.end

```



## 5.8. Reprezentarea fractalilor în TURBO-PASCAL

Prezentăm în continuare un program de desenare a structurilor fractale în varianta TURBO-PASCAL sub MS-DOS. Considerațiile teoretice privind teoria fractalilor au fost prezentate deja, astfel că nu mai insistăm decât asupra explicațiilor necesare obținerii unui desen folosind această sursă.

Utilizatorul va introduce fereastra în care „se vede” desenul în forma colț stînga-jos, colț dreapta-sus; apoi va introduce inițiala ('J' sau 'M') a structurii dorite. Pentru structura Julia, se mai introduc coordonatele constantei complexe  $c=(p,q)$ .

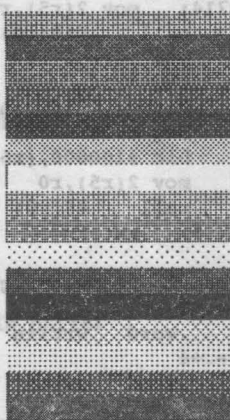
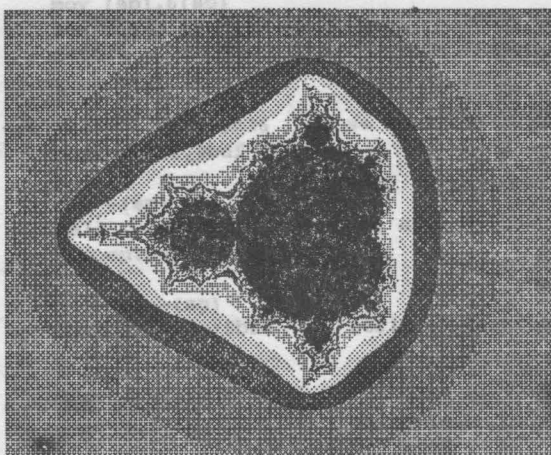
Apăsarea oricărei taste în timpul desenării (sau după terminarea ei) produce ieșirea în sistemul de operare MS-DOS. Pentru comparații ale culorilor asociate timpilor de evadare cu cele reprezentate pe ecran, s-a desenat în dreapta figurii paleta celor 16 culori utilizate.

### Programul FRACTALS

```

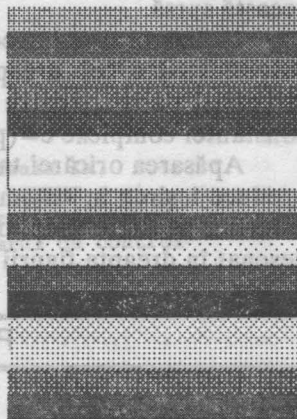
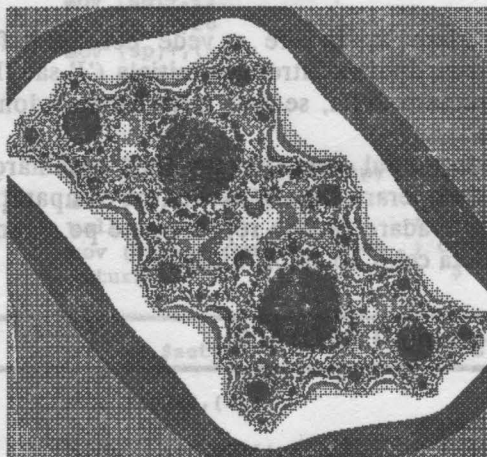
Program Fractals;
{
    Program de desenare a structurilor fractale
    Mandelbrot
    Julia
    Autor: Adrian Posea, 15 August 1991
}

```



### Mulțimea MANDELBROT

$(x_{min}, y_{min}, x_{max}, y_{max}) = (-2.5, -2, 1.7, 2)$



### Mulțime JULIA

$(x_{min}, y_{min}, x_{max}, y_{max}) = (-1.4, -1.2, 1.4, 1.2)$

$(p, q) = (-0.194, +0.6557)$

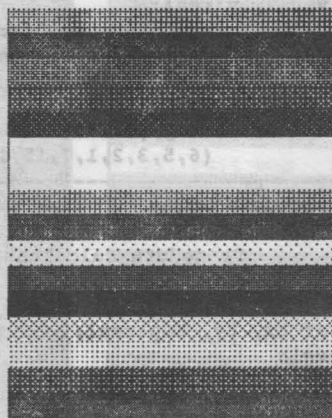
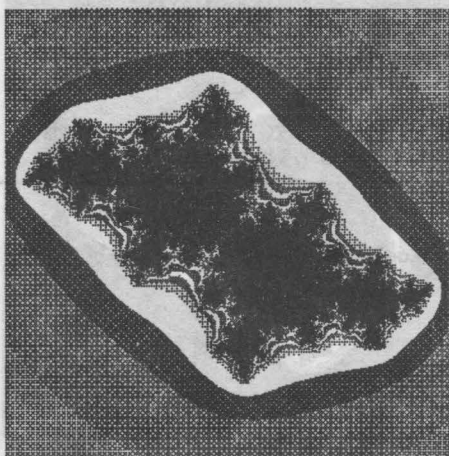
```

-----
uses Graph, Crt;
var x_min, y_min, x_max, y_max:real; centered:boolean;
var x, y:real;
var p, q:real; sx, sy, s:real;
var i, j, k:integer; GraphMode:integer;
    h, w:integer; c:char;
const l=64; M=100.0;
colour: array [0..15] of 0..15 =
    (6,5,3,2,1,7,15,13,12,14,4,0,10,11,9,8);
-----

procedure Julia;
{
    Procedura calculeaza indicele k
    pentru iteratia Julia
}
var tx, ty, tmp:real;
begin
k:=0; tx:=x; ty:=y;
repeat
begin
    k:=k+1;
    tmp:=tx*tx-ty*ty+p; ty:=2*tx*ty+q; tx:=tmp;
end until (tx*tx+ty*ty > M) or (k > l);
end;
procedure Mandelbrot;
{
    Procedura calculeaza indicele k
    pentru iteratia Mandelbrot
}
var tx, ty, tmp:real;
begin
k:=0; tx:=x; ty:=y;
repeat
begin
    k:=k+1;
    tmp:=tx*tx-ty*ty+x; ty:=2*tx*ty+y2; tx:=tmp;
end until (tx*tx+ty*ty > M) or (k > l);
end;
begin { main }
{
    Programul de desenare a structurilor fractale
    tine seama de simetria acestora:
    - structura Mandelbrot este simetrica fata de Ox;
    - structura Julia este simetrica fata de origine.

    Desenul se face pe un ecran standard pe care se reprezinta
    fereastra definita de utilizator.
}
ClrScr; centered:=True;
write('Init window: '); readln(x_min, y_min, x_max, y_max);
if abs(x_max+x_min) > 0.001 then centered := False;
if abs(y_max+y_min) > 0.001 then centered := False;

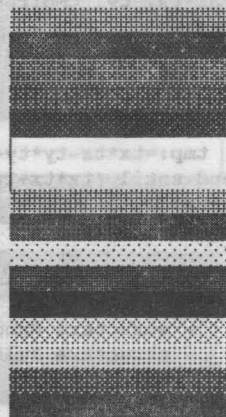
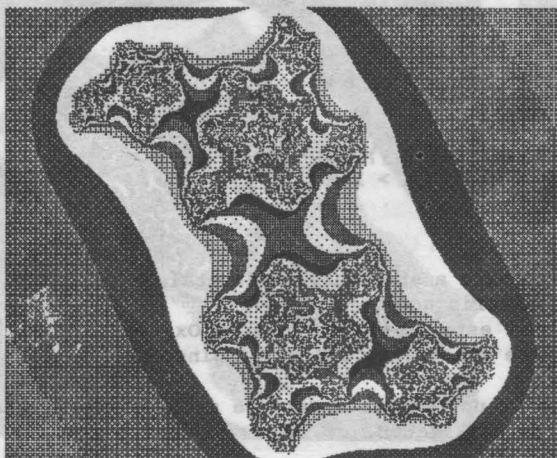
```



### Multime JULIA

$(xmin, ymin, xmax, ymax) = (-1.5, -1.5, 1.5, 1.5)$

$(p, q) = (-0.39054, +0.58679)$



### Multime JULIA

$(xmin, ymin, xmax, ymax) = (-1.5, -1.2, 1.5, 1.2)$

$(p, q) = (-1.27334, +0.00742)$



```

w:=640; sx:=(x_max-x_min)/w;
h:=350; sy:=(y_max-y_min)/h;
s:=sx; if sy > s then s:=sy;
h:=round((y_max-y_min)/s); if centered then h:=h div 2;
w:=round((x_max-x_min)/s);
repeat begin write('Julia or Mandelbrot ? '); c:=UpCase(ReadKey); end
until (c='J') or (c='M'); { Se alege între Julia sau Mandelbrot
tastind initiala numelui structurii; alta litera este nepermisa.}
if c = 'J' then
begin write('For Julia set enter p, q = ');
read(p,q); end;
k:=Detect; InitGraph(k, GraphMode, 'f:\pascal\bgi');
x:=x_min;
for i:=0 to w do
begin
y:=y_min;
for j:=0 to h do
begin
if KeyPressed then Halt; { Programul poate fi intrerupt
in orice moment prin apasarea unei taste oarecare}
if c='M' then
begin
Mandelbrot;
if k < 1 then
if centered then
begin
PutPixel(i, h+h-j, colour[k mod 16]);
PutPixel(i, j, colour[k mod 16]);
end else PutPixel(i, h-j, colour[k mod 16]);
end
else
begin
Julia;
if k < 1 then
if centered then
begin
PutPixel(i, h+h-j, colour[k mod 16]);
PutPixel(w-i, j, colour[k mod 16]);
end else PutPixel(i, h-j, colour[k mod 16]);
end;
y:=y+s;
end;
x:=x+s;
end;
} Desenare benzi colorate pentru comparatia culorilor
ce apar in structurile fractale reprezentate}
for i:=w+30 to 650 do
for j:=0 to 19 do
for k:=0 to 15 do
PutPixel(i, 20*k+j, colour[k]);
c:=ReadKey; {iesirea spre DOS se face apasind o tasta oarecare}
end.

```

## 5.9. Anexă

### Elemente privind utilizarea terminalelor grafice DAF-2020, DAF-2020C, VDT-52S , ALFAGRAF-200

Terminalele grafice DAF-2020, DAF-2020C, VDT-52S, ALFAGRAF-200 sînt dispozitive de afișare alfanumerică și grafică avînd posibilități de lucru interactiv prin comunicație cu calculatorul electronic. Aceste dispozitive se utilizează într-o gamă largă de domenii: cercetare-proiectare asistată de calculator, aplicații tehnico-științifice, învățămînt, aplicații de evidență și gestiune, aplicații economice, medicină, geologie etc.

#### Terminalul DAF-2020

Terminalul are 3 moduri de lucru: TEKTRONIX 4010, VT 100, COMENZI SPECIALE și 4 regimuri de lucru: alfanumeric, grafic, introducere grafică, copie imprimantă. Trecerea dintr-un mod de lucru în altul se face prin comenzi simple de la tastatura terminalului sau din programele de aplicații. Modul de lucru în care se află terminalul la un moment dat este dat de indicatorul luminos CAPS, și anume, la pornire se află în mod TEKTRONIX 4010 ( indicatorul CAPS este aprins permanent ), dar în modul VT 100, la acționarea tastei CAPS indicatorul se stinge sau se aprinde.

Modul de lucru TEKTRONIX 4010 oferă utilizatorului posibilități grafice și hard copy, iar modul de lucru VT 100 oferă posibilități de editare alfanumerică și scroll. Îmbinarea celor două moduri de lucru oferă facilități sporite atît în dialogul cu calculatorul cît și pentru vizualizarea rezultatelor programelor de aplicații. Deoarece, la pornire, terminalul intră în modul TEKTRONIX 4010, trecerea în modul VT 100 se face prin trecerea în modul COMENZI SPECIALE cu tastele <CTRL> + <PF1> și apoi tasta 1, sau prin programul de aplicație cu <ESC> + <X> urmat de 1 de la comunicație. Revenirea în modul TEKTRONIX 4010 se face cu <ESC><1>, deci avem următoarea schemă:



Configurația generală a terminalului DAF-2020 este prezentată în figura ce urmează.

Unitatea centrală este formată dintr-un microcalculator construit cu un microprocesor Z80, conține 2K memorie RAM, 10K memorie PROM



și realizează toate funcțiile terminalului: scrie în memoria de ecran, generează vectori, gestionează interfețele, etc. Modulul de afișare conține o memorie de ecran de 24K (512×390 biți-pixeli) și generează semnalele de comandă necesare afișării pe ecran a informației conținută în memoria ecran.

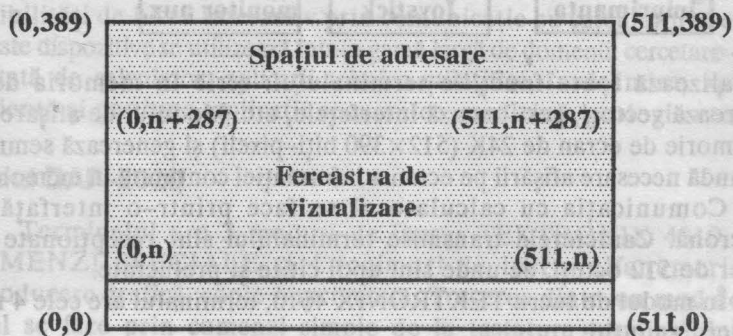
Comunicația cu calculatorul se face printr-o interfață serială asincronă. Caracterele transmise terminalului sînt recepționate într-un buffer de 512 octeți, de unde sînt apoi citite și prelucrate.

În modul de lucru TEKTRONIX 4010, terminalul are cele 4 regimuri de lucru amintite.

În **regim alfanumeric**, numerotarea se face pentru linii de la 1 la 35 de sus în jos, iar pentru coloane de la 1 la 73 de la stînga la dreapta, poziția inițială (HOME) fiind linia 1 și coloana 1. În acest regim există 2 moduri de deplasare a ferestrei de vizualizare: urmărire automată și poziție fixă. În modul de urmărire automată fereastra de vizualizare se deplasează automat astfel încît cursorul alfanumeric să fie în permanență vizibil. În modul de poziție fixă fereastra de vizualizare rămîne în poziția în care se găsea la intrarea în acest mod. Fereastra se poate deplasa într-o altă poziție fixă prin acționarea tastelor săgeți. În regim alfanumeric, la primirea unui cod ASCII între 20H și 7EH se afișează pe ecran, într-o matrice de 7×11 puncte, caracterul corespunzător și se mută cursorul în poziția următoare. Ieșirea din regim alfanumeric, pentru trecerea în regim grafic, se face cu GS (CTRL J), pentru trecerea în regim introducere grafică, se face cu ESC SUB și pentru trecerea în regim copie imprimantă, se face cu ESC ETB (CTRL W) după care se revine în regimul alfanumeric. În regim alfanumeric, terminalul este compatibil cu două standarde, și anume ANSI și VT52. Selectarea diferitelor facilități oferite de terminal se poate realiza printr-un mod de operare special numit SET-UP în care se poate intra prin apăsarea simultană a tastelor SCRL și CTRL, acest mod numindu-se SET-UP A și din care se poate trece în SET-UP B prin apăsarea tastei 5 din blocul alfanumeric.

În **regim grafic**, informația primită de la calculator sau tastatură este interpretată ca parametri cu ajutorul cărora se generează și se afișează

vectori pe ecran. Terminalul realizează o scalare automată prin împărțirea la 2 a coordonatelor primite, deci formatul de afișare TEKTRONIX 4010 ( $1024 \times 780$  puncte) este în totalitate acceptat în spațiul de adresare al terminalului de  $512 \times 390$  puncte, rezoluția de afișare fiind de  $512 \times 288$  puncte, ceea ce corespunde în regim alfanumeric la 35 rânduri  $\times$  73 caractere adresabile și 26 rânduri  $\times$  73 caractere afișabile. La un moment dat pot fi vizualizate numai 288 linii succesive, cuprinse în fereastra de vizualizare, iar coordonatele colțurilor spațiului de adresare sînt date în figură.



Spațiul de adresare poate fi vizualizat în întregime prin deplasarea ferestrei de vizualizare. Inițial, fereastra de vizualizare cuprinde liniile 102–389 și se poate deplasa cu ajutorul tastelor săgeți care au numai efect local. În regim grafic, codurile ASCII care nu sînt coduri de control sînt folosite pentru completarea coordonatelor punctului grafic curent (X,Y). În momentul în care s-au completat coordonatele X,Y ale unui punct, se unește printr-un vector acel punct cu punctul ale cărui coordonate au fost completate anterior (punctul inițial), noul punct devine punct inițial urmînd ca el să fie unit cu altul în momentul în care se completează din nou coordonatele X,Y ale unui nou punct. Coordonatele X,Y au valori de la 0 la 1023 și de aceea valorile lor sînt date prin 10 biți.

În regimul de **introducere grafică**, apare pe ecran un cursor cruce ce poate fi deplasat în spațiul de adresare al terminalului cu ajutorul tastelor săgeți.

În regim **copie imprimantă**, terminalul trimite la imprimantă copia ecranului.

În modul de lucru **COMENZI SPECIALE**, se pot schimba diferiți parametri, se pot activa facilități folosite în celelalte moduri sau se poate trece din modul TEKTRONIX în modul VT 100 cu ajutorul unor comenzi speciale. Intrarea în acest mod se face numai din modul TEKTRONIX, de la tastatură prin <CTRL> + <PF1> sau ESC X în programele de aplicație.

## Terminalul DAF-2020C

Terminalul are monitorul color, 3 moduri de lucru:

- TEKTRONIX 4010



- COMENZI SPECIALE

- Scriere RASTRU

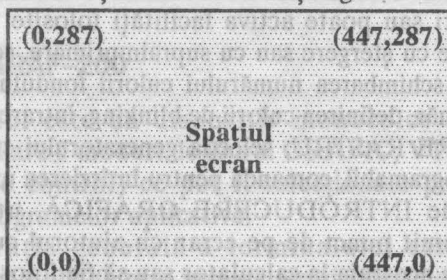
și 3 regimuri de lucru: alfanumeric, grafic, introducere grafică. Trecerea dintr-un mod de lucru în altul se face prin comenzi simple de la tastatură sau din programele de aplicație. La pornire, terminalul se află în regimul alfanumeric, în care poate intra și prin apăsarea tastelor PAGE sau RESET ori prin program cu US (CTRL SHIFT ? /).

Intrarea în regim grafic se face prin caracterul de control GS (CTRL ] de la tastatură), deci la fel ca la DAF-2020. Din regim alfanumeric se iese cu ESC SUB și se trece în regim introducere grafică. În modul COMENZI SPECIALE, se intră cu CTRL PF1 de la tastatură sau cu ESC X prin program, deci ca și la DAF-2020.

În comparație cu terminalul DAF-2020, terminalul DAF-2020C are o configurație generală asemănătoare, cu deosebirea că DAF-2020C nu are interfața pentru imprimantă și pentru joystick.

Unitatea centrală este formată dintr-un microcalculator construit cu un microprocesor Z80 ce conține 1K memorie RAM și 10K memorie PROM. Modulul de afișare conține o memorie de ecran de 64K, patru plane a câte 448×288 biți (pixeli). Facilitățile grafice și alfanumerice oferite de DAF-2020C în modul TEKTRONIX 4010, și folosirea simultană a 16 culori selectabile dintr-un număr de 64, permit utilizatorului un dialog mai eficient cu calculatorul prin afișarea unei cantități mari de informații. Comunicatia cu calculatorul se face printr-o interfață serială asincronă. Caracterele transmise terminalului DAF-2020C sînt recepționate într-un buffer de 512 octeți, de unde sînt apoi citite și prelucrate.

În modul de lucru TEKTRONIX 4010, terminalul are 3 regimuri de lucru: alfanumeric, grafic și introducere grafică. În regim alfanumeric se transmit și se afișează în culoarea de lucru (inițial culoarea 4 = galben) caractere alfanumerice și terminalul folosește modul de afișare pagină. Prin utilizarea tastei PAGE, indiferent de regimul de lucru, se revine la modul alfanumeric, cu ștergerea ecranului, iar prin utilizarea tastei RESET se obține același efect dar fără ștergerea ecranului.



În regim grafic, informația primită de la calculator sau de la tastatură este interpretată ca parametri cu ajutorul cărora se generează și se afișează

vectors avînd culoarea activă în momentul transmiterii coordonatelor. Terminalul realizează o scalare automată prin împărțirea cu 2 a coordonatelor primite. Pentru ecran spațiul de adresare este de  $488 \times 288$  puncte, ceea ce corespunde în regim alfanumeric la 24 rînduri și 64 caractere pe rînd. În regim alfanumeric ecranul este împărțit în 24 rînduri și 64 coloane, numerotarea făcîndu-se de sus în jos pentru linii și de la stînga spre dreapta pentru coloane.

În regim grafic, coordonatele colțurilor spațiului de adresare sînt cele din figura anterioară.

Punctele ecranului au asociat un număr de la 0 la 15 (0 la F în hexazecimal) ce precizează care din cele 16 culori afișabile sînt folosite pentru colorarea punctului respectiv. Aceste numere sînt :

0 = alb	1 = roșu	2 = verde	3 = albastru
4 = galben	5 = cian	6 = magenta	7 = negru
8 = 7	9 = 6	10 = 5	11 = 4
12 = 3	13 = 2	14 = 1	15 = 0

Pentru specificarea unei culori s-a ales metoda RGB ('red', 'green', 'blue') prin care se precizează procentele de roșu, verde și albastru conținute în culoarea respectivă. Pornind de la cele 16 culori, folosind 4 trepte de intensitate, se obțin cele 64 de culori.

Deoarece, în regim grafic spațiul de lucru este  $448 \times 288$  puncte și coordonatele X și Y iau valori de la 0 la 1023, unui punct (X,Y) i se asociază pe ecran un punct de coordonate (X/2, Y/2), punctul (0,0) fiind în colțul din stînga jos.

În regim alfanumeric, la primirea unui cod ASCII cuprins între 20H și 7EH caracterul corespunzător se afișează pe ecran în culoarea de lucru selectată în poziția curentă, într-o matrice de  $7 \times 12$  puncte. În varianta standard cu 16 culori, codurilor ASCII li se pot asocia descrieri de  $7 \times 12$  puncte care să înlocuiască definiția standard, aceasta dacă s-a selectat generatorul prin intermediul modului de lucru COMENZI SPECIALE.

În modul de COMENZI SPECIALE utilizatorul poate schimba diferiți parametri sau poate activa facilități folosite în celelalte moduri: trecerea în afișare cu ștergere sau cu suprainprimare, schimbarea numărului culorii de lucru, schimbarea numărului culorii fondului, schimbarea culorii asociate unui număr, definirea culorii de blinking, intrarea și ieșirea din modul de lucru SCRIERE RASTRU, selecția generatorului standard, completarea generatorului programabil, comanda pentru întîrzierea unei execuții.

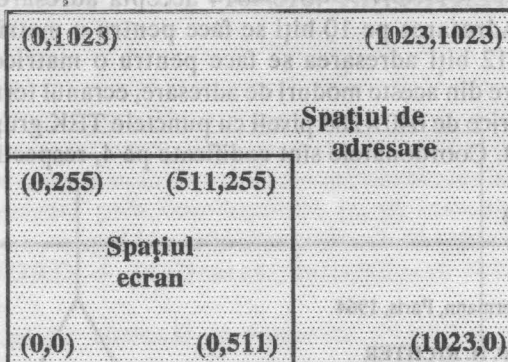
În regim de INTRODUCERE GRAFICĂ, utilizatorul poate să selecteze un anumit punct de pe ecran cu ajutorul cursorului cruce și să transmită poziția acestuia la calculator sau să fie folosită în programele de aplicație. Deplasarea cursorului cruce se realizează cu tastele săgeți.

## Terminalul VDT-52S

Terminalul este monocolor și are 4 regimuri de lucru: ALFANUMERIC (alpha mode), GRAFIC (vector mode), INTRODUCERE GRAFICĂ (gin mode — graphic input) și COPIE IMPRIMANTĂ.

În regimul alfanumeric, terminalul VDT-52S (Video Display Terminal 52S) este compatibil cu terminalele DEC VT52 și VDT 40C, iar în regim grafic și introducere grafică este compatibil TEKTRONIX 40xx. Unitatea centrală este formată dintr-un microcalculator construit cu microprocesorul Z80 și conține 1K memorie RAM și 6K memorie PROM.

În regim grafic utilizatorul are la dispoziție un spațiu grafic de  $512 \times 256$  puncte (pixeli), iar spațiul de adresare este  $1024 \times 1024$  puncte, coordonatele X și Y luând valori de la 0 la 1023:



Intrarea în regim grafic se face la fel ca și la terminalele DAF-2020 și DAF-2020C și anume cu caracterul de control GS (CTRL ] de la tastatură). Pentru selectarea parametrilor de lucru ai terminalului se utilizează tasta SET-UP care realizează afișarea sau modificarea stării cheilor corespunzătoare parametrilor, utilizând tastele funcționale F1, F2, ..., F14. În regim de introducere grafică, terminalul se comportă analog cu terminalele DAF-2020 și DAF-2020C. În regim alfanumeric, este compatibil cu modul de lucru VT52.

## Terminalul ALFAGRAF-200

Terminalul este un dispozitiv monocolor de afișare grafică și alfanumerică și are 5 moduri de lucru: GRAFIC, VT100, VT52, VT200 (cu 7 sau 8 biți de control) ce pot fi selecționate prin SET-UP sau prin intermediul programelor aplicative.

Configurația generală a terminalului este identică cu cea a terminalului DAF-2020, prin urmare are și interfețe pentru imprimantă și joystick. Unitatea centrală este formată dintr-un microcalculator construit cu un microprocesor Z80-CPU și conține 8K memorie RAM și 20k



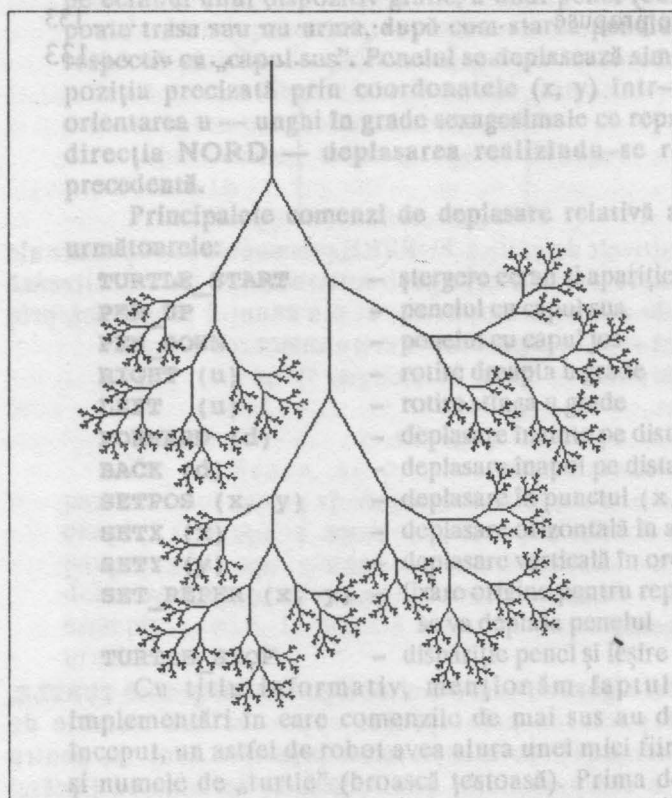
memorie PROM. Modulul de afișare conține o memorie de 23K, adică  $640 \times 288$  biți (puncte). În modul de lucru grafic, terminalul execută funcții similare terminalelor compatibile TEKTRONIX 4010/4014. În modul de lucru VT52, se folosește compatibilitatea cu terminalul VT52 al firmei DEC. În modul de lucru VT100, se execută funcții standard ANSI folosindu-se compatibilitatea strictă cu terminalul VT100 al firmei DEC. În modul de lucru VT200, se execută funcții standard ANSI folosite pentru programe aplicative care necesită caractere de control de 7 biți sau 8 biți. În regim grafic, vectorii sînt trasați între punctele cu coordonate absolute, ce reprezintă valori ale punctelor cu o distribuție apropiată de pixelul fizic corespunzător. Caracterul de control GS permite trecerea din regim alfanumeric în regim grafic, definind astfel începutul desenării unui vector. Modul TEKTRONIX 4010/4014 acceptă adresarea fie pe 10 biți, fie pe 12 biți. Adresarea pe 10 biți se face pentru o matrice de  $1024 \times 768$  puncte, iar pe 12 biți adresarea se face pentru o matrice de  $4096 \times 3072$  puncte. În oricare din aceste moduri de adresare, ecranul terminalului rămîne definit de o matrice de  $640 \times 288$  pixeli cu punctele TEK grupate lîngă pixelul cel mai apropiat. Coordonatele sînt codificate pe 4, respectiv pe 5 octeți.

## 5.10. Bibliografie

- [1] GASTON JULIA  
*OEUVRES*, vol 1, Hermann, Paris, 1964
- [2] H. O. PEITGEN, P. H. RICHTER  
*Beauty of Fractals, Images of Complex Dynamical Systems*, Springer-Verlag, 1986
- [3] B. MANDELBROT  
*The Fractal Geometry of Nature*, Freeman, 1982
- [4] R. L. DEVANEY, LINDA KEEN  
*Chaos and fractals, The mathematics behind the computer graphics*, vol. 39, Proceedings of Simposia in Applied Mathematics, 1989
- [5] UWE BECK  
*Computer Graphik, Bilder und Programme zu Fraktalen, Chaos und Selbstähnlichkeit*, 1987
- [6] \* \* \* *DAF-2020C — Manual de prezentare și utilizare*, FEPER, 1988
- [7] \* \* \* *DAF-2020 — Manual de prezentare și utilizare*, FEPER, 1986
- [8] \* \* \* *ALFAGRAF-200 — Manual de prezentare și utilizare*, FEPER, 1988
- [9] \* \* \* *VDT-52S — Manual de prezentare și utilizare*, ICE, 1987



# APLICAȚII ÎN GEOMETRIA „TURTLE”



6

memorie PROM. Modulul de afișare conține o memorie de 23K, adică 640x288 biți (puncte). În modul de lucru grafic, terminalul execută funcții similare terminalelor compatibile TEKTRONIX 4010/4014. În modul de lucru VT52, se folosește compatibilitatea cu terminalul VT52 al firmei DEC. În modul de lucru VT100, se execută funcții standard ANSI în conformitate strictă cu terminalul VT100 al firmei DEC.

## 6. APLICAȚII ÎN GEOMETRIA „TURTLE” ..... 93

6.1. Introducere .....	95
6.2. Grafica TURTLE în limbajul PASCAL .....	99
6.2.1. Biblioteca TURTLE.pas .....	101
6.2.2. Aplicații .....	106
6.2.3. Probleme propuse .....	126
6.3. Grafica TURTLE în limbajul C .....	127
6.3.1. Biblioteca TURTLE.c .....	127
6.3.2. Aplicații .....	127
6.3.3. Probleme propuse .....	133
6.4. Bibliografie .....	133

### 5.10. Bibliografie

- [1] GASTON JULIA  
*OEUVRES*, vol. I, Hermann, Paris, 1964
- [2] H. O. PRETZEL, A. N. RICHTER  
*Beauty of Fractals, Images of Complex Dynamical Systems*, Springer-Verlag, 1990
- [3] B. MANDELBROT  
*The Fractal Geometry of Nature*, Freeman, 1982
- [4] R. L. DEVANEY, LINDA K. RAY  
*Chaos and Fractals: The Mathematics of Self-Similarity*, Precedence, 1990
- [5] UWE BECK  
*Computer Graphik, Bilder und Programme zur Praktischen Geometrie und Geometrielehre*, 1987
- [6] \* \* \* DAF-2040 — *Manual de programare a unității*, I.T.P.E.I., 1987
- [7] \* \* \* DAF-2040 — *Manual de programare a unității*, I.T.P.E.I., 1987
- [8] \* \* \* ALFAGRA — *2040 — Manual de programare a unității*, I.T.P.E.I., 1987
- [9] \* \* \* VDI-323 — *Manual de programare a unității*, ICB, 1987

## 6.1. Introducere

„TURTLE geometry” sau „TURTLE graphics” reprezintă un stil de grafică pe calculator introdus de limbajul de inteligență artificială LOGO și care are la bază un set de comenzi (operații) primitive pentru deplasarea pe ecranul unui dispozitiv grafic, a unui penel (cursor grafic) virtual care poate trasa sau nu urma, după cum starea penelului este cu „capul jos”, respectiv cu „capul sus”. Penelul se deplasează similar unui robot care are poziția precizată prin coordonatele  $(x, y)$  într-un sistem cartezian și orientarea  $u$  — unghi în grade sexagesimale ce reprezintă azimutul față de direcția NORD — deplasarea realizându-se relativ față de poziția precedentă.

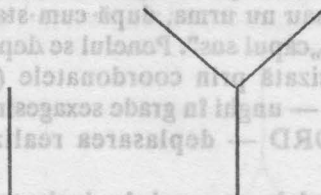
Principalele comenzi de deplasare relativă a penelului virtual sînt următoarele:

<b>TURTLE_START</b>	— ștergere ecran și apariție penel
<b>PEN_UP</b>	— penelul cu capul sus
<b>PEN_DOWN</b>	— penelul cu capul jos
<b>RIGHT (u)</b>	— rotire dreapta $u$ grade
<b>LEFT (u)</b>	— rotire stînga $u$ grade
<b>FORWARD (d)</b>	— deplasare înainte pe distanța $d$
<b>BACK (d)</b>	— deplasare înapoi pe distanța $d$
<b>SETPOS (x, y)</b>	— deplasare în punctul $(x, y)$
<b>SETX (x)</b>	— deplasare orizontală în abscisa $x$
<b>SETY (y)</b>	— deplasare verticală în ordonata $y$
<b>SET_REPER (x, y)</b>	— fixare origine pentru reperul de axe față de care se va deplasa penelul
<b>TURTLE_STOP</b>	— dispariție penel și ieșire din mod grafic

Cu titlu informativ, menționăm faptul că au fost realizate implementări în care comenzile de mai sus au dirijat un robot real. La început, un astfel de robot avea alura unei mici ființe cu carapace, de unde și numele de „turtle” (broască țestoasă). Prima denumire a fost utilizată de către neurofiziologul GREY WALTER pentru niște roboți electronici construiți și experimentați în Anglia la începutul anilor '60.

Implementările pentru realizarea comenzilor care stau la baza geometriei generate de stilul „turtle”, sînt dintre cele mai deosebite, ținînd seama de performanțele obținute în domeniul graficii computerizate. Un impact deosebit în acest sens l-a avut implementarea din limbajul inteligenței artificiale LOGO. După cum vom vedea, principiul recursivității și al transparenței referențiale, sînt principii de bază în grafica generată de geometria TURTLE.

Ca exemplu, privind utilizarea comenzilor de tip TURTLE, considerăm un algoritm pentru generarea (desenarea) unui model simplu de arbore binar stilizat. Presupunem că un arbore de vîrsta 0 este reprezentat de un punct, un arbore de vîrsta 1 este reprezentat de un segment de dreaptă și, în general, un arbore de vîrsta  $n > 0$  este reprezentat de un segment care se ramifică la vîrf în două ramuri care, abstracție făcînd de orientare, sînt ambele izomorfe cu un arbore de vîrsta  $n-1$ . Pentru vîrstele 0, 1, 2 obținem următoarele modele:



Utilizînd primitivile de grafică TURTLE (comenzile de deplasare ale penelului menționate anterior), algoritmul recursiv care realizează (generează) astfel de desene se obține direct din enunțul problemei, prin urmare, translatarea sa într-o procedură are următoarea formă:

```

procedure TREE ( age : integer ) ;
begin
  if age = 0 then { point }
  else begin
    FORWARD ( length ) ;
    LEFT ( 45 ) ; TREE ( age - 1 ) ;
    RIGHT ( 90 ) ; TREE ( age - 1 ) ;
    LEFT ( 45 ) ; BACK ( length ) ;
  end
end;

```

Reușita acestui algoritm, ca și a multor algoritmi de grafică TURTLE, se bazează pe respectarea principiului cunoscut sub numele de „transparență referențială”. În esență, acest principiu cere ca, pentru îmbinarea corectă a componentelor unui desen, la terminarea fiecărei proceduri penelul să se găsească exact în aceeași poziție (coordoanate și orientare) ca la începutul apelării procedurii. Prin inducție, vom verifica



faptul că pentru algoritmul prezentat mai sus, este respectat principiul transparenței referențiale. Într-adevăr, pentru  $\text{age}=0$  ipoteza este evident verificată. Pentru  $\text{age}=1$ , execuția urmează ramura `else`, deci penelul se deplasează pe direcția NORD, se rotește spre stînga cu  $45^\circ$ , se apelează `TREE` cu  $\text{age}=0$ , deci se desenează un punct, se rotește spre dreapta cu  $90^\circ$  și se apelează `TREE` cu  $\text{age}=0$ , deci se desenează un punct peste cel anterior, în sfîrșit se rotește spre stînga cu  $45^\circ$  (adică s-a revenit la direcția NORD inițială) și se deplasează înapoi pe distanța pe care a parcurs-o la început, prin urmare penelul va avea direcția NORD și poziția sa va fi exact în punctul inițial, cînd a avut loc apelul `TREE`. Acum, presupunînd că ipoteza este verificată pentru cazul  $\text{age}=k$ , s-o verificăm pentru cazul  $\text{age}=k+1$ . Prin apelul `TREE` cu  $\text{age}=k+1$ , execuția urmează ramura `else` și, conform celor explicate anterior, schimbarea totală de orientare este egală cu o întoarcere la stînga cu  $45+0-90+0+45 = 0^\circ$ . Similar, deplasarea totală este egală cu  $\text{length}+0+0-\text{length} = 0$ . Prin urmare, în cazul procedurii `TREE`, este respectat principiul transparenței referențiale.

În forma procedurii de mai sus, `length` este o constantă sau o variabilă globală. În acest sens, putem să alegem o implementare mai rafinată, în care lungimile segmentelor (ramurilor) se micșorează cu vîrsta, deci vom avea următoarea formă:

```
procedure TREE ( age : integer ; length : real ) ;
begin
  if age = 0 then { point }
  else begin
    FORWARD ( length ) ;
    LEFT ( 45 ) ; TREE ( age-1, length/2 ) ;
    RIGHT ( 90 ) ; TREE ( age-1, length/2 ) ;
    LEFT ( 45 ) ; BACK ( length )
  end
end;
```

De asemenea, se poate considera varianta de eliminare a parametrului pentru vîrsta arborelui `age`, folosit numai pentru detectarea cazului limită, de oprire a recursiei. Dacă acceptăm eliminarea parametrului `age`, putem să acceptăm că nu are rost să desenăm și să dezvoltăm în continuare ramuri mai scurte decît o valoare dată, de exemplu `limit`. În această variantă, procedura poate fi concepută sub următoarea formă:

```
6.2. Graf procedure TREE ( length : real ) ;
begin
  if length < limit then { point }
  else begin
    FORWARD ( length ) ;
    LEFT ( 45 ) ; TREE ( length/2 ) ;
```

```

RIGHT ( 90 ) ; TREE ( length/2 ) ;
LEFT ( 45 ) ; BACK ( length )
end
end

```

Precizăm faptul că se pot imagina și diferite alte variante, în care să intervină, de exemplu, și factori aleatori, astfel că se poate ajunge la modelarea și studierea diverselor fenomene organice sau la crearea de forme picturale cu ajutorul calculatorului.

În continuare, prezentăm un desen din categoria deosebit de interesantă a fractalilor. Nu vom prezenta detalii teoretice privind teoria fractalilor (unele dintre acestea au fost date în capitolul 5). Ne propunem să realizăm numai un algoritm pentru generarea unei familii de curbe închise (curbe KOCH) care să aproximeze din ce în ce mai bine conturul unui fulg de zăpadă ideal. Acesta va fi un exemplu clasic de curbă de lungime infinită cuprinsă într-un disc mărginit și care conține graficul unei funcții continue, dar nederivabile. Primele curbe din familie sînt prezentate în fig. 5-1 din capitolul 5 unde se dau cîteva detalii despre generarea curbelor KOCH și unde se precizează că acestea sînt curbe fractale. Pentru un studiu și o cercetare mai amănunțită se recomandă revenirea la capitolul 5 și consultarea bibliografiei de la capitolele 5 și 6, ori consultarea unui cunoscător binevoitor al acestui domeniu.

Prima curbă a șirului, curba de gradul (nivel) 0 este un triunghi echilateral de latură finită. În general, curba de gradul (nivel)  $n+1$  se obține din curba de gradul  $n$ , înlocuind fiecare latură a acesteia printr-o linie poligonală formată din 4 segmente avînd  $\frac{1}{3}$  din lungimea laturii inițiale, astfel încît primul și ultimul segment coincid cu prima și ultima treime a laturii inițiale, iar celelalte două segmente, împreună cu treimea din mijloc, formează un triunghi echilateral cu vîrfurile spre exteriorul curbei. Cu alte cuvinte, scoatem treimea din mijloc și o înlocuim cu două segmente cu care aceasta ar forma un triunghi echilateral avînd vîrfurile spre exteriorul curbei.

Programarea recursivă a acestui algoritm este foarte naturală: avem nevoie de două proceduri, una recursivă pentru a desena o latură și alta nerecursivă pentru a închide curba. Procedurile SIDE, respectiv SNOW Flake realizează acest lucru:

```

procedure SIDE ( n :integer ; length :real ) ;
begin
  if n = 0 then FORWARD ( length )
  else begin
    SIDE ( n-1, length / 3 ) ; LEFT ( 60 ) ;
    SIDE ( n-1, length / 3 ) ; RIGHT ( 120 ) ;
    SIDE ( n-1, length / 3 ) ; LEFT ( 60 ) ;
    SIDE ( n-1, length / 3 ) ;
  end
end

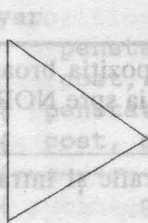
```

```

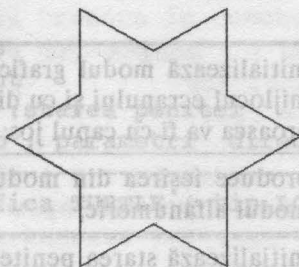
end
end;

procedure SNOW Flake ( length : real );
begin
  SIDE ( n, length ); RIGHT ( 120 );
  SIDE ( n, length ); RIGHT ( 120 );
  SIDE ( n, length ); RIGHT ( 120 );
end;

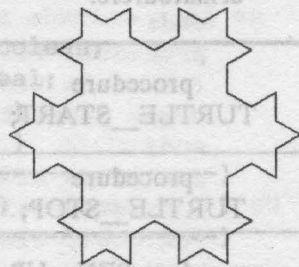
```



n=0



n=1



n=2

Algoritmul prezentat prin cele două proceduri desenează un fulg de zăpadă de ordinul  $n$ , parcurgerea făcându-se în sens invers trigonometric. Limita, după  $n$ , a acestui șir de curbe este un exemplu clasic de curbă de lungime infinită cuprinsă într-un disc mărginit. În cele ce urmează vom prezenta modul de implementare a comenzilor de tip TURTLE în limbajele PASCAL și C sub sistemul de operare RSX-11M pe minicalculatoarele din familiile CORAL sau INDEPENDENT. Vom folosi facilitățile oferite de bibliotecile grafice DAFPAS și DAFC prezentate în capitolele 1 și 2.

De asemenea, vom prezenta modul lor de utilizare în cadrul unor programe care generează diverse construcții geometrice (curbe fractale etc.).

Pe microcalculatoarele compatibile IBM-PC sub sistemele de operare PC-DOS și MS-DOS există unele implementări, de exemplu în TURBO PASCAL (versiunea 3.0 Copyright 1986, BORLAND INTERNATIONAL Inc.; pentru versiunile 5.0-6.0 vezi 6.2.1).

## 6.2. Grafica TURTLE în limbajul PASCAL

Pentru realizarea de programe de grafică TURTLE este nevoie de elaborarea unei baze de primitive grafice care să aibă funcțiile precizate mai sus. Indicațiile pe care le vom da în continuare, împreună cu informațiile existente în textul sursă al procedurilor grafice, credem că vor

fi suficiente pentru a înțelege modul lor de elaborare, precum și funcțiile lor.

Vom folosi următoarele variabile globale:

PENSTATUS : boolean ;

COST , SINT : real ;

Variabila PENSTATUS indică starea peniței (true pentru peniță cu capul jos, și false pentru peniță cu capul sus), iar variabilele COST, SINT reprezintă valorile  $\cos(u)$ ,  $\sin(u)$ , unde  $u$  este direcția curentă a peniței (broaștei) față de direcția NORD; unghiul  $u$  se va măsura în grade sexagesimale. Procedurile grafice pentru grafica TURTLE vor fi următoarele:

procedure TURTLE_START;	initializează modul grafic și poziția broaștei în mijlocul ecranului și cu direcția spre NORD, iar broasca va fi cu capul jos;
procedure TURTLE_STOP;	produce ieșirea din modul grafic și intrarea în modul alfanumeric;
procedure PEN_UP;	inițializează starea peniței (peniță cu capul sus; broasca ține capul sus);
procedure PEN_DOWN;	inițializează starea peniței (peniță cu capul jos; broasca ține capul jos);
procedure RIGHT (u: real);	schimbă direcția broaștei spre dreapta cu $u$ grade față de direcția curentă;
procedure LEFT (u: real);	schimbă direcția broaștei spre stînga cu $u$ grade față de direcția curentă;
procedure FOR_WARD (d: real)	broasca se deplasează înainte pe direcția curentă pe un drum de lungime $d$ ;
procedure BACK(d);	broasca se deplasează înapoi (cu spatele) pe direcția curentă pe un drum de lungime $d$ ;
procedure SETPOS (x,y: real) ;	poziționează broasca în punctul de coordonate $(x, y)$ , relativ față de poziția curentă a broaștei;
procedure SETX (x: real) ;	poziționează broasca în punctul de abscisă $x$ , ordonata fiind cea curentă;
procedure SETY (y: real) ;	poziționează broasca în punctul de ordonată $y$ , abscisa fiind cea curentă;
procedure SET_REPER (x, y: real)	setează originea reperului în care se mișcă broasca, în punctul $(x, y)$ relativ la originea inițială (mijlocul ecranului);



## 6.2.1. Biblioteca TURTLE.pas

```

-----
{ Biblioteca TURTLE . pas }
{ ===== }
{ proceduri grafice pentru "TURTLE GRAPHICS" }
{ if autori : Roxana VLADA , Marin VLADA }
{ ===== }
-----

var
  penstatus : boolean;
  cost, sint : real;
  { penstatus : starea penitei }
  { cost, sint : parametri directie }
  -----
  { grafica TURTLE ( tip LOGO ) }
  -----

begin
  { SETPOS ( 0.0 , Y ) ; }
  and
  { aint ( 90, 64 ) ; }
  procedure SPATIU ( dim. in mm )
  { initialiaza y coordonata }
  { cost := cost + cos + sin }
  MOVEN ( 1 , x , y )
  { ( 0 , 0 ) }
  { pentru TURTLE }
  { ----- }
  { Vm prezenta in continuare varianta in TURBO PASCAL pentru }
  { microcom }
  { (-90, -35) }
  { (90, -35) }
  { ----- }
  { Ymax virtual = 100 mm }
  { ----- }
  { { spatiul de desen : 180 x 135 mm } }
  { ----- }
  procedure TURTLE_START;
  { initializeaza modul grafic si pozitia broastei }
  { ( mijlocul ecranului , in directia nord ) }
  begin
    DAFINI ( 'G' );
    MOVEN ( 1 , 0.0 , 0.0 );
    penstatus := true;
    cost := 0.0;
  end

```

```

sint := 1.0
end;
procedure TURTLE_STOP;
{ iese din modul grafic }
begin
    DAFEND;
end;
procedure PEN_UP ; { penita sus }
{ broasca tine capul sus }
begin penstatus := false
end;
procedure PEN_DOWN ; { penita jos }
{ broasca tine capul jos }
begin penstatus := true
end;
procedure RIGHT ( u:real );
{ broasca isi schimba directia spre dreapta }
var cosu, sinu : real;
    salv : real;
begin
    salv := sint ;
    cosu := cos(u * 3.141592 / 180.0 ) ;
    sinu := sin(u * 3.141592 / 180.0 ) ;
    sint := sint * cosu - cost * sinu ;
    cost := cost * cosu + salv * sinu
end;
procedure LEFT ( u:real ) ;
{ broasca isi schimba directia spre stinga }
begin
    RIGHT ( -u ) ;
end;
procedure FOR_WARD ( d:real ) ;
{ broasca se deplaseaza inainte pe distanta d }
var x,y : real ;
begin
    x := d * cost ;
    y := d * sint ;
    if penstatus then MOVPEN (10, x , y )
    else MOVPEN (00, x , y )
end;
procedure BACK ( d:real ) ;
{ broasca se deplaseaza inapoi ( cu spatele ) }
begin

```

```

FOR_WARD ( -d )
end;
procedure SETPOS ( x,y : real );
{ pozitioneaza broasca in punctul (x,y)
  relativ fata de pozitia curenta a broastei }
begin
  if penstatus then MOVPEN (10, x, y)
  else MOVPEN (00, x, y)
end;
procedure SETX ( x:real );
{ pozitioneaza broasca in punctul de abscisa x si cu
  ordonata cea curenta }
begin
  SETPOS ( x, 0.0 );
end;
procedure SETY ( y:real );
{ pozitioneaza broasca in punctul de ordonata y si cu
  abscisa cea curenta }
begin
  SETPOS ( 0.0 , y );
end;
procedure SET_REPER ( x , y : real );
{ seteaza originea reperului fata de originea
  initiala ( mijlocul ecranului ) in punctul (x,y) }
begin
  MOVPEN ( 1 , x , y )
end;

```

Vom prezenta în continuare varianta în TURBO PASCAL pentru microcalculatoarele compatibile IBM-PC:

```

unit TURTLE;
{-----}
{ Biblioteca TURTLE . pas }
{ ***** }
{ pentru TURBO PASCAL pe IBM - PC }
{ proceduri grafice pentru TURTLE GRAPHICS }
{ }
{ AUTORI : Roxana VLADA , Marin VLADA }
{ }
{-----}
interface
var
  graphdriver, graphmode : integer;

```

```

    penstatus : boolean;
end; cost, sint : real;
ch : char;
procedure TURTLE_START;
{ penstatus : starea penitei }
{ cost, sint : parametri direcție }
begin
    procedure TURTLE_STOP;
    procedure PEN_UP;
    procedure PEN_DOWN;
    procedure RIGHT(u:real);
    procedure LEFT (u:real);
    procedure FORWARD(d:real);
    procedure BACK(d:real);
    procedure SETPOS(x, y:real);
    procedure SETX(x:real);
    procedure SETY(y:real);
    procedure SET_REPER(x, y:real);
implementation
uses graph, crt;

procedure TURTLE_START;
{ initializeaza modul grafic si pozitia broastei }
{ (mijlocul ecranului, in directia nord) }
begin
    graphdriver := Detect ;
    initgraph(graphdriver, graphmode, ''); { mod grafic }
    setviewport( 320, 170, 500, 200, false); { origine }
    setbkcolor( 1 ) ; { fond albastru }
    setcolor( 4 ) ; { desen rosu }
    moveto ( 0 , 0 ) ; { pozitionare in origine }
    penstatus := true;
    cost := 0.0;
    sint := 1.0;
end;
procedure TURTLE_STOP;
{ iesire din modul grafic }
begin
    ch := readkey ; { asteapta apasarea unei taste }
    closegraph ; { iesire din modul grafic }
end;
procedure PEN_UP ; { penita sus }
{ broasca tine capul sus }

```



```

begin penstatus := false;
end;
procedure PEN_DOWN ; { penita jos }
{ broasca tine capul jos }
begin penstatus := true;
end;
procedure RIGHT;
{ broasca isi schimba directia spre dreapta }
var cosu , sinu : real;
    salv : real;
begin
    salv := sint ;
    cosu := cos(u * 3.141592 / 180.0 ) ;
    sinu := sin(u * 3.141592 / 180.0 ) ;
    sint := sint * cosu - cost * sinu ;
    cost := cost * cosu + salv * sinu ;
end;
procedure LEFT;
{ broasca isi schimba directia spre stinga }
begin
    RIGHT ( -u ) ;
end;
procedure FOR_WARD;
{broasca se deplaseaza inainte pe distanta d }
var x,y : real ;
begin
    x := d * cost ;
    y := d * sint ;
    if penstatus then
        lineto( getx + round(x), gety + round(y) )
    else moveto( round(x) , round (y) )
end;
procedure BACK;
{ broasca se deplaseaza inapoi( cu spatele ) }
begin
    FOR_WARD ( -d )
end;
procedure SETPOS;
{ pozitioneaza broasca in punctul (x,y)
  relativ fata de pozitia curenta a broastei }
begin
    if penstatus then
        lineto( getx + round(x), gety + round(y) )

```

```

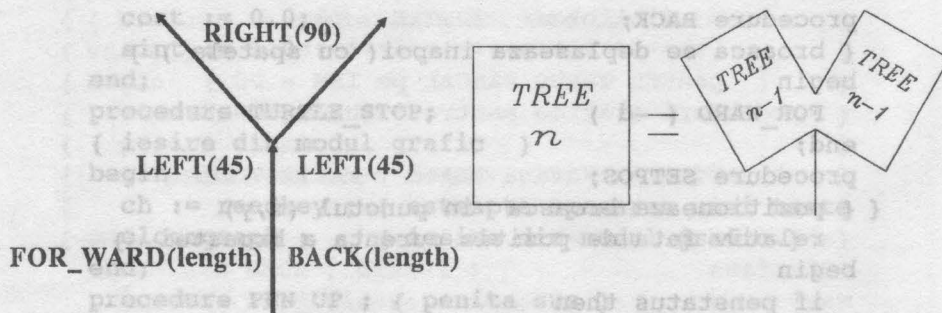
    else moverel ( round(x),round(y) )
end;
procedure SETX;
{ pozitioneaza broasca in punctul de abscisa x si cu
  ordonata cea curenta }
begin
  SETPOS ( x , 0.0 ) ;
end;
procedure SETY;
{ pozitioneaza broasca in punctul de ordonata y si cu
  abscisa cea curenta }
begin
  SETPOS ( 0.0 , y ) ;
end;
procedure SET_REPER;
{ seteaza originea reperului fata de originea
  initiala ( mijlocul ecranului ) in punctul (x,y) }
begin
  setviewport (round(x),round(y),500,200,false);
end;
{-----}
begin end.

```

## 6.2.2. Aplicații

### Arbori binari

Ținând seama de explicațiile date în introducerea la acest capitol, pentru desenarea unui arbore binar stilizat, traseul pe care trebuie să-l urmeze broasca prin apelarea recursivă prezentată, este următorul:



Conform acestor precizări, programul PASCAL care realizează desenul corespunzător are următoarea formă:

### Programul TREE

```

program arbore_binar;
{ genereaza un arbore binar -- autor: M. Vlada }
var level : integer;
    length , u , limit : real;
#include TURTLE.pas;
procedure TREE ( level : integer ; length,u : real );
begin if length < limit then { point }
    else begin if level = 0 then { point }
        else begin
            FOR_WARD ( length ) ;
            LEFT ( u );
            TREE ( level-1, length/2);
            RIGHT ( 2 * u ) ;
            TREE ( level-1, length/2);
            LEFT ( u ) ;
            BACK ( length ) ;
        end
    end
end;

```

```

begin { main }
    writeln (chr(24),' desenarea unui arbore binar');
    write ( ' originea reperului (x0,y0): ');
    read(x0,y0);
    write ( ' level : ' ) ; readln ( level );
    write ( ' length : ' ) ; readln ( length );
    write ( ' u metric: ' ) ; readln (u);
    write ( ' limit : ' ) ; readln (limit);
    TURTLE_START ;
    SET_REPER ( x0 , y0 ) ;
    TREE ( level , length , u ) ;
    TURTLE_STOP ;
end.

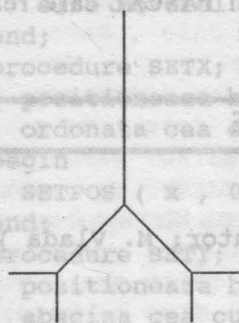
```

Varianta în TURBO PASCAL este următoarea:

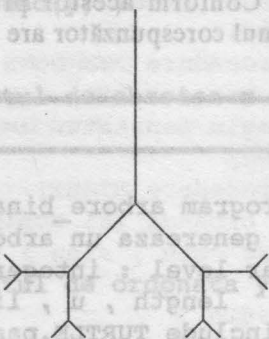
```

program arbore;
{ genereaza un arbore binar }
{ autor : ROXANA VLADA }
uses

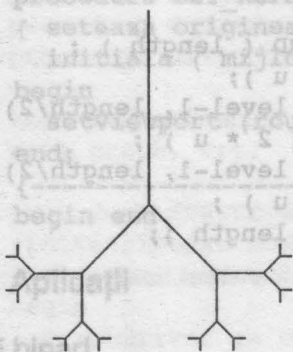
```



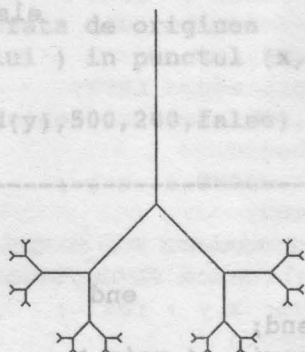
nivel=3



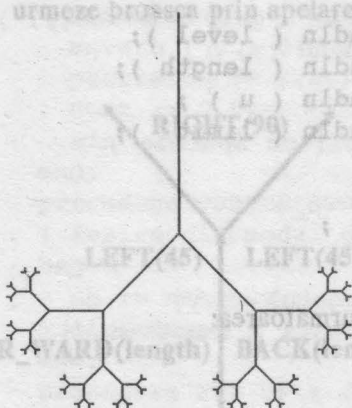
nivel=4



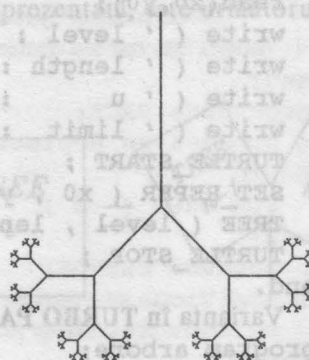
nivel=5



nivel=6



nivel=7



nivel=8



```

turtle;
var level, x0, y0 : integer;
    length, limit : real;
procedure TREE ( level : integer ; length : real );
begin if length < limit then { point }
begin else begin if level = 0 then { point }
writeln(chr(24)) else begin
write(' ');
FOR_WARD ( length );
LEFT ( 45 );
TREE ( level-1, length/2);
RIGHT ( 90 );
TREE ( level-1, length/2);
LEFT ( 45 );
BACK ( length );
end
end;
end;
begin { main }
writeln ( ' desenarea unui arbore binar' );
write ( ' originea reperului (x0,y0): ' );
read(x0,y0);
write ( ' level : ' ); readln ( level );
write ( ' length : ' ); readln ( length );
write ( ' limit : ' ); readln ( limit );
TURTLE_START ;
SET_REPER ( x0 , y0 );
TREE ( level , length );
TURTLE_STOP ;
end.

```

### Arborele lui PERRON

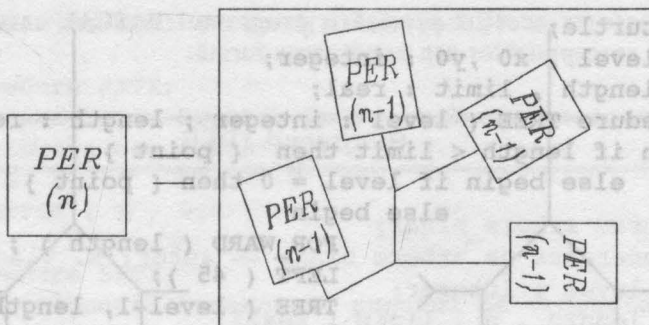
Construcția geometrică ce urmează — cunoscută sub numele de arborele lui PERRON — modelează forma unui copac. Parametrii utilizați pentru generarea figurii sînt următorii:

```

dim    = lungimea tulpinii ( prima ramură )
fdiv   = factor pentru diviziunea unei ramuri
u      = unghiul de ramificație dintre unele ramuri
niv    = nivelul maxim de recursie

```

Evident, pentru generare are loc utilizarea recursivă a unei proceduri PER care trebuie să se construiască după următoarea schemă:



Programul PASCAL este următorul:

### Arborele lui PERRON

```

program arborele_PERRON;
{ genereaza arborele lui PERRON -- autor: M. Vlada }
var dim, fdiv, x0, y0 : real;
    niv, u : integer;
#include turtle.pas;
procedure PER ( dim,fdiv:real ; niv,u :integer);
{ dim = lung. initiala ramura }
{ fdiv = factor diviziune ptr. ramura }
{ niv = nivelul de recursie }
{ u = unghi ramificatie }
{ x0,y0 = coordonate ptr. origine }
begin
    if niv <> 0 then
    begin
        LEFT(u) ; FOR_WARD(dim);
        PER(dim * fdiv, fdiv, niv-1, u);
        BACK(dim); RIGHT( 2 * u ) ;
        FOR_WARD(dim) ; RIGHT(u);
        FOR_WARD(dim);
        PER( dim * fdiv, fdiv, niv-1, u );
        BACK(dim) ; LEFT( 2 * u );
        FOR_WARD(dim); LEFT(u) ;
        FOR_WARD(dim);
        PER( dim * fdiv, fdiv, niv-1, u );
        BACK(dim) ; RIGHT( 2 * u ) ;
        FOR_WARD(dim) ;
        PER( dim * fdiv, fdiv, niv-1, u ) ;
    end
end.
    
```

```

BACK(dim) ; LEFT(u) ;
BACK(dim) ; RIGHT(u) ;
BACK(dim) ; LEFT(u)
end;
end;
begin
  writeln(chr(24),' arborele lui PERRON ');
  write(' originea reperului( x0,y0) :');
  readln(x0,y0);
  write(' dim : ' ) ; readln( dim ) ;
  write(' fdiv : ' ) ; readln( fdiv ) ;
  write(' u : ' ) ; readln( u ) ;
  write(' niv : ' ) ; readln( niv ) ;
  TURTLE_START ;
  SET_REPER ( x0 , y0 ) ;
  FOR_WARD(dim) ;
  PER ( dim , fdiv , niv , u ) ;
  TURTLE_STOP ;
end.

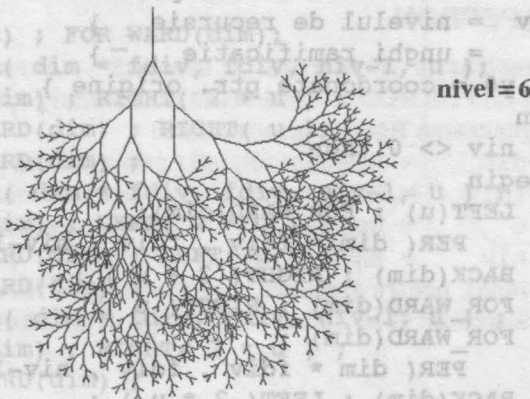
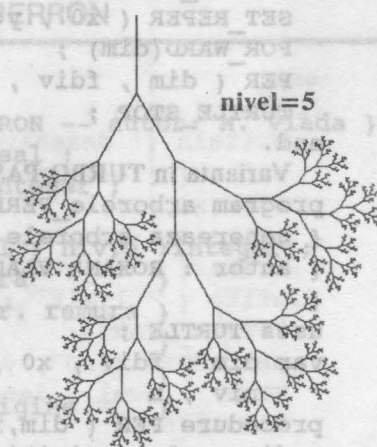
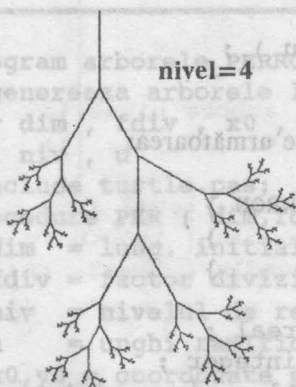
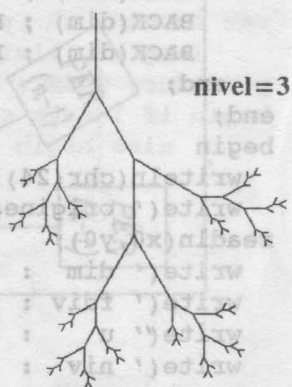
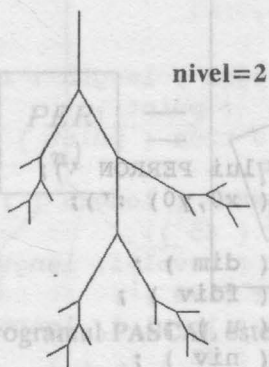
```

Varianta în TURBO PASCAL este următoarea:

```

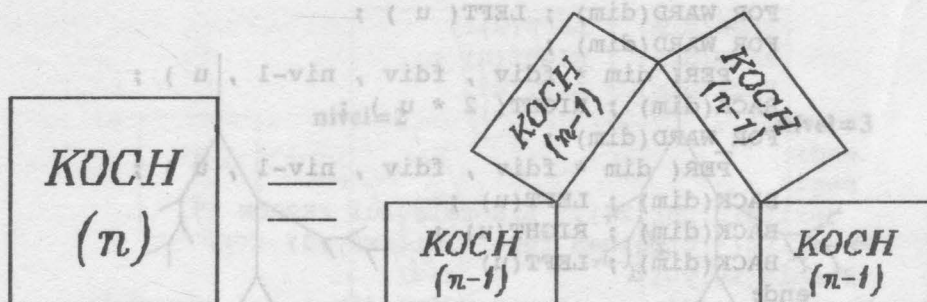
program arborele_PERRON;
{ genereaza arborele lui PERRON }
{ autor : ROXANA VLADA }
{ }
uses TURTLE ;
var dim , fdiv , x0 , y0 : real ;
    niv , u : integer ;
procedure PER ( dim,fdiv:real ; niv,u :integer);
{ dim = lung. initiala ramura }
{ fdiv = factor diviziune ptr. ramura }
{ niv = nivelul de recursie }
{ u = unghi ramificatie }
{ x0,y0 = coordonate ptr. origine }
begin
  if niv <> 0 then
    begin
      LEFT(u) ; FOR_WARD(dim);
      PER( dim * fdiv , fdiv , niv-1 , u ) ;
      BACK(dim) ; RIGHT( 2 * u ) ;
      FOR_WARD(dim) ; RIGHT( u ) ;
      FOR_WARD(dim) ;
      PER( dim * fdiv , fdiv , niv-1 , u ) ;
      BACK(dim) ; LEFT( 2 * u ) ;
    end
  end
end.

```





Construcția geometrică ce urmează este cunoscută sub numele de curba lui KOCH și are proprietatea că este o curbă infinită care delimitează o suprafață de arie finită. De asemenea, graficul curbei este un exemplu prin care se poate defini o funcție continuă dar nicăieri derivabilă; această curbă modelează un fulg de nea. Deoarece, detalii privind construcția acestei curbe fractale au fost date atât în capitolul 5, cât și în introducerea de la acest capitol, alte precizări nu sînt necesare, de aceea vom prezenta doar schema de principiu privind modul de elaborare a procedurii recursive KOCH:



Programul care realizează construcția curbei este:

### Curba lui KOCH

```
program fulg_de_nea;
{ genereaza curba lui KOCH; autor: Rodica Niculescu }
var nivel , i      : integer;
    x0 , y0 , lat : real;
#include TURTLE.pas;
procedure KOCH ( lat, nivel : real );
{desenarea recursiva a unei laturi }
begin
```



```
if nivel = 0 then FOR_WARD ( lat )
    else begin KOCH (lat/3, nivel-1);
                LEFT ( 60 );
                KOCH (lat/3, nivel-1);
                RIGHT (120 );
                KOCH (lat/3, nivel-1);
                LEFT ( 60 );
```

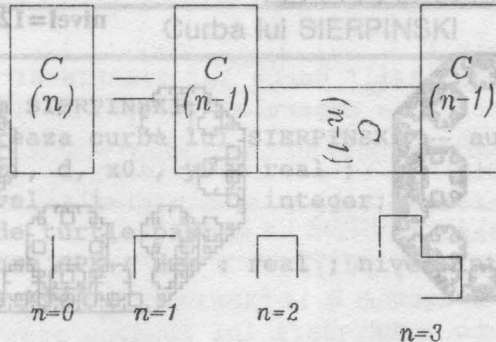
```

    KOCH (lat/3, nivel-1);
  end
end;
begin { main }
  writeln(chr(24), ' curba lui KOCH');
  write (' originea reperului: (x0,y0) :');
  readln(x0,y0);
  write (' lat = '); readln(lat);
  write (' nivel = '); readln(nivel);
  TURTLE START ;
  SET_REPER ( x0 , y0 ) ;
  for i:=1 to 3 do
  begin
    KOCH ( lat, nivel );
    RIGHT ( 120 )
  end;
  TURTLE_STOP;
end.

```

### Curba C

Curba C este o curbă fractală care se generează astfel: pentru nivelul  $n$ , se apelează nivelul  $(n-1)$ , se schimbă direcția spre dreapta cu  $90^\circ$ , se apelează nivelul  $(n-1)$  și se schimbă direcția spre stînga cu  $90^\circ$ , adică:



Programul care realizează construcția curbei este:

### Curba C

```

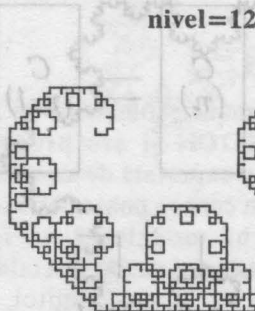
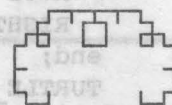
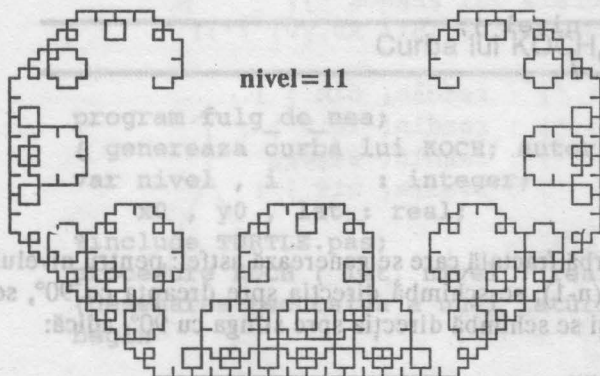
Program curbaC;
{ genereaza curba C -- autor: Florentina Hristea }
var dim , x0 , y0 : real;

```

```

nivel : integer ;
#include turtle.pas;
procedure C ( dim, nivel : real ) ;
begin
    if nivel = 0 then FORWARD ( dim )
    else begin
        C ( dim, nivel-1 ) ;
        RIGHT ( 90 ) ;
        C ( dim, nivel-1 ) ;
        LEFT ( 90 ) ;
    end
end;

```



```

begin { main }
    writeln ( chr(24), ' curba C ' ) ;
    write ( ' originea reperului (x0,y0) : ' ) ;
    readln(x0,y0);
    write ( ' dim : ' ) ; readln(dim);
    write ( ' nivel : ' ) ; readln(nivel);
    TURTLE_START;
    SET_REPER ( x0, y0 ) ;

```



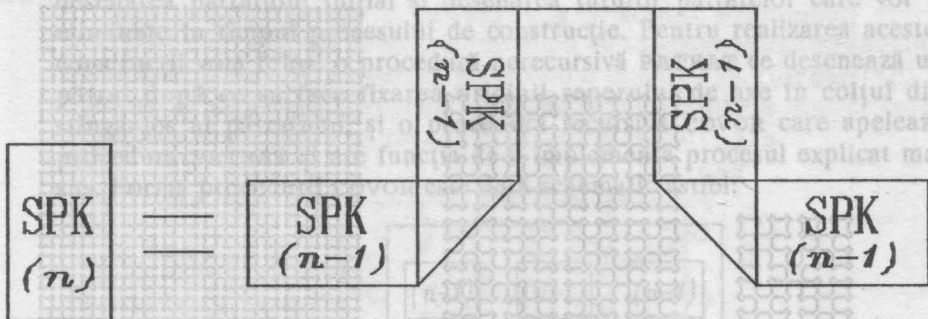
```

C ( dim, nivel ) ;
TURTLE_STOP
end.

```

### Curba lui SIERPINSKI

Curba lui SIERPINSKI are proprietatea că — la infinit — este o curbă de lungime infinită delimitată de o suprafață de arie finită, și anume de un pătrat. Procedura SPK realizează construcția acestei curbe se definește astfel:



Programul care realizează construcția curbei este:

### Curba lui SIERPINSKI

```

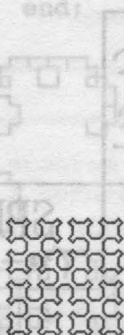
program SIERPINSKI;
{ genereaza curba lui SIERPINSKI -- autor: M. Vlada }
var dim, d, x0, y0: real;
    nivel, i: integer;
#include turtle.pas;
procedure SPK ( dim: real; nivel: integer );
var d: real;
begin
    if nivel <> 0 then
        begin
            d := dim / sqrt(2);
            SPK( dim, nivel-1 );
            RIGHT (45);
            FOR WARD ( d );
            RIGHT (45);
            SPK ( dim, nivel-1 );
        end;
end;

```

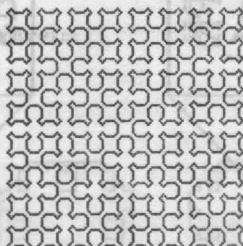
```

LEFT ( 90 );
FOR_WARD ( dim );
LEFT ( 90 );
    SPK ( dim, nivel-1 );
RIGHT ( 45 );
FOR_WARD ( d );
RIGHT ( 45 );
    SPK ( dim, nivel-1 );
end
end;

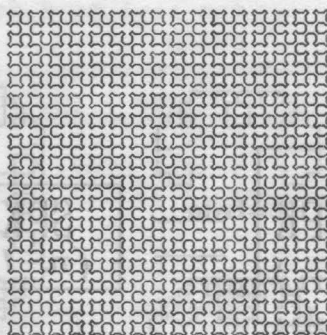
```



nivel=3



nivel=4



nivel=5

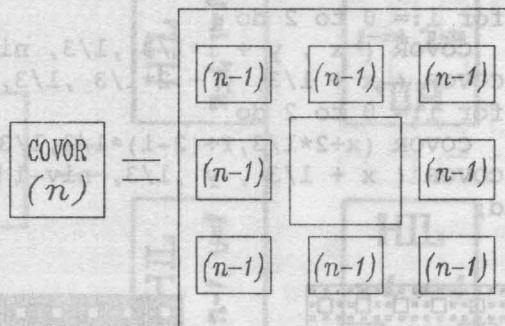
```

begin { main }
    writeln (chr(24), ' curba lui SIERPINSKI');
    write(' originea reperului (x0,y0) : ');
    readln(x0,y0);
    write(' dim      : '); readln(dim);
    write(' nivel    : '); readln(nivel);
    TURTLE_START;
    SET_REPER ( x0, y0 );
    d := dim / sqrt ( 2 );
    for i:=1 to 4 do
        begin
            SPK ( dim, nivel );
            RIGHT ( 45 );
            FOR_WARD ( d );
            RIGHT ( 45 );
        end;
    TURTLE_STOP
end.

```

## Covorul lui SIERPINSKI

Covorul lui SIERPINSKI reprezintă un exemplu de obiect geometric despre care nu s-a putut preciza dacă este o curbă ori o suprafață. Construcția este simplă, și anume, se pleacă de la un pătrat a cărui suprafață se împarte în 9 părți egale prin împărțirea fiecărei laturi în câte 3 părți egale. Partea din mijlocul pătratului inițial se elimină, iar cele 8 pătrate rămase sînt supuse aceluiași procedeu. Prin continuarea acestui proces, care se aplică pătratelor care nu se elimină, la infinit, se obține o construcție geometrică despre care nu se poate spune că reprezintă o curbă ori o suprafață. Reprezentarea grafică a acestui proces o vom face prin desenarea pătratului inițial și desenarea tuturor pătratelor care vor fi eliminate în timpul procesului de construcție. Pentru realizarea acestei construcții vom folosi o procedură nerecursivă PATRAT ce desenează un pătrat după ce se face fixarea originii reperului de axe în colțul din stînga-jos al pătratului, și o procedură recursivă COVOR care apelează procedura PATRAT și are funcția de a implementa procesul explicat mai sus. Forma procedurii COVOR este dată schematic astfel:



Programul care realizează această construcție este:

---

### Covorul lui SIERPINSKI

---

```

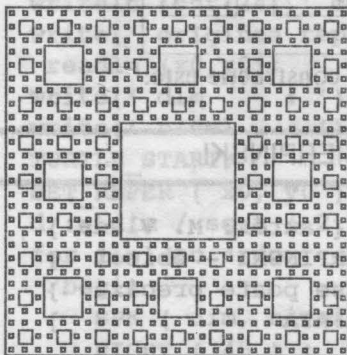
program covor_SIERPINSKI; { autor: M. Vlada }
{ genereaza covorul lui SIERPINSKI - obiect }
{ geometric despre care nu se poate preciza }
{ daca este CURBA ori SUPRAFATA }
var x0,y0,l : real;
    niv      : integer ;
#include turtle.pas;
procedure PATRAT ( x,y,l : real );
begin
    PEN_UP ;

```

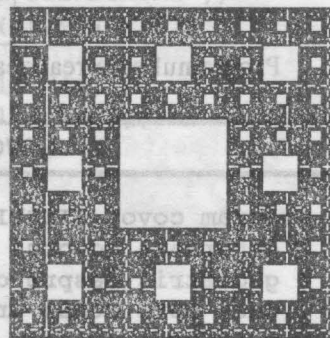
```

SET_REPER ( x,y ) ;
PEN_DOWN ;
FOR_WARD (1) ;
RIGHT (90);
FOR_WARD (1) ;
RIGHT (90);
FOR_WARD (1) ;
RIGHT (90);
FOR_WARD (1) ;
RIGHT (90);
end;
procedure COVOR ( x,y,l:real ; niv :integer );
var i :integer ;
begin
  if niv = 0 then PATRAT ( x + 1/3,y+ 1/3 , 1/3 )
  else
    begin
      PATRAT( x + 1/3 , y + 1/3 , 1/3 );
      for i:= 0 to 2 do
        COVOR ( x , y + i*1/3 ,1/3, niv-1 ) ;
      COVOR ( x + 1/3, y + 2*1/3 ,1/3, niv-1);
      for i:= 0 to 2 do
        COVOR (x+2*1/3,y+(2-i)*1/3,1/3,niv-1);
      COVOR ( x + 1/3 , y ,1/3, niv-1 );
    end;
  end;
end;

```



nivel=3



nivel=4

```

begin
  write(chr(24), ' covorul lui SIERPINSKI ');
  write(' originea reperului (x0,y0) : ');

```



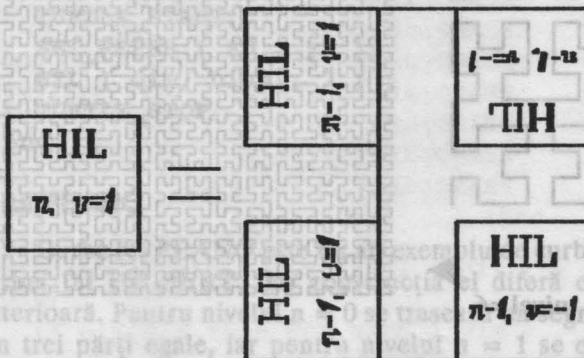
```

    readln(x0,y0);
    write(' lungime latura  : ');readln(l);
    write(' nivel  : '); readln(niv) ;
    TURTLE_START ;
    SET_REPER ( x0,y0) ;
    PATRAT ( x0,y0,l );
    COVOR ( x0,y0,l,niv) ;
    TURTLE_STOP ;
end.

```

### Curba lui HILBERT

Curba lui HILBERT este un exemplu de curbă continuă de lungime infinită care „umple” un pătrat, adică este o funcție  $f:[0,1] \rightarrow [0,1] \times [0,1]$  continuă și surjectivă, dar neinjectivă. Pentru construcția acestei curbe vom defini procedura HIL care se proiectează astfel:



Programul care realizează această construcție este:

#### Curba lui HILBERT

```

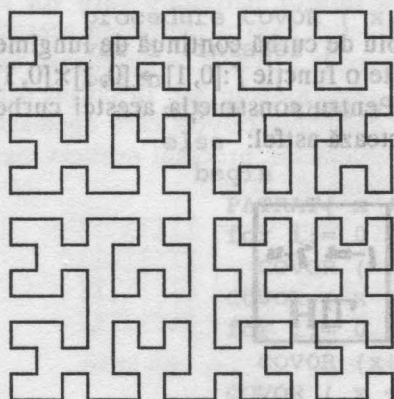
program HILBERT;
{ genereaza curba lui HILBERT -- autor: M. Vlada }
var dim , x0 , y0 : real ;
    v , nivel : integer ;
#include turtle.pas;
procedure HIL( dim :real ; nivel , v : integer );
begin
    if nivel <> 0 then
        begin
            LEFT ( v * 90 );

```

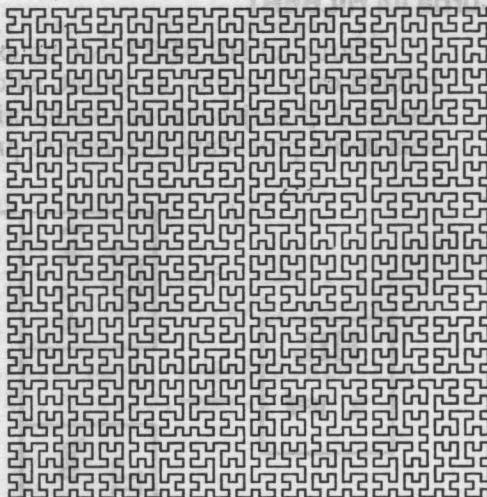


**nivel=2**

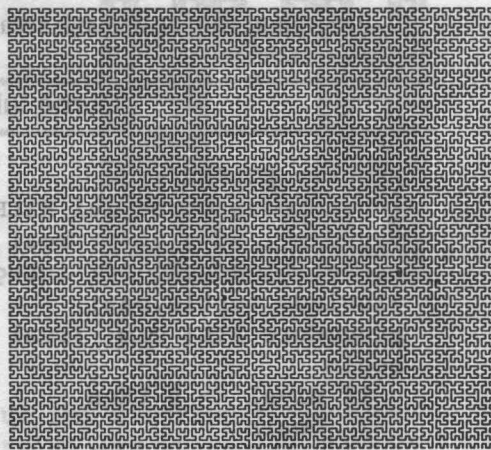
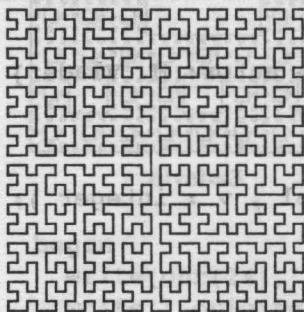
**nivel=3**



**nivel=6**



**nivel=5**



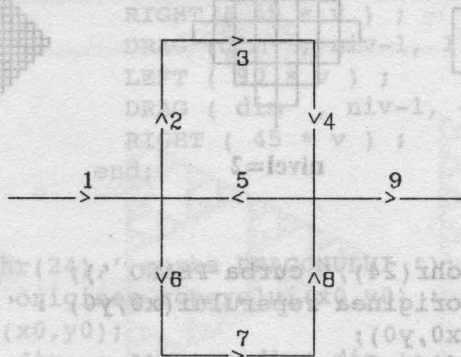
```

HIL ( dim, nivel-1, - v );
FOR_WARD ( dim );
RIGHT ( v * 90 );
HIL ( dim, nivel-1, v );
FOR_WARD ( dim );
HIL ( dim, nivel-1, v );
RIGHT ( v * 90 );
FOR_WARD ( dim );
HIL ( dim, nivel-1, - v );
LEFT ( v * 90 );
end
end;
begin { main }
writeln ( chr(24), ' curba lui HILBERT ');
write ( ' originea reperului (x0,y0) :');read(x0,y0);
write ( ' dim : '); readln ( dim );
write ( ' nivel : '); readln ( nivel );
TURTLE_START;
SET_REPER ( x0 , y0 );
HIL ( dim, nivel, 1 );
TURTLE_STOP
end.

```

### Curba lui PEANO

Curba lui PEANO este un alt exemplu de curbă care are proprietatea curbei lui HILBERT, dar construcția ei diferă esențial de construcția anterioară. Pentru nivelul  $n = 0$  se trasează un segment de dreaptă format din trei părți egale, iar pentru nivelul  $n = 1$  se efectuează următoarele trasări în ordinea indicată de numerele ce apar pe schemă:



Programul care realizează această construcție este:

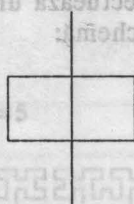
### Curba lui PEANO

```

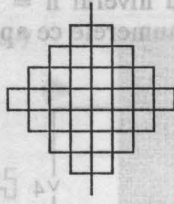
program PEANO;
{ genereaza curba lui PEANO -- autor: M. Vlada }
var dim , x0 , y0 : real ;
    niv : integer ;
%include turtle.pas;
procedure PEANO ( dim : real ; niv : integer ) ;
begin
    if niv = 0 then FOR_WARD ( dim )
    else
        begin
            PEANO(dim/3,niv-1) ; LEFT(90) ;
            PEANO(dim/3,niv-1) ; RIGHT(90);
            PEANO(dim/3,niv-1) ; RIGHT(90);
            PEANO(dim/3,niv-1) ; RIGHT(90);
            PEANO(dim/3,niv-1) ; LEFT(90) ;
            PEANO(dim/3,niv-1) ; LEFT(90) ;
            PEANO(dim/3,niv-1) ; LEFT(90) ;
            PEANO(dim/3,niv-1) ; RIGHT(90) ;
            PEANO(dim/3,niv-1)
        end;

```

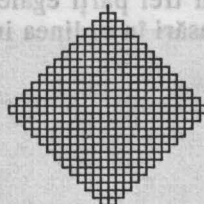
end;



nivel=1



nivel=2



nivel=3

```

begin
    writeln(chr(24), ' curba PEANO ');
    write(' originea reperului(x0,y0) : ');
    readln(x0,y0);
    write(' dim : ') ; readln( dim ) ;
    write(' niv : ') ; readln( niv ) ;

```



```

TURTLE_START ;
SET_REPER ( x0,y0 ) ;
PEANO ( dim , niv ) ;
TURTLE_STOP ;
end.

```

## Curba Dragonului

Curba Dragonului (GARDNER (1980), KROGER (1984)) este o curbă care se generează recursiv astfel: pentru nivelul  $n = 0$  se trasează un segment de dreaptă de lungime  $dim$ , pentru nivelul  $n = 1$  se trasează două laturi alăturate ale unui pătrat de latură  $dim/\sqrt{2}$ , și în general pentru nivelul  $n$ , se schimbă direcția spre dreapta cu  $+45^\circ$ , se apelează procesul pentru nivelul  $n-1$ , se schimbă direcția spre stînga cu  $+90^\circ$ , se apelează din nou procesul pentru nivelul  $n-1$  și în final, se schimbă direcția spre dreapta cu  $+45^\circ$ . Programul care realizează această construcție are următoarea formă:

### Curba Dragonului

```

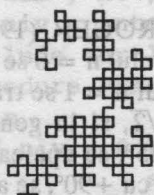
program DRAGON;
{ genereaza curba dragonului -- autor: M. Vlada }
var dim , x0,y0 : real ;
    niv , v : integer;
#include turtle.pas;
procedure DRAG ( dim :real ; niv , v : integer );
begin
    if niv = 0 then FOR_WARD ( dim )
    else
        begin
            RIGHT ( 45 * v ) ;
            DRAG (dim , niv-1, 1 );
            LEFT ( 90 * v ) ;
            DRAG ( dim , niv-1, -1);
            RIGHT ( 45 * v ) ;
        end;
end;
end;
begin
    write(chr(24),' curba DRAGONULUI ');
    write(' originea reperului(x0,y0) : ');
    readln(x0,y0);
    write(' dim : ' ) ; readln( dim ) ;
    write(' niv : ' ) ; readln( niv ) ;

```

```

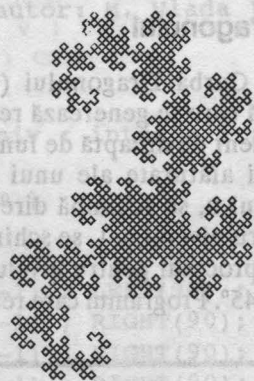
TURTLE_START ;
SET_REPER (x0,y0);
DRAG ( dim /sqrt(2) , niv , 1 );
TURTLE_STOP ;
end.

```



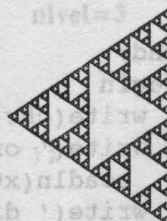
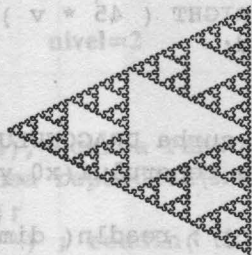
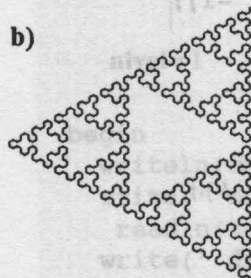
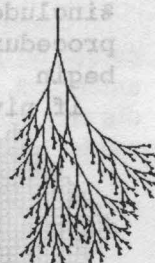
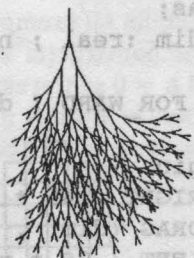
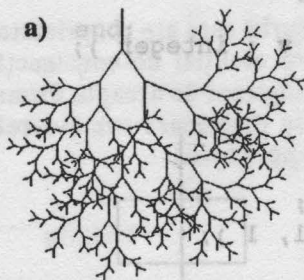
nivel=8

nivel=11

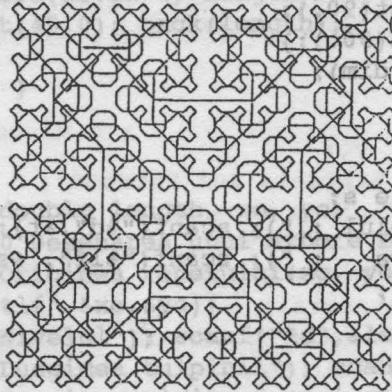


### 6.2.3. Probleme propuse

Să se elaboreze algoritmi, procedurile și programele corespunzătoare pentru realizarea următoarelor construcții geometrice:



c)



### 6.3. Grafica TURTLE în limbajul C

Această secțiune există numai pentru simetria capitolului 6. Ea este doar o adaptare (utilă măcar pentru comparații) a secțiunii 6.2.

#### 6.3.1. Biblioteca TURTLE.c

Sursele funcțiilor date (chiar în exces) la programul SIERP (din capitolul 1) constituie baza de plecare pentru realizarea de T-grafică în C. Ele se pot folosi fie pentru incluziune lexicală, fie pentru obținerea unei biblioteci de module obiect (în accepțiunea RSX-11M). Vom observa doar că desenele au fost executate pe masa de desen DGF-1712.

#### 6.3.2. Aplicații

##### Curba C

```
/*
    Curba c
    autor: A. Posea
*/
$$narg=1;
static double dim=5.;
C(t)
int t;
{
    if (t) {
```

```

C(t-1); right(90.);
C(t-1); left(90.);}
else forwrd(dim);
}
main()
{
int t; double s;
printf("Nivelul : "); scanf("%d",&t);
printf("Scara   : "); scanf("%lf", &s);
trtl_start();
scale(s, s);
C(t);
trtl_stop();
}
#include "turtle.c";

```

## Arbore binar

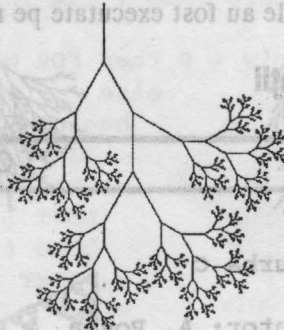
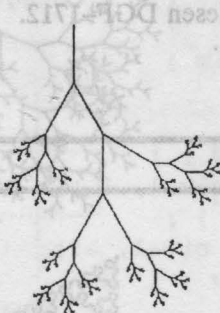
/\*

Arbore binar

autor: A. Posea

\*/

static double limit;



```

arbore(level, length)
int level; double length;
{ if (length > limit) {
    if (level) {
        forwrd(length); left(45.0);
        arbore(level-1, length/2.0);
        right(90.0);
    }
}

```



```

        arbore(level-1, length/2.0);
        left(45.0); back(length);
    }
}

main()
{
    int level; double length, xo, yo;
    printf("\030 Desenarea unui arbore binar");
    printf("\n Originea reperului(xo,yo)");
    scanf("%lf,%lf",&xo,&yo);
    printf("\n Nivelul"); scanf("%d",&level);
    printf("\n Lungimea tulpinii"); scanf("%lf",&length);
    printf("\n Lungimea minima a unei ramuri");
    scanf("%ld",&limit);
    trtl_start(); set_reper(xo,yo);
    arbore(level, length);
    trtl_stop();
}

```

---

### Arborele lui PERRON

---

```

/*
    Arborele lui Perron
    autor: A. Posea
*/
static double mugure, unghi;

Perron(level, ramura)
int level; double ramura, unghi;
{ if (level) {
    left(unghi); forwrd(ramura);
    Perron(level-1, ramura*mugure);
    back(ramura); right(unghi*2.0); forwrd(ramura);
    Perron(level-1, ramura*mugure);
    back(ramura); left(unghi*2.); forwrd(ramura);
    left(unghi); forwrd(ramura);
    Perron(level-1, ramura*mugure);
    back(ramura); right(unghi*2.0); forwrd(ramura);
    Perron(level-1, ramura*mugure);
    back(ramura); left(unghi);
}
}

```

```

        back(ramura); right(unghi);
        back(ramura); left(unghi);
    }
}

main()
{ double xo, yo;
  printf("\030 Arborele lui Perron");
  printf("\n Originea reperului: ");
  scanf("%lf,%lf",&xo,&yo);
  printf("\n Lungimea tulpinii: ");
  scanf("%lf",&ramura);
  printf("\n Nivelul: "); scanf("%d",&level);
  printf("\n Pozitia mugurelui (0<p<1, u): ");
  scanf("%lf,%lf",&mugure,&unghi);
  trtl_start(); set_reper(xo,yo);
  forwrd(ramura); Perron(level, ramura);
  trtl_stop()
}

```

### Covorul lui SIERPINSKI

/\*

Covorul lui Sierpinski

autor: A. Posea

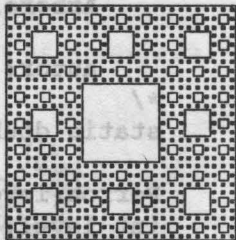
\*/

```

patrat(xo,yo,latura)
double xo,yo,latura;
{ register int i;
  setrep(xo, yo);
  for(i=4; i; i--){
    forwrd(latura); right(90.0);}
}

covor(level, xo, yo, latura)
int level; double xo,yo, latura;
{ double lat; register int i; lat = latura/3.;
  patrat(xo+lat, yo+lat, lat);
  if (level) {
    for (i=0; i<3; i++){
      covor(level-1, xo, yo+i*lat, lat);
      covor(level-1, xo+lat, yo+2.*lat, lat);
    }
  }
}

```



```

        cover(level-1, xo+2.*lat, yo+(i-1)*lat, lat);
        cover(level-1, xo+lat, yo, lat);
    }
}
#include "turtle.c";
$$narg=1;
main()
{
    double latura; int level;
    printf("\030 Lungime latura : ");
    scanf("%lf",&latura);
    printf("\n Nivelul : "); scanf("%d",&level);
    start();
    patrat (0.,0.,latura);
    cover(level,0.,0.,latura);
    stop();
}

```

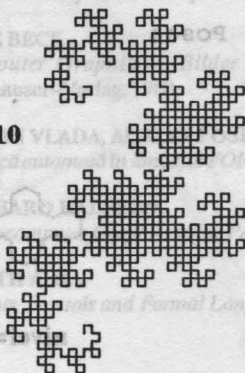
### Curba Dragonului

```

/*
    Curba Dragonului -- autor: A. Posea
*/
static double length=10.0;
dragon(virsta, sens)

```

nivel=10



nivel=12



```

int virsta, sens;
{
    if (virsta)*0.5; right(45.*sens);
    { right(45.*sens);

```

```

dragon(virsta-1, sens);
left(90.*sens);
dragon(virsta-1, -sens);
right(45.*sens);
} else forwrd(length);
}
main()
{
int virsta;
double sc;
printf("Virsta Dragonului este "); scanf("%d", &virsta);
printf("Factorul de scara este "); scanf("%lf", &sc);
start();
scale(sc, sc);
dragon(virsta, 1);
stop();
}
#include "turtle.c";

```

Vom prezenta un program care nu este traducere în C a unui din 6.2.2 cu recomandarea de a descoperi singuri inițiatorul și generatorul figurii rezultate, încercând eventual unele modificări:

### Programul Vîrf de Lance

```

/*
Virf de lance -- autor: A. Posea
*/
LANCE(l, t, s)
double l; int t,s;

```



nivel=1



nivel=2



nivel=3

```

{
if (t) {
left(60.*s);
LANCE(l*0.5, t-1, -s); right(60.*s);
LANCE(l*0.5, t-1, s); right(60.*s);
}
}

```



```

        LANCE(l*0.5, t-1, -s); left(60.*s);}
else
    forwrd(l);
}
$$narg=1;
main()
{
    double l; int t;
    printf("Virsta : "); scanf("%d", &t);
    printf("Dimens : "); scanf("%lf", &l);
    trtl_start();
    LANCE(l, t, 1);
    trtl_stop();
}
#include "turtle.c";

```

### 6.3.3. Probleme propuse

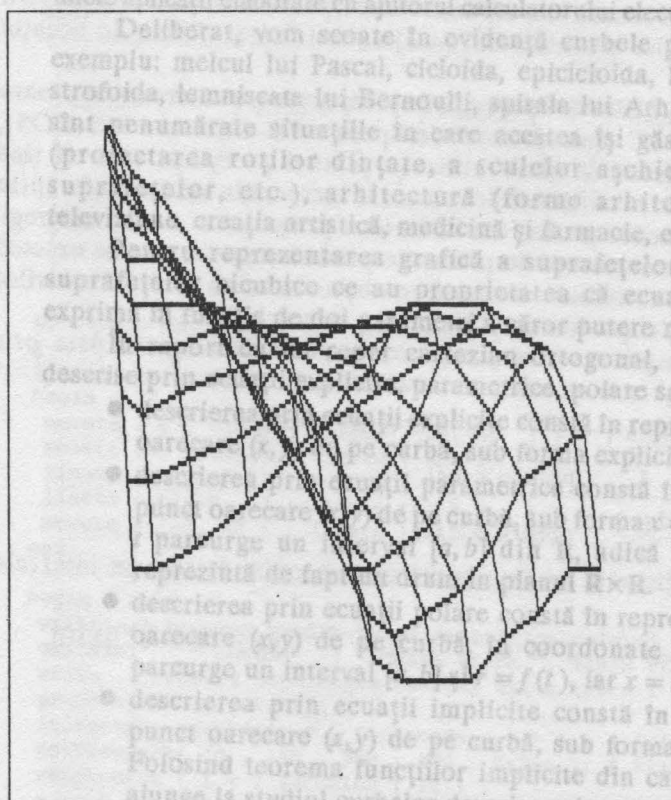
- 1) Să se realizeze unele variațiuni pe temele fulg-de-nea, curba lui Hilbert, curba lui Sierpinski.
- 2) Să se calculeze (în funcție de t), orientarea inițială a broaștei, astfel ca figura realizată de procedura C să aibă orientarea literei „C”.
- 3) Să se calculeze (în funcție de t) lungimea curbei desenate de procedura LANCE.

### 6.4. Bibliografie

- 
- [1] HAROLD ABELSON, ANDREA A. DISESSA,  
*Turtle Geometry — The Computer as a Medium for Exploring Mathematics*, vol. I-II, The MIT Press, 1981.
  - [2] UWE BECK,  
*Computer Graphik — Bilder und Programme zu Fraktalen, Chaos und Selbstähnlichkeit*, Birkhauser-Verlag, 1988.
  - [3] MARIN VLADA, ADRIAN POSEA,  
*Grafică automată în limbajul FORTRAN 77 și aplicații*, Tipografia Universității București, ed. II, 1990.
  - [4] RICHARD HALPERN,  
*Microcomputer Graphics using PASCAL*, HARPER & ROW, Publishers, New York, 1985.
  - [5] SMITH A. R.,  
„Plants, Fractals and Formal Languages” în: *Computer Graphics*, vol 18, nr. 3, 1984.



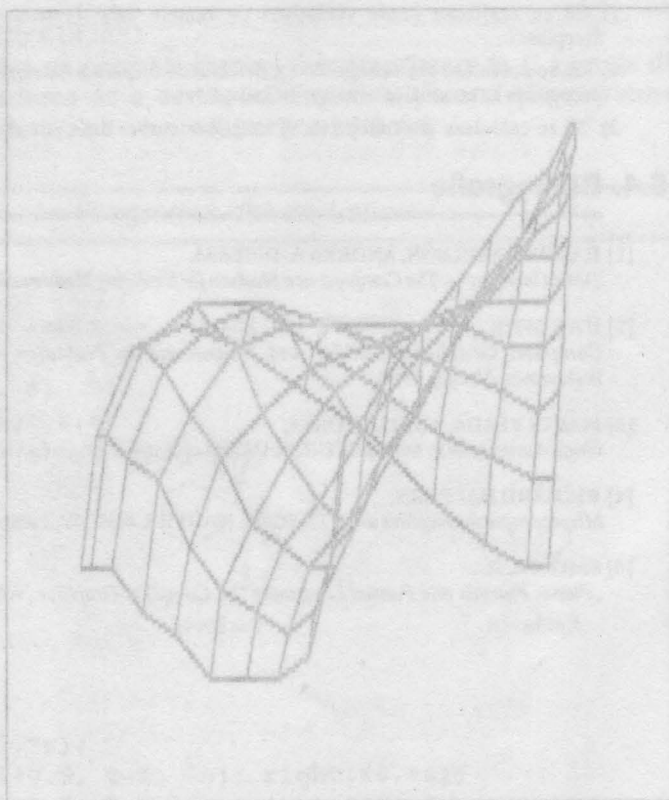
# APLICAȚII ÎN TEORIA CURBELOR ȘI SUPRAFEȚELOR



7

## 7. APLICAȚII ÎN TEORIA CURBELOR ȘI SUPRAFEȚELOR . 135

7.1. Curbe date de ecuații explicite .....	138
7.2. Curbe date de ecuații parametrice .....	143
7.3. Curbe date de ecuații polare .....	153
7.4. Curbe și suprafețe în spațiu .....	160
7.5. Probleme propuse .....	167
7.6. Bibliografie .....	168





**R**eprezentarea grafică a curbelor și suprafețelor reclamă câteva probleme a căror rezolvare depinde de stăpânirea unor noțiuni atât din domeniul matematicii cât și din domeniul informaticii. De aceea, în acest capitol vom trata câteva exemple semnificative din domeniul curbelor și suprafețelor, dar și pentru a familiariza pe cititor cu complexitatea acestui domeniu de mare interes atât pentru matematicieni cât și pentru ingineri sau informaticieni. Formele unor curbe și suprafețe sînt dificil de reprezentat, dar acestea sînt deosebit de utile în unele aplicații elaborate cu ajutorul calculatorului electronic.

Deliberat, vom scoate în evidență curbele plane remarcabile (de exemplu: melcul lui Pascal, cicloida, epicycloida, hipocicloida, astroida, strofoida, lemniscata lui Bernoulli, spirala lui Arhimede, etc.), deoarece sînt nenumărate situațiile în care acestea își găsesc aplicații: tehnică (proiectarea roților dințate, a sculelor așchietoare, desfășurarea suprafețelor, etc.), arhitectură (forme arhitecturale deosebite), televiziune, creația artistică, medicină și farmacie, etc.

Pentru reprezentarea grafică a suprafețelor vom folosi metoda suprafețelor bicubice ce au proprietatea că ecuațiile parametrice se exprimă în funcție de doi parametri a căror putere nu depășește pe 3.

În raport cu un reper cartezian ortogonal, curbele plane pot fi descrise prin ecuații explicite, parametrice, polare sau implicite:

- descrierea prin ecuații explicite constă în reprezentarea unui punct oarecare  $(x, y)$  de pe curbă, sub forma explicită  $y = f(x)$ .
- descrierea prin ecuații parametrice constă în reprezentarea unui punct oarecare  $(x, y)$  de pe curbă, sub forma  $x = f(t)$ ,  $y = g(t)$ , unde  $t$  parcurge un interval  $[a, b]$  din  $\mathbb{R}$ , adică  $F(t) = (f(t), g(t))$  ce reprezintă de fapt un drum în planul  $\mathbb{R} \times \mathbb{R}$ .
- descrierea prin ecuații polare constă în reprezentarea unui punct oarecare  $(x, y)$  de pe curbă, în coordonate polare  $(r, t)$ , unde  $t$  parcurge un interval  $[a, b]$  și  $r = f(t)$ , iar  $x = r \cos(t)$ ,  $y = r \sin(t)$ .
- descrierea prin ecuații implicite constă în reprezentarea unui punct oarecare  $(x, y)$  de pe curbă, sub forma ecuației  $F(x, y) = 0$ . Folosind teorema funcțiilor implicite din calculul diferențial, se ajunge la studiul curbelor descrise prin ecuații explicite.

În toate cazurile, dacă sînt îndeplinite condiții corespunzătoare din calculul diferențial, se ajunge la studiul curbelor descrise prin ecuații explicite. După cum vom vedea, această trecere trebuie uneori evitată.

## 7.1. Curbe date de ecuații explicite

În acest caz, reprezentarea curbelor plane este dată de expresia explicită a coordonatei  $y$  funcție de coordonata  $x$ , adică  $y = f(x)$ . Reprezentarea grafică cu ajutorul calculatorului a acestor curbe se realizează prin parcurgerea domeniului  $[a, b]$  al abscisei  $x$  și determinarea valorilor  $f(x)$ ,  $x \in [a, b]$  ținînd seama de unele scalări atît pe  $Ox$  cît și pe  $Oy$  în funcție de particularitățile funcției  $f$ . Pentru implementarea pe calculator a acestei reprezentări trebuie să se țină seama de dispozitivul periferic de afișare grafică pe care utilizatorul dorește să execute imaginea. Pentru minicalculatoarele compatibile PDP (sub sistemul de operare RSX-11M), în capitolele 1 și 2 din volumul I s-au prezentat două biblioteci de proceduri grafice utilizabile din limbajele PASCAL și C care conțin fiecare procedura corespunzătoare (procedura GRAPH) pentru reprezentarea grafică pe intervalul  $[a, b]$  a unei funcții  $f$  date de ecuația explicită  $y = f(x)$ .

În limbajul TURBO PASCAL implementat pe microcalculatoare compatibile IBM-PC (sub sistemul de operare PC-DOS sau MS-DOS), este necesară scrierea de către utilizator a unei proceduri care să țină seama că în acest caz coordonatele cu care se lucrează în modul grafic (prin utilizarea procedurilor grafice din biblioteca graph) sînt numere întregi. Din acest motiv este nevoie de precauție privind scara la care se execută desenul. Scalarea ce trebuie realizată se obține în urma analizei valorilor extreme ale funcției pe domeniul pe care se reprezintă.

Pentru exemplificare, vom reprezenta grafic trei funcții date prin ecuații explicite și care au anumite caracteristici:

•  $f(x) = |\sin x| \cdot e^{-\sin x}$  pe intervalul  $[0, 8\pi]$ ;

•  $f(x) = \begin{cases} 1, & \text{pentru } x = 0 \\ \frac{d(x)}{x}, & \text{pentru } x \geq 0, \end{cases}$

unde  $d(x)$  este distanța de la  $x$  la cel mai apropiat întreg, pe intervalul  $[0, 100]$ ;

•  $f(x) = 5 \cdot e^{-0,3x} + 15 \cdot e^{-0,1x} - 20 \cdot e^{-0,2x}$ , pe intervalul  $[0, 10]$ .

## EXEMPLUL 1:

## Programul GRAFIC1

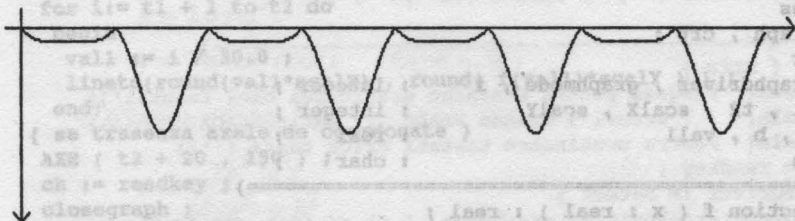
```

=====
program GRAFIC1 ;
{   autori   : Roxana VLADA , Marin VLADA   }
uses
  graph , crt ;
var
  graphdriver , graphmode , i : integer ;
  ch               : char ;
  a , b , vall    : real ;
  t1 , t2 , scalX , scalY : integer ;
=====
function f ( x: real ) : real ;
{-----}
begin
  f := abs ( sin(x) ) * exp ( - sin ( x ) ) ;
end;
{-----}

=====
procedure AXE ( t1 , t2 : integer ) ;
{-----}
{ traseaza axele de coordonate }
begin
  moveto ( 0 , -10 ) ; lineto ( 0 , t2 ) ;
  moveto ( -5 , t2-5 ) ; lineto ( 0 , t2 ) ;
  lineto ( +5 , t2-5 ) ; moveto ( -10 , 0 ) ;
  lineto ( t1 , 0 ) ; lineto ( t1-5 , 5 ) ;
  moveto ( t1-5 , -5 ) ; lineto ( t1 , 0 ) ;
end;
{-----}

begin { main }
  writeln( ' Program pentru trasarea graficului unei functii ' );
  writeln( '      autori   : ROXANA VLADA , MARIN VLADA   ' );
  write ( ' Pentru continuare tastati orice tasta ! ' ); read(ch);
  graphdriver := Detect ;
  initgraph( graphdriver , graphmode , ' ' ) ; { init mod grafic }
  setviewport( 20 , 150 , 500 , 300 , false ) ; { fixare origine. }
  setbkcolor ( 1 ) ; setcolor ( 14 ) ;
  a := 0.0 ; b := 8.0 * pi ;

```



```

{ se traseaza graficul }
scalX := 20 ; scalY := 20 ; { scalare pe X si Y }
t1 := round(a) * scalX ; t2 := round(b) * scalX ;
moveto ( round(a) * scalX , round( f(a) * scalY ) ) ;
for i:= t1 + 1 to t2 do
begin
    vall := i / 20.0 ;
    lineto ( round(vall * scalX) , round( f(vall) * scalY ) ) ;
end;
{ se traseaza axele de coordonate }
AXE ( t2+20 , 100 ) ;
ch := readkey ;
closegraph ;
end.

```

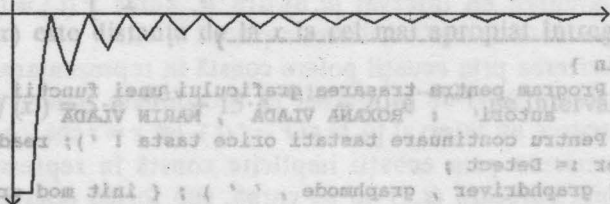
## EXEMPLUL 2:

### Programul GRAFIC2

```

{=====}
program GRAFIC2;
{ autori : Roxana Vlada , Marin Vlada }
uses
    graph , crt ;
var
    graphdriver , graphmode , i : integer ;
    t1 , t2 , scalX , scalY : integer ;
    a , b , vall : real ;
    ch : char ;
{=====}
function f ( x : real ) : real ;
{-----}
begin
    if x=0.0 then
        f:= 1.0
    else
        f := abs( round( x )-x ) / x ;
end;

```



```

end;
procedure AXE ( t1 , t2 : integer ) ;

```



```

{-----}
{ traseaza axele de coordonate }
begin
  moveto ( 0 , -10 ) ; lineto ( 0 , t2 ) ;
  moveto (-5 , t2-5) ; lineto ( 0 , t2 ) ;
  lineto (+5 , t2-5) ; moveto (-10 , 0 ) ;
  lineto (t1 , 0 ) ; lineto (t1-5,5 ) ;
  moveto (t1-5,-5 ) ; lineto (t1 , 0 ) ;
end;
{-----}
begin { main }
  writeln(' Program pentru trasarea graficului unei functii');
  writeln('      autori : ROXANA VLADA , MARIN VLADA      ');
  write ( ' Pentru continuare tastati orice tasta ! ');
  ch := readkey;
  graphdriver := Detect ;
  initgraph ( graphdriver , graphmode , '' ) ; {init grafic mod}
  setViewPort( 20 , 150 , 500 , 300 ,false) ; {fixare origine }
  setbkcolor ( 1 ) ; setcolor ( 14 ) ;
  a := 0.0 ; b := 15.0 ;
  { se traseaza graficul }
  scalX := 30 ; scalY := 140 ; { scalare pe X si Y }
  t1 := round (a) * scalX ; t2 := round (b) * scalX ;
  moveto( t1 , round( f(a) * scalY ) ) ;
  for i:= t1 + 1 to t2 do
    begin
      vall := i / 30.0 ;
      lineto(round(vall*scalX) , round( f(vall)*scalY ) ) ;
    end;
  { se traseaza axele de coordonate }
  AXE ( t2 + 20 , 150 ) ;
  ch := readkey ;
  closegraph ;
end.

```

## EXEMPLUL 3:

### Programul GRAFIC3

```

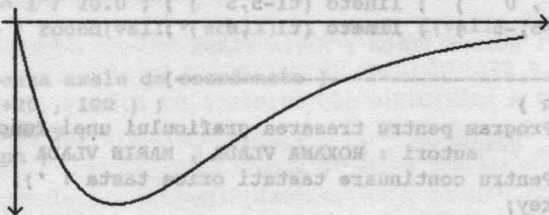
{=====}
program GRAFIC3;
{ autori : ROXANA VLADA , MARIN VLADA }
uses
  graph , crt ;
var
  graphdriver , graphmode , i : integer ;
  t1 , t2 , scalX , scalY : integer ;
  a , b , vall : real ;
  ch : char ;
{=====}
function f ( x : real ) : real ;

```

```

{-----}
{ functia "absortie-eliminare" }
begin
  f := 5.0 * exp ( -0.3*x ) + 15.0 * exp( -0.1*x ) -
    20.0 * exp ( -0.2 * x ) ;
end;

```



```

{-----}
procedure AXE ( t1 , t2 : integer ) ;
{ traseaza axele de coordonate }
begin
  moveto ( 0 , -10 ) ; lineto ( 0 , t2 ) ;
  moveto ( -5 , t2-5 ) ; lineto ( 0 , t2 ) ;
  lineto (+5 , t2-5 ) ; moveto ( -10 , 0 ) ;
  lineto ( t1 , 0 ) ; lineto ( t1-5 , 5 ) ;
  moveto ( t1-5 , -5 ) ; lineto ( t1 , 0 ) ;
end;
{-----}
begin { main }
  writeln(' Program pentru trasarea graficului unei functii ');
  writeln('      autori : Roxana VLADA , Marin VLADA ');
  writeln(' Pentru continuare tastati orice tasta ! ');
  ch := readkey ;
  graphdriver := Detect ;
  initgraph(graphdriver, graphmode , ' ' ) ; { init mod grafic }
  setviewport ( 50 , 100 , 500 , 300 , false ) ; { originea }
  setbkcolor ( 1 ) ; setcolor ( 14 ) ;
  a := 0.0 ; b := 40.0 ;
  { se traseaza graficul }
  scalX := 10 ; scalY := 45 ; { scalare pe X si Y }
  t1 := round( a ) * scalX ; t2 := round ( b ) * scalX ;
  moveto ( t1 , round( f( a ) * scalY ) ) ;
  for i := t1 + 1 to t2 do
    begin
      vall := i / 10.0 ;
      lineto ( round( vall*scalX ) , round( f(vall) * scalY ) ) ;
    end;
  { se traseaza axele de coordonate }
  AXE ( t2 + 20 , 150 ) ;
  ch := readkey ;
  closegraph;
end.

```

## 7.2. Curbe date de ecuații parametrice

În acest caz, curbele plane sînt exprimate de o funcție  $F(t) = (f(t), g(t))$ , unde  $t \in [a, b]$ ,  $F: \mathbb{R} \rightarrow \mathbb{R} \times \mathbb{R}$  ( $F$  semnifică un drum în planul  $\mathbb{R} \times \mathbb{R}$ ). Pentru reprezentarea grafică a unei astfel de curbe, se consideră o diviziune a intervalului  $[a, b]$  după ce în prealabil s-a realizat o scalare în funcție de cardinalul mulțimii  $[a, b] \cap \mathbb{N}$  sau  $[a, b] \cap \mathbb{Z}$ , după caz. Aceste aspecte practice de implementare pot fi urmărite în programul CURBE care realizează reprezentarea grafică a unor curbe plane remarcabile și anume:

### 1. Concoida lui NICOMEDE (concoida dreptei)

$$x = a \pm b \cos t, y = a \operatorname{tg} t \pm b \sin t, \quad t \in \left(-\frac{\pi}{2}, \frac{\pi}{2}\right)$$

### 2. Melcul lui PASCAL (concoida cercului; cardioida pentru $a = b$ )

$$\begin{aligned} x &= 2(a \cos t + b) \cos t \\ y &= 2(a \cos t + b) \sin t, \quad t \in (-\pi, \pi) \end{aligned}$$

### 3. Cisoida lui DIOCLES

$$\begin{aligned} x &= 2a \sin^2 t \\ y &= 2a \sin^2 t \cos t, \quad t \in \left(-\frac{\pi}{2}, \frac{\pi}{2}\right) \end{aligned}$$

### 4. Cisoida elipsei

$$\begin{aligned} x &= \frac{2a^3 \operatorname{tg}^2 t}{a^2 \operatorname{tg}^2 t + b^2} \\ y &= \frac{2a^3 \operatorname{tg}^3 t}{a^2 \operatorname{tg}^2 t + b^2}, \quad t \in \left(-\frac{\pi}{2}, \frac{\pi}{2}\right) \end{aligned}$$

### 5. Trisectoarea lui MAC-LAURIN

$$x = a(4 \cos^2 t - 1), y = a(4 \cos^2 t - 1) \cdot \operatorname{tg} t, \quad t \in \left(-\frac{\pi}{2}, \frac{\pi}{2}\right)$$

### 6. Trisectoarea lui LONGCHAMPS

$$x = \frac{a}{4 \cos^2 t - 3}, y = \frac{a \operatorname{tg} t}{4 \cos^2 t - 3}, \quad t \in \left(-\frac{\pi}{2}, \frac{\pi}{2}\right) \setminus \left\{\pm \frac{\pi}{6}\right\}$$

### 7. Cicloida

$$x = at - b \sin t, y = a - b \cos t, \quad t \in \mathbb{R}$$

### 8. Epicicloida

$$x = (R + r) \cdot \cos \frac{r}{R} t - r \cdot \cos \left(t + \frac{r}{R} t\right),$$

$$y = (R + r) \cdot \sin \frac{r}{R}t - r \cdot \sin (t + \frac{r}{R}t), \quad t \in [0, 2\pi]$$

**Observații:**

- dacă  $R = r$  se obține cardioida;
- forma epicicloidei depinde de raportul  $r/R$ ;
- epiciclopedia a fost introdusă în anul 1525 de Albrecht Dürer pentru obținerea de figuri ornamentale.

#### 9. Hipociclopedia

$$x = (R - r) \cos \frac{r}{R}t + r \cos (t - \frac{r}{R}t),$$

$$y = (R - r) \sin \frac{r}{R}t - r \sin (t - \frac{r}{R}t), \quad t \in [0, 2\pi];$$

**Observație:** pentru  $R = 4r$  se va obține astroida.

#### 10. Astroida

$$x = a \cos^3 t, y = a \sin^3 t, \quad t \in [0, 2\pi]$$

**Observație:** Astroida a fost introdusă în anul 1715 de către G. Leibnitz.

#### 11. Strofoida

$$x = a (1 \pm \sin t), y = a (1 \pm \sin t) \operatorname{tg} t, \quad t \in (-\frac{\pi}{2}, \frac{\pi}{2})$$

#### 12. Bucla Maria Agnesi

$$x = a \operatorname{ctg} t, y = a \sin^2 t, \quad t \in (0, \pi)$$

---

### Programul CURBE

---

```
{=====}
program CURBE ;
uses
  graph , crt ;
var
  graphdriver , graphmode      : integer;
  ch                           : char;
  graphX , graphY              : array[-319..319] of integer;
  a , b , arg , val1 , val2    : real;
  i , t1 , t2 , flag           : integer;
{=====}
procedure INIT ;
{-----}
begin
  graphdriver := Detect;
```



```

initgraph ( graphdriver , graphmode , ' ' ); { init mod grafic}
setviewport ( 320 , 175 , 500 , 200 , false ); { fixare origine}
setbkcolor ( 1 ); { culoare fond = albastru }
setcolor ( 14 ); { culoare desen = galben }
rectangle ( -150 , -150 , 150 , 150 ); { deseneaza un chenar }
setviewport ( 170 , 25 , 470 , 325 , true ); { fixare fereastră }
end;

procedure STOP;
{-----}
{ iesire din modul grafic }
begin
  ch := readkey; { inghetare imagine }
  closegraph; { iesire mod grafic }
end;

procedure AXE;
{-----}
{ deseneaza axele (format mic) in origine }
begin
  moveto ( 120 , 150 );
  lineto ( 180 , 150 );
  moveto ( 150 , 120 );
  lineto ( 150 , 180 );
end;

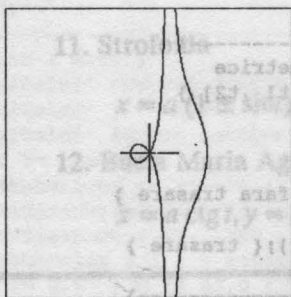
procedure GRAPH1 ( t1 , t2 : integer );
{-----}
{ deseneaza curba data de ecuatii parametrice
  x := f ( t ) , y := g(t) pe intervalul [t1 ,t2] }
var
  i : integer;
begin
  moveto ( graphX[t1] , graphY[t1] ); { fara trasare }
  for i:= t1 + 1 to t2 do
    lineto ( graphX [ i ] , graphY [ i ] ); { trasare }
  end;
{-----}
begin { main }
  writeln('*****');
  writeln('          CURBE PLANE REMARCABILE ');
  writeln('          autor : M . Vlada ');
  writeln('*****');
  writeln(' 1 =concoida NICOMEDE      2 =melcul lui PASCAL ');
  writeln(' 3 =cisoida DIOCLES        4 =cisoida elipsei ');
  writeln(' 5 =trisectoarea MAC-LAURIN 6 =trisectoarea LONGCHAMPS ');
  writeln(' 7 =cicloida              8 =epicicloida ');
  writeln(' 9 =hipocicloida          10=astroida ');
  writeln(' 11=strofoida             12=bucla MARIA AGNESI ');
  writeln(' ( centrul ecranului = originea sistemului cartezian ) ');
  writeln('*****');
  write(' precizitati numarul de ordine pentru curba dorita : ');
  read ( flag );
  case flag of

```

```

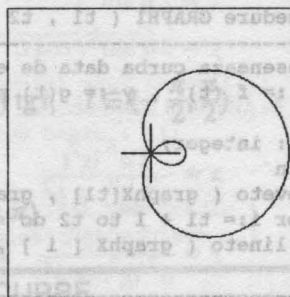
{ ===== curba lui NICOMEDE ===== }
1 : begin
  writeln(' curba lui NICOMEDE ');
  write (' dati parametri a , b = '); read ( a , b );
  t1 := round( (- pi / 2.0)*100 ); t2 := round( (pi / 2.0)*100);
  { factorul 100 reprezinta scalarea imaginii }
  for i:= t1 to t2 do
    begin
      arg := i / 100.00 ;
      { vectorii graphX, graphY retin coordonatele pentru desenare }
      graphX [i] := round( ( a + b * cos (arg) ) * 100 )+150 ;
      graphY [i] := round((a*sin(arg)/cos(arg) + b*sin(arg))*100)+150;
    end;
  INIT ;
  AXE ;
  GRAPH1 ( t1 , t2 );
  for i:= t1 to t2 do
    begin
      arg := i / 100.00 ;
      graphX[i] := round( ( a - b * cos (arg) ) * 100 )+150 ;
      graphY[i] := round( ( a * sin (arg) / cos (arg) - b * sin (arg) ) * 100 )+150;
    end;
  GRAPH1 ( t1 , t2 ) ;
end;

```



**Concoida NICOMEDE**

**a=0.2, b=0.4**



**Melcul lui PASCAL**

**a=0.5, b=0.3**

```

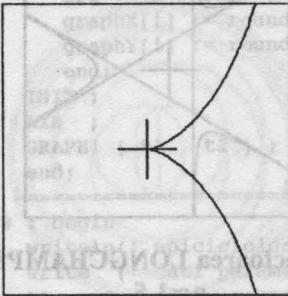
{ ===== melcul lui PASCAL ===== }
2 : begin
  writeln(' melcul lui PASCAL ');
  write (' dati parametri a , b = '); read ( a , b );
  t1 := round( -pi * 90 ); t2 := - t1;
  for i:= t1 to t2 do
    begin
      arg := i / 90.00 ;
      graphX[i] := round( ( 2 *(a * cos (arg) + b)*cos (arg) ) * 90 );
      graphY[i] := round( ( 2 *(a * cos (arg) + b)*sin (arg) ) * 90 );
      graphX[i] := graphX[i] + 150 ; graphY[i] := graphY[i] + 150 ;
    end;
  INIT ;

```

```

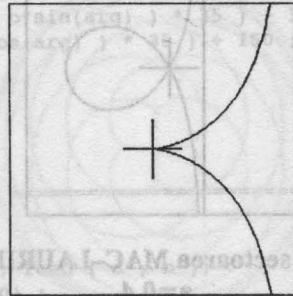
AXE ;
GRAPH1 ( t1 , t2 ) ;
end;
{ ===== cisoida lui DIOCLES ( cisoida cercului ===== }
3 : begin
  writeln(' cisoida lui DIOCLES ( cisoida cercului ');
  write ( ' dati parametrul a = ' ) ; read ( a ) ;
  t1 := round ( ( -pi / 2.0 ) * 90 ) ; t2 := - t1 ;
  for i:= t1 to t2 do
    begin
      arg := i / 90.0 ;
      graphX[i] := round ( ( 2*a*sin(arg) *sin(arg) ) * 90 ) + 150 ;
      graphY[i] := round ( ( 2*a*sin(arg)*sin(arg)*sin(arg) /cos(arg) )
        * .90 ) + 150 ;
    end;
  end;
INIT ;
AXE ;
GRAPH1 ( t1 , t2 ) ;
end;

```



Cisoida lui DIOCLES

a=1



Cisoida elipsei

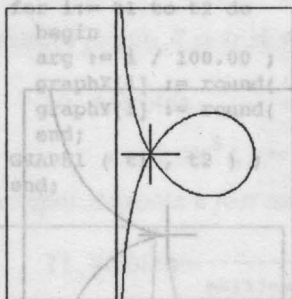
a=0.8, b=0.4

```

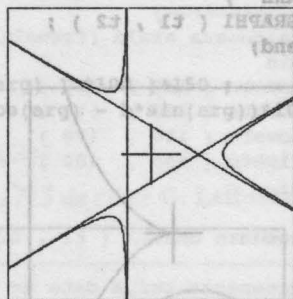
{ ===== cisoida elipsei ===== }
4 : begin
  writeln(' cisoida elipsei ');
  write ( ' dati parametri a , b = ' ) ; read ( a , b ) ;
  t1 := round ( ( - pi / 2.0 ) * 90 ) ; t2 := - t1 ;
  for i:= t1 to t2 do
    begin
      arg := i / 90.0 + 0.01 ;
      graphX[i] := round ( ( 2*a*a*a / ( a*a + b*b* sqr ( cos(arg) /
        sin(arg) ) ) ) * 90 ) + 150 ;
      graphY[i] := round ( ( 2*a*a*a / ( a*a * cos(arg) / sin(arg) +
        b*b * sqr ( cos(arg) / sin(arg) ) *
        ( cos(arg) / sin(arg) ) ) ) * 90 ) + 150 ;
    end;
  end;
INIT ;
AXE ;
GRAPH1 ( t1 , t2 ) ;
end;

```

```
{ ===== trisectoarea lui MAC - LAURIN ===== }
5 : begin
  writeln(' trisectoarea lui MAC - LAURIN ' ) ;
  write ( ' dati parametrul a = ' ) ; read ( a ) ;
  t1 := round ( ( - pi / 2.0 ) * 90 ) ; t2 := - t1 ;
  for i:= t1 to t2 do
    begin
      arg := i / 90.0 + 0.01 ;
      graphX[i] := round ( ( 4 * a * cos(arg) * cos(arg) - a ) * 90 ) + 150 ;
      graphY[i] := round ( ( ( 4 * a * cos(arg) * cos(arg) - a ) *
        sin(arg) / cos(arg) ) * 90 ) + 150 ;
    end ;
  INIT ;
  AXE ;
  GRAPH1 ( t1 , t2 ) ;
end ;
```



Trisectoarea MAC-LAURIN  
a=0.4

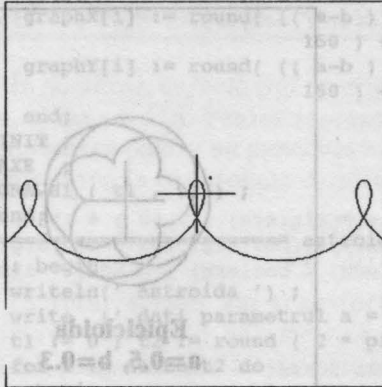


Trisectoarea LONGCHAMPS  
a=1.5

```
{ ===== trisectoarea lui LONGCHAMPS ===== }
6 : begin
  writeln(' trisectoarea lui LONGCHAMPS ' ) ;
  write ( ' dati parametrul a = ' ) ; read ( a ) ;
  t1 := round ( ( - pi / 2.0 ) * 50 ) ; t2 := - t1 ;
  for i := t1 to t2 do
    begin
      arg := i / 50.0 + 0.01 ;
      graphX[i] := round ( ( a / ( 4 * cos(arg) * cos(arg) - 3 ) ) * 50 ) + 150 ;
      graphY[i] := round ( ( ( a * sin(arg) / cos(arg) ) / ( 4 *
        cos(arg) * cos(arg) - 3 ) ) * 50 ) + 150 ;
    end ;
  INIT ;
  AXE ;
  GRAPH1 ( t1 , t2 ) ;
end ;

{ ===== cicloida ===== }
7 : begin
  writeln(' cicloida ' ) ;
  write ( ' dati parametri a , b = ' ) ; read ( a , b ) ;
  t1 := round ( ( - 2 * pi * 1.4 ) * 35 ) ; t2 := - t1 ;
```





**Cicloida**  
 $a=0.6, b=0.9$

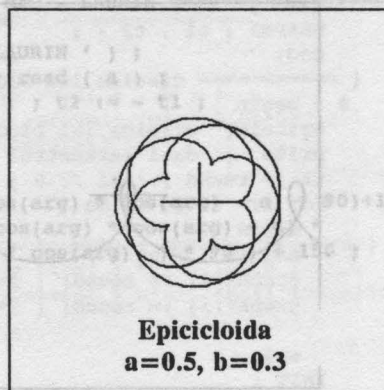
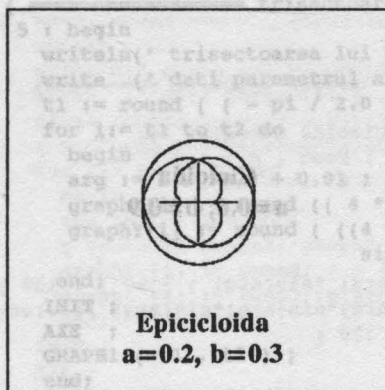
```

for i := t1 to t2 do
begin
  arg := i / 35.0 ;
  graphX[i] := round ( ( a * arg - b*sin(arg) ) * 35 ) + 150 ;
  graphY[i] := round ( ( a - b * cos(arg) ) * 35 ) + 150 ;
end;
INIT ;
AXE ;
GRAPH1 ( t1 , t2 ) ;
end;

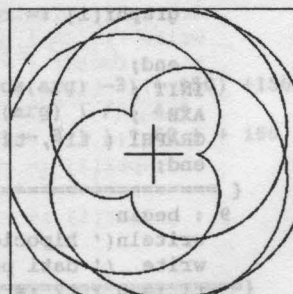
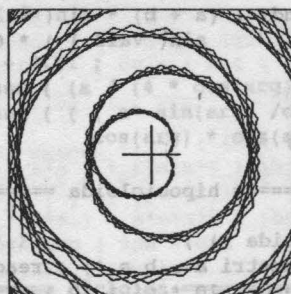
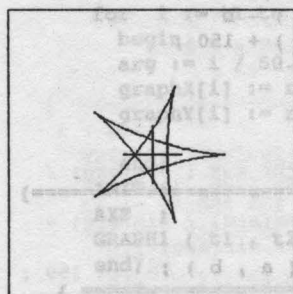
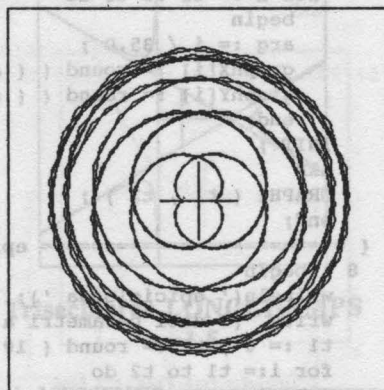
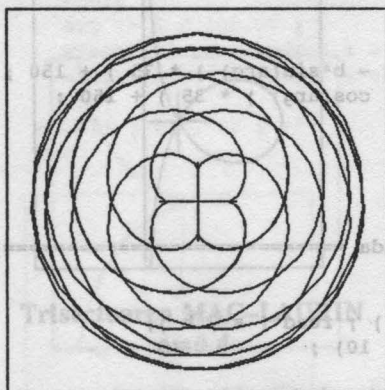
{ ===== epicycloida ===== }
8 : begin
  writeln(' epicycloida ');
  write ( ' dati parametri a , b =' ) ; read ( a , b ) ;
  t1 := 0 ; t2 := round ( 10 * pi * 10 ) ;
  for i:= t1 to t2 do
    begin
      arg := i / 10.00 ;
      val1 := b * arg / a ; val2 := arg + b * arg / a ;
      graphX[i] := round( ( ( a + b ) * cos( val1 ) - b *
        cos( val2 ) ) * 60 ) + 150 ;
      graphY[i] := round( ( ( a + b ) * sin( val1 ) - b *
        sin( val2 ) ) * 60 ) + 150 ;
    end;
  INIT ;
  AXE ;
  GRAPH1 ( t1 , t2 ) ;
end;

{ ===== hipocicloida ===== }
9 : begin
  writeln(' hipocicloida ' ) ;
  write ( ' dati parametri a , b = ' ) ; read ( a , b ) ;
  t1 := 0 ; t2 := round ( 10 * pi * 10 ) ;
  for i := t1 to t2 do
    begin
      arg := i / 10.00 ;
      val1 := b * arg / a ; val2 := arg - b * arg / a ;

```



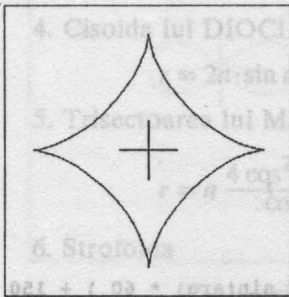
**Figuri ornamentale introduse de Dürer, 1525**



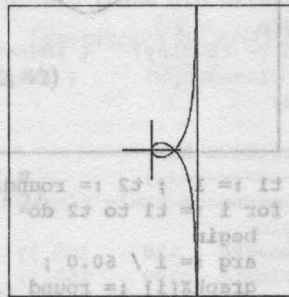
```

graphX[i] := round( (( a-b ) * cos( val1 ) + b * cos( val2 ) ) *
                    150 ) + 150 ;
graphY[i] := round( (( a-b ) * sin( val1 ) - b * sin( val2 ) ) *
                    150 ) + 150 ;
end;
INIT ;
AXE ;
GRAPH1 ( t1 , t2 ) ;
end;
{ ===== astroida ===== }
10 : begin
  writeln( ' astroida ' ) ;
  write ( ' dati parametrul a = ' ) ; read ( a ) ;
  t1 := 0 ; t2 := round ( 2 * pi * 10 ) ;
  for i := t1 to t2 do
    begin
      arg := i / 10.00 ;
      graphX[i] := round ( ( a * cos(arg) * cos(arg) * cos(arg) ) *
                          60 ) + 150 ;
      graphY[i] := round ( ( a * sin(arg) * sin(arg) * sin(arg) ) *
                          60 ) + 150 ;
    end;
  end;
INIT ;
AXE ;
GRAPH1 ( t1 , t2 ) ;
end;

```



**Astroida (G. Leibnitz, 1715)**  
a=2



**Strofoida**  
a=0.4

```

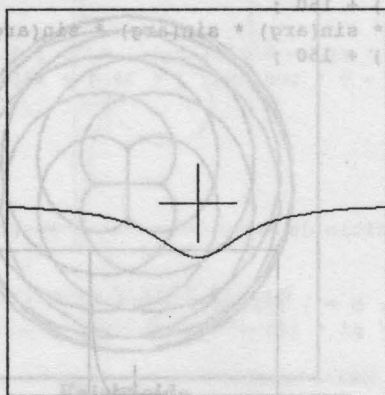
{ ===== strofoida ===== }
11 : begin
  writeln( ' strofoida ' ) ;
  write ( ' dati parametrul a = ' ) ; read ( a ) ;
  t1 := round ( ( - pi / 2 ) * 60 ) ; t2 := -t1 ;
  for i:= t1 to t2 do
    begin
      arg := i / 60.0 + 0.01 ;
      graphX[i] := round( ( a + a * sin(arg) ) * 60 ) + 150 ;
      graphY[i] := round( ( a*sin(arg)/cos(arg) + a * sin(arg) *

```

```

* (( (lav) soc * d + ( ilav) s sin(arg) / cos(arg) ) * 60 ) + 150 ;
end;
INIT ; a * d - ( ilav) aia * ( d-a ) ) banou := round( [1]vgraphY[i] := round(
AXE ;
GRAPH1 ( t1 , t2 ) ;
for i := t1 to t2 do
begin
arg := i / 60.0 + 0.01 ;
graphX[i] := round( ( a - a * sin(arg) ) * 60 ) + 150 ;
graphY[i] := round( ( a*sin(arg)/cos(arg) - a * sin(arg) *
sin(arg) / cos(arg) ) * 60 ) + 150 ;
end;
GRAPH1 ( t1 , t2 ) ;
end;
{ ===== bucla MARIA AGNESI =====}
12 : begin
writeln( ' bucla MARIA AGNESI ' ) ;
write ( ' dati parametrul a = ' ) ; read ( a ) ;

```



**Bucla MARIA AGNESI**  
**a=0.7**

```

t1 := 1 ; t2 := round( pi 60 ) - 1 ;
for i := t1 to t2 do
begin
arg := i / 60.0 ;
graphX[i] := round ( a * cos(arg) / sin(arg) * 60 ) + 150 ;
graphY[i] := round ( a * sin(arg) * sin(arg) * 60 ) + 150 ;
end;
INIT ;
AXE ;
GRAPH1 ( t1 , t2 ) ;
end;
STOP;
end.
{ ===== sfirsit program =====}

```



### 7.3. Curbe date de ecuații polare

În acest caz, curbele sînt exprimate de coordonatele polare  $(r, t)$ , unde  $t \in [a, b]$  iar  $r = f(t)$ . Pentru reprezentarea grafică a unei astfel de curbe, este necesar ca pentru un punct dat în coordonate polare  $(r, t)$  să se realizeze transformarea în coordonate carteziene. Această transformare este:

$$\begin{aligned}x &= f(t) \cos t \\y &= f(t) \sin t.\end{aligned}$$

În felul acesta am transformat problema pentru curbe plane exprimate cu ecuații parametrice. Vom prezenta în limbajul **TURBO PASCAL** programul **POLARE** care realizează reprezentarea grafică a unor curbe plane remarcabile, și anume:

#### 1. Lemniscata lui BERNOULLI

$$r = \pm a \sqrt{2 \cos 2t}, \quad t \in (-\pi/4, \pi/4)$$

#### 2. Concoida lui NICOMEDE

$$r = \frac{a}{\cos t} \pm b, \quad t \in \left(-\frac{\pi}{2}, \frac{\pi}{2}\right)$$

#### 3. Melcul lui PASCAL

$$r = 2a \cos t \pm 2b, \quad t \in [-\pi/2, \pi/2]$$

#### 4. Cisoida lui DIOCLES

$$r = 2a \cdot \sin t \cdot \operatorname{tg} t, \quad t \in (-\pi/2, \pi/2)$$

#### 5. Trisectoarea lui MAC-LAURIN

$$r = a \frac{4 \cos^2 t - 1}{\cos t}, \quad t \in \left(-\frac{\pi}{2}, \frac{\pi}{2}\right)$$

#### 6. Strofoida

$$r = a \frac{1 \pm \sin t}{\cos t}, \quad t \in \left(-\frac{\pi}{2}, \frac{\pi}{2}\right)$$

#### 7. Spirala logaritmică

$$r = a \cdot e^{1+t}, \quad t \in (0, \infty)$$

#### 8. Spirala hiperbolică

$$r = \frac{a}{t}, \quad t \in (0, \infty)$$

#### 9. Spirala lui ARHIMEDE

$$r = at, \quad t \in (0, \infty)$$

## Programul POLARE

```

=====
program POLARE; { autor: M. Vlada }
uses
  graph, crt;
var
  graphdriver, graphmode : integer;
  ch : char;
  graphX, graphY : array[-319..319] of integer;
  a, b, arg, val1, val2 : real;
  i, t1, t2, flag : integer;
=====
procedure INIT;
{-----}
begin
  graphdriver := Detect;
  initgraph ( graphdriver, graphmode, '' ); { init mod grafic }
  setviewport ( 320, 175, 500, 200, false ); { fixare origine }
  setbkcolor ( 1 ); { culoare fond = albastru }
  setcolor ( 14 ); { culoare desen = galben }
  rectangle ( -150, -150, 150, 150 ); { deseneaza un chenar }
  setviewport ( 170, 25, 470, 325, true ); { fixare fereastră }
end;

procedure STOP;
{-----}
{ iesire din modul grafic }
begin
  ch := readkey; { inghetare imagine }
  closegraph; { iesire mod grafic }
end;

procedure AXE;
{-----}
{ deseneaza axele (format mic) in origine }
begin
  moveto ( 120, 150 );
  lineto ( 180, 150 );
  moveto ( 150, 120 );
  lineto ( 150, 180 );
end;

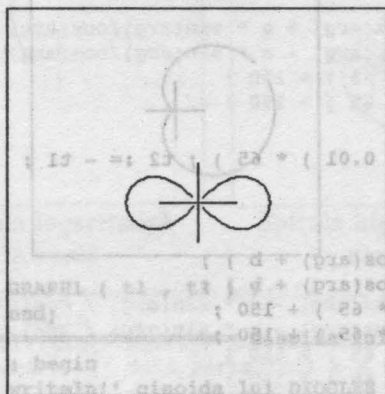
procedure GRAPH1 ( t1, t2 : integer );
{-----}
{ deseneaza curba data de ecuatie polara
  r = f ( t ) pe intervalul [t1, t2] }
var
  i : integer;
begin
  moveto ( graphX[t1], graphY[t1] ); { fara trasare }
  for i:= t1 + 1 to t2 do

```

```

lineto ( graphX [ i ] , graphY [ i ] );{ trasare }
end;for i:= t1 to t2 do
{-----}
begin { main } / 65.00 ;
writeln('*****CURBE PLANE REMARCABILE*****');
writeln('CURBE PLANE REMARCABILE ');
writeln('autor : M. Vlada ');
writeln('*****');
writeln(' 1 =lemniscata BERNOULLI      2 =concoida NICOMEDE ');
writeln(' 3 =melcul lui PASCAL          4 =cisoida lui DIOCLES ');
writeln(' 5 =trisectoarea MAC-LAURIN    6 =strofoida ');
writeln(' 7 =spirala logaritmică        8 =spirala hiperbolica ');
writeln(' 9 =spirala lui ARHIMEDE ');
writeln(' ( centrul ecranului = originea sistemului cartezian );');
writeln('*****');
write(' precizitati numarul de ordine pentru curba dorita : ');
read ( flag ) ;
case flag of
{ ===== lemniscata BERNOULLI =====}
1 : begin
writeln(' lemniscata BERNOULLI ');
write ( ' dati parametrul a = '); read( a ) ;

```



**Lemniscata BERNOULLI**  
**a=0.8**

```

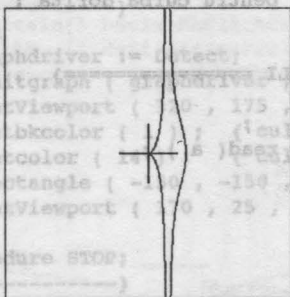
t1 := round( (- pi / 4.0)*50) ; t2 := round( (pi / 4.0)*50);
{ factorul 65 reprezinta scalarea imaginii }
for i:= t1 to t2 do
begin
arg := i / 50.00 ;
{ vectorii graphX, graphY retin coordonatele pentru desinare }
val1 := cos(arg) * a * sqrt( 2.0 * cos( 2.0 * arg) );
val2 := sin(arg) * a * sqrt( 2.0 * cos( 2.0 * arg) );
graphX [ i ] := round( val1 * 50 ) + 150 ;
graphY [ i ] := round( val2 * 50 ) + 150 ;
end;
INIT ;
AXE ;
GRAPH1 ( t1 , t2 );
t1 := round ( ( 3.0 * pi / 4.0 ) * 50 );

```

```

t2 := round ( ( 5.0 * pi / 4.0 ) * 50 ) ;
for i:= t1 to t2 do
begin
arg := i / 50.00 ;
val1 := cos(arg) * a * sqrt( 2.0 * cos( 2.0 * arg ) ) ;
val2 := sin(arg) * a * sqrt( 2.0 * cos( 2.0 * arg ) ) ;
graphX[i] := round ( val1 * 50 ) + 150 ;
graphY[i] := round ( val2 * 50 ) + 150 ;
end;
GRAPH1( t1 , t2 ) ;
end;
{ ===== concoida NICOMEDE ===== }
2 : begin
writeln( ' concoida lui NICOMEDE ' ) ;
write ( ' dati parametri a , b = ' ) ; read ( a , b ) ;
begin
graphdriver := detect ;
initgraph ( gdriver , gmode , 175 , 500 , false , false ) ;
setbkcolor ( 15 ) ;
setcolor ( 15 ) ;
rectangle ( -150 , -150 , 150 , 150 ) ;
setviewport ( 10 , 25 , 470 , 325 , true ) ; { fixare fereastra }
end;
procedure STOP ;
{ lasare din modul grafic }
t1 := round ( ( - pi / 2.0 + 0.01 ) * 65 ) ; t2 := - t1 ;
for i:= t1 to t2 do
begin
arg := i / 65 ;
val1 := cos(arg) * ( a / cos(arg) + b ) ;
val2 := sin(arg) * ( a / cos(arg) + b ) ;
graphX[i] := round ( val1 * 65 ) + 150 ;
graphY[i] := round ( val2 * 65 ) + 150 ;
end;
INIT ; ( 170 , 150 ) ;
AXE ; ( 150 , 150 ) ;
GRAPH1( t1 , t2 ) ;
for i:= t1 to t2 do
begin
arg := i / 65.00 ;
val1 := cos(arg) * ( a / cos(arg) - b ) ;
val2 := sin(arg) * ( a / cos(arg) - b ) ;
graphX[i] := round ( val1 * 65 ) + 150 ;
graphY[i] := round ( val2 * 65 ) + 150 ;
end;
GRAPH1( t1 , t2 ) ;
end;
{ ===== melcul lui PASCAL ===== }
3 : begin
writeln( ' melcul lui PASCAL ' ) ;
write ( ' dat parametri a , b = ' ) ; read ( a , b ) ;

```



**Concoida lui NICOMEDE**  
**a=b=0.3**

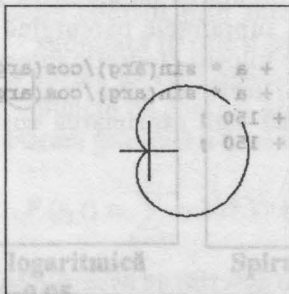




```

end;
t1 := round ( ( - pi / 2.0 ) * 65 ) ; t2 := - t1 ;
for i:= t1 to t2 do
begin
arg := i / 65.00 ;
val1 := cos(arg) * ( 2 * a * cos(arg) + 2 * b ) ;
val2 := sin(arg) * ( 2 * a * cos(arg) + 2 * b ) ;
graphX[i] := round ( val1 * 65 ) + 150 ;
graphY[i] := round ( val2 * 65 ) + 150 ;
end;
INIT ;
AXE ;
GRAPH1 ( t1 , t2 ) ;
for i:= t1 to t2 do
begin
arg := i / 65.00 ;
val1 := cos(arg) * ( 2 * a * cos(arg) - 2 * b ) ;
val2 := sin(arg) * ( 2 * a * cos(arg) - 2 * b ) ;
graphX[i] := round ( val1 * 65 ) + 150 ;
graphY[i] := round ( val2 * 65 ) + 150 ;
end;

```



Melcul lui PASCAL (cardioida)  
 $a=b=0.4$

```

GRAPH1 ( t1 , t2 ) ;
end;
{===== cisoida lui DIOCLES =====}
4 : begin
writeln(' cisoida lui DIOCLES ' ) ;
write ( ' dati parametrul a = ' ) ; read ( a ) ;
t1 := round ( ( - pi / 2 ) * 65 ) ; t2 := - t1 ;
for i:= t1 to t2 do
begin
arg := i / 65.00 ;
val1 := cos(arg) * ( 2 * a * sin(arg) * sin(arg) / cos(arg) ) ;
val2 := sin(arg) * ( 2 * a * sin(arg) * sin(arg) / cos(arg) ) ;
graphX[i] := round( val1 * 65 ) + 150 ;
graphY[i] := round( val2 * 65 ) + 150 ;
end;
INIT ;
AXE ;
GRAPH1 ( t1 , t2 ) ;
end;
{===== trisectoarea MAC - LAURIN =====}
5 : begin

```

```

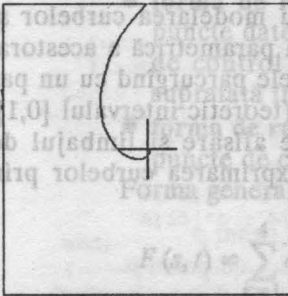
writeln(' trisectoarea MAC - LAURIN ' ) ;
write ( ' dati parametrul a = ' ) ; read ( a ) ;
t1 := round ( ( - pi / 2 ) * 65 ) ; t2 := - t1 ;
for i := t1 to t2 do
begin
arg := i / 65.00 ;
vall1 := cos(arg) * ( a * ( 4*cos(arg) - 1/cos(arg) ) ) ;
val2 := sin(arg) * ( a * ( 4*cos(arg) - 1/cos(arg) ) ) ;
graphX[i] := round ( vall1 * 65 ) + 150 ;
graphY[i] := round ( val2 * 65 ) + 150 ;
end;
INIT ;
AXE ;
GRAPH1 ( t1 , t2 ) ;
end;
}===== strofoida =====}
6 : begin ;
writeln(' strofoida ' ) ;
write ( ' dati parametrul a = ' ) ; read ( a ) ;
t1 := round( ( - pi / 2 ) * 65 ) ; t2 := - t1 ;
for i:= t1 to t2 do
begin
arg := i / 65.00 ;
vall1 := cos(arg) * ( a / cos(arg) + a * sin(arg)/cos(arg) ) ;
val2 := sin(arg) * ( a / cos(arg) + a * sin(arg)/cos(arg) ) ;
graphX[i] := round ( vall1 * 65 ) + 150 ;
graphY[i] := round ( val2 * 65 ) + 150 ;
end;
INIT ;
AXE ;
GRAPH1 ( t1 , t2 ) ;
for i:= t1 to t2 do
begin
arg := i / 65.00 ;
vall1 := cos ( arg ) * ( a / cos(arg) - a * sin(arg) / cos(arg) ) ;
val2 := sin ( arg ) * ( a / cos(arg) - a * sin(arg) / cos(arg) ) ;
graphX[i] := round ( vall1 * 65 ) + 150 ;
graphY[i] := round ( val2 * 65 ) + 150 ;
end;
GRAPH1 ( t1 , t2 ) ;
end;
}===== spirala logaritmica =====}
7 : begin
writeln(' spirala logaritmica ' ) ;
write ( ' dati parametrul a = ' ) ; read ( a ) ;
t1 := 1 ; t2 := 15 * 10 ;
for i:= t1 to t2 do
begin
arg := i / 10.00 ;
vall1 := cos(arg) * a * exp ( 1.00 + arg ) ;
val2 := sin(arg) * a * exp ( 1.00 + arg ) ;
graphX[i] := round ( vall1 * 10 ) + 150 ;
graphY[i] := round ( val2 * 10 ) + 150 ;
end;

```

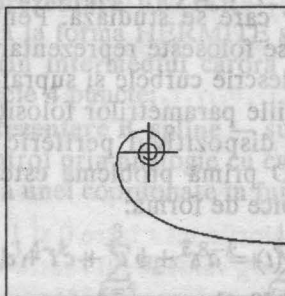
```

end;
INIT ; AXE ; GRAPH1 ( t1 , t2 ) ;
end;
{===== spirala hiperbolica =====}
8 : begin
  writeln( ' spirala hiperbolica ' ) ;
  write ( ' dati parametrul a = ' ) ; read ( a ) ;
  t1 := 1 ; t2 := 15 * 10 ;
  for i := t1 to t2 do
    begin
      arg := i / 10.00 ;
      vall := cos(arg) * a / arg ; val2 := sin(arg) * a / arg ;
      graphX[i] := round ( vall * 10 ) + 150 ;
      graphY[i] := round ( val2 * 10 ) + 150 ;
    end;
  INIT ;
  AXE ;
  GRAPH1 ( t1 , t2 ) ;
end;

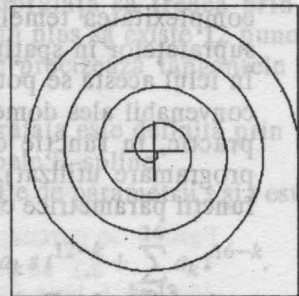
```



**Spirala logaritmică**  
**a=0.05**



**Spirala hiperbolică**  
**a=7**



**Spirala lui ARHIMEDE**  
**a=0.6**

```

{===== spirala lui ARHIMEDE =====}
9 : begin
  writeln( ' spirala lui ARHIMEDE ' ) ;
  write ( ' dati parametrul a = ' ) ; read ( a ) ;
  t1 := 1 ; t2 := 25 * 10 ;
  for i := t1 to t2 do
    begin
      arg := i / 10.00 ;
      vall := cos(arg) * a * arg ; val2 := sin(arg) * a * arg ;
      graphX[i] := round ( vall * 10 ) + 150 ;
      graphY[i] := round ( val2 * 10 ) + 150 ;
    end;
  INIT ;
  AXE ;
  GRAPH1 ( t1 , t2 ) ;
end;
STOP;
end.
{===== sfirsit program =====}

```

## 7.4. Curbe și suprafețe în spațiu

În domeniul aplicațiilor grafice pe calculator, o importanță deosebită o are modelarea corpurilor în spațiu, precum și studiul imaginilor provenite din analiza unor procese. Reprezentarea imaginilor pe ecranul unui dispozitiv grafic se face în mai multe moduri astfel încât aceasta să fie cât mai sugestivă:

- reprezentări prin puncte (reprezentări prin secțiuni transversale)
- reprezentări tip „wire-frame” („cadru de sîrmă”)
- reprezentarea prin rețea de poligoane (reprezentarea poliedrală)

Toate aceste reprezentări ridică fiecare probleme specifice, în literatura de specialitate acestea fiind tratate cu mare atenție în funcție de aplicațiile grafice în care se întîlnesc.

Curbele și suprafețele în spațiu sînt mai dificil de reprezentat, dar necesitatea lor în aplicațiile grafice este evidentă dacă se ține seama de complexitatea temelor care se studiază. Pentru modelarea curbelor și suprafețelor în spațiu se folosește reprezentarea parametrică a acestora. În felul acesta se pot descrie curbele și suprafețele parcurgînd cu un pas convenabil ales domeniile parametrilor folosiți (teoretic intervalul  $[0,1]$ , practic, în funcție de dispozitivul periferic de afișare și limbajul de programare utilizat). O primă problemă este exprimarea curbelor prin funcții parametric cubice de forma:

$$F(t) = at^3 + bt^2 + ct + d,$$

unde  $a, b, c, d \in \mathbb{R}$  și  $t \in [0, 1]$ .

În felul acesta o curbă în spațiu este descrisă de ecuațiile parametrice:

$$\begin{aligned} x &= x(t) \\ y &= y(t) \\ z &= z(t) \end{aligned}$$

unde  $x(t)$ ,  $y(t)$ ,  $z(t)$  sînt funcții parametrice cubice care se obțin din expresia lui  $F$  prin înlocuirea parametrilor  $a, b, c, d$  cu coeficienții corespunzători. Pentru reprezentarea imaginii curbei pe ecran există mai multe modalități:

- **forma de reprezentare HERMITE** — capetele curbei să coincidă cu două puncte date și tangentele la capetele curbei să coincidă cu două direcții date;
- **forma de reprezentare BÉZIER** — capetele curbei să coincidă cu două puncte date și tangentele la capetele curbei să coincidă cu două direcții determinate de capetele curbei și două puncte de control alese corespunzător;
- **forma de reprezentare B-spline** — se folosește o mulțime de puncte de control.



Pentru reprezentarea suprafețelor în spațiu vom folosi două familii de curbe cubice corespunzătoare celor două direcții într-un plan  $xOy$ . Prin urmare, ecuația suprafeței trebuie să se exprime în funcție de doi parametri  $s$  și  $t$ , adică:

$$\begin{aligned} x &= x(t, s) \\ y &= y(t, s) \\ z &= z(t, s), \quad \text{unde } s, t \in [0, 1]. \end{aligned}$$

Aceste relații sînt ecuațiile unei suprafețe **bicubice**. Pentru reprezentarea imaginii suprafeței pe ecran există și în acest caz trei modalități:

- **forma de reprezentare HERMITE** — suprafața să treacă prin patru puncte din spațiu, corespunzătoare valorilor extreme 0 și 1 pentru parametrii  $s$  și  $t$  (acestea se notează cu  $P_{00}, P_{01}, P_{10}, P_{11}$ ) și să aibă trei tangente la suprafață date în fiecare din aceste puncte;
- **forma de reprezentare BÉZIER** — suprafața să treacă prin 4 puncte date ca la forma HERMITE și în plus să existe 12 puncte de control prin intermediul cărora se precizează tangentele la suprafață în cele 4 puncte;
- **forma de reprezentare B-spline** — suprafața este definită prin 16 puncte de control prin analogie cu curbele B-spline.

Forma generală a unei coordonate în funcție de parametrii  $s$  și  $t$  este:

$$F(s, t) = \sum_{k=1}^4 a_k s^3 t^{4-k} + \sum_{k=5}^8 a_k s^2 t^{8-k} + \sum_{k=9}^{12} a_k s t^{12-k} + \sum_{k=13}^{16} a_k t^{16-k}.$$

În continuare, vom prezenta elementele necesare pentru reprezentarea suprafețelor sub formă HERMITE prin intermediul unui algoritm implementat ulterior într-un program scris în limbajul TURBO PASCAL pentru microcalculatoare compatibile IBM-PC.

Fie  $P_{ij}, i, j \in \{0, 1\}$  cele 4 puncte de control corespunzătoare valorilor extreme 0 și 1 ale parametrilor  $s$  și  $t$  prin care trebuie să treacă suprafața, adică  $P_{ij}(x_{ij}, y_{ij}, z_{ij})$ ,  $i, j \in \{0, 1\}$  sînt puncte cu coordonatele precizate ca date de intrare.

Vom nota prin  $\frac{\partial F}{\partial s}, \frac{\partial F}{\partial t}, \frac{\partial^2 F}{\partial s \partial t}$  derivatele de ordinul 1 și 2 pentru funcția  $F$ .

Fie

$$T_{sij} = \left( \frac{\partial x}{\partial s} \Big|_{(i,j)}, \frac{\partial y}{\partial s} \Big|_{(i,j)}, \frac{\partial z}{\partial s} \Big|_{(i,j)} \right), \quad i, j \in \{0, 1\}$$

$$T_{tij} = \left( \frac{\partial x}{\partial t} \Big|_{(i,j)}, \frac{\partial y}{\partial t} \Big|_{(i,j)}, \frac{\partial z}{\partial t} \Big|_{(i,j)} \right), \quad i, j \in \{0, 1\}$$

$$T_{sij} = \left( \frac{\partial^2 x}{\partial s \partial t} \bigg|_{(i,j)}, \frac{\partial^2 y}{\partial s \partial t} \bigg|_{(i,j)}, \frac{\partial^2 z}{\partial s \partial t} \bigg|_{(i,j)} \right), \quad i, j \in \{0, 1\}$$

parametrii tangentelor în cele 4 puncte de control, unde  $x(s, t)$ ,  $y(s, t)$ ,  $z(s, t)$  sînt funcții de forma  $F$ .

Generarea imaginii suprafeței se face cu ajutorul următorului algoritm:

### Algoritm pentru generarea unei suprafețe HERMITE

Pasul 1: se citește pasul de parcurgere  $p$ .

Pasul 2: se citește unghiul axei  $Oz$  cu axa  $Ox$ ,  $\varphi$ .

Pasul 3: se citește raza  $r$ ;  
se citesc coordonatele celor 4 puncte de control:

$$(x_{ij}, y_{ij}, z_{ij}), \quad i, j \in \{0, 1\}$$

Pasul 4: se citesc parametrii tangentelor la suprafață:

$$(a_{sij}, b_{sij}, c_{sij}), \quad i, j \in \{0, 1\}$$

$$(a_{tij}, b_{tij}, c_{tij}), \quad i, j \in \{0, 1\}$$

$$(a_{stij}, b_{stij}, c_{stij}), \quad i, j \in \{0, 1\}.$$

Pasul 5: se parcurg valorile lui  $s$  între 0 și 1 cu pasul  $p$

5.1 se parcurg valorile lui  $t$  între 0 și 1 cu pasul  $p$

5.1.1. se calculează coordonatele  $x(s, t)$ ,  $y(s, t)$ ,  $z(s, t)$

5.1.2. se calculează proiecția punctului  $(x, y, z)$

5.1.3. se calculează coordonatele punctului imagine

5.2. se trece la următorul  $t$

5.3. se trece la următorul  $s$ .

Pasul 6: se trasează cele două familii de curbe.

Pasul 7: stop ■

### Programul SUPRAFEȚE

```

=====
program SUPRAFEȚE;
{ reprezentarea suprafețelor în spațiu }
{ autori : M. VLADA , M. POPOVICI }
uses
  graph , crt ;
type
  vect = array[1..16] of real ;
  mat = array[0..50,0..50] of real;
const

```

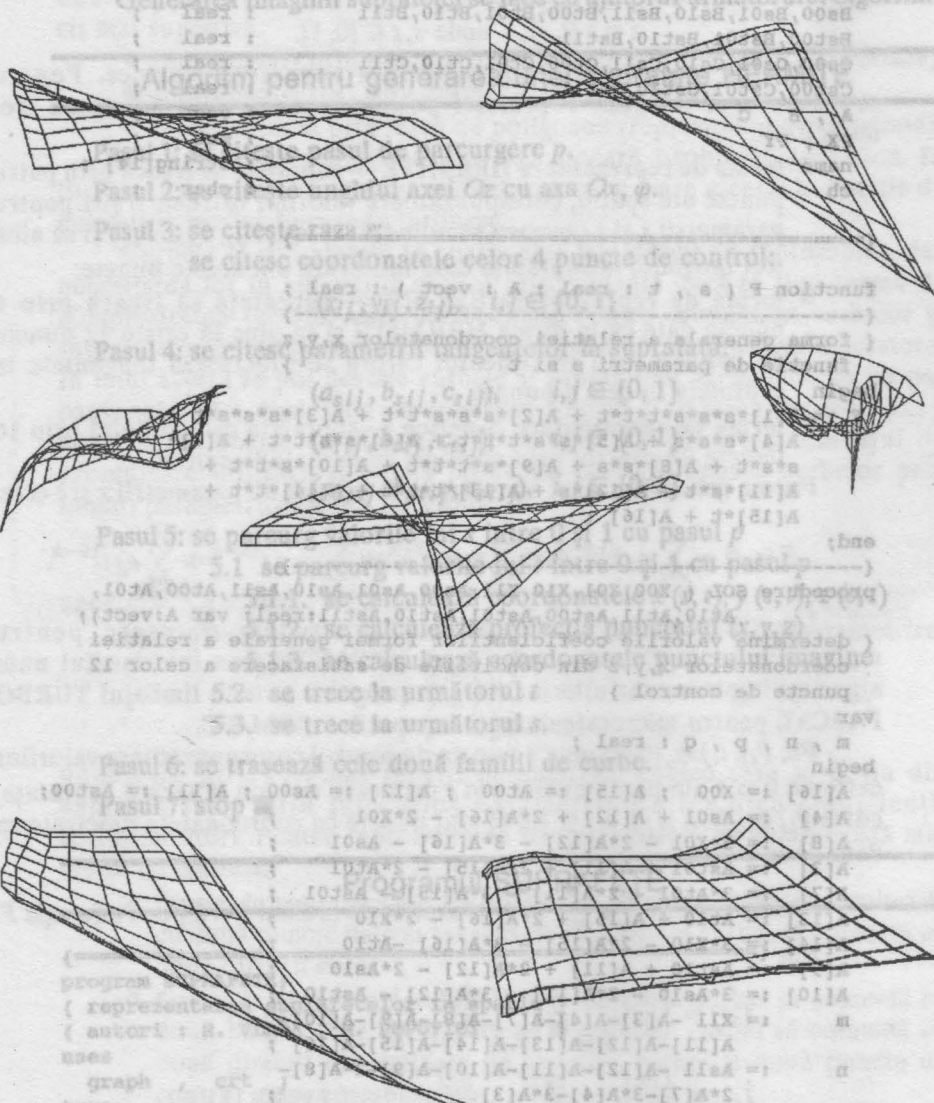
```

solid : fillpatterntype = ($FF, $FF, $FF, $FF, $FF, $FF, $FF, $FF);
var
  graphdriver , graphmode                : integer;
  s , t , i , j , sc                     : integer;
  x , y , z , p , fi , r , h , g         : real ;
  X00,X01,X10,X11,Y00,Y01,Y10,Y11,Z00,Z01,Z10,Z11: real ;
  As00,As01,As10,As11,At00,At01,At10,At11 : real ;
  Ast00,Ast01,Ast10,Ast11                : real ;
  Bs00,Bs01,Bs10,Bs11,Bt00,Bt01,Bt10,Bt11 : real ;
  Bst00,Bst01,Bst10,Bst11                : real ;
  Cs00,Cs01,Cs10,Cs11,Ct00,Ct01,Ct10,Ct11 : real ;
  Cst00,Cst01,Cst10,Cst11                : real ;
  A , B , C                              : vect ;
  PX , PY                                : mat ;
  name                                    : string[14] ;
  ch                                      : char ;

{-----}
write( ' Nume fisier intrare : ' );
function F ( s , t : real ; A : vect ) : real ;
{-----}
{ forma generala a relatiei coordonatelor x,y,z
  functie de parametri s si t
}
begin
  F := A[1]*s*s*s*t*t*t + A[2]*s*s*s*t*t + A[3]*s*s*s*t +
      A[4]*s*s*s + A[5]*s*s*t*t*t + A[6]*s*s*t*t + A[7]*
      s*s*t + A[8]*s*s + A[9]*s*t*t*t + A[10]*s*t*t +
      A[11]*s*t + A[12]*s + A[13]*t*t*t + A[14]*t*t +
      A[15]*t + A[16] ;
end;
{-----}
procedure SOL ( X00,X01,X10,X11,As00,As01,As10,As11,At00,At01,
  At10,At11,Ast00,Ast01,Ast10,Ast11:real; var A:vect);
{ determina valorile coeficientilor formei generale a relatiei
  coordonatelor x,y,z din conditiile de satisfacere a celor 12
  puncte de control }
var
  m , n , p , q : real ;
begin
  A[16] := X00 ; A[15] := At00 ; A[12] := As00 ; A[11] := Ast00;
  A[4] := As01 + A[12] + 2*A[16] - 2*X01 ;
  A[8] := 3*X01 - 2*A[12] - 3*A[16] - As01 ;
  A[3] := Ast01 + A[11] + 2*A[15] - 2*At01 ;
  A[7] := 3*At01 - 2*A[11] - 3*A[15] - Ast01 ;
  A[13] := At10 + A[15] + 2*A[16] - 2*X10 ;
  A[14] := 3*X10 - 2*A[15] - 3*A[16] - At10 ;
  A[9] := Ast10 + A[11] + 2*A[12] - 2*As10 ;
  A[10] := 3*As10 - 2*A[11] - 3*A[12] - Ast10 ;
  m := X11 - A[3] - A[4] - A[7] - A[8] - A[9] - A[10] -
      A[11] - A[12] - A[13] - A[14] - A[15] - A[16] ;
  n := As11 - A[12] - A[11] - A[10] - A[9] - 2*A[8] -
      2*A[7] - 3*A[4] - 3*A[3] ;
  p := At11 - A[15] - A[11] - 2*A[14] - 2*A[10] -

```

# Exemple de suprafețe





```

3*A[13]-3*A[9]-A[7]-A[3]
q := Ast11-A[11]-2*A[10]-2*A[7];
3*A[9]-3*A[3];
A[5] := 3*p - q - 6*m + 2*n;
A[6] := 9*m - 3*(n+p);
A[1] := q - 2*(n+p) + 4*m;
A[2] := 3*n + 2*p - q - 6*m;
end;
begin { main }
writeln('*****');
writeln(' reprezentarea suprafetelor in spatiu ');
writeln(' autori : M. VLADA , M. POPOVICI ');
writeln('*****');
write ('Datele se citesc dintr-un fisier ? ( D , N ) ');
readln(ch);
if (ch = 'D') then
begin
write(' Nume fisier intrare : ');
read(name);
assign(input, name);
reset(input);
readln(p, fi, r);
readln(X00, X01, X10, X11); { coordonatele }
readln(Y00, Y01, Y10, Y11); { x,y,z pentru }
readln(Z00, Z01, Z10, Z11); { punctele de }
{ parametrii tangentelor la suprafata }
readln(As00,As01,As10,As11,At00,At01,At10,At11);
readln(Ast00,Ast01,Ast10,Ast11); { pentru x }
readln(Bs00,Bs01,Bs10,Bs11,Bt00,Bt01,Bt10,Bt11);
readln(Bst00,Bst01,Bst10,Bst11); { pentru y }
readln(Cs00,Cs01,Cs10,Cs11,Ct00,Ct01,Ct10,Ct11);
readln(Cst00,Cst01,Cst10,Cst11); { pentru z }
end
else
begin
write(' dati pasul p = '); read(p);
write(' unghiul axei OZ cu OX (0..90); fi = ');
read(fi);
write(' dati raza r = '); read(r);
writeln(' COORDONATELE PUNCTELOR DE CONTROL ');
writeln(' - coordonata x ');
write(' X00,X01,X10,X11 = '); read(X00,X01,X10,X11);
writeln(' - coordonata y ');
write(' Y00,Y01,Y10,Y11 = '); read(Y00,Y01,Y10,Y11);
writeln(' - coordonata z ');
write(' Z00,Z01,Z10,Z11 = '); read(Z00,Z01,Z10,Z11);
writeln(' PARAMETRI TANGENTELOR IN PUNCTELE DE CONTROL ');
writeln(' - coordonata x ');
writeln(' As00,As01,As10,As11,At00,At01,At10,At11, ',
'Ast00,Ast01,Ast10,Ast11 = ');
read(As00,As01,As10,As11,At00,At01,At10,At11,

```

$$y(t) = \frac{a}{2} (2 \cos t - \sin 2t), \quad t \in [0, 2\pi]$$

```

        Ast00,Ast01,Ast10,Ast11);
writeln(' - coordonata y ');
writeln(' Bs00,Bs01,Bs10,Bs11,Bt00,Bt01,Bt10,Bt11,',
        'Bst00,Bst01,Bst10,Bst11 = ');
read(Bs00,Bs01,Bs10,Bs11,Bt00,Bt01,Bt10,Bt11,
        Bst00,Bst01,Bst10,Bst11);
writeln(' - coordonata z ');
writeln(' Cs00,Cs01,Cs10,Cs11,Ct00,Ct01,Ct10,Ct11,',
        'Cst00,Cst01,Cst10,Cst11 = ');
read(Cs00,Cs01,Cs10,Cs11,Ct00,Ct01,Ct10,Ct11,
        Cst00,Cst01,Cst10,Cst11);
{ scrierea datelor in fisier }
readln;
write(' Doriti memorarea datelor in fisier ?( D,N):');
readln(ch);
if ch = 'D' then
begin
write(' Nume fisier iesire : ');
read(name);
assign ( output, name);
rewrite ( output);
writeln(p , fi , r );
writeln(X00,X01,X10,X11);
writeln(Y00,Y01,Y10,Y11);
writeln(Z00,Z01,Z10,Z11);
writeln(As00,As01,As10,As11,At00,At01,At10,At11);
writeln(Ast00,Ast01,Ast10,Ast11);
writeln(Bs00,Bs01,Bs10,Bs11,Bt00,Bt01,Bt10,Bt11);
writeln(Bst00,Bst01,Bst10,Bst11);
writeln(Cs00,Cs01,Cs10,Cs11,Ct00,Ct01,Ct10,Ct11);
writeln(Cst00,Cst01,Cst10,Cst11);
end;
end;
{ calculul parametrilor formei generale pentru expresia
  coordonatelor functie de parametri s si t }
SOL ( X00,X01,X10,X11,As00,As01,As10,As11,At00,At01,
        At10,At11,Ast00,Ast01,Ast10,Ast11, A );
SOL ( Y00,Y01,Y10,Y11,Bs00,Bs01,Bs10,Bs11,Bt00,Bt01,
        Bt10,Bt11,Bst00,Bst01,Bst10,Bst11, B );
SOL ( Z00,Z01,Z10,Z11,Cs00,Cs01,Cs10,Cs11,Ct00,Ct01,
        Ct10,Ct11,Cst00,Cst01,Cst10,Cst11, C );
h := cos ( fi ); g := sin ( fi );
{ generarea retelei conform variatiei parametrilor s si t }
i := 0;
for s := 0 to round ( p * 100 ) do
begin
j := 0;
for t := 0 to round ( p * 100 ) do
begin
x := F ( s/10.00 , t/10.00 , A );
y := F ( s/10.00 , t/10.00 , B );
z := F ( s/10.00 , t/10.00 , C );
PX [ i,j ] := x + z * h * r;

```

```

PY [ i,j ] := y + z * g * r ;
j := j + 1 ;
end;
i := i + 1 ;
end;
{ reprezentarea grafica a suprafetei }
graphdriver := Detect ;
initgraph ( graphdriver, graphmode, ' ' ) ; { init mod grafic }
setfillpattern(solid,15);
bar(0,0,700,500) ;
SETCOLOR(0) ;
setviewport ( 60,30, 500 , 200 , false); { originea
{ setbkcolor ( 1 ) ; culoare_fond = albastru }
{ setcolor ( 14 ) ; culoare_desen = galben }
sc := 5 ;
for i := 0 to round ( p * 100 ) do
  for j:= 0 to round ( p * 100 ) - 1 do
    begin
      moveto ( round( PX[i,j] ) * sc , round ( PY[i,j] ) * sc);
      lineto ( round( PX[i,j+1]) * sc , round ( PY[i,j+1]) * sc ) ;
    end;
  for j := 0 to round( p * 100 ) do
    for i:= 0 to round ( p * 100 ) - 1 do
      begin
        moveto ( round( PX[i,j] ) * sc , round( PY[i,j] ) * sc ) ;
        lineto ( round( PX[i+1,j]) * sc , round( PY[i+1,j]) * sc );
      end;
    end;
  ch := readkey;
  closegraph;
end.
} ===== sfirsit program =====

```

## 7.5. Probleme propuse

- 1) Să se reprezinte grafic funcțiile date de următoarele ecuații:

- $f(x) = x \cos \frac{1}{x}$ ,  $x \in [-10, 10] \setminus \{0\}$
- $f(x) = \begin{cases} 0, & \text{pentru } x = 0 \\ x^p \sin \frac{1}{x}, & \text{pentru } x \in [-10, 10], x \neq 0, \text{ unde } p \in \mathbb{N} \text{ este fixat} \end{cases}$
- $f(x) = x^{\frac{1}{2}}$ ,  $x \in (0, 100)$ .

- 2) Să se reprezinte grafic curbele date de următoarele ecuații parametrice:

- $x(t) = \frac{a}{1 + a^2 t}$   
 $y(t) = \frac{a^2 t}{(1 + a^2 t^2)^{\frac{3}{2}}}$ ,  $t \in \mathbb{R}$
- $x(t) = \frac{a}{3}(2 \cos t + \cos 2t)$   
 $y(t) = \frac{a}{3}(2 \cos t - \sin 2t)$ ,  $t \in [0, 2\pi]$

$$\bullet x(t) = \frac{2t(3t^2 - 4)}{1 + t^2}$$

$$y(t) = \frac{2t^2(3t^2 - 4)}{1 + t^2}, t \in \mathbb{R}$$

- 3) Să se reprezinte grafic curbele date de următoarele ecuații polare:

$$\bullet r = a \cos \frac{3t}{4}, t \in [-2\pi, 2\pi]$$

$$\bullet r = a \sin t, t \in (0, 2\pi), a \in \mathbb{R}$$

$$\bullet r = \sin(nr) \cdot \cos(nr), t \in [0, 2\pi], n \in \mathbb{N}$$

- 4) Să se reprezinte „Clopotul lui GAUSS” exprimat de funcția de două variabile:

$$f(x, y) = \frac{1}{\sqrt{2\pi}} e^{-\frac{1}{2}(x^2 + y^2)}.$$

## 7.6. Bibliografie

- [1] M. VLADA, A. POSEA

*Grafica automată în limbajul FORTRAN 77 și aplicații*, Tipografia Universității din București, 1990.

- [2] L. NICOLESCU

*Curs de geometrie*, Tipografia Universității din București, 1989.

- [3] D. SMARANDA

*Elemente de teoria curbelor și suprafețelor*, Tipografia Universității din București, 1984.

- [4] C. UDRIȘTE

*Curbe și suprafețe*, Tipografia Institutului Politehnic București, 1974.

- [5] C. UDRIȘTE, C. RADU, C. DICU, O. MALANCIOIU

*Probleme de algebră, geometrie și ecuații diferențiale*, Editura Didactică și Pedagogică, București, 1981.

- [6] S. SBURLAN

*Principiile fundamentale ale matematicii moderne. Lecții de analiză matematică*, Editura Academiei Române, 1991.

- [7] T. POSTON, I. STEWART

*Teoria catastrofelor și aplicații*, Editura Tehnică, București, 1985.

- [8] D. DOGARU

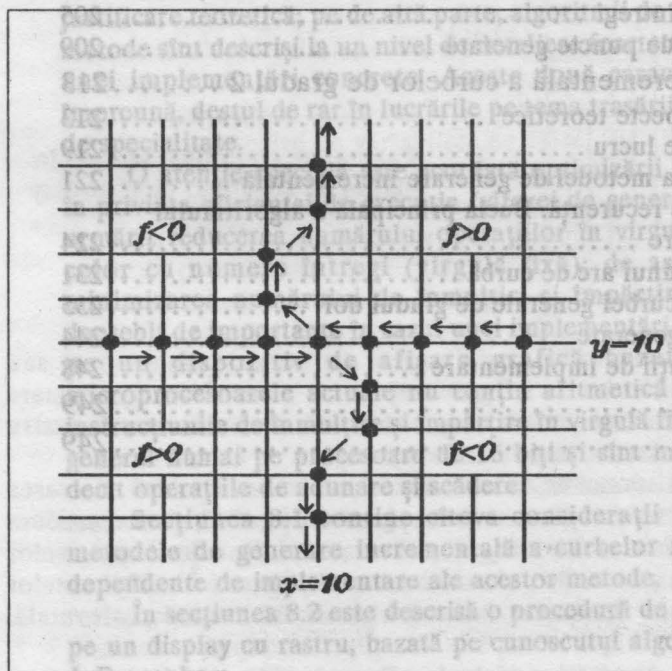
*Metode noi în proiectare. Elemente de grafică 3-D*, Editura Științifică și Enciclopedică, București, 1988.

- [9] D. THALMANN

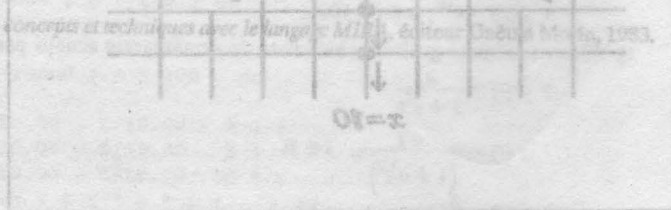
*Informatique graphique: concepts et techniques avec le langage MIRA*, éditeur Gaëtan Morin, 1983.



# TRASAREA INCREMENTALĂ A CURBELOR DE GRADUL ÎNTÎI ȘI DOI



<b>8. TRASAREA INCREMENTALĂ A CURBELOR DE GRADUL ÎNȚI ȘI DOI .....</b>	<b>169</b>
8.1. Generalități .....	172
8.2. Generarea incrementală a liniilor drepte .....	175
8.2.1. Cazuri speciale, optimizări .....	179
8.3. Generarea incrementală a cercurilor .....	180
8.3.1. Analiza algoritmului de generare în primul octant .....	182
8.3.2. Formule de recurență pentru octanții 2, 3 și 4 .....	189
8.3.3. Chestiuni de frontieră .....	192
8.3.3.1. Traversarea primei bisectoare a axelor .....	192
8.3.3.2. Traversarea axei $Oy$ .....	197
8.3.3.3. Trecerea din octantul 3 în octantul 4 .....	198
8.3.4. Descrierea algoritmului de generare incrementală a cercurilor .....	200
8.3.5. Generarea cercurilor cu coordonatele centrului și raza semifîntregi .....	205
8.3.6. Numărul de puncte generate .....	209
8.4. Generarea incrementală a curbelor de gradul 2 .....	213
8.4.1. Cîteva aspecte teoretice .....	213
8.4.2. Ipoteze de lucru .....	219
8.4.3. Deducerea metodei de generare incrementală .....	221
8.4.4. Relații de recurență. Bucla principală a algoritmului de generare .....	224
8.4.5. Trasarea unui arc de curbă .....	231
8.4.6. Trasarea curbei generale de gradul doi .....	235
8.4.7. Curbe degenerare .....	244
8.4.8. Considerații de implementare .....	248
8.5. Concluzii .....	249
8.6. Bibliografie .....	249



**I**n cele ce urmează vom prezenta câteva metode incrementale de generare a curbelor plane pentru dispozitive de afișare grafică cu tub catodic, cu rastru dreptunghiular. Metodele incrementale se dovedesc deosebit de eficiente pentru curbele de gradul 1 (linii drepte) și 2 (cercuri, elipse, hiperbole, parabole). În general, viteza de generare a dreptelor (vectorilor) este determinată pentru performanțele globale ale unui dispozitiv periferic de afișare grafică, mai ales în condiții de utilizare interactivă. De asemenea, pentru aplicațiile mai evoluate din domeniul proiectării asistate de calculator, posibilitatea trasării eficiente a curbelor de gradul doi este de cea mai mare importanță.

Metodele incrementale prezentate sînt însoțite de o riguroasă justificare teoretică; pe de altă parte, algoritmi de trasare bazați pe aceste metode sînt descriși la un nivel de detaliere foarte apropiat de necesitățile unei implementări concrete. Aceste două caracteristici sînt înțîlnite, împreună, destul de rar în lucrările pe tema trasării curbelor din literatura de specialitate.

O atenție specială este acordată optimizării algoritmilor prezentați în privința eficienței de execuție (vitezei de generare). În acest scop, s-a urmărit reducerea numărului operațiilor în virgulă mobilă, în favoarea celor cu numere întregi (virgulă fixă); de asemenea, s-a urmărit minimizarea numărului de înmulțiri și împărțiri. Aceste aspecte sînt deosebit de importante în cazul unei implementări concrete a algoritmilor pe un dispozitiv de afișare grafică bazat pe microprocesor: microprocesoarele actuale nu conțin aritmetică în virgulă mobilă, iar instrucțiunile de înmulțire și împărțire în virgulă fixă sînt implementate în general numai pe procesoare de 16 biți și sînt mult mai puțin eficiente decît operațiile de adunare și scădere.

Secțiunea 8.1 conține câteva considerații generale cu privire la metodele de generare incrementală a curbelor și precizează aspectele dependente de implementare ale acestor metode.

În secțiunea 8.2 este descrisă o procedură de trasare a liniilor drepte pe un display cu rastru, bazată pe cunoscutul algoritm de generare al lui J. Bresenham.

În secțiunea 8.3 este analizat și prezentat un algoritm de trasare a

cercurilor definite prin coordonatele centrului și rază, în ipoteza că aceste numere sînt multipli întregi de unități de rastru. De asemenea, în secțiunea 8.3.5 este descris un algoritm de trasare asemănător pentru cazul în care coordonatele centrului și raza sînt numere semiîntregi.

În secțiunea 8.4 este abordată problema generală a trasării unei curbe plane de gradul doi, pornind de la reprezentarea analitică obișnuită a unei astfel de curbe: o ecuație de gradul doi în coordonatele carteziene  $x$  și  $y$ . Este indicată o metodă de mare eficiență care utilizează în bucla principală de trasare numai operații de adunare, scădere și comparație între numere întregi. Această metodă reprezintă o generalizare naturală a procedurilor de trasare descrise în secțiunile 8.2 și 8.3.

## 8.1. Generalități

În ultimul timp, în domeniul graficii interactive cu ajutorul calculatorului s-a generalizat utilizarea dispozitivelor de afișare cu tub catodic, cu rastru dreptunghiular. Aceste dispozitive se caracterizează printr-un spațiu de afișare alcătuit dintr-o matrice rectangulară de elemente grafice indivizibile, numite puncte sau pixeli (fig. 8-1).

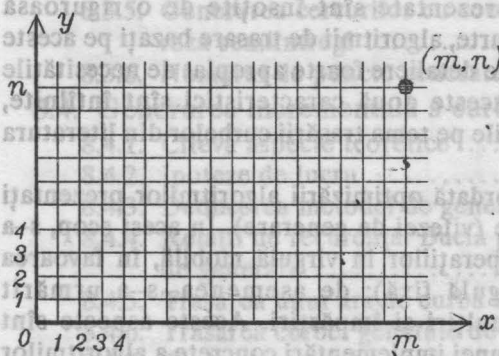


Figura 8-1.

Punctul de coordonate  $(m, n)$  în spațiul de afișare al unui display cu rastru.

Pentru reprezentarea unei imagini pe ecran, calculatorul sau procesorul dispozitivului de afișare trebuie să genereze o aproximare discretizată cât mai fidelă pentru imaginea ideală, și să selecteze în rastru punctele corespunzătoare imaginii discretizate.

Vom adopta sistemul de coordonate cel mai natural pentru adresarea punctelor de pe ecran; după cum este sugerat în fig. 8-1, vom considera originea  $(0, 0)$  în punctul din stînga jos al ecranului, cu valorile absciselor crescînd la dreapta și valorile ordonatelor crescînd în sus. Unitățile axelor  $Ox$ ,  $Oy$  sînt egale cu distanțele între doi pixeli alăturați pe orizontală, respectiv verticală.

Pentru multe dispozitive reale de afișare grafică, pasul rastrului pe orizontală diferă de pasul pe verticală. În această capitoli vom face



presupunerea că unitățile rastrului sînt egale pe orizontală și verticală, ceea ce simplifică algoritmi de trasare prezentați. Această presupunere nu este esențială pentru algoritmi de trasare a dreptelor (secțiunea 8.2) și a unei curbe generale de gradul doi (secțiunea 8.4), deoarece o dilatare pe una din axe revine la o modificare a parametrilor care definesc aceste curbe, fără schimbarea naturii curbei trasate. În cazul algoritmului de generare a cercurilor (secțiunea 8.3), ipoteza de echidistanță a rastrului este esențială.

Pe așezarea, deoarece în acest capitol ne interesează numai forma curbelor trasate, vom presupune că fiecare pixel de pe ecran are două stări posibile: aprins sau stins. Vom neglija celelalte atribute posibile pentru reprezentarea unei imagini pe ecran, cum sînt culoarea, nuanța, intensitatea, etc.

În cele ce urmează, pentru generarea efectivă a unui punct pe ecran vom folosi operații de formă:

call plot( $x, y$ )

unde *plot* este o subrutină neprecizată, care depinde de configurația hardware a dispozitivului de afișare, iar  $x, y$  sînt coordonatele întregi în spațiul de afișare grafică pentru punctul care trebuie generat. Pentru coordonatele  $x, y$  vom folosi denumirea de *variabile de adresare fizică*. În general, algoritmi de trasare incrementală prezentați în continuare efectuează deplasări elementare între două puncte vecine pe orizontală, verticală sau diagonală, care se traduc prin operații simple de incrementare sau decrementare a variabilelor de adresare fizică.

Spre deosebire de variabilele de stare, variabilele de adresare fizică utilizate în continuare au mai mult rol ilustrativ, pentru descrierea funcționării algoritmului. În cazul unei implementări concrete a unui algoritm de trasare, programatorul trebuie să aleagă cele mai potrivite posibilități de adresare grafică în funcție de configurația hardware pe care se face implementarea. De exemplu, pentru multe display-uri grafice punctele rastrului sînt reprezentate printr-o zonă continuă de memorie, fiecare octet păstrînd starea curentă pentru 8 pixeli adiacenți pe orizontală. În acest caz, se pot alege ca variabile de adresare a unui punct pe ecran adresa în memorie a octetului care conține punctul respectiv, și o mască binară de 8 biți pentru selectarea bitului corespunzător.

Performanțele finale ale unui algoritm de trasare depind în mare măsură de eficiența rutinei *plot* deoarece, cum se va vedea în continuare, celelalte operații executate sînt în general foarte simple: adunări și scăderi de numere întregi și testări de semn pentru variabile întregi. De aceea, rutina *plot* trebuie proiectată astfel încît, pe de o parte, operația fizică de generare a unui punct, și pe de altă parte, deplasarea în rastru la un punct alăturat, să se efectueze cît mai rapid posibil.

•  $0 < \Delta y < -\Delta x$  (octantul 4)

Tehnicile de trasare incrementală a curbelor reprezintă o formă de calcul a punctelor generate succesiv, în care fiecare pas iterativ este simplificat pe baza unor informații referitoare la punctul generat anterior. Algoritmul de trasare păstrează în permanență informații cu privire la starea curentă a procesului iterativ, prin intermediul uneia sau mai multor *variabile de stare*. Acestea trebuie alese astfel încât, pe de o parte, să permită realizarea cât mai simplă a funcțiilor algoritmului, și pe de altă parte să poată fi actualizate cât mai ușor în vederea trecerii la următorul pas iterativ. De multe ori, variabilele de stare sînt redundante, pentru a da posibilitatea implementării cu maximum de eficiență a operațiilor necesare la fiecare iterație.

Pentru trasarea curbelor plane de gradul întîi și doi pe dispozitive de afișare cu rastru rectangular, metodele incrementale sînt foarte potrivite din două motive:

- din cauza structurii discrete a mediului de afișare;
- există posibilitatea implementării cu mijloace relativ simple. Într-adevăr, metodele de trasare incrementală se bazează pe scheme cu diferențe între mărimi asociate punctelor succesive, care în cazul curbelor de grad cel mult doi se traduc prin relații liniare de transformare iterativă a variabilelor de stare. Aceste relații liniare pot fi implementate în general prin operații simple de adunare și scădere de numere întregi; prin urmare, metodele incrementale sînt accesibile celor mai simple microprocesoare actuale.

Algoritmii de trasare prezentați în această capitole, pornind de la niște parametri care precizează analitic o curbă de gradul întîi sau doi, construiesc în general cea mai bună reprezentare discretizată a curbei respective. Ținînd seama de faptul că modelul reprezentării este o curbă continuă și pentru care tangenta variază continuu, dar spațiul de afișare este discret, în dezvoltarea algoritmilor vom adopta următoarele convenții metodologice de reprezentare:

- Pentru fiecare punct generat la un capăt al curbei, sau la o margine a ferestrei de vizualizare, există exact un punct vecin pe orizontală, verticală sau în diagonală, generat pe curbă.
- Oricare alt punct generat pe curbă are exact două puncte vecine pe orizontală, verticală sau în diagonală, generate pe curbă, cu care formează un unghi de  $180^\circ$  sau  $135^\circ$ .

Aceste convenții vor fi referite în continuare sub numele de *regula de conexiune discretă*. Toți algoritmii prezentați generează succesiuni de puncte care îndeplinesc această regulă.

De exemplu, regula de conexiune discretă este îndeplinită de curba din fig. 8-2a, dar nu este îndeplinită de curbele din fig. 8-2b, 8-2c și 8-2d.

Pentru multe dispoziții de afișare, diferența de pas pe orizontală și pe verticală este aceeași. În această capitole vom face

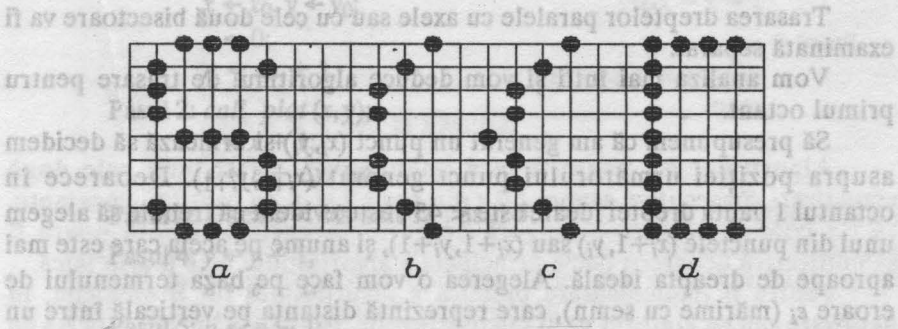


Figura 8-2.

Numai curba *a* îndeplinește condiția de conexiune discretă.

## 8.2. Generarea incrementală a liniilor drepte

Problema concretă a trasării liniilor drepte pe un display cu rastru se pune în modul următor: dându-se două puncte  $(x_0, y_0)$  și  $(x_f, y_f)$  în spațiul de afișare, se cere să se selecteze acei pixeli din rastru care aproximează cel mai bine segmentul de linie dreaptă ideală dintre cele două puncte (fig. 8-3). Șirul de puncte generate trebuie să îndeplinească condiția de conexiune discretă precizată în secțiunea 8.1.

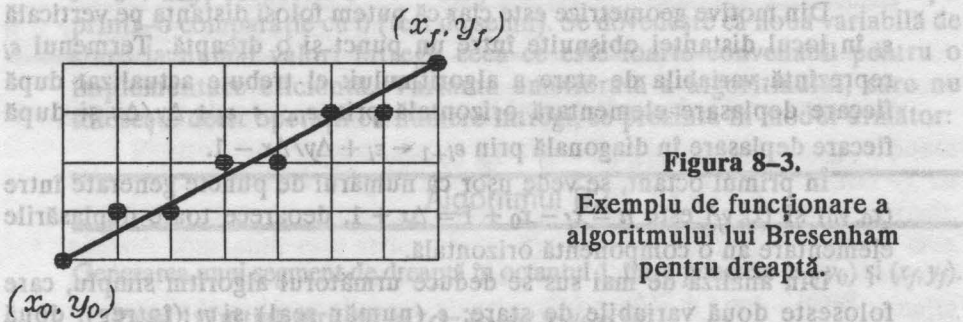


Figura 8-3.

Exemplu de funcționare a algoritmului lui Bresenham pentru dreaptă.

Se poate obține un algoritm eficient de trasare urmînd metoda descrisă de J. Bresenham [1]. Se notează  $\Delta x = x_f - x_0$ ,  $\Delta y = y_f - y_0$  și se poate presupune  $\Delta y \geq 0$ , inversînd la nevoie punctele inițial și final  $(x_0, y_0)$  și  $(x_f, y_f)$ . În funcție de înclinarea dreptei care trebuie trasată, se deosebesc 4 cazuri:

- $0 < \Delta y < \Delta x$  (trasare în octantul 1)
- $0 < \Delta x < \Delta y$  (octantul 2)
- $0 < -\Delta x < \Delta y$  (octantul 3)
- $0 < \Delta y < -\Delta x$  (octantul 4)



Trasarea dreptelor paralele cu axele sau cu cele două bisectoare va fi examinată separat.

Vom analiza mai întâi și vom deduce algoritmul de trasare pentru primul octant.

Să presupunem că am generat un punct  $(x_i, y_i)$  și urmează să decidem asupra poziției următorului punct generat  $(x_{i+1}, y_{i+1})$ . Deoarece în octantul 1 panta dreptei ideale este  $< 45^\circ$ , este evident că trebuie să alegem unul din punctele  $(x_i+1, y_i)$  sau  $(x_i+1, y_i+1)$ , și anume pe acela care este mai aproape de dreapta ideală. Alegerea o vom face pe baza termenului de eroare  $\epsilon_i$  (mărime cu semn), care reprezintă distanța pe verticală între un punct generat  $(x_i, y_i)$  și dreapta ideală (fig. 8-4)

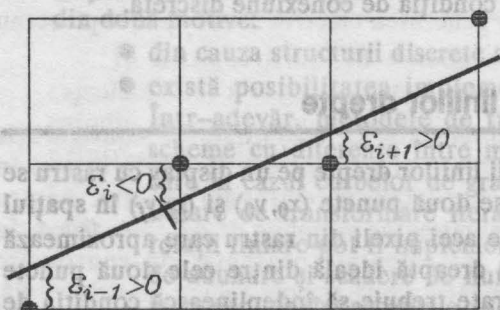


Figura 8-4.

Termeni de eroare pozitivi și negativi pentru algoritmul lui Bresenham.

Din motive geometrice este clar că putem folosi distanța pe verticală  $\epsilon_i$  în locul distanței obișnuite între un punct și o dreaptă. Termenul  $\epsilon_i$  reprezintă variabila de stare a algoritmului: el trebuie actualizat după fiecare deplasare elementară orizontală prin  $\epsilon_{i+1} \leftarrow \epsilon_i + \Delta y / \Delta x$  și după fiecare deplasare în diagonală prin  $\epsilon_{i+1} \leftarrow \epsilon_i + \Delta y / \Delta x - 1$ .

În primul octant, se vede ușor că numărul de puncte generate între  $(x_0, y_0)$  și  $(x_f, y_f)$  este  $n = x_f - x_0 + 1 = \Delta x + 1$ , deoarece toate deplasările elementare au o componentă orizontală.

Din analiza de mai sus se deduce următorul algoritm simplu, care folosește două variabile de stare:  $\epsilon$  (număr real) și  $n$  (întreg), două variabile de adresare fizică  $x$  și  $y$ , precum și două constante întregi  $\Delta x$  și  $\Delta y$  (constante în sensul că depind numai de punctele inițiale, dar nu se modifică în cursul execuției).

### Algoritmul B1

Generarea unui segment de dreaptă în octantul 1, între punctele  $(x_0, y_0)$  și  $(x_f, y_f)$ .

Pasul 1: Inițializări:  $\Delta x \leftarrow x_f - x_0$ ,  $\Delta y \leftarrow y_f - y_0$ ;



$x \leftarrow x_0, y \leftarrow y_0;$   
 $\varepsilon \leftarrow 0;$   
 $n \leftarrow \Delta x + 1.$

Pasul 2: *call plot* ( $x, y$ );

$x \leftarrow x + 1;$   
 $\varepsilon \leftarrow \varepsilon + \Delta y / \Delta x,$

Pasul 3: Dacă  $\varepsilon < 1/2$ , salt la Pasul 5.

Pasul 4:  $y \leftarrow y + 1;$   
 $\varepsilon \leftarrow \varepsilon - 1.$

Pasul 5:  $n \leftarrow n - 1;$   
 dacă  $n \neq 0$ , salt la Pasul 2;  
 stop.

Algoritmul B1 prezintă două dezavantaje: utilizează o variabilă reală și necesită o operație de împărțire. Acestea pot fi evitate dacă în locul variabilei de stare  $\varepsilon$  introducem:

$$s = (\varepsilon - 1/2) 2\Delta x.$$

Funcționarea algoritmului nu este afectată de această schimbare liniară de variabilă, cu condiția să modificăm corespunzător toate operațiile în care este implicată variabila de stare. Astfel, inițializarea  $\varepsilon \leftarrow 0$  se înlocuiește cu  $s \leftarrow -\Delta x$ , actualizările lui  $\varepsilon$  din pașii 2 și 4 se înlocuiesc prin  $s \leftarrow s + 2\Delta y$ , respectiv  $s \leftarrow s - 2\Delta x$ , iar testul din Pasul 3 se înlocuiește printr-o comparație cu 0 (test de semn). Se dovedește că noua variabilă de stare ia numai valori întregi, ceea ce este foarte convenabil pentru o implementare eficientă. Varianta ameliorată a algoritmului, care nu folosește decât operații cu numere întregi, se prezintă în modul următor:

### Algoritmul B2

Generarea unui segment de dreaptă în octantul 1, între punctele  $(x_0, y_0)$  și  $(x_f, y_f)$ .

Pasul 1: Inițializări:  $\Delta x \leftarrow x_f - x_0, \Delta y \leftarrow y_f - y_0;$

$x \leftarrow x_0, y \leftarrow y_0;$   
 $s \leftarrow -\Delta x;$   
 $n \leftarrow \Delta x + 1.$

Pasul 2: *call plot* ( $x, y$ );

$x \leftarrow x + 1;$   
 $s \leftarrow s + 2\Delta y.$

Pasul 3: Dacă  $s < 0$ , salt la Pasul 5.

Pasul 4:  $y \leftarrow y + 1;$

$$s \leftarrow s - 2\Delta x.$$

Pasul 5:  $n \leftarrow n - 1$ ;

dacă  $n \neq 0$ , salt la Pasul 2;

stop.

Algoritmul B2 poate fi încă îmbunătățit, astfel încât cele două actualizări consecutive asupra lui  $s$  din pașii 2 și 4, cu cantități constante, să fie combinate într-o singură operație. Această reducere poate fi semnificativă deoarece bucla principală a algoritmului este foarte mică.

Pentru o implementare practică a algoritmului lui Bresenham, în hardware sau cu ajutorul unui microprocesor, recomandăm varianta B3 de mai jos, care la o examinare atentă se dovedește echivalentă cu varianta B2. Algoritmul B3 este mai puțin compact decât B2, dar în același timp este mai eficient, din următoarele motive:

- actualizarea lui  $s$  se face o singură dată la o trecere prin bucla principală, prin adăugarea unei cantități constante;
- testarea semnului lui  $s$  are loc imediat după o operație aritmetică asupra lui  $s$ , ceea ce este foarte convenabil din punct de vedere al programării pe un microprocesor;
- salturile necondiționate în interiorul buclei principale sînt evitate prin dublarea operațiilor comune între cele două ramuri ale buclei principale.

### Algoritmul B3

Generarea unui segment de dreaptă în octantul 1, între punctele  $(x_0, y_0)$  și  $(x_f, y_f)$ .

Pasul 1: Inițializări:  $\Delta x \leftarrow x_f - x_0$ ,  $\Delta y \leftarrow y_f - y_0$ ;

$$x \leftarrow x_0, y \leftarrow y_0;$$

$$s \leftarrow \Delta x;$$

$$n \leftarrow \Delta x + 1.$$

Pasul 2:  $s \leftarrow s + 2(\Delta y - \Delta x)$ ;

dacă  $s \geq 0$ , salt la Pasul 6.

Pasul 3: call plot( $x, y$ );

$$x \leftarrow x + 1.$$

Pasul 4:  $n \leftarrow n - 1$ ;

dacă  $n = 0$ , stop.

Pasul 5:  $s \leftarrow s + 2\Delta y$ ;

dacă  $s < 0$ , salt la Pasul 3.

Pasul 6: call plot( $x, y$ );

$$x \leftarrow x + 1;$$

$$y \leftarrow y + 1.$$

Pasul 7:  $n \leftarrow n - 1;$

dacă  $n \neq 0$ , salt la Pasul 2;

stop.

În algoritmul de mai sus, este de la sine înțeles că valorile constante  $2(\Delta y - \Delta x)$  și  $2\Delta y$ , cu care se actualizează  $s$ , se vor calcula o singură dată în faza de inițializare. Aceste operații nu au mai fost explicitate, pentru a ușura urmărirea funcționării algoritmului.

După dezvoltarea algoritmului de trasare pentru octantul 1, este ușor de văzut ce modificări sînt necesare pentru celelalte cazuri (octanții 2, 3 și 4). Pentru octantul 2, algoritmul de trasare se obține din B3, interschimbînd rolurile celor două axe de coordonate. Pentru octantul 4, inițializarea constantei (pozitive)  $\Delta x$  trebuie efectuată în forma  $\Delta x \leftarrow x_0 - x_f$ ; în plus, cele două incrementări ale lui  $x$  din pașii 3 și 6, corespunzînd deplasărilor elementare pe orizontală sau în diagonală, trebuie înlocuite prin decrementări  $x \leftarrow x - 1$  (în octantul 4, deplasările elementare sînt la stînga sau stînga-sus). Algoritmul pentru octantul 3 se poate obține fie din cel pentru octantul 4, inversînd rolurile axelor  $x$  și  $y$ , fie din algoritmul pentru octantul 2, schimbînd semnul lui  $\Delta x$  la inițializare și direcția deplasărilor diagonale din dreapta-sus în stînga-sus.

### 8.2.1. Cazuri speciale, optimizări

Să examinăm acum cazurile speciale cînd dreapta care trebuie trasată este orizontală, verticală sau înclinată la  $\pm 45^\circ$ .

Pentru trasarea unei drepte paralele cu una din bisectoare, se poate folosi algoritmul B3 (respectiv varianta modificată pentru octantul 4), cu observația că în acest caz constanta  $2(\Delta y - \Delta x)$  devine 0 (în mod normal, această constantă este strict negativă). Această împrejurare poate crea efecte opuse celui dorit la testul din Pasul 2 al algoritmului. În acest caz nu este indicată complicarea algoritmului pentru a trata corect situația cînd  $\Delta x = \Delta y$ , deoarece se reduce eficiența execuției în cazul general; se recomandă adăugarea unei secvențe speciale pentru generarea dreptelor înclinate la  $\pm 45^\circ$ . Această secvență este foarte simplă: se generează  $\Delta x + 1$  puncte separate prin deplasări elementare în diagonală (nu este necesară variabila de stare  $s$ ).

Dreptele orizontale sau verticale sînt trasate corect de algoritmul B3, respectiv de varianta modificată pentru octantul 2. Aceste cazuri pot fi implementate prin secvențe speciale, în eventualitatea că se poate beneficia de organizarea memoriei video a display-ului, pentru mărirea vitezei de generare. De exemplu, pentru multe display-uri, un octet în

memoria video reprezintă 8 pixeli adiacenți pe orizontală. Algoritmul B3 face 8 accese la același octet din memoria video pentru a genera 8 puncte. Secvența specială pentru trasarea dreptelor orizontale poate genera 8 puncte simultan printr-un singur acces la memoria video.

Pentru acest tip de display-uri, aceeași idee de minimizare a numărului acceselor la memoria video se poate aplica pentru generarea dreptelor înclinate în octantul 1 (algoritmul B3) sau în octantul 4. Deoarece pantele dreptelor sînt mai mici de  $45^\circ$ , în cursul generării apar grupuri de 2 sau mai multe puncte consecutive adiacente pe orizontală. Punctele vecine reprezentate binar în același octet de memorie video, pot fi generate printr-un singur acces la acel octet de memorie. De exemplu, pentru trasarea unei linii drepte între punctele  $(0, 0)$  și  $(23, 4)$  sînt necesare numai 7 accese la memorie, prin care sînt generate 24 puncte (fig. 8-5).

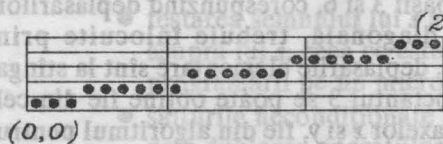


Figura 8-5.

În octantul 1, numărul acceselor necesare la memoria video este mai mic decît numărul punctelor generate.

Această idee de optimizare reclamă complicarea algoritmului B3. Este necesară o variabilă suplimentară  $c$  pentru acumularea punctelor adiacente pe orizontală; de asemenea, este necesară modificarea subrutinei *plot*.

Evident, optimizarea descrisă mai sus nu este efectivă decît dacă accesul la variabila suplimentară  $c$  este sensibil mai rapid decît accesul la memoria video. Este foarte indicată plasarea variabilei  $c$  într-unul din registrele generale, alături de celelalte variabile ale algoritmului; această posibilitate depinde de (micro)procesorul pe care se implementează algoritmul.

### 8.3. Generarea incrementală a cercurilor

În această secțiune vom prezenta o metodă incrementală de generare a cercurilor cu centrul într-un punct din rastru și cu raza un număr întreg de unități de rastru. De asemenea, în secțiunea 8.3.5 vom descrie o metodă incrementală de generare în cazul cînd coordonatele centrului și raza sînt numere semiîntregi.

Sînt considerate criterii de minimizare liniară și pătratică a erorii, care să asigure cea mai bună aproximare a conturului ideal printr-o succesiune de puncte de coordonate întregi. În algoritmul rezultat, bucla



principală de generare incrementală a punctelor succesive utilizează numai operații simple de adunare, scădere și testare a semnului pentru numere întregi; întregul algoritmul poate fi implementat numai cu aritmetică în virgulă fixă, și nu necesită operații de înmulțire și împărțire, ceea ce este oarecum surprinzător deoarece curba generată este de gradul doi. Simplitatea operațiilor executate de algoritm dă posibilitatea implementării eficiente pe cele mai simple microprocesoare actuale.

În fig. 8-6 este prezentat un exemplu de funcționare a algoritmului de trasare în primul cadran al axelor de coordonate.

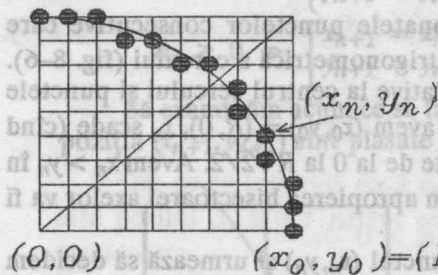


Figura 8-6.

Generarea prin puncte a unui sfert de cerc de rază  $R = 9$ .

Algoritmul de generare a cercurilor se bazează în mod esențial pe ipoteza de echidistanță orizontală și verticală a punctelor rastrului, discutată în secțiunea 8.1. Această presupunere nu este necesară pentru algoritmul de trasare a liniilor drepte, deoarece o dreaptă rămâne tot dreaptă în urma unei dilatări pe axa  $Ox$  sau  $Oy$ , dar, evident, această invarianță nu este valabilă pentru cercuri. Dacă condiția de echidistanță a rastrului nu este îndeplinită, algoritmul descris în continuare va trasa elipse în loc de cercuri.

Este posibilă abordarea cazului general, în care dimensiunile celulei elementare din rastru sînt în raportul  $p/q \neq 1$  ( $p, q$  întregi), cum se întîlnește la multe dispozitive reale. În acest caz, analiza algoritmului se complică și aspectele esențiale devin mai obscure, iar în final eficiența în execuție (viteza de generare) scade. De aceea vom prefera să prezentăm algoritmul de generare a cercurilor în cazul simplu  $p/q = 1$ ; pe de altă parte, generarea elipselor și a altor curbe de gradul doi este discutată în secțiunea 8.4.

La fel ca în cazul algoritmului de generare a dreptelor, vom examina problema separat pentru fiecare octant. Din geometria cercului rezultă că, în interiorul unui octant, sînt posibile numai două deplasări elementare între două puncte generate consecutiv: o deplasare perpendiculară pe axa mai apropiată, sau o deplasare diagonală. De exemplu (fig. 8-6), în octantul 1 deplasările elementare sînt în sus sau spre stînga-sus, iar în octantul 2 la stînga sau spre stînga-sus. Prin urmare, după generarea unui punct, există numai două posibilități de alegere a următorului punct generat; aceasta crează perspectiva dezvoltării unui algoritm eficient cu mijloace relativ reduse.

### 8.3.1. Analiza algoritmului de generare în primul octant

Algoritmul de trasare incrementală a cercului trebuie să calculeze coordonatele punctelor consecutive care urmează a fi generate, prin parcurgerea cercului într-un anumit sens, de exemplu sensul trigonometric direct. Pentru aflarea coordonatelor unui punct se folosesc coordonatele precedentului punct generat și anumite formule de recurență liniare. Pentru deducerea acestor formule de recurență, să analizăm trasarea incrementală a unui arc de cerc de rază  $R$  cu centrul în origine, situat în primul octant al axelor de coordonate.

Notăm cu  $(x_n, y_n)$ ,  $n \geq 0$  coordonatele punctelor consecutive care urmează a fi generate, în parcurgerea trigonometrică a cercului (fig. 8-6). Deoarece coordonatele  $(x_n, y_n)$  sînt relative la centrul cercului și punctele respective se găsesc în primul octant, avem  $(x_0, y_0) = (R, 0)$ ,  $x_n$  scade (cînd  $n$  crește) de la  $R$  la  $R\sqrt{2}/2$ , iar  $y_n$  crește de la 0 la  $R\sqrt{2}/2$ . Avem  $x_n > y_n$  în interiorul octantului 1; comportarea în apropierea bisectoarei axelor va fi examinată separat în continuare.

Să presupunem că am generat punctul  $(x_n, y_n)$  și urmează să decidem asupra poziției următorului punct care trebuie generat  $(x_{n+1}, y_{n+1})$ . Deoarece ne găsim în primul octant, este clar că următorul punct generat are ordonata  $y_{n+1} = y_n + 1$ , dar abscisa sa  $x_{n+1}$  poate fi fie  $x_n$ , fie  $x_n - 1$  (tangenta la cercul ideal face cu verticala un unghi între 0 și 45°, la stînga acesteia).

Pentru a alege între cele două posibilități,  $(x_{n+1}, y_{n+1}) = (x_n, y_n + 1)$  sau  $(x_{n+1}, y_{n+1}) = (x_n - 1, y_n + 1)$ , vom considera următorul criteriu, evident de altfel: va fi generat punctul care este situat cel mai aproape de cercul ideal (nu pot fi generate ambele puncte din cauza condiției de conexiune discretă discutată în secțiunea 8.1). Mai precis, va fi generat punctul pentru care distanța pînă la cerc  $|r_{n+1} - R|$  este minimă (am notat

$$r_n = \sqrt{x_n^2 + y_n^2}, n \geq 0).$$

Introducem notațiile:

$$D_{1n} = \sqrt{x_n^2 + (y_n + 1)^2} - R \quad (3.1)$$

$$D_{2n} = R - \sqrt{(x_n - 1)^2 + (y_n + 1)^2}, n \geq 0.$$

Prin urmare, dacă  $|D_{1n}| < |D_{2n}|$ , vom alege punctul  $(x_{n+1}, y_{n+1}) = (x_n, y_n + 1)$  pentru a fi generat, iar dacă  $|D_{1n}| \geq |D_{2n}|$ , vom alege  $(x_{n+1}, y_{n+1}) = (x_n - 1, y_n + 1)$ .

Să presupunem acum că cele 2 puncte candidat sînt plasate de o parte și de alta a cercului ideal, adică  $(x_n, y_n + 1)$  este în exteriorul cercului, iar

$(x_n-1, y_n+1)$  în interiorul acestuia. În acest caz, este evident că  $D_{1n} \geq 0$ ,  $D_{2n} \geq 0$  și putem decide asupra punctului care va fi generat în urma comparației cu 0 a diferenței  $D_{1n} - D_{2n}$ , cantitate pe care o notăm cu  $\delta_n$ :

$$\delta_n = D_{1n} - D_{2n} = \sqrt{x_n^2 + (y_n+1)^2} + \sqrt{(x_n-1)^2 + (y_n+1)^2} - 2R. \quad (3.2)$$

Prin urmare, dacă  $\delta_n < 0$  vom genera punctul  $(x_n, y_n+1)$ , iar dacă  $\delta_n \geq 0$  vom genera punctul  $(x_n-1, y_n+1)$ :

$$\begin{aligned} \delta_n < 0 &\Rightarrow \begin{cases} x_{n+1} = x_n \\ y_{n+1} = y_n+1 \end{cases} \\ \delta_n \geq 0 &\Rightarrow \begin{cases} x_{n+1} = x_n-1 \\ y_{n+1} = y_n+1 \end{cases} \end{aligned} \quad (3.3)$$

Să examinăm acum ce se întâmplă dacă cele 2 puncte candidat pentru poziția  $(x_{n+1}, y_{n+1})$  sînt plasate de aceeași parte a cercului ideal.

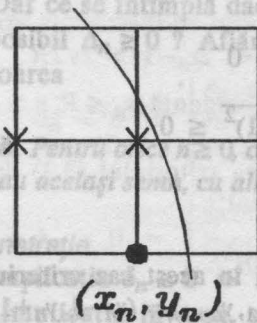


Figura 8-7.

Ambele puncte candidat pentru poziția  $(x_{n+1}, y_{n+1})$  sînt în interiorul cercului.

Dacă ambele puncte sînt plasate în interiorul cercului (fig. 8-7), atunci:

$$R \geq \sqrt{x_n^2 + (y_n+1)^2} > \sqrt{(x_n-1)^2 + (y_n+1)^2}. \quad (3.4)$$

Prin urmare, în acest caz:

$$|D_{1n}| = R - \sqrt{x_n^2 + (y_n+1)^2}$$

$$|D_{2n}| = R - \sqrt{(x_n-1)^2 + (y_n+1)^2}$$

și din (3.4) rezultă  $|D_{1n}| < |D_{2n}|$ . Vom alege deci punctul  $(x_{n+1}, y_{n+1}) = (x_n, y_n+1)$  pentru a fi generat; de altfel, din fig. 8-7 este clar că punctul  $(x_n, y_n+1)$  este mai aproape de cercul ideal decât  $(x_n-1, y_n+1)$ .

Pe de altă parte, din (3.1) și (3.4) deducem  $D_{1n} \leq 0$ ,  $D_{2n} > 0$  și deci  $\delta_n = D_{1n} - D_{2n} < 0$ . Prin urmare, criteriul (3.3) ne conduce la decizia corectă în acest caz.

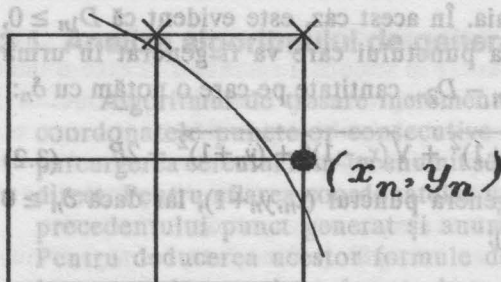


Figura 8-8.

Ambele puncte candidat pentru poziția  $(x_{n+1}, y_{n+1})$  sînt în exteriorul cercului.

Dacă ambele puncte candidat sînt plasate în afara cercului (fig. 8-8), atunci:

$$R \leq \sqrt{(x_n-1)^2 + (y_n+1)^2} < \sqrt{x_n^2 + (y_n+1)^2}.$$

Deducem succesiv:

$$D_{1n} = \sqrt{x_n^2 + (y_n+1)^2} - R > 0$$

$$D_{2n} = R - \sqrt{(x_n-1)^2 + (y_n+1)^2} \leq 0$$

$$|D_{1n}| > |D_{2n}|$$

$$\delta_n = D_{1n} - D_{2n} > 0.$$

Ultimele două inegalități dovedesc că și în acest caz criteriul (3.3) ne conduce la decizia corectă de a alege  $(x_{n+1}, y_{n+1}) = (x_n-1, y_n+1)$ .

Prin urmare, am arătat pînă acum că putem folosi întotdeauna criteriul (3.3) pentru alegerea corectă a punctului care urmează să fie generat  $(x_{n+1}, y_{n+1})$ , dacă pornim de la punctul generat anterior  $(x_n, y_n)$ , presupus corect plasat.

Cantitățile  $\delta_n, n \geq 0$  conțin radicali, prin urmare sînt neconvenabile dacă se urmărește o implementare eficientă, mai ales pe o mașină care nu dispune decît de aritmetică în virgulă fixă. Ar fi foarte avantajos să se înlocuiască, dacă este posibil, criteriul (3.3) de decizie cu un criteriu echivalent, dar care să necesite numai operații cu numere întregi.

În locul numărului  $\delta_n = \sqrt{x_n^2 + (y_n+1)^2} + \sqrt{(x_n-1)^2 + (y_n+1)^2} - 2R$ , să examinăm cantitatea:

$$\begin{aligned} \Delta_n &= x_n^2 + (y_n+1)^2 + (x_n-1)^2 + (y_n+1)^2 - 2R^2 = \\ &= x_n^2 + (x_n-1)^2 + 2(y_n+1)^2 - 2R^2 \end{aligned} \quad (3.5)$$

care se obține din  $\delta_n$  înlocuind fiecare termen al sumei prin pătratul său.



Se arată ușor că  $\delta_n \geq 0 \Rightarrow \Delta_n \geq 0$ . Într-adevăr,

$$\begin{aligned} \delta_n \geq 0 &\Rightarrow \sqrt{x_n^2 + (y_n+1)^2} + \sqrt{(x_n-1)^2 + (y_n+1)^2} \geq 2R \Rightarrow \\ &\Rightarrow x_n^2 + (y_n+1)^2 + (x_n-1)^2 + (y_n+1)^2 + \\ &\quad + 2\sqrt{[x_n^2 + (y_n+1)^2][(x_n-1)^2 + (y_n+1)^2]} \geq 4R^2 \Rightarrow \\ &\Rightarrow 2[x_n^2 + (x_n-1)^2 + 2(y_n+1)^2 - 2R^2] \geq \\ &\quad \geq x_n^2 + (y_n+1)^2 + (x_n-1)^2 + (y_n+1)^2 - \\ &\quad - 2\sqrt{[x_n^2 + (y_n+1)^2][(x_n-1)^2 + (y_n+1)^2]} \geq 0 \Rightarrow \\ &\Rightarrow 2\Delta_n \geq 0. \end{aligned}$$

Dar ce se întâmplă dacă  $\delta_n < 0$ ? Rezultă  $\Delta_n < 0$  și în acest caz, sau este posibil  $\Delta_n \geq 0$ ? Aflăm un răspuns fericit la această întrebare din următoarea

**Teoremă.** Pentru orice  $n \geq 0$ , cantitățile  $\delta_n$  și  $\Delta_n$  definite în (3.2) respectiv (3.5) au același semn, cu alte cuvinte  $\delta_n \geq 0 \Leftrightarrow \Delta_n \geq 0$ .

**Demonstrație.**

Implicația  $\delta_n \geq 0 \Rightarrow \Delta_n \geq 0$  a fost deja dovedită. Vom demonstra acum implicația inversă, sau, ceea ce este echivalent, vom dovedi că inegalitățile  $\delta_n < 0, \Delta_n \geq 0$  nu sînt posibile simultan.

Să presupunem deci  $\delta_n < 0, \Delta_n \geq 0$ , adică:

$$\begin{aligned} x_n^2 + (x_n-1)^2 + 2y_{n+1}^2 + 2\sqrt{[x_n^2 + y_{n+1}^2][(x_n-1)^2 + y_{n+1}^2]} &< 4R^2 \\ x_n^2 + (x_n-1)^2 + 2y_{n+1}^2 - 2R^2 &\geq 0 \end{aligned}$$

(am scris  $y_{n+1}$  în loc de  $y_n+1$ ). Rescriem aceste inegalități astfel:

$$\begin{aligned} 2\sqrt{x_n^2(x_n-1)^2 + x_n^2y_{n+1}^2 + (x_n-1)^2y_{n+1}^2 + y_{n+1}^4} &< \\ < 4R^2 - x_n^2 - (x_n-1)^2 - 2y_{n+1}^2 &\quad (3.6) \\ x_n^2 + (x_n-1)^2 + 2y_{n+1}^2 - 2R^2 &> 0 \end{aligned}$$

(în a doua inegalitate, semnul egal nu este posibil deoarece în membrul stîng este un număr întreg impar). Să ridicăm la pătrat prima inegalitate:

$$4[x_n^2(x_n-1)^2 + x_n^2y_{n+1}^2 + (x_n-1)^2y_{n+1}^2 + y_{n+1}^4] <$$

$$\begin{aligned}
 &< 16R^4 + x_n^4 + (x_n-1)^4 + 4y_{n+1}^4 - 8R^2 x_n^2 - 8R^2 (x_n-1)^2 - \\
 &- 16R^2 y_{n+1}^2 + 2x_n^2 (x_n-1)^2 + 4x_n^2 y_{n+1}^2 + 4(x_n-1)^2 y_{n+1}^2.
 \end{aligned}$$

Efectuînd reducerile, rezultă:

$$\begin{aligned}
 2x_n^2 (x_n-1)^2 &< 16R^4 + x_n^4 + (x_n-1)^4 - 8R^2 x_n^2 - 8R^2 (x_n-1)^2 - 16R^2 y_{n+1}^2 \Rightarrow \\
 \Rightarrow 8R^2 [x_n^2 + (x_n-1)^2 + 2y_{n+1}^2 - 2R^2] &< x_n^4 + (x_n-1)^4 - 2x_n^2 (x_n-1)^2 = \\
 &= [x_n^2 - (x_n-1)^2]^2. \quad (3.7)
 \end{aligned}$$

Dar, conform celei de-a 2-a inegalități (3.6), avem:

$$x_n^2 + (x_n-1)^2 + 2y_{n+1}^2 - 2R^2 \geq 1$$

deoarece numărul din membrul stîng este întreg, impar și strict pozitiv.

Prin urmare, din (3.7) rezultă:

$$8R^2 < [x_n^2 - (x_n-1)^2]^2 = (2x_n-1)^2 \Rightarrow 2x_n-1 > 2\sqrt{2}R.$$

Am obținut o contradicție cu condiția evidentă  $x_n \leq R, n \geq 0$ , ceea ce încheie demonstrația. ■

Rezultatul obținut permite înlocuirea criteriului (3.3) de alegere a punctului  $(x_{n+1}, y_{n+1})$  cu criteriul echivalent:

$$\Delta_n = x_n^2 + (x_n-1)^2 + 2(y_{n+1})^2 - 2R^2 \quad (3.8)$$

$$\Delta_n < 0 \Rightarrow \begin{cases} x_{n+1} = x_n \\ y_{n+1} = y_{n+1} \end{cases}$$

$$\Delta_n > 0 \Rightarrow \begin{cases} x_{n+1} = x_n-1 \\ y_{n+1} = y_{n+1} \end{cases}$$

(numerele  $\Delta_n$  sînt întregi și impare, deci nenule).

Se poate dezvolta un algoritm de trasare incrementală a unui cerc pe baza criteriului (3.8), calculînd cîte o valoare  $\Delta_n$  pentru fiecare punct  $(x_n, y_n)$  generat. Vor fi efectuate adunări, scăderi și înmulțiri de numere întregi.

Totuși, numerele  $\Delta_n$  se pot calcula mai ușor pe baza unei formule de recurență, în care nu mai apar operații de înmulțire. Pentru a găsi această formulă, să evaluăm diferența  $\Delta_{n+1} - \Delta_n$ , pe care o vom exprima în funcție de coordonatele noului punct  $(x_{n+1}, y_{n+1})$ :

$$\begin{aligned}
 \Delta_{n+1} - \Delta_n &= [x_{n+1}^2 + (x_{n+1}-1)^2 + 2(y_{n+1}+1)^2 - 2R^2] - \\
 &- [x_n^2 + (x_n-1)^2 + 2y_{n+1}^2 - 2R^2] =
 \end{aligned} \quad (3.9)$$

$$\begin{aligned}
 &= x_{n+1}^2 + (x_{n+1}-1)^2 + 2(y_{n+1}+1)^2 - x_n^2 - (x_n-1)^2 - 2y_{n+1}^2 = \\
 &= x_{n+1}^2 + (x_{n+1}-1)^2 - x_n^2 - (x_n-1)^2 + 4y_{n+1} + 2.
 \end{aligned}$$

Dacă  $\Delta_n < 0$ , atunci  $x_{n+1} = x_n$  și avem  $\Delta_{n+1} - \Delta_n = 4y_{n+1} + 2$ .

Dacă  $\Delta_n > 0$ , atunci  $x_{n+1} = x_n - 1$  și din (3.9) rezultă:

$$\begin{aligned}
 \Delta_{n+1} - \Delta_n &= x_{n+1}^2 + (x_{n+1}-1)^2 - (x_{n+1}+1)^2 - x_n^2 + 4y_{n+1} + 2 = \\
 &= -4x_{n+1} + 4y_{n+1} + 2.
 \end{aligned}$$

Relațiile de recurență obținute permit calcularea mai simplă (fără înmulțiri) a noii valori  $\Delta_{n+1}$  pornind de la  $\Delta_n$ . Sînt necesare operații de adunare și scădere de numere întregi și de deplasare binară la stînga, pentru efectuarea înmulțirilor cu 4. Scriind împreună criteriul (3.8) și relațiile de recurență obținute pentru  $\Delta_n$ , obținem formulele pe care se bazează algoritmul de trasare incrementală a cercului, în primul octant:

$$\Delta_n < 0 \Rightarrow \begin{cases} x_{n+1} = x_n \\ y_{n+1} = y_n + 1 \\ \Delta_{n+1} = \Delta_n + 4y_{n+1} + 2 \end{cases} \quad (3.10)$$

$$\Delta_n > 0 \Rightarrow \begin{cases} x_{n+1} = x_n - 1 \\ y_{n+1} = y_n + 1 \\ \Delta_{n+1} = \Delta_n - 4x_{n+1} + 4y_{n+1} + 2. \end{cases}$$

Cele 3 numere  $(x_n, y_n, \Delta_n)$  definesc starea curentă a algoritmului pentru fiecare punct generat. Pentru aceste numere vor fi alocate variabilele de stare ale algoritmului. Valorile de inițializare pentru cele 3 variabile de stare se obțin ușor, dacă ținem seama că primul punct generat în octantul 1 este  $(R, 0)$ :

$$x_0 = R \quad (3.11)$$

$$y_0 = 0$$

$$\begin{aligned}
 \Delta_0 &= x_0^2 + (x_0-1)^2 + 2(y_0+1)^2 - 2R^2 = R^2 + (R-1)^2 + 2 - 2R^2 = \\
 &= 3 - 2R.
 \end{aligned}$$

Cu aceste pregătiri, putem formula algoritmul de principiu pentru generarea incrementală a unui arc de cerc în primul octant. Numărul de puncte generate în octantul 1, precum și momentul intrării în octantul 2 (care coincide cu traversarea primei bisectoare) nu sînt precizate; aceste chestiuni necesită o analiză specială care este expusă în secțiunile 8.3.3 și 8.3.6.

## Algoritm C1

Generarea incrementală a unui arc de cerc de centru  $(x_c, y_c)$  și rază  $R$ , în primul octant.

Pasul 1: Inițializări:  $n \leftarrow 0, x_0 \leftarrow R, y_0 \leftarrow 0, \Delta_0 \leftarrow 3 - 2R$ .

Pasul 2: *call plot*  $(x_c + x_n, y_c + y_n)$ .

Pasul 3: Dacă  $\Delta_n > 0$ , salt la Pasul 5.

Pasul 4:  $x_{n+1} \leftarrow x_n$ ;

$y_{n+1} \leftarrow y_n + 1$ ;

$\Delta_{n+1} \leftarrow \Delta_n + 4y_{n+1} + 2$ ;

$n \leftarrow n + 1$ ;

salt la Pasul 2.

Pasul 5:  $x_{n+1} \leftarrow x_n - 1$ ;

$y_{n+1} \leftarrow y_n + 1$ ;

$\Delta_{n+1} \leftarrow \Delta_n - 4x_{n+1} + 4y_{n+1} + 2$ ;

$n \leftarrow n + 1$ ;

salt la Pasul 2.

Algoritmul de principiu C1 nu utilizează variabile de adresare fizică în spațiul de afișare, dar se ține seama că argumentele subrutinei *plot* sînt coordonate absolute, iar  $(x_n, y_n)$  sînt coordonate relative la centrul cercului.

Înainte de a trece la analiza trasării în ceilalți octanți, să demonstrăm două relații care ne vor fi utile în continuare.

**Teoremă.** Pentru fiecare punct  $(x_n, y_n)$  generat în octantul 1, variabilele de stare  $x_n, y_n, \Delta_n$  verifică următoarele inegalități:

$$4y_n + 2 - 4x_n < \Delta_n < 4y_n + 2. \quad (3.12)$$

**Demonstrație.**

Să notăm:

$$S_n = \Delta_n + 4x_n - 4y_n - 2$$

$$T_n = \Delta_n - 4y_n - 2, \quad n = 0, 1, 2, \dots$$

și să demonstrăm prin inducție după  $n$  că  $S_n > 0$  și  $T_n < 0, \forall n \geq 0$ . La inițializare:

$$S_0 = \Delta_0 + 4x_0 - 4y_0 - 2 = 3 - 2R + 4R - 2 = 2R + 1 > 0$$



$$T_0 = \Delta_0 - 4y_0 - 2 = 3 - 2R - 2 = 1 - 2R < 0$$

conform cu (3.11). Să presupunem că  $S_n > 0$ ,  $T_n < 0$  și să evaluăm  $S_{n+1}$  și  $T_{n+1}$ . Din expresiile (3.10), în cazul  $\Delta_n < 0$ , deducem:

$$\Delta_{n+1} = \Delta_n + 4y_{n+1} + 2 \Rightarrow$$

$$S_{n+1} = \Delta_{n+1} + 4x_{n+1} - 4y_{n+1} - 2 =$$

$$= (\Delta_n + 4y_{n+1} + 2) + 4x_{n+1} - 4y_{n+1} - 2 =$$

$$= \Delta_n + 4x_{n+1} = \Delta_n + 4x_n = S_n + 4y_n + 2 > 0;$$

$$T_{n+1} = \Delta_{n+1} - 4y_{n+1} - 2 = (\Delta_n + 4y_{n+1} + 2) - 4y_{n+1} - 2 = \Delta_n < 0.$$

În cazul  $\Delta_n > 0$  deducem:

$$\Delta_{n+1} = \Delta_n - 4x_{n+1} + 4y_{n+1} + 2 \Rightarrow$$

$$S_{n+1} = \Delta_{n+1} + 4x_{n+1} - 4y_{n+1} - 2 = \Delta_n > 0;$$

$$T_{n+1} = \Delta_{n+1} - 4y_{n+1} - 2 = \Delta_n - 4x_{n+1} = T_n + 4y_n + 2 - 4x_{n+1} =$$

$$= T_n - 4x_{n+1} + 4y_{n+1} - 2 < 0,$$

ultima relație rezultând din faptul că  $x_n \geq y_n$  pentru orice punct generat în octantul 1. ■

### 8.3.2. Formule de recurență pentru octanții 2, 3 și 4

Odată rezolvată problema generării cercului în primul octant, pentru trasarea în ceilalți octanți se poate proceda prin simetrie (fig. 8-9).

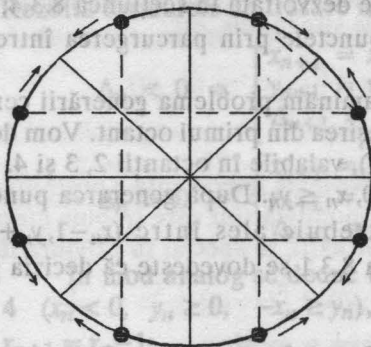


Figura 8-9.

Generarea prin simetrie a  
punctelor cercului din  
octanții 2, 3, ... 8.

Ideea este de a utiliza concomitent 8 perechi de variabile de adresare fizică, câte două coordonate  $x, y$  pentru fiecare octant; pentru fiecare punct generat în octantul 1, se generează și simetricele lui în ceilalți octanți, și pentru fiecare deplasare elementară în octantul 1, calculată pe baza relațiilor (3.10), se efectuează câte o deplasare simetrică în octanții 2, 3, ... 8.

Această abordare a problemei prezintă în practică două dezavantaje importante:

- Sînt necesare prea multe variabile de adresare fizică; în mod normal, setul de registre generale ale procesorului este insuficient pentru toate variabilele. Prin urmare, unele din variabile trebuie stocate în memorie; timpul pierdut pentru accesele repetate la variabilele din memorie nu este compensat de câștigul realizat prin faptul că recurențele de tipul (3.10) sînt calculate numai în octantul 1.
- Există situații cînd ordinea generării punctelor cercului are importanță. De exemplu, dacă trasarea trebuie să se efectueze nu cu linie continuă, ci cu linie întreruptă corespunzînd unui pattern (configurație liniară de biți) predefinit, generarea prin simetrie a punctelor nu permite repetarea circulară a pattern-ului de-a lungul întregului cerc.

În funcție de posibilitățile procesorului și de necesitățile aplicației, alte variante de trasare a cercului pot fi utilizate, cu sau fără generarea prin simetrie a mai multor puncte simultan:

- se calculează pe rînd pozițiile punctelor în octanții 1 și 2 și se generează cîte 4 puncte simultan: punctul din primul cadran împreună cu simetricele lui față de axele  $Ox$ ,  $Oy$  și față de origine (centrul cercului);
- se calculează pe rînd pozițiile punctelor în octanții 1, 2, 3 și 4 și se generează simultan cîte 2 puncte simetrice față de axa  $Ox$ ;
- se calculează pozițiile punctelor succesive în octanții 1, 2, 3 și 4 și se generează simultan cîte 2 puncte simetrice față de centrul cercului. Această variantă este dezvoltată în secțiunea 8.3.4;
- se generează pe rînd toate punctele prin parcurgerea întregului cerc într-un singur sens.

Prin urmare, este necesar să examinăm problema generării cercului în sensul trigonometric direct, după ieșirea din primul octant. Vom deduce relații de recurență analoage cu (3.10), valabile în octanții 2, 3 și 4.

În octantul 2 avem  $x_n \geq 0$ ,  $y_n > 0$ ,  $x_n \leq y_n$ . După generarea punctului  $(x_n, y_n)$  următorul punct generat trebuie ales între  $(x_n-1, y_n+1)$  și  $(x_n-1, y_n)$ . Exact la fel ca în secțiunea 8.3.1 se dovedește că decizia poate fi luată pe baza semnelui cantității:

$$\Delta_n = [(x_n-1)^2 + (y_n+1)^2 - R^2] - [R^2 - (x_n-1)^2 - y_n^2] = 2(x_n-1)^2 + (y_n+1)^2 + y_n^2 - 2R^2. \quad (3.13)$$

Dacă  $\Delta_n < 0$  se alege  $(x_{n+1}, y_{n+1}) = (x_n-1, y_n+1)$ , iar dacă  $\Delta_n > 0$  se alege  $(x_{n+1}, y_{n+1}) = (x_n-1, y_n)$ . Calculînd:

$$\begin{aligned}
 \Delta_{n+1} - \Delta_n &= [2(x_{n+1}-1)^2 + (y_{n+1}+1)^2 + y_{n+1}^2 - 2R^2] - \\
 &\quad - [2(x_n-1)^2 + (y_n+1)^2 + y_n^2 - 2R^2] = \\
 &= 2(x_{n+1}-1)^2 + (y_{n+1}+1)^2 + y_{n+1}^2 - 2x_{n+1}^2 - (y_n+1)^2 - y_n^2 = \\
 &= -4x_{n+1} + 2 + (y_{n+1}+1)^2 + y_{n+1}^2 - (y_n+1)^2 - y_n^2
 \end{aligned}$$

deducem formulele de trasare incrementală a cercului în octantul 2:

$$\begin{aligned}
 \Delta_n < 0 &\Rightarrow \begin{cases} x_{n+1} = x_n - 1 \\ y_{n+1} = y_n + 1 \\ \Delta_{n+1} = \Delta_n - 4x_{n+1} + 4y_{n+1} + 2 \end{cases} \\
 \Delta_n > 0 &\Rightarrow \begin{cases} x_{n+1} = x_n - 1 \\ y_{n+1} = y_n \\ \Delta_{n+1} = \Delta_n - 4x_{n+1} + 2 \end{cases}
 \end{aligned} \quad (3.14)$$

În octantul 3, avem  $x_n \leq 0$ ,  $y_n > 0$ ,  $-x_n \leq y_n$ . După generarea punctului  $(x_n, y_n)$ , punctele candidat sînt  $(x_n-1, y_n)$  și  $(x_n-1, y_n-1)$ . În acest caz, obținem:

$$\begin{aligned}
 \Delta_n &= [(x_n-1)^2 + y_n^2 - R^2] - [R^2 - (x_n-1)^2 - (y_n-1)^2] = \\
 &= 2(x_n-1)^2 + y_n^2 + (y_n-1)^2 - 2R^2 \\
 \Delta_{n+1} - \Delta_n &= 2(x_{n+1}-1)^2 + y_{n+1}^2 + (y_{n+1}-1)^2 - 2(x_n-1)^2 - y_n^2 - (y_n-1)^2 = \\
 &= -4x_{n+1} + 2 + y_{n+1}^2 + (y_{n+1}-1)^2 - y_n^2 - (y_n-1)^2.
 \end{aligned} \quad (3.15)$$

Rezultă formulele de trasare incrementală a cercului în octantul 3:

$$\begin{aligned}
 \Delta_n < 0 &\Rightarrow \begin{cases} x_{n+1} = x_n - 1 \\ y_{n+1} = y_n \\ \Delta_{n+1} = \Delta_n - 4x_{n+1} + 2 \end{cases} \\
 \Delta_n > 0 &\Rightarrow \begin{cases} x_{n+1} = x_n - 1 \\ y_{n+1} = y_n - 1 \\ \Delta_{n+1} = \Delta_n - 4x_{n+1} - 4y_{n+1} + 2 \end{cases}
 \end{aligned} \quad (3.16)$$

În mod analog se deduc formulele de recurență valabile în octantul 4 ( $x_n < 0$ ,  $y_n \geq 0$ ,  $-x_n \geq y_n$ ), în care  $y_{n+1} = y_n - 1$  și  $x_{n+1} = x_n$  sau  $x_{n+1} = x_n - 1$ :

$$\begin{aligned}
 \Delta_n &= [(x_n-1)^2 + (y_n-1)^2 - R^2] - [R^2 - x_n^2 - (y_n-1)^2] = \\
 &= (x_n-1)^2 + x_n^2 + 2(y_n-1)^2 - 2R^2 \\
 \Delta_{n+1} - \Delta_n &= (x_{n+1}-1)^2 + x_{n+1}^2 + 2(y_{n+1}-1)^2 - (x_n-1)^2 - x_n^2 - 2(y_n-1)^2 =
 \end{aligned} \quad (3.17)$$

$$\begin{aligned}
 &= -4y_{n+1} + 2 + (x_{n+1}-1)^2 + x_{n+1}^2 - (x_n-1)^2 - x_n^2 \\
 &\Delta_n < 0 \Rightarrow \begin{cases} x_{n+1} = x_n - 1 \\ y_{n+1} = y_n - 1 \\ \Delta_{n+1} = \Delta_n - 4x_{n+1} - 4y_{n+1} + 2 \end{cases} \\
 &\Delta_n > 0 \Rightarrow \begin{cases} x_{n+1} = x_n \\ y_{n+1} = y_n - 1 \\ \Delta_{n+1} = \Delta_n - 4y_{n+1} + 2 \end{cases}
 \end{aligned} \quad (3.18)$$

După cum s-a arătat mai înainte, în cazul trasării conturului circular cu linie întreruptă conform unui pattern predefinit, este necesară generarea întregului cerc într-un singur sens. Totuși, nu este necesară deducerea unor formule de recurență speciale pentru octanții 5, 6, 7 și 8. Judecând prin simetrie față de centrul cercului, ajungem la concluzia că se pot utiliza formulele deduse pînă acum, dacă se respectă următoarele condiții:

- Pentru trasarea în octanții 5, 6, 7 și 8 se vor utiliza formulele de recurență valabile, respectiv, pentru octanții 1, 2, 3 și 4.
- Variabilele de stare  $(x_n, y_n, \Delta_n)$  se reinițializează la intrarea în octantul 5, la fel ca în octantul 1:  $x_0 = R, y_0 = 0, \Delta_0 = 3 - 2R$ .
- Pentru trecerea de la un octant la altul, se utilizează formulele valabile pentru trecerile între octanții corespunzători din semicercul superior, deduse în secțiunea următoare 8.3.3.
- Toate deplasările elementare efectuate de algoritm pentru generarea semicercului superior, se înlocuiesc prin deplasări elementare în sens opus pentru trasarea semicercului inferior: deplasare în jos în loc de în sus, spre dreapta-jos în loc de stînga-sus, etc.

### 8.3.3. Chestiuni de frontieră

În această secțiune vom analiza problema importantă a posibilităților de trecere dintr-un octant în altul și a modificărilor care trebuie efectuate asupra variabilelor de stare în aceste situații, în special în privința lui  $\Delta_n$ .

#### 8.3.3.1. Traversarea primei bisectoare a axelor

Traversarea primei bisectoare a axelor poate avea loc în trei moduri, analizate mai jos. În toate cazurile, notăm cu  $A = (x_n, y_n)$  ultimul punct generat în interiorul octantului 1 și cu  $B = (x_{n+1}, y_{n+1})$  primul punct din octantul 2 sau de pe bisectoare.



### 8.3.3.1.1. Intrarea în octantul 2 prin generarea unui punct pe bisectoare.

În situația din fig. 8-10, ultima deplasare din octantul 1 este diagonală și primul punct generat în octantul 2 este pe bisectoare.

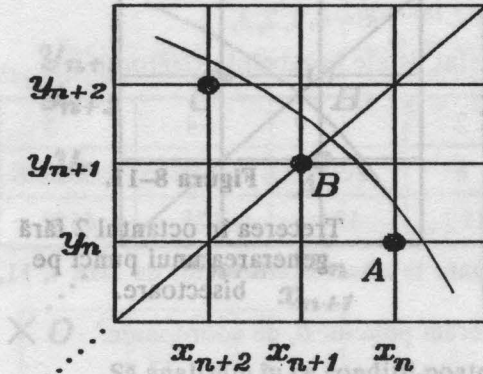


Figura 8-10.

Intrarea în octantul 2 prin generarea unui punct pe bisectoare.

Prin urmare, acest caz survine atunci când coordonatele punctului care trebuie generat devin egale:  $x_{n+1} = y_{n+1}$ . Pentru a inițializa variabila  $\Delta_{n+1}$  corespunzătoare acestui punct, în octantul 2, avem de calculat:

$$\begin{aligned}\Delta_{n+1} &= 2(x_{n+1}-1)^2 + (y_{n+1}+1)^2 + y_{n+1}^2 - 2R^2 = \\ &= 2(x_{n+1}-1)^2 + (x_{n+1}+1)^2 + x_{n+1}^2 - 2R^2 = 4x_{n+1}^2 - 2x_{n+1} + 3 - 2R^2\end{aligned}\quad (3.19)$$

conform cu formula (3.13). Numărul  $x_{n+1}$  este cunoscut, deoarece punctul A, de coordonate:

$$(x_n, y_n) = (x_{n+1}+1, y_{n+1}-1) = (x_{n+1}+1, x_{n+1}-1)$$

a fost deja generat în octantul 1. Prin urmare, este posibil să inițializăm  $\Delta_{n+1}$  folosind (3.19). Totuși, această formulă este relativ complicată și este de dorit să fie evitate înmulțirile. Să examinăm valoarea  $\Delta_n$ , corespunzătoare punctului A =  $(x_n, y_n)$  din octantul 1. În conformitate cu (3.8) avem:

$$\begin{aligned}\Delta_n &= x_n^2 + (x_n-1)^2 + 2(y_n+1)^2 - 2R^2 = \\ &= (x_{n+1}+1)^2 + x_{n+1}^2 + 2x_{n+1}^2 - 2R^2 = 4x_{n+1}^2 + 2x_{n+1} + 1 - 2R^2.\end{aligned}\quad (3.20)$$

Comparînd (3.19) cu (3.20), deducem formulele de intrare în octantul 2, corespunzătoare cazului din fig. 8-15:

$$\begin{aligned}x_{n+1} &= y_{n+1} \\ (\text{după deplasare diagonală}) &\Rightarrow \Delta_{n+1} = \Delta_n - 4x_{n+1} + 2.\end{aligned}\quad (3.21)$$

### 8.3.3.1.2. Trecerea în octantul 2 fără generarea unui punct pe bisectoare.

În situația exemplificată în fig. 8-11, ultima deplasare din octantul 1 este diagonală și primul punct generat în octantul 2 este în interiorul acestuia.

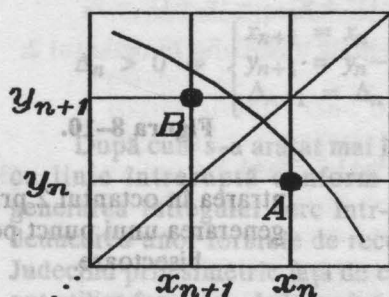


Figura 8-11.

Trecerea în octantul 2 fără generarea unui punct pe bisectoare.

Scriind și în acest caz coordonatele ambelor puncte în funcție de  $x_{n+1}$ , obținem:

$$(x_n, y_n) = (x_{n+1}+1, x_{n+1}), (x_{n+1}, y_{n+1}) = (x_{n+1}, x_{n+1}+1).$$

Prin urmare, traversarea bisectoarei ca în fig. 8-11 are loc când se îndeplinește condiția  $x_{n+1} < y_{n+1}$  (în interiorul octantului 1 avem întotdeauna  $x_n > y_n$ ).

În primul octant avem:

$$\Delta_n = x_n^2 + (x_n-1)^2 + 2(y_{n+1})^2 - 2R^2 = \quad (3.22)$$

$$= (x_{n+1}+1)^2 + x_{n+1}^2 + 2(x_{n+1}+1)^2 - 2R^2 = 4x_{n+1}^2 + 6x_{n+1} + 3 - 2R^2.$$

În al doilea octant avem:

$$\Delta_{n+1} = 2(x_{n+1}-1)^2 + (y_{n+1}+1)^2 + y_{n+1}^2 - 2R^2 = \quad (3.23)$$

$$= 2(x_{n+1}-1)^2 + (x_{n+1}+2)^2 + (x_{n+1}+1)^2 - 2R^2 =$$

$$= 4x_{n+1}^2 + 2x_{n+1} + 7 - 2R^2.$$

Din (3.22) și (3.23) deducem formulele de trecere în octantul 2, corespunzătoare traversării primei bisectoare ca în fig. 8-11:

$$x_{n+1} < y_{n+1} \Rightarrow \Delta_{n+1} = \Delta_n - 4x_{n+1} + 4. \quad (3.24)$$

### 8.3.3.1.3. Intrarea în octantul 2 printr-o deplasare pe verticală.

Deși pare surprinzător la prima vedere, este posibil ca ultima deplasare în octantul 1 să fie pe verticală, ajungându-se la un punct  $B$  pe bisectoare (fig. 8-12).

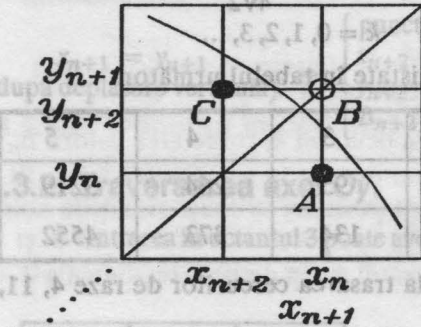


Figura 8-12.

Intrarea în octantul 2 printr-o deplasare pe verticală.

Să analizăm în ce condiții poate apare această situație. Coordonatele punctului  $A$  sînt  $(x_n, y_n) = (x_n, x_n - 1)$ . Deoarece ultima deplasare din octantul 1 este pe verticală, înseamnă că în punctul  $A$  avem  $\Delta_n < 0$  (în conformitate cu (3.10)), prin urmare:

$$\begin{aligned} \Delta_n &= x_n^2 + (x_n - 1)^2 + 2(y_n + 1)^2 - 2R^2 = \\ &= x_n^2 + (x_n - 1)^2 + 2x_n^2 - 2R^2 = 4x_n^2 - 2x_n + 1 - 2R^2 < 0. \end{aligned} \quad (3.25)$$

Aplicînd prima inegalitate (3.12) pentru punctul  $A$  din fig. 8-12, obținem:

$$\Delta_n > 4y_n + 2 - 4x_n = 4(x_n - 1) + 2 - 4x_n = -2. \quad (3.26)$$

Ținînd seama de faptul că  $\Delta_n$  este un număr întreg, inegalitățile simultane (3.25) și (3.26) implică, în punctul  $A$ :

$$\Delta_n = -1 \Rightarrow 4x_n^2 - 2x_n + 2 - 2R^2 = 0; \quad (3.27)$$

$$2x_n^2 - x_n + 1 - R^2 = 0.$$

Prin urmare, situația exemplificată în fig. 8-12 poate apare numai dacă ecuația diofantică:

$$2x^2 - x + 1 - R^2 = 0 \quad (3.28)$$

are soluții în numere întregi. Ar fi avantajos ca această ecuație să nu aibă soluții, deoarece în acest caz, în algoritmul de trasare, testul de ieșire din octantul 1 nu ar fi necesar după o deplasare pe verticală (ci numai după o deplasare diagonală, ca în fig. 8-10 și fig. 8-11). Totuși, se dovedește că ecuația (3.28) are soluții în numere întregi, și anume o infinitate; forma generală a soluțiilor este:

$$x_k = \frac{(3+2\sqrt{2})^k - (3-2\sqrt{2})^k}{2\sqrt{2}} + (-1)^{k+1} \frac{(3+2\sqrt{2})^k + (3-2\sqrt{2})^k}{8} + \frac{1}{4}$$

$$R_k = \frac{(3+2\sqrt{2})^k + (3-2\sqrt{2})^k}{2} + (-1)^{k+1} \frac{(3+2\sqrt{2})^k - (3-2\sqrt{2})^k}{4\sqrt{2}},$$

$$k = 0, 1, 2, 3, \dots$$

Primele 6 perechi de soluții sînt listate în tabelul următor.

$k =$	0	1	2	3	4	5
$x_k =$	0	3	8	95	264	3219
$R_k =$	1	4	11	134	373	4552

Deci situația din fig. 8-12 apare la trasarea cercurilor de raze 4, 11, 134, 373, etc.

Să presupunem acum că generăm punctul  $B$ , de coordonate:

$(x_{n+1}, y_{n+1}) = (x_n, y_{n+1}) = (x_n, x_n)$   
conform evoluției algoritmului în octantul 1. Următoarea deplasare elementară se calculează în octantul 2, pe baza formulelor (3.13) și (3.14) aplicate punctului  $(x_{n+1}, y_{n+1})$ :

$$\Delta_{n+1} = 2(x_{n+1}-1)^2 + (y_{n+1}+1)^2 + y_{n+1}^2 - 2R^2 =$$

$$= 2(x_n-1)^2 + (x_n+1)^2 + x_n^2 - 2R^2 = 4x_n^2 - 2x_n + 3 - 2R^2.$$

Din (3.27) deducem  $\Delta_{n+1} = 1 > 0$ , deci, cum era de așteptat de altfel, prima deplasare în octantul 2 este orizontală și următorul punct generat trebuie să fie  $C$  (fig. 8-12). Dar succesiunea de 3 puncte  $A, B, C$  nu îndeplinește condiția de conexiune discretă precizată în secțiunea 8.1; este clar că punctul  $B$  nu este necesar.

Prin urmare, după generarea punctului  $A = (x_n, x_n-1)$ , următorul punct generat de algoritm trebuie să fie  $C$ , ale cărui coordonate le notăm  $(x_{n+2}, y_{n+2})$ . Din fig. 8-12 rezultă:

$$(x_{n+2}, y_{n+2}) = (x_n-1, y_n+1) = (x_n-1, x_n) = (x_{n+2}, x_{n+2}+1).$$

În octantul 2, pentru punctul  $C$  putem scrie:

$$\Delta_{n+2} = 2(x_{n+2}-1)^2 + (y_{n+2}+1)^2 + y_{n+2}^2 - 2R^2 =$$

$$= 2(x_n-2)^2 + (x_n+1)^2 + x_n^2 - 2R^2 =$$

$$= 4x_n^2 - 6x_n + 9 - 2R^2 = \Delta_n - 4x_n + 8 = -1 - 4x_{n+2} + 4$$

(am folosit relațiile (3.25) și (3.27)).



În concluzie, dacă după o deplasare pe verticală algoritmul detectează atingerea primei bisectoare ( $x_{n+1} = y_{n+1}$ ), atunci punctul ( $x_{n+1}, y_{n+1}$ ) nu trebuie generat și trebuie să se treacă direct la punctul ( $x_{n+2}, y_{n+2}$ ) în interiorul octantului 2, prin formulele de trecere:

$$\begin{aligned} x_{n+1} = y_{n+1} \quad (\text{după deplasare verticală}) \Rightarrow \begin{cases} \text{punctul } (x_{n+1}, y_{n+1}) \text{ nu este generat} \\ x_{n+2} = x_{n+1} - 1 = x_n - 1 \\ y_{n+2} = y_{n+1} = y_n + 1 \\ \Delta_{n+2} = \Delta_n - 4x_{n+2} + 4 = -1 - 4x_{n+2} + 4. \end{cases} \quad (3.29) \end{aligned}$$

### 8.3.3.2. Traversarea axei Oy.

Intrarea în octantul 3 poate avea loc într-un singur mod, descris în fig. 8-13.

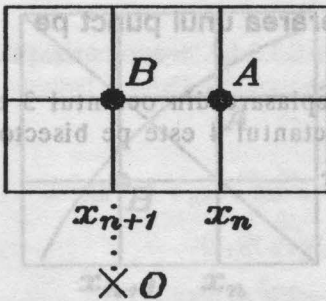


Figura 8-13.

Traversarea axei Oy.

Ultimul punct  $A$  generat în octantul 2 are coordonatele  $(x_n, y_n) = (1, R)$  pentru toate cercurile de rază  $R \geq 2$ . Conform formulei (3.13), în punctul  $A$  putem scrie:

$$\begin{aligned} \Delta_n &= 2(x_n - 1)^2 + (y_n + 1)^2 + y_n^2 - 2R^2 = \\ &= 2(1 - 1)^2 + (R + 1)^2 + R^2 - 2R^2 = 2R + 1. \end{aligned}$$

Primul punct generat în octantul 3 este  $B$  de coordonate  $(x_{n+1}, y_{n+1}) = (0, R)$ . Din relația (3.15) deducem:

$$\begin{aligned} \Delta_{n+1} &= 2(x_{n+1} - 1)^2 + y_{n+1}^2 + (y_{n+1} - 1)^2 - 2R^2 = \\ &= 2(0 - 1)^2 + R^2 + (R - 1)^2 - 2R^2 = \\ &= 3 - 2R. \end{aligned}$$

Evident, intrarea în octantul 3 este detectată prin condiția  $x_{n+1} = 0$  pentru punctul care trebuie generat. Prin urmare, formula de trecere din octantul 2 în octantul 3 este:

$$x_{n+1} = 0 \Rightarrow \Delta_{n+1} = 3 - 2R = 4 - \Delta_n. \quad (3.30)$$

Ultima deplasare elementară în octantul 2 nu poate fi diagonală, pentru  $R \geq 2$ ; într-adevăr, punctul  $(1, R-1)$ , de unde pornește această deplasare diagonală, nu este generat de algoritm deoarece este mai depărtat de cercul ideal decât punctul  $(1, R)$ . Prin urmare, testul de ieșire din octantul 2 ( $x_{n+1} : 0$ ) nu este necesar după o deplasare diagonală, ci numai după o deplasare orizontală.

### 8.3.3.3. Trecerea din octantul 3 în octantul 4

Pentru trecerea din octantul 3 în octantul 4, corectarea valorii  $\Delta_n$  se face prin relații asemănătoare cu cele deduse în secțiunea 8.3.3.1. Și în acest caz trebuie analizate trei situații posibile; în toate situațiile notăm cu  $A = (x_n, y_n)$  ultimul punct generat în interiorul octantului 3 și cu  $B = (x_{n+1}, y_{n+1})$  primul punct din octantul 4 sau de pe bisectoarea a 2-a.

#### 8.3.3.3.1. Intrarea în octantul 4 prin generarea unui punct pe bisectoare

În situația din fig. 8-14, ultima deplasare din octantul 3 este diagonală și primul punct generat în octantul 4 este pe bisectoare ( $-x_{n+1} = y_{n+1}$ ).

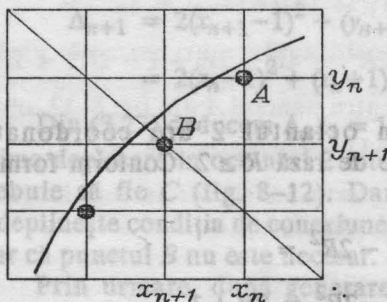


Figura 8-14.

Intrarea în octantul 4 prin generarea unui punct pe bisectoare.

Pentru punctul  $A$  în octantul 3, din relația (3.15) obținem:

$$\begin{aligned} \Delta_n &= 2(x_n - 1)^2 + y_n^2 + (y_n - 1)^2 - 2R^2 = \\ &= 2x_{n+1}^2 + (y_{n+1} + 1)^2 + y_{n+1}^2 - 2R^2 = \\ &= 2y_{n+1}^2 + (y_{n+1} + 1)^2 + y_{n+1}^2 - 2R^2 = 4y_{n+1}^2 + 2y_{n+1} + 1 - 2R^2. \end{aligned}$$

Pentru punctul  $B$  în octantul 4, din relația (3.17) rezultă:

$$\Delta_{n+1} = (x_{n+1} - 1)^2 + x_{n+1}^2 + 2(y_{n+1} - 1)^2 - 2R^2 =$$

$$\begin{aligned}
 &= (-y_{n+1}-1)^2 + y_{n+1}^2 + 2(y_{n+1}-1)^2 - 2R^2 = \\
 &= 4y_{n+1}^2 - 2y_{n+1} + 3 - 2R^2.
 \end{aligned}$$

Prin urmare, formulele de intrare în octantul 4, în această situație, sînt următoarele:

$$\begin{aligned}
 &-x_{n+1} = y_{n+1} \\
 &(\text{după deplasare diagonală}) \Rightarrow \Delta_{n+1} = \Delta_n - 4y_{n+1} + 2. \quad (3.31)
 \end{aligned}$$

### 8.3.3.3.2. Trecerea în octantul 4 fără generarea unui punct pe bisectoare

Altă posibilitate este exemplificată în fig. 8-15: ultima deplasare din octantul 3 este diagonală și primul punct generat în octantul 4 este în interiorul acestuia ( $-x_{n+1} = y_{n+1} + 1 > y_{n+1}$ ).

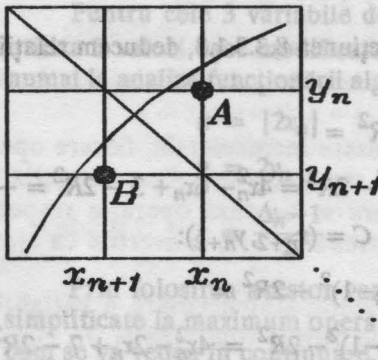


Figura 8-15.

Trecerea în octantul 4 fără generarea unui punct pe bisectoare.

Din relațiile (3.15) și (3.17) deducem succesiv:

$$\begin{aligned}
 \Delta_n &= 2(x_n-1)^2 + y_n^2 + (y_n-1)^2 - 2R^2 = \\
 &= 2x_n^2 + (y_{n+1}+1)^2 + y_{n+1}^2 - 2R^2 = \\
 &= 2(y_{n+1}+1)^2 + (y_{n+1}+1)^2 + y_{n+1}^2 - 2R^2 = \\
 &= 4y_{n+1}^2 + 6y_{n+1} + 3 - 2R^2; \\
 \Delta_{n+1} &= (x_{n+1}-1)^2 + x_{n+1}^2 + 2(y_{n+1}-1)^2 - 2R^2 = \\
 &= (-y_{n+1}-2)^2 + (-y_{n+1}-1)^2 + 2(y_{n+1}-1)^2 - 2R^2 = \\
 &= 4y_{n+1}^2 + 2y_{n+1} + 7 - 2R^2.
 \end{aligned}$$

În acest caz, formulele de trecere din octantul 3 în octantul 4 sînt:

$$-x_{n+1} > y_{n+1} \Rightarrow \Delta_{n+1} = \Delta_n - 4y_{n+1} + 4. \quad (3.32)$$

### 8.3.3.3.3. Intrarea în octantul 4 printr-o deplasare orizontală

La fel ca în primul cadran, este posibil ca ultima deplasare din octantul 3 să fie orizontală, ajungându-se la un punct  $B$  pe bisectoare (fig. 8-16).

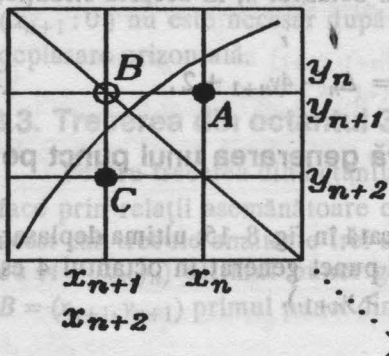


Figura 8-16.

Intrarea în octantul 4 printr-o deplasare pe orizontală.

În acest caz, procedînd analog ca în secțiunea 8.3.3.1.3, deducem relațiile:

- în octantul 3:

$$\begin{aligned}\Delta_n &= 2(x_n-1)^2 + y_n^2 + (y_n-1)^2 - 2R^2 = \\ &= 2(x_n-1)^2 + (-x_n+1)^2 + (-x_n)^2 - 2R^2 = 4x_n^2 - 6x_n + 3 - 2R^2 = -1.\end{aligned}$$

- în octantul 4, pentru punctul  $C = (x_{n+2}, y_{n+2})$ :

$$\begin{aligned}\Delta_{n+2} &= (x_{n+2}-1)^2 + x_{n+2}^2 + 2(y_{n+2}-1)^2 - 2R^2 = \\ &= (x_n-2)^2 + (x_n-1)^2 + 2(-x_n-1)^2 - 2R^2 = 4x_n^2 - 2x_n + 7 - 2R^2 = \\ &= \Delta_n + 4x_n + 4 = -1 - 4y_{n+2} + 4.\end{aligned}$$

Dacă în octantul 3 algoritmul detectează atingerea bisectoarei a doua ( $-x_{n+1} = y_{n+1}$ ) după o deplasare orizontală, atunci punctul  $(x_{n+1}, y_{n+1})$  nu trebuie generat și trebuie să se treacă direct la punctul  $(x_{n+2}, y_{n+2})$  în interiorul octantului 4, prin formulele de trecere:

$$\begin{aligned}(-x_{n+1} = y_{n+1}) \quad (\text{după deplasare orizontală}) \Rightarrow \begin{cases} \text{punctul } (x_{n+1}, y_{n+1}) \text{ nu este generat} \\ x_{n+2} = x_{n+1} = x_n - 1 \\ y_{n+2} = y_{n+1} - 1 = y_n - 1 \\ \Delta_{n+2} = \Delta_n - 4y_{n+2} + 4 = -1 - 4y_{n+2} + 4. \end{cases} \quad (3.33)\end{aligned}$$

### 8.3.4. Descrierea algoritmului de generare incrementală a cercurilor

Vom prezenta în continuare algoritmul de trasare incrementală a cercurilor, în varianta generării a două puncte simultan, prin simetrie față



de centrul cercului (fig. 8-17). Algoritmul se bazează pe relațiile de recurență deduse în secțiunile anterioare.

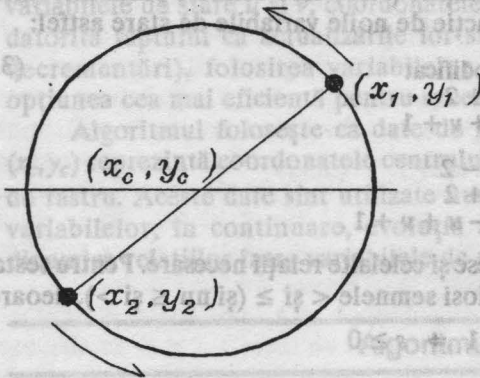


Figura 8-17.

Trasarea cercului prin generarea simultană a două puncte diametral opuse.

Pentru cele 3 variabile de stare, în locul mărimilor  $(x_n, y_n, \Delta_n)$  vom utiliza 3 valori ușor modificate. Vom renunța la indicele  $n$ , care a folosit numai la analiza funcționării algoritmului, și vom defini variabilele de stare:

$$u = |2x_n| \quad (3.34)$$

$$v = 2y_n$$

$$s = \frac{\Delta_n - 1}{2}$$

Prin folosirea acestor variabile, care sînt tot numere întregi, vor fi simplificate la maximum operațiile aritmetice efectuate de algoritm, după cum se va vedea în continuare.

Introducerea variabilei  $s$  este posibilă deoarece mărimea  $\Delta_n$  este un număr întreg impar, după cum rezultă din relațiile de definiție în primii 4 octanți (3.8), (3.13), (3.15) și (3.17).

Domeniul de variație al variabilelor  $u$  și  $v$  rezultă imediat din relațiile de definiție (3.34): ambele iau valori pare pozitive, cuprinse între 0 și  $2R$ . Pentru a evalua domeniul de variație al lui  $s$ , folosim inegalitățile (3.12). Din aceste două relații, precum și din inegalitățile  $R\sqrt{2}/2 < x_n \leq R$ ,  $0 \leq y_n < R\sqrt{2}/2$  valabile în octantul 1, deducem:

$$\begin{aligned} 4y_n + 2 - 4x_n < \Delta_n < 4y_n + 2 &\Rightarrow -4R + 2 < \Delta_n < 4R + 2 \Rightarrow \\ &\Rightarrow -2R < s \leq 2R \end{aligned} \quad (3.35)$$

pentru toate punctele generate în octantul 1. De fapt, se poate arăta că inegalitatea (3.35) este general valabilă pentru toate punctele generate.

Prin urmare, variabilele de stare  $u$ ,  $v$  și  $s$  pot fi reprezentate în memorie pe 16 biți, iar dacă raza cercurilor care se trasează este cel mult de 64 unități de rastru, 8 biți sînt suficienți pentru fiecare variabilă.

Prin introducerea variabilelor de stare  $u$ ,  $v$  și  $s$  definite ca în (3.34), relațiile de recurență pe care se bazează funcționarea algoritmului iau forma cea mai simplă. De exemplu, relațiile (3.10) care definesc pasul incremental în octantul 1, se rescriu în funcție de noile variabile de stare astfel:

$$\begin{aligned} s < 0 &\Rightarrow \begin{cases} u \text{ nemodificat} \\ v \leftarrow v + 2 \\ s \leftarrow s + v + 1 \end{cases} \\ s \geq 0 &\Rightarrow \begin{cases} u \leftarrow u - 2 \\ v \leftarrow v + 2 \\ s \leftarrow s - u + v + 1. \end{cases} \end{aligned} \quad (3.36)$$

În mod analog se convertesc și celelalte relații necesare. Pentru testarea semnului variabilei  $s$  se vor folosi semnele  $<$  și  $\geq$  (și nu  $\leq$  și  $>$ ), deoarece:

$$\Delta_n > 0 \Rightarrow \Delta_n \geq 1 \Rightarrow s \geq 0$$

$$\Delta_n < 0 \Rightarrow \Delta_n \leq -1 \Rightarrow s \leq -1 \Rightarrow s < 0$$

conform definiției lui  $s$  din (3.34). Deoarece  $x_n$  este negativ în octanții 3 și 4, semnul variabilei  $u$  va fi inversat față de cel al lui  $x_n$  în formulele referitoare la această parte a cercului.

În descrierea algoritmului de trasare incrementală, fiecare operație în care este implicată o variabilă de stare  $u$ ,  $v$  sau  $s$  este însoțită de o referință la formula teoretică pe care se bazează operația respectivă. Evident, formulele teoretice referite trebuie să fie convertite cu ajutorul ecuațiilor de legătură (3.34).

În plus față de variabilele de stare, sînt necesare 4 variabile de adresare fizică în spațiul de afișare, pe care le vom nota  $x_1, y_1, x_2, y_2$  (fig. 8-17).  $(x_1, y_1)$  reprezintă adresa fizică a punctului curent generat în semicercul superior, iar  $(x_2, y_2)$  este adresa fizică a punctului diametral opus, generat concomitent. Fiecare deplasare elementară efectuată în cursul execuției algoritmului este reflectată prin modificarea corespunzătoare a variabilelor  $(x_1, y_1)$  și  $(x_2, y_2)$ , adică prin deplasarea fizică la un pixel alăturat în spațiul de afișare. De exemplu, deplasarea spre stînga-sus în octantul 1 apare în algoritm sub forma:

$$\begin{aligned} u &\leftarrow u - 2, v \leftarrow v + 2; \\ x_1 &\leftarrow x_1 - 1, y_1 \leftarrow y_1 + 1; \\ x_2 &\leftarrow x_2 + 1, y_2 \leftarrow y_2 - 1. \end{aligned}$$

Deplasarea elementară spre stînga în octantul 3 apare sub forma:

$$\begin{aligned} u &\leftarrow u + 2; \\ x_1 &\leftarrow x_1 - 1; \\ x_2 &\leftarrow x_2 + 1 \end{aligned}$$

deoarece  $u$  evoluează în sens invers, datorită schimbării de semn.

De fapt, variabilele de adresare  $x_1, y_1, x_2, y_2$  sînt oarecum redundante, în sensul că valorile lor pot fi calculate în orice moment în funcție de variabilele de stare  $u$  și  $v$ , coordonatele centrului cercului și rază. Totuși, datorită faptului că actualizările lor sînt foarte simple (incrementări și decrementări), folosirea variabilelor de adresare fizică se impune ca opțiunea cea mai eficientă pentru execuție.

Algoritmul folosește ca date de intrare 3 numere întregi pozitive:  $(x_c, y_c)$  reprezintă coordonatele centrului, iar  $R$  este raza cercului în unități de rastru. Aceste date sînt utilizate numai în Pasul 1 pentru inițializarea variabilelor; în continuare, evoluția algoritmului depinde exclusiv de dinamica relațiilor între variabilele de stare.

### Algoritmul C2

Generarea incrementală a unui cerc de centru  $(x_c, y_c)$  și rază  $R \geq 2$ .

Pasul 1: Inițializări:  $x_1 \leftarrow x_c + R, y_1 \leftarrow y_c, x_2 \leftarrow x_c - R, y_2 \leftarrow y_c$ ;

$u \leftarrow 2R, v \leftarrow 0, s \leftarrow 1 - R$ ; (3.11)

call plot  $(x_1, y_1)$ ;

call plot  $(x_2, y_2)$ .

Pasul 2:  $y_1 \leftarrow y_1 + 1$ ;

$y_2 \leftarrow y_2 - 1$ ;

$v \leftarrow v + 2$ ; (3.10), (3.36)

dacă  $u = v$ , salt la Pasul 9. (3.29)

Pasul 3: call plot  $(x_1, y_1)$ ;

call plot  $(x_2, y_2)$ ;

$s \leftarrow s + v + 1$ ; (3.10), (3.36)

dacă  $s < 0$ , salt la Pasul 2. (3.10), (3.36)

Pasul 4:  $x_1 \leftarrow x_1 - 1, y_1 \leftarrow y_1 + 1$ ;

$x_2 \leftarrow x_2 + 1, y_2 \leftarrow y_2 - 1$ ;

$u \leftarrow u - 2, v \leftarrow v + 2, s \leftarrow s - u$ ; (3.10), (3.36)

dacă  $u > v$ , salt la Pasul 3.

Pasul 5: Dacă  $u = v$ , salt la Pasul 8; (3.21)

$s \leftarrow s + 1$ ; (3.24)

salt la Pasul 8.

Pasul 6:  $x_1 \leftarrow x_1 - 1, y_1 \leftarrow y_1 + 1$ ;

$x_2 \leftarrow x_2 + 1, y_2 \leftarrow y_2 - 1$ ;

$u \leftarrow u - 2, v \leftarrow v + 2, s \leftarrow s + v$ . (3.14)

Pasul 7:  $s \leftarrow s - u$ . (3.14)

Pasul 8:  $\text{call plot}(x_1, y_1); \text{call plot}(x_2, y_2)$ .

Pasul 9:  $s \leftarrow s + 1;$  (3.14)

dacă  $s < 0$ , salt la Pasul 6. (3.14)

Pasul 10:  $x_1 \leftarrow x_1 - 1;$

$x_2 \leftarrow x_2 + 1;$

$u \leftarrow u - 2;$  (3.14)

dacă  $u \neq 0$ , salt la Pasul 7. (3.30)

Pasul 11:  $\text{call plot}(x_1, y_1);$

$\text{call plot}(x_2, y_2);$

$s \leftarrow 1 - s.$  (3.30)

Pasul 12:  $x_1 \leftarrow x_1 - 1;$

$x_2 \leftarrow x_2 + 1;$

$u \leftarrow u + 2;$  (3.16)

dacă  $u = v$ , salt la Pasul 19. (3.33)

Pasul 13:  $\text{call plot}(x_1, y_1);$

$\text{call plot}(x_2, y_2);$

$s \leftarrow s + u + 1;$  (3.16)

dacă  $s < 0$ , salt la Pasul 12. (3.16)

Pasul 14:  $x_1 \leftarrow x_1 - 1, y_1 \leftarrow y_1 - 1;$

$x_2 \leftarrow x_2 + 1, y_2 \leftarrow y_2 + 1;$

$u \leftarrow u + 2, v \leftarrow v - 2, s \leftarrow s - v;$  (3.16)

dacă  $u < v$ , salt la Pasul 13.

Pasul 15: Dacă  $u = v$ , salt la Pasul 18; (3.31)

$s \leftarrow s + 1;$  (3.32)

salt la Pasul 18.

Pasul 16:  $x_1 \leftarrow x_1 - 1, y_1 \leftarrow y_1 - 1;$

$x_2 \leftarrow x_2 + 1, y_2 \leftarrow y_2 + 1;$

$u \leftarrow u + 2, v \leftarrow v - 2, s \leftarrow s + u.$  (3.18)

Pasul 17:  $s \leftarrow s - v.$  (3.18)

Pasul 18:  $\text{call plot}(x_1, y_1); \text{call plot}(x_2, y_2).$

Pasul 19:  $s \leftarrow s + 1;$  (3.18)

dacă  $s < 0$ , salt la Pasul 16. (3.18)

Pasul 20:  $y_1 \leftarrow y_1 - 1;$

$y_2 \leftarrow y_2 + 1;$

$v \leftarrow v - 2;$  (3.18)

dacă  $v \neq 0$ , salt la Pasul 17.

Pasul 21: Stop.



Algoritmul C2 funcționează în 4 faze succesive, alcătuite respectiv din pașii 2-4, 6-10, 12-14 și 16-20, care generează punctele cercului în octanții 1+5, 2+6, 3+7 și 4+8. Pasul 1 este de inițializare, iar în pașii 5, 11 și 15 se execută operații de legătură între faze.

În comparație cu algoritmul de principiu C1, algoritmul C2 prezintă câteva modificări în ceea ce privește ordinea operațiilor, menite să simplifice și să mărească eficiența algoritmului. Astfel, punctele de intersecție ale cercului cu axele sînt generate în afara buclelor principale de execuție: punctele  $(R, 0)$  și  $(-R, 0)$  sînt generate în Pasul 1, iar punctele  $(0, R)$  și  $(0, -R)$  în Pasul 11. Aceasta permite organizarea corectă și eficientă a principalelor faze de execuție.

Primul test asupra variabilei  $s$ , prezent în algoritmul C1, nu mai este efectuat în algoritmul C2, deoarece la inițializare  $s = 1 - R < 0$  pentru cercurile cu  $R \geq 2$ . Cercul de rază 1 nu poate fi generat de algoritmul C2 deoarece succesiunea de puncte  $(1, 0)$ ,  $(0, 1)$ ,  $(-1, 0)$ ,  $(0, -1)$  nu îndeplinește condiția de conexiune discretă (secțiunea 8.1).

Fiecare fază a algoritmului conține două bucle principale, corespunzătoare celor două tipuri de deplasări elementare efectuate la generarea punctelor într-un octant: o deplasare paralelă cu una din axe, respectiv o deplasare diagonală. În general, s-a urmărit ca operațiile comune care trebuiesc efectuate pentru cele două deplasări elementare să apară o singură dată în algoritm, într-o parte comună a celor două bucle principale. De exemplu, pentru trasarea în octantul 1 există două bucle, alcătuite respectiv din pașii 2, 3 și 3, 4; în Pasul 2 sînt incluse operațiile referitoare numai la deplasarea în sus, în Pasul 4 operațiile referitoare numai la deplasarea în diagonală, iar Pasul 3 conține operațiile care pot fi efectuate în comun: generarea efectivă a punctului și adăugarea la  $s$  a cantității  $v+1$ , conform cu (3.36). Operația  $v \leftarrow v+2$  trebuie să fie efectuată separat în fiecare buclă, datorită faptului că testul  $u : v$  din Pasul 2 este necesar în situațiile de excepție prezentate în secțiunea 8.3.3.1.3.

Posibilitatea efectuării saltului din Pasul 2 la Pasul 9, în momentul cînd  $u = v$ , se bazează explicit pe relația  $\Delta_n = -1$  existentă în acel moment, după cum a fost demonstrat în secțiunea 8.3.3.1.3. Prin urmare,  $s = -1$ ,  $s+1 = 0$  și algoritmul alege continuarea corectă printr-o deplasare pe orizontală, fără generarea punctului de pe bisectoare.

### 8.3.5. Generarea cercurilor cu coordonatele centrului și raza semiîntregi

Metoda de generare incrementală expusă în secțiunile precedente prezintă o oarecare lipsă de generalitate, datorită faptului că raza cercului este un număr întreg. În acest caz, diametrul cercului este un număr par de unități de rastru. În practică, poate să fie necesară o metodă de generare

eficientă a cercurilor cu diametre numere întregi oarecare, pentru care două puncte diametral opuse pot fi reprezentate exact în puncte din rastru. Din acest motiv, în această secțiune vom analiza pe scurt problema generării cercurilor centrate în puncte de coordonate semiîntregi și cu raza de asemenea număr semiîntreg:  $x_c = p + 1/2$ ,  $y_c = q + 1/2$ ,  $R = r + 1/2$ , unde  $p$ ,  $q$ ,  $r$  sînt numere întregi pozitive.

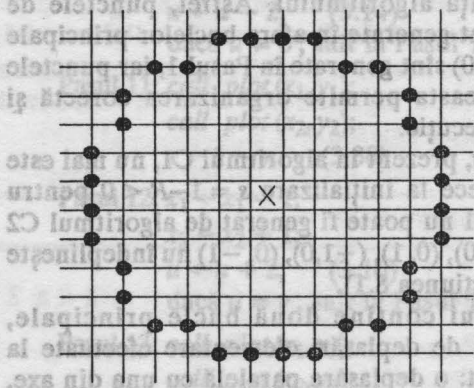


Figura 8-18.

Generarea prin puncte a unui cerc de rază  $5 + 1/2$  centrat într-un punct de coordonate semiîntregi.

Reprezentarea în rastru a unui astfel de cerc (fig. 8-18) prezintă proprietăți de simetrie remarcabile, care sugerează posibilitatea dezvoltării unor algoritmi de generare eficienți, la fel ca pentru cercurile de rază întreagă. Faptul că centrul nu corespunde unui pixel pe ecran nu deranjează, deoarece centrul nu intervine efectiv în procesul de generare; din contră, poziția centrului reprezintă un avantaj, deoarece în acest caz punctele din rastru diametral opuse pe orizontală și verticală sînt foarte aproape de curba ideală.

Evident, vom cerceta în ce măsură rezultatele teoretice obținute în secțiunile 8.3.1, 8.3.2 și 8.3.3 sînt aplicabile în această situație. Reluînd analiza din secțiunea 8.3.1 referitoare la primul octant, vom observa în primul rînd că toate coordonatele punctelor generate  $(x_n, y_n)$ , pe care le vom considera tot relative la centrul cercului, sînt numere semiîntregi.

Prin urmare, vom introduce notația:

$$x_n = p_n + 1/2, y_n = q_n + 1/2, p_n, q_n \text{ întregi.} \quad (3.37)$$

Criteriul general (3.3) de efectuare a pasului incremental rămîne valabil, deoarece nu este influențat de forma numerelor  $x_n, y_n$ . Să examinăm din nou mărimea  $\Delta_n$ , definită în (3.5):

$$\begin{aligned} \Delta_n &= x_n^2 + (x_n - 1)^2 + 2(y_n + 1)^2 - 2R^2 = \\ &= (p_n + 1/2)^2 + (p_n - 1/2)^2 + 2(q_n + 3/2)^2 - 2(r + 1/2)^2 = \\ &= 2p_n^2 + 1/2 + 2q_n^2 + 6q_n + 9/2 - 2r^2 - 2r - 1/2 = \end{aligned}$$

$$= 2(p_n^2 + q_n^2 + 3q_n - r^2 - r + 2) + 1/2.$$

Aspectul important, care va fi util în continuare, este că numerele  $\Delta_n$  sînt de forma  $2k + 1/2$  ( $k$  întreg); vom spune că  $\Delta_n$  sînt numere *pare semiîntregi*. Prin urmare,  $\Delta_n$  nu poate fi nul și avem:

$$\Delta_n > 0 \Rightarrow \Delta_n \geq 1/2 \quad (3.38)$$

$$\Delta_n < 0 \Rightarrow \Delta_n \leq -3/2.$$

La fel ca în secțiunea 8.3.1 se dovedește implicația  $\delta_n \geq 0 \Rightarrow \Delta_n \geq 0$ . În ceea ce privește implicația inversă, demonstrația prezentată în secțiunea 8.3.1 rămîne valabilă pînă la formula (3.7), pe care o reluăm aici:

$$8R^2 [x_n^2 + (x_n - 1)^2 + 2y_{n+1}^2 - 2R^2] = 8R^2 \Delta_n < [x_n^2 - (x_n - 1)^2]^2. \quad (3.39)$$

Nu am folosit pînă acum în demonstrație ipoteza  $\Delta_n \geq 0$ , care în acest caz implică  $\Delta_n \geq 1/2$ , conform cu (3.38). Atunci, din (3.39) rezultă:

$$\begin{aligned} [x_n^2 - (x_n - 1)^2]^2 &> 8R^2 \Delta_n \geq 4R^2 \Rightarrow (2x_n - 1)^2 > 4R^2 \Rightarrow \\ &\Rightarrow 2x_n - 1 > 2R \end{aligned}$$

ceea ce este în contradicție cu condiția evidentă  $x_n \leq R$ . ■

Prin urmare, și în acest caz numerele  $\delta_n$  și  $\Delta_n$  au același semn, ceea ce înseamnă că criteriul (3.10) de efectuare a pasului incremental în octantul 1 rămîne valabil, dacă facem abstracție de faptul că numerele  $x_n$ ,  $y_n$ ,  $\Delta_n$  nu sînt întregi.

În mod asemănător se demonstrează că formulele (3.14), (3.16), (3.18) de trasare incrementală a cercului în octanții 2, 3 și respectiv 4 rămîn valabile.

De asemenea, formulele (3.21), (3.24), (3.29) de trecere din octantul 1 în octantul 2 rămîn valabile, ca și formulele (3.31), (3.32), (3.33) de trecere din octantul 3 în octantul 4. Și în acest caz în procesul de generare incrementală pot apare situații de excepție, analizate în secțiunile 8.3.3.1.3 și 8.3.3.3.3, cînd algoritmul selectează un punct pe bisectoare după o deplasare orizontală sau verticală: de exemplu, pentru generarea cercului de rază  $7 + 1/2$ . Formulele (3.29) și (3.33) asigură o funcționare corectă a algoritmului în aceste situații.

Singurele aspecte care trebuie examinate din nou, deoarece diferă față de rezultatele obținute în secțiunile anterioare, sînt valorile de inițializare a variabilelor  $x_n$ ,  $y_n$ ,  $\Delta_n$  la începutul procesului de generare în octantul 1, și formulele de trecere din octantul 2 în octantul 3.

Evident, primul punct generat în octantul 1 are coordonatele  $(x_0, y_0) = (R, 1/2)$  relative la centrul cercului, iar din formula (3.5) deducem:



$$\Delta_0 = x_0^2 + (x_0 - 1)^2 + 2(y_0 + 1)^2 - 2R^2 = R^2 + (R - 1)^2 + \frac{1}{2} - 2R^2 = \frac{1}{2} - 2R.$$

Prin urmare, inițializarea variabilelor  $x_n, y_n, \Delta_n$  se face după formulele:

$$x_0 = R \quad (3.40)$$

$$y_0 = \frac{1}{2}$$

$$\Delta_0 = \frac{1}{2} - 2R.$$

Formulele de intrare în octantul 3 se pot deduce ușor, dacă ținem seama că ultimul punct generat în octantul 2 este  $(x_n, y_n) = (\frac{1}{2}, R)$ , iar primul punct care trebuie generat în octantul 3 este  $(x_{n+1}, y_{n+1}) = (-\frac{1}{2}, R)$ . În acest caz, din relațiile (3.13) și (3.15) rezultă:

$$\Delta_n = 2(x_n - 1)^2 + (y_n + 1)^2 + y_n^2 - 2R^2 =$$

$$= 2(\frac{1}{2} - 1)^2 + (R + 1)^2 + R^2 - 2R^2 = \frac{3}{2} + 2R$$

$$\Delta_{n+1} = 2(x_{n+1} - 1)^2 + y_{n+1}^2 + (y_{n+1} - 1)^2 - 2R^2 =$$

$$= 2(-\frac{1}{2} - 1)^2 + R^2 + (R - 1)^2 - 2R^2 =$$

$$= \frac{1}{2} - 2R = 7 - \Delta_n.$$

Momentul traversării axei  $Oy$  se detectează cînd se selectează un punct cu abscisă negativă  $x_{n+1} < 0$ . Prin urmare, formulele de trecere din octantul 2 în octantul 3 sînt:

$$x_{n+1} < 0 \Rightarrow \Delta_{n+1} = \frac{1}{2} - 2R = 7 - \Delta_n. \quad (3.41)$$

Pentru dezvoltarea unui algoritm concret de generare incrementală a cercurilor de rază semiîntreagă și centrate în puncte de coordonate semiîntregi, utilizarea directă a variabilelor  $x_n, y_n, \Delta_n$  nu este convenabilă, deoarece acestea nu sînt numere întregi. Vom introduce în acest scop 3 variabile de stare  $u, v$  și  $s$  cu valori întregi, analoge celor folosite în algoritmul C2:

$$u = |2x_n| \quad (3.42)$$

$$v = 2y_n$$

$$s = \frac{\Delta_n - \frac{1}{2}}{2}.$$

În definirea acestor variabile de stare am folosit explicit faptul că numerele  $x_n, y_n$  sînt semiîntregi, iar numerele  $\Delta_n$  sînt pare semiîntregi.

Cu aceste variabile, se obține un algoritm de generare foarte asemănător cu algoritmul C2. După cum rezultă din analiza anterioară,



singurele deosebiri apar în Pasul 1 care conține inițializarea variabilelor, conform cu (3.40), și în pașii 10 și 11 care testează condițiile de trecere din octantul 2 în octantul 3 și execută operațiile necesare, conform cu (3.41). În Pasul 11 trebuie adăugată operația  $u \leftarrow -u$  ( $= 1$ ) prin care se reface condiția corectă  $u = |x_n|$  după intrarea în octantul 3. De asemenea, în Pasul 20, traversarea axei  $Ox$  (= momentul terminării algoritmului) se detectează atunci când variabila  $v$  devine negativă ( $v = -1$ ); conform relațiilor de definiție (3.42), variabilele  $u$  și  $v$  sînt numere impare, deci nu iau niciodată valoarea 0.

În algoritmul de generare C3, descris în continuare, pașii care lipsesc sînt identici cu cei corespunzători din algoritmul C2.

### Algoritmul C3

Generarea incrementală a unui cerc de centru  $(x_c, y_c) = (p+1/2, q+1/2)$  de coordonate semîntregi și de rază semîntreagă  $R = r+1/2 \geq 3+1/2$ .

Pasul 1: Inițializări:  $x_1 \leftarrow x_c + R, y_1 \leftarrow y_c + 1/2, x_2 \leftarrow x_c - R, y_2 \leftarrow y_c - 1/2;$   
 $u \leftarrow 2R, v \leftarrow 1, s \leftarrow 5/2 - R;$  (3.40)

call plot( $x_1, y_1$ );

call plot( $x_2, y_2$ );

... ..

Pasul 10:  $x_1 \leftarrow x_1 - 1;$

$x_2 \leftarrow x_2 + 1;$

$u \leftarrow u - 2;$  (3.14)

dacă  $u > 0$ , salt la Pasul 7. (3.41)

Pasul 11: call plot( $x_1, y_1$ );

call plot( $x_2, y_2$ );

$u \leftarrow 1;$

$s \leftarrow 3 - s.$  (3.41) (3.42)

... ..

Pasul 20:  $y_1 \leftarrow y_1 - 1;$

$y_2 \leftarrow y_2 + 1;$

$v \leftarrow v - 2;$  (3.18)

dacă  $v > 0$ , salt la Pasul 17.

Pasul 21: Stop.

### 8.3.6. Numărul de puncte generate

Cunoașterea numărului de puncte generate de algoritmul de trasare, care poate fi exprimat în funcție de raza cercului, permite deducerea pe

cale experimentală a vitezei de generare pe punct, pentru o implementare dată a algoritmului. Viteza de generare pe punct este un criteriu obiectiv de estimare a performanțelor algoritmului prezentat, în comparație cu alți algoritmi de trasare rulați pe aceeași mașină.

În primul rînd, observăm că algoritmi C2 și C3 generează același număr de puncte în fiecare octant; mai precis, punctele generate în fiecare octant se pot obține din punctele generate în octantul 1, printr-o oglindire față de prima bisectoare și/sau o rotație de  $90^\circ$ ,  $180^\circ$  sau  $270^\circ$ . Se poate demonstra riguros că în octantul 2 se generează, în ordine inversă, simetricele față de prima bisectoare ale punctelor din octantul 1. Intuitiv, acest fapt se justifică astfel:

- curba ideală intersectează rețeaua de orizontale și verticale a rastrului în puncte simetrice față de cele două bisectoare, cele două axe și centrul cercului;
- metoda de generare prezentată asigură în fiecare octant cea mai bună aproximare discretă pentru curba ideală.

Prin urmare, pentru a calcula numărul de puncte  $N(R)$  generate de algoritmul C2 pentru cercul de rază  $R$ , înmulțim cu 8 numărul de puncte generate în octantul 1.

Revenind la analizele din secțiunea 8.3.3, observăm că în situația din fig. 8-10 au fost generate punctele:  $(x_0, y_0)$  pe axa  $Ox$ ,  $(x_1, y_1)$ ,  $(x_2, y_2)$ , ...,  $(x_n, y_n)$  în interiorul octantului 1, iar punctul  $(x_{n+1}, y_{n+1})$  este pe bisectoare. Prin urmare, pentru tot cercul vor fi generate  $8n + 8$  puncte. Rămîne de găsit relația dintre  $n$  și  $R$  în situația din fig. 8-10.

Deoarece în octantul 1 fiecare deplasare elementară are o componentă verticală, este clar că  $y_n = n$  pentru orice punct generat. Rezultă că punctul  $A$  din fig. 8-10 are coordonatele:

$$(x_n, y_n) = (y_{n+2}, y_n) = (n+2, n).$$

Aplicînd acestui punct relația  $\Delta_n > 0$ , premisă a deplasării diagonale de la  $A$  la  $B$ , obținem:

$$\begin{aligned} \Delta_n &= x_n^2 + (x_n - 1)^2 + 2(y_n + 1)^2 - 2R^2 = (n+2)^2 + 3(n+1)^2 - 2R^2 = \\ &= 4n^2 + 10n + 7 - 2R^2 = (2n+2)(2n+3) + 1 - 2R^2 > 0. \end{aligned} \quad (3.43)$$

Din a doua relație (3.12) aplicată în același punct  $A$  deducem:

$$\begin{aligned} \Delta_n - 4y_n - 2 &= \Delta_n - 4n - 2 = 4n^2 + 6n + 5 - 2R^2 = \\ &= (2n+1)(2n+2) + 3 - 2R^2 < 0. \end{aligned} \quad (3.44)$$

Ținînd seama că toate numerele sînt întregi, relațiile (3.43) și (3.44) pot fi scrise sub forma:

$$(2n+1)(2n+2) + 4 \leq 2R^2 \leq (2n+2)(2n+3) \quad (3.45)$$

Din relația (3.45) deducem succesiv:

$$\begin{aligned} (2n+3/2)^2 + 6 - 1/4 &\leq 2R^2 \leq (2n+5/2)^2 + 6 - 25/4 \Rightarrow \\ \Rightarrow (2n+3/2)^2 &< 2R^2 < (2n+5/2)^2 \Rightarrow 2n+3/2 < R\sqrt{2} < 2n+5/2 = \\ \Rightarrow 2n+2 &< R\sqrt{2} + 1/2 < 2n+3. \end{aligned}$$

Dubla inegalitate obținută este echivalentă cu egalitatea:

$$2n+2 = \left[ R\sqrt{2} + \frac{1}{2} \right] \quad (4.1)$$

unde am notat cu  $[x]$  partea întreagă a numărului  $x$ . Prin urmare, algoritmul de trasare traversează prima bisectoare ca în fig. 8-10 dacă numărul  $[R\sqrt{2} + 1/2]$ , care este întregul cel mai apropiat de  $R\sqrt{2}$ , este par. În acest caz, ținând seama că numărul total de puncte generate este  $8n+8$ , rezultă:

$$N(R) = 4 \left[ R\sqrt{2} + \frac{1}{2} \right]. \quad (3.46)$$

Altă posibilitate de traversare a bisectoarei este ilustrată în fig. 8-11. În acest moment au fost generate punctele:  $(x_0, y_0)$  pe axa  $Ox$ ,  $(x_1, y_1)$ ,  $(x_2, y_2)$ , ...,  $(x_n, y_n)$  în interiorul octantului 1. Punctul  $(x_{n+1}, y_{n+1})$  este în interiorul octantului 2. Prin urmare, tot cercul va avea  $8n+4$  puncte.

Punctul  $A$  din fig. 8-11 are coordonatele:

$$(x_n, y_n) = (y_{n+1}, y_n) = (n+1, n).$$

Aplicînd acestui punct aceleași condiții  $\Delta_n > 0$  și  $\Delta_n - 4y_n - 2 < 0$  justificate ca mai sus, deducem:

$$\begin{aligned} \Delta_n &= x_n^2 + (x_n-1)^2 + 2(y_n+1)^2 - 2R^2 = 3(n+1)^2 + n^2 - 2R^2 = \\ &= 4n^2 + 6n + 3 - 2R^2 = (2n+1)(2n+2) + 1 - 2R^2 > 0 \end{aligned} \quad (3.47)$$

$$\begin{aligned} \Delta_n - 4y_n - 2 &= \Delta_n - 4n - 2 = 4n^2 + 2n + 1 - 2R^2 = \\ &= 2n(2n+1) + 1 - 2R^2 < 0. \end{aligned} \quad (4.4)$$

Deoarece toate numerele sînt întregi, relațiile (3.47) pot fi puse sub forma:

$$2n(2n+1) + 2 \leq 2R^2 \leq (2n+1)(2n+2) \quad (3.48)$$

care este într-un fel complementară cu relația (3.45). Din (3.48) deducem succesiv:

$$\begin{aligned} (2n+1/2)^2 + 2 - 1/4 &\leq 2R^2 \leq (2n+3/2)^2 + 2 - 1/4 \Rightarrow \\ \Rightarrow (2n+1/2)^2 &< 2R^2 < (2n+3/2)^2 \Rightarrow 2n+1/2 < R\sqrt{2} < 2n+3/2 \Rightarrow \end{aligned}$$

$$\Rightarrow 2n + 1 < R\sqrt{2} + \frac{1}{2} < 2n + 2 \Rightarrow 2n + 1 = \left[ R\sqrt{2} + \frac{1}{2} \right].$$

Rezultă că algoritmul de generare traversează bisectoarele ca în fig. 8-11 dacă numărul  $[R\sqrt{2} + \frac{1}{2}]$  este impar. În acest caz, ținînd seama că numărul total de puncte generate este  $8n + 4$ , rezultă pentru  $N(R)$  aceeași expresie (3.46).

În sfîrșit, ultima posibilitate de traversare a primei bisectoare este cea din fig. 8-12, după o deplasare verticală. De fapt, tot  $8n + 4$  puncte se generează și în acest caz, deoarece punctele de pe bisectoare nu sînt efectiv generate, după cum s-a arătat în secțiunile 8.3.3.1.3 și 8.3.3.3.3. Deosebirea este că în situația din fig. 8-12 avem  $\Delta_n = -1$ , în conformitate cu (3.27).

Aceasta înseamnă că:

$$\begin{aligned} \Delta_n &= 4n^2 + 6n + 3 - 2R^2 = -1 \Rightarrow 2n^2 + 3n + 2 - R^2 = 0 \Rightarrow \\ &\Rightarrow 2n + 1 = \frac{\sqrt{8R^2 - 7} - 1}{2}. \end{aligned}$$

Se poate arăta că, dacă  $(\sqrt{8R^2 - 7} - 1)/2$  este întreg, atunci:

$$\frac{\sqrt{8R^2 - 7} - 1}{2} = \left[ R\sqrt{2} - \frac{1}{2} \right].$$

Concluzia este că, dacă raza cercului este de forma specială precizată în secțiunea 8.3.3.1.3, soluție a ecuației în numere întregi (3.28), atunci numărul de puncte generate este:

$$N(R) = 4 \left[ R\sqrt{2} - \frac{1}{2} \right].$$

În toate celelalte cazuri, numărul de puncte generate de algoritmul C2 este:

$$N(R) = 4 \left[ R\sqrt{2} + \frac{1}{2} \right].$$

În mod asemănător se demonstrează că în cazul impar analizat în secțiunea 8.3.5, algoritmul C3 generează în total:

$$N'(R) = 4 \left[ \sqrt{2R^2 - \frac{1}{2}} + \frac{1}{2} \right]$$

puncte, pentru orice valoare semiîntreagă a razei, cu excepția valorilor de forma:

$$R_k = \frac{3}{4\sqrt{2}} \{ (\sqrt{2} + 1)^{4k+3} + (\sqrt{2} - 1)^{4k+3} \}, \quad k = 0, 1, 2, 3, \dots$$

Pentru aceste valori de excepție ale razei, numărul de puncte generate de algoritmul C3 este:



$$N'(R) = 4 \left[ \sqrt{2R^2 - \frac{1}{2}} - \frac{1}{2} \right] = 4 \left[ R\sqrt{2} - \frac{1}{2} \right] \quad (4.5)$$

## 8.4. Generarea incrementală a curbelor de gradul 2

În această secțiune vom căuta o metodă incrementală de trasare pentru curbele de gradul doi în forma cea mai generală, definită analitic printr-o ecuație de gradul 2 cu 2 necunoscute:

$$f(x, y) = a_1x^2 + a_2xy + a_3y^2 + a_4x + a_5y + a_6 = 0 \quad (4.1)$$

unde coeficienții  $a_1, a_2, \dots, a_6$  sînt în general numere reale. După cum este cunoscut, curba reprezentată de această ecuație este o (secțiune) conică.

### 8.4.1. Cîteva aspecte teoretice

Introducem notațiile:

$$\delta = a_2^2 - 4a_1a_3 \quad (4.2)$$

$$\Delta = a_1a_5^2 + a_3a_4^2 - a_2a_4a_5 + (a_2^2 - 4a_1a_3)a_6 = a_1a_5^2 + a_3a_4^2 - a_2a_4a_5 + a_6\delta.$$

Deoarece  $\Delta$  este o sumă de termeni de gradul 3 în funcție de coeficienții  $a_i$ ,  $\Delta$  își schimbă semnul dacă toți coeficienții își schimbă semnul. Pe de altă parte, este evident că o schimbare generală de semn a coeficienților nu afectează curba reprezentată de ecuația  $f(x, y) = 0$ . Prin urmare, fără restrîngerea generalității, putem să presupunem că este îndeplinită condiția:

$$\Delta \geq 0 \quad (4.3)$$

care va fi utilă în cele ce urmează (eventual, este necesară o schimbare generală de semn a coeficienților  $a_i, i = \overline{1, 6}$  în faza de inițializare).

Vom spune că ecuația (4.1) reprezintă o *curbă degenerată* dacă funcția de gradul doi  $f(x, y)$  se poate pune sub forma:

$$f(x, y) = (b_1x + b_2y + b_3)(c_1x + c_2y + c_3) \quad (4.4)$$

unde coeficienții  $b_1, b_2, b_3, c_1, c_2, c_3$  sînt în general numere complexe. Dacă toate numerele  $b_i, c_i$  sînt reale, conica (4.1) degenează în două drepte reale, care pot fi concurente, paralele sau confundate, în funcție de anumite relații particulare între coeficienți. Dacă cel puțin unul din numerele  $b_i, c_i$  este imaginar, ecuația (4.1) nu reprezintă o curbă reală. În secțiunea 8.4.7 este prezentată o analiză detaliată a cazurilor de degenerare.

O condiție de degenerare echivalentă cu (4.4), dar mai ușor de testat, se obține cu ajutorul cantității  $\Delta$ :

**Teoremă.** Ecuația (4.1) reprezintă o conică degenerată dacă și numai dacă  $\Delta = 0$ .

*Demonstrație.*

Dacă funcția  $f(x, y)$  se poate pune sub forma (4.4), atunci egalând coeficienții exprărilor lui  $f(x, y)$  din (4.1) și (4.4) obținem:

$$\begin{aligned} a_1 &= b_1 c_1 \\ a_2 &= b_1 c_2 + b_2 c_1 \\ a_3 &= b_2 c_2 \\ a_4 &= b_1 c_3 + b_3 c_1 \\ a_5 &= b_2 c_3 + b_3 c_2 \\ a_6 &= b_3 c_3. \end{aligned}$$

Pe baza acestor relații, se înlocuiesc numerele  $a_i$  cu  $b_i$ ,  $c_i$  în expresia de definiție a lui  $\Delta$  din (4.2) și rezultă ușor  $\Delta = 0$ .

Reciproc, să presupunem  $\Delta = 0$ . Să notăm:

$$\mu = 2(a_2 \pm \sqrt{a_2^2 - 4a_1 a_3})$$

în care considerăm înaintea radicalului semnul efectiv al coeficientului  $a_2$ . Cantitatea  $\mu$  poate fi reală sau complexă.

Dacă  $\delta = a_2^2 - 4a_1 a_3 \neq 0$ , se arată ușor că  $\mu \neq 0$  și prin calcul direct se verifică egalitatea:

$$f(x, y) = \frac{1}{\mu} \left[ 2a_1 x + \frac{\mu}{2} y + \left( a_4 + \frac{a_2 a_4 - 2a_1 a_5}{\pm \sqrt{\delta}} \right) \right] \left[ \frac{\mu}{2} x + 2a_3 y + \left( a_5 + \frac{a_2 a_5 - 2a_3 a_4}{\pm \sqrt{\delta}} \right) \right].$$

Dacă  $a_2^2 = 4a_1 a_3$ , în secțiunea 8.4.7 se demonstrează că  $f(x, y)$  se poate scrie sub una din formele:

$$f(x, y) = \frac{1}{4a_1} (2a_1 x + a_2 y + a_4 + \sqrt{a_4^2 - 4a_1 a_6}) (2a_1 x + a_2 y + a_4 - \sqrt{a_4^2 - 4a_1 a_6})$$

pentru  $a_1 \neq 0$ ;

$$f(x, y) = \frac{1}{4a_3} (a_2 x + 2a_3 y + a_5 + \sqrt{a_5^2 - 4a_3 a_6}) (a_2 x + 2a_3 y + a_5 - \sqrt{a_5^2 - 4a_3 a_6})$$

pentru  $a_3 \neq 0$ .

Prin urmare, în toate cazurile ecuația  $f(x, y) = 0$  se poate descompune în două ecuații de gradul întâi, cu coeficienți în general complecși. ■

Dacă  $\Delta \neq 0$ , ecuația (4.1) reprezintă o curbă propriu-zisă, reală sau imaginară. Tipul conicei depinde de semnul discriminantului  $\delta$  în modul următor:

$$\delta = a_2^2 - 4a_1a_3 \begin{cases} < 0 - \text{clipsă (sau cerc)} \\ = 0 - \text{parabolă} \\ > 0 - \text{hiperbolă} \end{cases} \quad (4.5)$$

În cele ce urmează vom utiliza noțiunea de *curbură*  $K(x, y)$  într-un punct  $(x, y)$  al curbei plane  $f(x, y) = 0$ . Dacă funcția  $f$  are derivate parțiale de ordinul doi, curbura  $K(x, y)$  este dată de relația:

$$K(x, y) = \frac{f''_{xx}(f'_y)^2 - 2f''_{xy}f'_xf'_y + f''_{yy}(f'_x)^2}{[(f'_x)^2 + (f'_y)^2]^{3/2}} \quad (4.6)$$

**Teoremă.** Pentru o curbă conică definită printr-o ecuație de forma (4.1), curbura  $K(x, y)$  păstrează un semn constant în toate punctele curbei.

*Demonstrație.*

Calculând derivatele parțiale ale funcției  $f(x, y)$  și ținând seama că  $(x, y)$  este un punct pe curba  $f(x, y) = 0$ , obținem:

$$\begin{aligned} f''_{xx}(f'_y)^2 - 2f''_{xy}f'_xf'_y + f''_{yy}(f'_x)^2 &= \\ &= 2a_1(a_2x + 2a_3y + a_5)^2 - 2a_2(2a_1x + a_2y + a_4)(a_2x + 2a_3y + a_5) + \\ &\quad + 2a_3(2a_1x + a_2y + a_4)^2 = \\ &= 2(4a_1a_3 - a_2^2)(a_1x^2 + a_2xy + a_3y^2 + a_4x + a_5y) + 2a_1a_5^2 - 2a_2a_4a_5 + 2a_3a_4^2 = \\ &= 2a_6(a_2^2 - 4a_1a_3) + 2a_1a_5^2 + 2a_3a_4^2 - 2a_2a_4a_5 = 2\Delta ; \end{aligned}$$

$$\begin{aligned} K(x, y) &= \frac{2\Delta}{[(f'_x)^2 + (f'_y)^2]^{3/2}} = \\ &= \frac{2\Delta}{[(2a_1x + a_2y + a_4)^2 + (a_2x + 2a_3y + a_5)^2]^{3/2}} \end{aligned} \quad (4.7)$$

Prin urmare, curbura  $K(x, y)$  păstrează semnul lui  $\Delta$  în toate punctele curbei, deci curba (4.1) nu are puncte de inflexiune. ■

**Teoremă.** Dacă ecuația (4.1) reprezintă o curbă nedegenerată ( $\Delta \neq 0$ ), atunci valoarea maximă a curburii  $K_{\max}$  este:

$$\begin{aligned} K_{\max} &= \frac{(a_1 + a_3 + \sqrt{a_1^2 + a_2^2 + a_3^2 - 2a_1a_3})^{3/2}}{\sqrt{2\Delta}} = \\ &= \frac{(a_1 + a_3 + \sqrt{a_1^2 + a_2^2 + a_3^2 - 2a_1a_3})^{3/2}}{\sqrt{2} [a_1a_5^2 + a_3a_4^2 - a_2a_4a_5 + (a_2^2 - 4a_1a_3)a_6]^{1/2}} \end{aligned} \quad (4.8)$$

### Demonstrație.

Din (4.7) rezultă că funcția  $K(x, y)$  este maximă în punctele în care funcția ajutoare  $(f'_x)^2 + (f'_y)^2$  atinge valoarea minimă. Notînd  $u = f'_x$ ,  $v = f'_y$ , rezultă că trebuie să calculăm extremele funcției:

$$g(u, v) = u^2 + v^2$$

cu condiția de legătură  $f(x, y) = 0$ . Prin calcul direct se dovedește că ecuația  $f(x, y) = 0$  se poate pune mai convenabil sub forma:

$$a_1(f'_y)^2 - a_2f'_xf'_y + a_3(f'_x)^2 = \Delta \Rightarrow \quad (4.9)$$

$$\Rightarrow h(u, v) = a_1v^2 - a_2uv + a_3u^2 - \Delta = 0.$$

Aplicînd metoda multiplicatorilor lui Lagrange, definim funcția auxiliară:

$$\Phi(u, v, \lambda) = g(u, v) + \frac{1}{\lambda}h(u, v)$$

și determinăm punctele singulare ale acestei funcții.

$$\Phi'_u = 0 \Rightarrow 2\lambda u - a_2v + 2a_3u = 0 \Rightarrow 2(\lambda + a_3)u = a_2v \quad (4.10)$$

$$\Phi'_v = 0 \Rightarrow 2\lambda v - a_2u + 2a_1v = 0 \Rightarrow 2(\lambda + a_1)v = a_2u$$

$$\Phi'_\lambda = 0 \Rightarrow a_1v^2 - a_2uv + a_3u^2 = \Delta.$$

Din primele două relații (4.10) rezultă ecuația care determină valoarea parametrului  $\lambda$ :

$$4(\lambda + a_1)(\lambda + a_3) = a_2^2 \quad (4.11)$$

care are rădăcinile:

$$\lambda_1 = \frac{-(a_1 + a_3) - \sqrt{a_1^2 + a_2^2 + a_3^2 - 2a_1a_3}}{2} \quad (4.12)$$

$$\lambda_2 = \frac{-(a_1 + a_3) + \sqrt{a_1^2 + a_2^2 + a_3^2 - 2a_1a_3}}{2}.$$

De asemenea, din primele două relații (4.10) obținem:

$$(\lambda + a_1)v^2 = (\lambda + a_3)u^2.$$

În acest caz, a 3-a relație (4.10) conduce la:

$$\begin{aligned} (\lambda + a_1)\Delta &= a_1(\lambda + a_3)u^2 - \frac{a_2^2}{2}u^2 + a_3(\lambda + a_1)u^2 \Rightarrow \\ u^2 &= \frac{2(\lambda + a_1)\Delta}{2(a_1 + a_3)\lambda + 4a_1a_3 - a_2^2}, \quad v^2 = \frac{2(\lambda + a_3)\Delta}{2(a_1 + a_3)\lambda + 4a_1a_3 - a_2^2}. \end{aligned}$$



Prin urmare, valorile extreme ale funcției  $g$  sînt:

$$g(u, v) = u^2 + v^2 = \frac{2(2\lambda + a_1 + a_3)\Delta}{2(a_1 + a_3)\lambda + 4a_1a_3 - a_2^2} = -\frac{\Delta}{\lambda},$$

ultima egalitate rezultînd din (4.11). Deoarece  $\Delta > 0$ , trebuie luate în considerare numai valorile negative ale lui  $\lambda$ . Distingem două cazuri:

- $\delta = a_2^2 - 4a_1a_3 < 0$  (elipse, cercuri). Rezultă în primul rînd că  $a_1, a_3$  sînt nenule și de același semn, adică  $a_1 > 0, a_3 > 0$  sau  $a_1 < 0, a_3 < 0$ . Dacă  $a_1$  și  $a_3$  sînt negative, egalitatea din (4.9) nu poate fi îndeplinită, deoarece cantitatea din membrul stîng păstrează semnul lui  $a_1$  în orice punct  $(x, y)$  (dacă  $a_1 < 0, a_3 < 0, \delta < 0$  și  $\Delta > 0$ , ecuația (4.1) nu definește o curbă reală). Prin urmare,  $a_1 > 0, a_3 > 0$ . Pe de altă parte, din  $\delta < 0$  și din (4.12) rezultă  $\lambda_1 \leq \lambda_2 < 0$ . Există deci două valori extreme pentru funcția  $g(u, v)$  (o valoare maximă și una minimă), și la fel pentru funcția de curbura  $K(x, y)$ . Din relația (4.7) deducem:

$$K_{\max} = \frac{2\Delta}{(g_{\min})^{3/2}} = \frac{2\Delta}{\left(-\frac{\Delta}{\lambda_1}\right)^{3/2}} = \frac{2(-\lambda_1)^{3/2}}{\sqrt{\Delta}} =$$

$$= \frac{(a_1 + a_3 + \sqrt{a_1^2 + a_2^2 + a_3^2 - 2a_1a_3})^{3/2}}{\sqrt{2\Delta}}.$$

- $\delta = a_2^2 - 4a_1a_3 \geq 0$  (hiperbole, parabole). În acest caz,  $|a_1 + a_3| \leq \sqrt{a_1^2 + a_2^2 + a_3^2 - 2a_1a_3}$  și prin urmare  $\lambda_1 < 0 \leq \lambda_2$ . Curbura  $K(x, y)$  are o singură valoare extremă (maximă), corespunzătoare lui  $\lambda_1$ . Pentru  $K_{\max}$  se obține aceeași expresie (4.8). ■

În continuare demonstrăm un rezultat care va fi util în dezvoltarea unui algoritm de trasare eficient.

**Teoremă.** Dacă ecuația (4.1) reprezintă o curbă reală nedegenerată ( $\Delta > 0$ ), atunci funcția  $f(x, y)$  ia valori negative în interiorul concavităților curbei  $f(x, y) = 0$ , și valori pozitive în exteriorul acestora.

*Demonstrație.*

Fie  $(x_0, y_0)$  un punct pe curba  $f(x, y) = 0$ . Ecuația tangentei la curbă în punctul  $(x_0, y_0)$  este:

$$(x - x_0)f'_x(x_0, y_0) + (y - y_0)f'_y(x_0, y_0) = 0. \quad (4.13)$$

Fie acum  $(x, y)$  un punct oarecare pe această tangentă (fig. 8–19). Pentru a evalua funcția  $f$  în punctul  $(x, y)$ , folosim dezvoltarea în serie

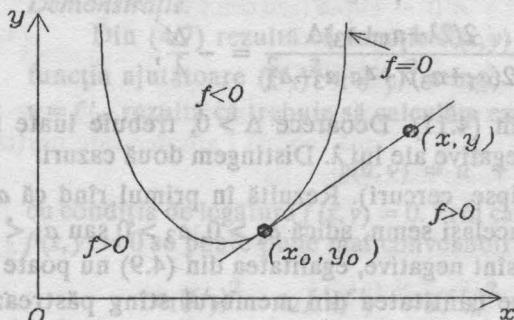


Figura 8-19.

Funcția  $f$  ia valori pozitive de-a lungul tangentei într-un punct  $(x_0, y_0)$  al curbei.

Taylor a lui  $f$  în jurul punctului  $(x_0, y_0)$ , în care ne oprim la termenii de gradul doi, deoarece derivatele lui  $f$  de ordin superior sînt nule:

$$f(x, y) = f(x_0, y_0) + (x - x_0)f'_x(x_0, y_0) + (y - y_0)f'_y(x_0, y_0) + \\ + \frac{1}{2}(x - x_0)^2 f''_{xx}(x_0, y_0) + (x - x_0)(y - y_0)f''_{xy}(x_0, y_0) + \frac{1}{2}(y - y_0)^2 f''_{yy}(x_0, y_0).$$

Deoarece  $(x_0, y_0)$  este un punct pe curbă, iar  $(x, y)$  este un punct pe tangentă în  $(x_0, y_0)$ , obținem:

$$f(x, y) = a_1(x - x_0)^2 + a_2(x - x_0)(y - y_0) + a_3(y - y_0)^2. \quad (4.14)$$

În ipoteza  $\Delta > 0$ , din relația (4.9) rezultă că cel puțin una din derivatele parțiale  $f'_x, f'_y$  este nenulă în punctul  $(x_0, y_0)$ . Presupunînd  $f'_y(x_0, y_0) \neq 0$  (cazul  $f'_x(x_0, y_0) \neq 0$  se tratează analog, din (4.13) și (4.14) deducem:

$$f(x, y) = \frac{(x - x_0)^2}{(f'_y)^2} [a_1(f'_y)^2 - a_2f'_xf'_y + a_3(f'_x)^2],$$

toate derivatele fiind considerate în  $(x_0, y_0)$ . Aplicînd în  $(x_0, y_0)$  relația (4.9), valabilă în orice punct al curbei, rezultă:

$$f(x, y) = \frac{\Delta(x - x_0)^2}{[f'_y(x_0, y_0)]^2} \geq 0; \quad f(x, y) = 0 \Leftrightarrow (x, y) = (x_0, y_0).$$

Rezultatul obținut dovedește că orice tangentă la o conică nu intersectează curba într-un alt punct, diferit de punctul de tangență; de-a lungul tangentei în  $(x_0, y_0)$ , funcția  $f$  ia valori strict pozitive, cu excepția punctului  $(x_0, y_0)$  de pe curbă (fig. 8-19).

Reciproc, se poate arăta că dacă  $f(x, y) > 0$  într-un punct  $(x, y)$  exterior curbei, atunci există un punct  $(x_0, y_0)$  pe curbă pentru care relațiile (4.14), și prin urmare (4.13), sînt îndeplinite, ceea ce înseamnă că dreapta care unește  $(x, y)$  și  $(x_0, y_0)$  este tangentă la curbă în  $(x_0, y_0)$ .

Am dovedit deci că dintr-un punct  $(x, y)$  exterior curbei se poate duce o tangentă la curbă dacă și numai dacă  $f(x, y) > 0$ . Rezultă că funcția  $f(x, y)$  ia valori strict pozitive în exteriorul concavităților curbei (4.1), și prin urmare valori strict negative în interiorul concavităților. ■

### 8.4.2. Ipoteze de lucru

Vom considera, dacă este necesar, aproximări cu numere raționale pentru coeficienții  $a_i$ , și apoi vom amplifica ecuația  $f(x, y) = 0$  cu cel mai mic numitor comun al acestora. Prin urmare, menținând problema într-un cadru suficient de general, putem să presupunem că în ecuația curbei  $f(x, y) = 0$  coeficienții  $a_1, a_2, \dots, a_6$  sînt numere întregi, fără divizori comuni. În acest caz, funcția  $f(x, y)$  ia valori întregi în punctele de coordonate  $(x, y)$  întregi, chiar dacă aceste puncte nu sînt situate pe curba  $f(x, y) = 0$ .

Metoda de trasare care va fi dezvoltată în secțiunile următoare utilizează implicit ipoteza de echidistanță orizontală și verticală a punctelor rastrului, discutată în secțiunea 8.1. Dacă dimensiunile celulei elementare de rastru sînt în raportul  $\Delta x / \Delta y = p/q \neq 1$  ( $p, q$  întregi), pentru o trasare corectă se poate proceda în modul următor: se deduce ecuația curbei  $g(x, y) = 0$  presupunînd că pasul rastrului în ambele direcții este egal cu pasul efectiv pe orizontală; apoi, înainte de aplicarea algoritmului de trasare, se înlocuiește ecuația  $g(x, y) = 0$  cu:

$$f(x, y) = p^2 g\left(x, \frac{q}{p}y\right) = 0$$

care are tot coeficienți întregi și permite redarea corectă a proporțiilor.

La fel ca în secțiunile precedente, vom căuta o procedură incrementală de trasare a curbei, care să funcționeze prin deplasări elementare pe orizontală, verticală sau în diagonală între punctele succesiv generate. Vom numerota de la 0 la 7 direcțiile posibile de deplasare de la un punct fix  $P$  la unul din cele 8 puncte vecine din rastru  $P_i, i = \overline{0, 7}$  (fig. 8-20).

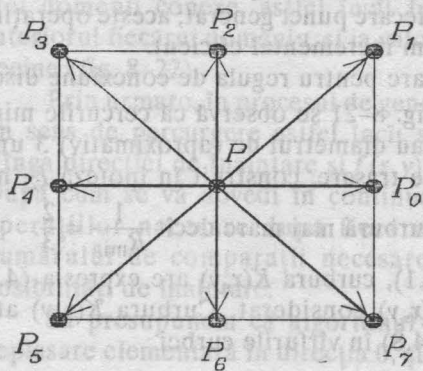


Figura 8-20.

Direcțiile posibile de deplasare elementară de la un punct  $P$  la un punct vecin din rastru, numerotate în sens trigonometric direct.



Pentru a putea dezvolta o procedură eficientă de generare incrementală a curbei generale (4.1), vom face două ipoteze rezonabile:

- 11 ● Pentru două puncte  $(x_1, y_1)$  și  $(x_2, y_2)$  relativ apropiate de curba ideală, se poate decide care dintre ele este cel mai apropiat prin compararea cantităților  $|f(x_1, y_1)|$  și  $|f(x_2, y_2)|$ . Prin urmare, vom considera că punctul cel mai apropiat de curbă este acela în care funcția  $f(x, y)$  este minimă în valoare absolută.
- 12 ● Dacă algoritmul de generare a efectuat o deplasare în direcția  $i$  între două puncte succesive  $(x_{n-1}, y_{n-1})$  și  $(x_n, y_n)$ , atunci pentru următorul punct generat  $(x_{n+1}, y_{n+1})$  trebuie să se efectueze o deplasare elementară în una din direcțiile  $i-1$ ,  $i$  sau  $i+1$  ( $i-1$  și  $i+1$  sînt considerate modulo 8).

Ipoteza  $I_1$  nu corespunde întotdeauna realității. De exemplu, să considerăm problema trasării cercului  $f(x, y) = 32^2 x^2 + 32^2 y^2 - 113^2 = 0$ . Curba ideală trece prin punctul  $(113/32, 0)$ , care este mai apropiat de  $(4, 0)$  decît de  $(3, 0)$ . Pe de altă parte, algoritmul construit pe baza ipotezei  $I_1$  va genera punctul  $(3, 0)$  în loc de  $(4, 0)$ , deoarece  $|f(3, 0)| = 3553 < |f(4, 0)| = 3615$ . Acest exemplu dovedește că teorema demonstrată în secțiunile 8.3.1 și 8.3.5 pentru cazurile cînd raza cercului este un număr întreg, respectiv semiîntreg, nu este valabilă dacă raza este un număr fracționar oarecare.

Prin urmare, în ipoteza  $I_1$ , algoritmul nu va genera întotdeauna cea mai bună aproximare prin puncte din rastru pentru curba ideală. Totuși, în majoritatea situațiilor întâlnite în practică condiția din ipoteza  $I_1$  este îndeplinită, iar în cazurile de excepție ca cel de mai sus, eroarea de plasare este minimă (cel mult un punct). Pe de altă parte, rezolvarea exactă a problemei plasării punctelor în toate cazurile implică în general rezolvarea unor ecuații de gradul doi pentru fiecare punct generat; aceste operații sînt prea complicate pentru un algoritm incremental eficient.

Ipoteza  $I_2$  este o altă exprimare pentru regula de conexiune discretă prezentată în secțiunea 8.1. Din fig. 8-21 se observă că cercurile minime care îndeplinesc această condiție au diametrul de (aproximativ) 3 unități de rastru; rezultă că algoritmul de trasare, construit în ipoteza  $I_2$ , nu va aproxima corect curbele care au curbura mai mare decît  $\frac{1}{R_{\min}} = \frac{2}{3}$ .

Pentru o curbă de forma (4.1), curbura  $K(x, y)$  are expresia (4.7) și depinde în general de punctul  $(x, y)$  considerat. Curbura  $K(x, y)$  atinge valoarea maximă dată de relația (4.8) în virfurile curbei.



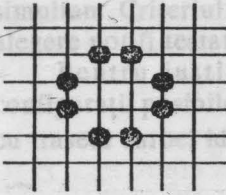


Figura 8-21.

În ipoteza  $I_2$ , cercurile minime care pot fi trasate au diametrul 3.

O posibilitate de a depăși dificultățile legate de curbura este să verificăm de la început condiția  $K_{\max} \leq 2/3$ , folosind expresia (4.8). O altă posibilitate este să atenuăm restricția conținută în ipoteza  $I_2$ , permițând algoritmului să efectueze schimbări de direcție de  $90^\circ$  între două deplasări elementare succesive. Evident, această schimbare în ipoteza  $I_2$  conduce la complicarea algoritmului și la scăderea eficienței în execuție, deoarece sînt necesare mai multe comparații în bucla principală pentru selectarea direcției optime de înaintare (sînt 2 posibilități în plus față de cele 3 din ipoteza  $I_2$ ).

Din punct de vedere practic, aceste precauții nu sînt necesare, deoarece curbele de excentricitate foarte mare, care nu îndeplinesc condiția  $K_{\max} \leq 2/3$ , se întîlnesc rar în aplicațiile reale. În plus, algoritmul de trasare proiectat în ipoteza  $I_2$  evoluează acceptabil în aceste situații de excepție.

Prin urmare, vom sacrifica exactitatea absolută în cazurile speciale și degenerare, în favoarea eficienței trasării pentru situațiile practice obișnuite, și vom proiecta algoritmul de trasare pe baza ipotezelor  $I_1$  și  $I_2$  expuse mai sus.

### 8.4.3. Deducerea metodei de generare incrementală

În cazul general în care conica nu degenerază în două drepte concurente sau confundate, curba  $f(x, y) = 0$  împarte planul în două sau trei domenii conexe, astfel încît funcția  $f$  păstrează semn constant în interiorul fiecărui domeniu, și ia valori de semne contrare în două domenii vecine (fig. 8-22).

Prin urmare, în procesul de generare a unui arc de curbă, putem alege un sens de parcurgere astfel încît să avem în permanență  $f(x, y) < 0$  la stînga direcției de înaintare și  $f(x, y) > 0$  la dreapta direcției de înaintare. După cum se va dovedi în continuare, acest fapt permite simplificarea operațiilor necesare după fiecare punct generat, prin minimizarea numărului de comparații necesare pentru alegerea uncii din cele 3 posibilități de înaintare.

Să presupunem că algoritmul a generat punctul  $P = (x, y)$  după o deplasare elementară în direcția 0, și să analizăm ce operații sînt necesare pentru alegerea punctului următor. Conform ipotezei  $I_2$ , există trei puncte

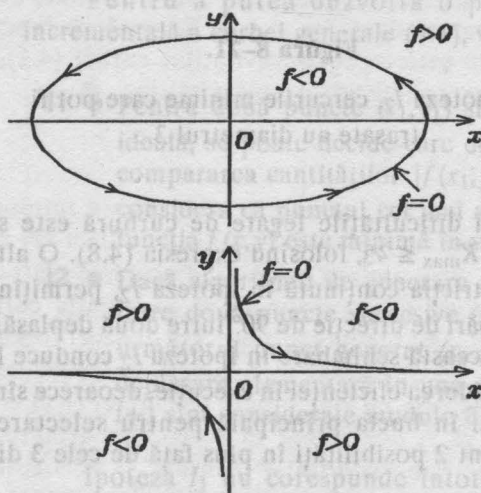


Figura 8-22.

Funcția  $f$  ia valori de semne contrare de o parte și de alta a curbei  $f(x, y) = 0$ .

candidat:  $P_0 = (x+1, y)$ ,  $P_1 = (x+1, y+1)$  și  $P_7 = (x+1, y-1)$ , cu notația din fig. 8-20. În baza ipotezei  $I_1$ , vom alege pe acela în care funcția  $f$  are cea mai mică valoare absolută.

Această alegere reclamă un șir destul de lung de comparații în cazul în care semnele cantităților care se compară nu sînt cunoscute. Dacă alegem sensul de parcurgere a curbei astfel încît  $f(x, y) < 0$  ( $> 0$ ) la stînga (respectiv dreapta) direcției de înaintare, atunci pentru alegerea unuia din cele 3 puncte candidat  $P_0$ ,  $P_1$ ,  $P_7$  sînt necesare numai două comparații (numărul minim). Mai precis, vom considera următorul criteriu de alegere:

$$\begin{aligned} f(P_7) + f(P_0) < 0 &\Rightarrow \text{se alege punctul } P_7; \\ f(P_7) + f(P_0) \geq 0 \text{ și } f(P_0) + f(P_1) \leq 0 &\Rightarrow \text{se alege punctul } P_0; \\ f(P_0) + f(P_1) > 0 &\Rightarrow \text{se alege punctul } P_1. \end{aligned} \quad (4.15)$$

Prin urmare, punctul  $P_7$  este ales printr-o singură comparație, fără examinarea valorii funcției în  $P_1$ . Pentru a dovedi neambiguitatea acestui criteriu, trebuie să arătăm că prima și a treia condiție nu pot fi îndeplinite în același timp.

Să presupunem deci  $f(P_7) + f(P_0) < 0$ ,  $f(P_0) + f(P_1) > 0$ . Din prima condiție rezultă  $f(P_0) < 0$ ; într-adevăr, dacă  $f(P_0) \geq 0$ , atunci  $P_0$  este la dreapta curbei (sau pe curbă); cu atît mai mult  $P_7$  este la dreapta curbei  $\Rightarrow f(P_7) \geq 0 \Rightarrow f(P_7) + f(P_0) \geq 0$ .

Analog, din  $f(P_0) + f(P_1) > 0$  deducem  $f(P_0) > 0$ ; într-adevăr,  $f(P_0) \leq 0 \Rightarrow P_0$  este la stînga curbei (sau pe curbă)  $\Rightarrow P_1$  este la stînga curbei  $\Rightarrow f(P_1) \leq 0 \Rightarrow f(P_0) + f(P_1) \leq 0$ .

Contradicția obținută în privința semnului funcției  $f$  în punctul  $P_0$  dovedește că prima și a treia condiție din (4.15) nu pot fi îndeplinite

simultan. Criteriul (4.15) este simetric, în sensul că cele 3 condiții de alegere pot fi testate în orice ordine. ■

Pentru justificarea criteriului (4.15), să considerăm cele 4 configurații posibile de poziționare relativă a punctelor  $P_0, P_1, P_7$  în raport cu traseul curbei ideale  $f(x, y) = 0$  (fig. 8-23):

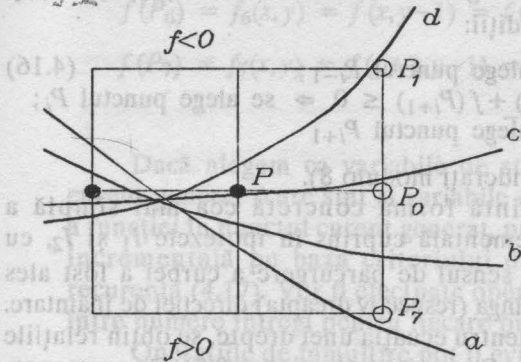


Figura 8-23.

Există 4 posibilități de trecere a curbei ideale printre punctele candidat  $P_0, P_1, P_7$ .

În cazul din fig. 8-23a, toate cele 3 puncte candidat sînt plasate la stînga traseului curbei ideale (punctul  $P_7$  poate fi pe curbă); prin urmare, avem  $f(P_0) < 0, f(P_1) < 0, f(P_7) \leq 0$  datorită modului de alegere a sensului de parcurgere a curbei. Criteriul (4.15) conduce, printr-o singură comparație, la alegerea punctului  $P_7$ , care este evident opțiunea optimă în ipoteza  $I_2$ .

Curba din fig. 8-23b trece printre punctele  $P_0$  și  $P_7$ , prin urmare în acest caz avem  $f(P_0) < 0, f(P_1) < 0, f(P_7) > 0$ . Conform ipotezei  $I_1$ , trebuie să alegem punctul  $P_7$  dacă  $|f(P_7)| < |f(P_0)|$  și punctul  $P_0$  dacă  $|f(P_7)| \geq |f(P_0)|$ . Semnele valorilor  $f(P_0), f(P_1), f(P_7)$  fiind cunoscute, aceste inegalități sînt echivalente cu  $f(P_7) < -f(P_0)$  și respectiv  $f(P_7) \geq -f(P_0)$ . Deoarece  $f(P_0) + f(P_1) < 0$ , rezultă că criteriul (4.15) asigură decizia corectă și în acest caz, prin una sau două comparații.

În situația din fig. 8-23c, curba ideală trece printre punctele  $P_0$  și  $P_1$  ( $P_0$  poate fi pe curbă); în acest caz, avem  $f(P_0) \geq 0, f(P_1) < 0, f(P_7) > 0$ . Din ipoteza  $I_1$  rezultă că trebuie să alegem punctul  $P_0$  dacă  $|f(P_0)| \leq |f(P_1)|$  și punctul  $P_1$  dacă  $|f(P_0)| > |f(P_1)|$ . Aceste inegalități sînt echivalente cu  $f(P_0) \leq -f(P_1)$ , respectiv  $f(P_0) > -f(P_1)$ . Deoarece  $f(P_7) + f(P_0) > 0$ , rezultă că criteriul (4.15) conduce la alegerea corectă cu ajutorul a două comparații.

În sfîrșit, în situația din fig. 8-23d, toate cele 3 puncte candidat sînt situate la dreapta traseului curbei ideale (punctul  $P_1$  poate fi pe curbă). În acest caz avem  $f(P_0) > 0, f(P_1) \geq 0, f(P_7) > 0$ . Prin urmare, criteriul (4.15) asigură decizia corectă de a alege punctul  $P_1$ , prin două comparații. ■



Criteriul (4.15) este valabil dacă punctul  $P$  a fost selectat în urma unei deplasări elementare în direcția 0; dar este evident că ideea de decizie este valabilă indiferent de direcția de înaintare. Prin urmare, criteriul (4.15) se poate generaliza în modul expus în continuare.

Dacă punctul  $P$  a fost generat în urma deplasării elementare în direcția  $i$ , atunci următorul punct generat este ales dintre  $P_{i-1}$ ,  $P_i$  și  $P_{i+1}$ , prin testarea următoarelor condiții:

$$\begin{aligned} f(P_{i-1}) + f(P_i) &< 0 \Rightarrow \text{se alege punctul } P_{i-1}; \\ f(P_{i-1}) + f(P_i) &\geq 0 \text{ și } f(P_i) + f(P_{i+1}) \leq 0 \Rightarrow \text{se alege punctul } P_i; \\ f(P_i) + f(P_{i+1}) &> 0 \Rightarrow \text{se alege punctul } P_{i+1} \end{aligned} \quad (4.16)$$

(indicii  $i-1$  și  $i+1$  trebuie considerați modulo 8).

Criteriul (4.16) reprezintă forma concretă cea mai simplă a principiului de generare incrementală cuprins în ipotezele  $I_1$  și  $I_2$ , cu presupunerea suplimentară că sensul de parcurgere a curbei a fost ales astfel încât  $f(x, y) < 0$  ( $> 0$ ) la stînga (respectiv dreapta) direcției de înaintare.

Aplicînd criteriul (4.16) pentru ecuația unei drepte, se obțin relațiile care stau la baza algoritmului lui Bresenham (secțiunea 8.2). De asemenea, particularizînd pentru cercurile cu raza număr întreg sau semiîntreg și analizînd separat fiecare octant, se dovedește ușor că criteriul general (4.16) este echivalent cu relațiile (3.10), (3.14), (3.16), (3.18) care guvernează trasarea incrementală a cercurilor. Prin urmare, metoda de trasare bazată pe criteriul de decizie (4.16) este o generalizare naturală a metodelor incrementale descrise în secțiunile anterioare pentru curbe mai simple.

#### 8.4.4. Relații de recurență. Bucla principală a algoritmului de generare

Deoarece urmărim dezvoltarea unui algoritm incremental, presupunem cunoscută valoarea  $f(x, y)$  a funcției într-un punct  $P$  și căutăm expresii simple pentru valorile funcției  $f$  în punctele imediat apropiate  $P_i$ ,  $i = \overline{0, 7}$  (fig. 8-20). Dacă exprimăm toate valorile în funcție de coordonatele  $(x, y)$  ale punctului  $P$  și notăm  $f_i(x, y) = f(P_i)$ ,  $i = \overline{0, 7}$ , atunci din expresia de definiție (4.1) rezultă:

$$f(P_0) = f_0(x, y) = f(x+1, y) = f(x, y) + (2a_1x + a_2y + a_4) + a_1 \quad (4.17)$$

$$\begin{aligned} f(P_1) = f_1(x, y) = f(x+1, y+1) = f(x, y) + (2a_1x + a_2y + a_4) + \\ + (a_2x + 2a_3y + a_5) + a_1 + a_2 + a_3 \end{aligned}$$

$$f(P_2) = f_2(x, y) = f(x, y+1) = f(x, y) + (a_2x + 2a_3y + a_5) + a_3$$

$$\begin{aligned} f(P_3) = f_3(x, y) = f(x-1, y+1) = f(x, y) - (2a_1x + a_2y + a_4) + \\ + (a_2x + 2a_3y + a_5) + a_1 - a_2 + a_3 \end{aligned}$$



$$f(P_4) = f_4(x, y) = f(x-1, y) = f(x, y) - (2a_1x + a_2y + a_4) + a_1$$

$$f(P_5) = f_5(x, y) = f(x-1, y-1) = f(x, y) - (2a_1x + a_2y + a_4) - (a_2x + 2a_3y + a_5) + a_1 + a_2 + a_3$$

$$f(P_6) = f_6(x, y) = f(x, y-1) = f(x, y) - (a_2x + 2a_3y + a_5) + a_3$$

$$f(P_7) = f_7(x, y) = f(x+1, y-1) = f(x, y) + (2a_1x + a_2y + a_4) - (a_2x + 2a_3y + a_5) + a_1 - a_2 + a_3.$$

Dacă alegem ca variabile de stare coordonatele  $x, y$  ale punctului curent generat (care sînt și variabile de adresare fizică) și valoarea  $f(x, y)$  a funcției în punctul curent generat, putem dezvolta un algoritm de trasare incrementală pe baza criteriului de decizie (4.16) și a relațiilor de recurență (4.17). Vor fi efectuate operații de adunare, scădere și înmulțire între numere întregi pentru fiecare punct generat.

Operațiile de înmulțire pot fi evitate în cazul unei alegeri mai atente a variabilelor de stare. Observăm că relațiile de recurență (4.17) pot fi exprimate mai simplu în funcție de derivatele parțiale  $f'_x$  și  $f'_y$  ale lui  $f$  în punctul  $P = (x, y)$ , pe care le notăm  $fx$ , respectiv  $fy$ :

$$\begin{aligned} fx(x, y) &= f'_x(x, y) = 2a_1x + a_2y + a_4 \\ fy(x, y) &= f'_y(x, y) = a_2x + 2a_3y + a_5. \end{aligned} \quad (4.18)$$

Funcțiile  $fx, fy$  fiind liniare, actualizările lor incrementale se exprimă numai prin operații de adunare și scădere, în cazul unei deplasări elementare între două puncte vecine:

$$\begin{aligned} fx(P_0) &= fx_0(x, y) = fx(x+1, y) = fx(x, y) + 2a_1 \\ fy(P_0) &= fy_0(x, y) = fy(x+1, y) = fy(x, y) + a_2 \\ fx(P_1) &= fx_1(x, y) = fx(x+1, y+1) = fx(x, y) + 2a_1 + a_2 \\ fy(P_1) &= fy_1(x, y) = fy(x+1, y+1) = fy(x, y) + a_2 + 2a_3 \\ &\text{etc.} \end{aligned} \quad (4.19)$$

Este evident acum că trebuie să alegem ca variabile de stare valorile funcțiilor  $f, fx$  și  $fy$  în punctul curent generat  $(x, y)$ . Din (4.17) și (4.19) rezultă formulele de modificare incrementală a acestor variabile de stare în cazul unei deplasări elementare în direcția  $i, i = 0, 7$ . Sînt necesare numai operații de adunare și scădere între numere întregi:

$$\begin{cases} f_0 = f + fx + a_1 \\ fx_0 = fx + 2a_1 \\ fy_0 = fy + a_2 \end{cases} \quad (4.20)$$

$$\begin{cases} f_1 = f + fx + fy + a_1 + a_2 + a_3 \\ fx_1 = fx + 2a_1 + a_2 \\ fy_1 = fy + a_2 + 2a_3 \end{cases}$$

$$\begin{cases} f_2 = f + fy + a_3 \\ fx_2 = fx + a_2 \\ fy_2 = fy + 2a_3 \end{cases}$$

$$\begin{cases} f_3 = f - fx + fy + a_1 - a_2 + a_3 \\ fx_3 = fx - 2a_1 + a_2 \\ fy_3 = fy - a_2 + 2a_3 \end{cases}$$

$$\begin{cases} f_4 = f - fx + a_1 \\ fx_4 = fx - 2a_1 \\ fy_4 = fy - a_2 \end{cases}$$

$$\begin{cases} f_5 = f - fx - fy + a_1 + a_2 + a_3 \\ fx_5 = fx - 2a_1 - a_2 \\ fy_5 = fy - a_2 - 2a_3 \end{cases}$$

$$\begin{cases} f_6 = f - fy + a_3 \\ fx_6 = fx - a_2 \\ fy_6 = fy - 2a_3 \end{cases}$$

$$\begin{cases} f_7 = f + fx - fy + a_1 - a_2 + a_3 \\ fx_7 = fx + 2a_1 - a_2 \\ fy_7 = fy + a_2 - 2a_3 \end{cases}$$

(pentru simplitate, nu au mai fost figurate argumentele  $x, y$  pentru funcțiile  $f, fx, fy, fi, fx_i, fy_i$ ).

Pe baza formulelor (4.20), se poate dezvolta ușor algoritmul de trasare incrementală în partea lui cea mai importantă, care este bucla principală de generare a punctelor. Pentru obținerea eficienței maxime, sînt necesare secvențe separate pentru cele 8 deplasări elementare posibile între două puncte generate consecutiv.

Deoarece curba reprezentată de ecuația (4.1) poate fi infinită (parabolă sau hiperbolă), dar spațiul de afișare (ecranul display-ului) este finit, problema încadrării în fereastra de vizualizare („clipping”) nu mai poate fi neglijată. Din acest motiv, în secvențele care implementează cele 8 deplasări elementare posibile trebuie incluse teste de depășire a limitelor ferestrei de vizualizare, corespunzătoare deplasărilor respective.

Pentru definirea ferestrei de vizualizare, vom introduce 4 constante întregi  $xmin, ymin, xmax, ymax$ , precizate astfel:  $(xmin, ymin)$  este adresa punctului limită stînga-jos, iar  $(xmax, ymax)$  este adresa punctului limită dreapta-sus, reprezentabile în fereastra de vizualizare. În mod normal,  $xmin = 0, ymin = 0, xmax = xres - 1, ymax = yres - 1$ , unde  $xres, yres$  reprezintă rezoluția ecranului în pixeli, pe orizontală, respectiv verticală.

Numerele  $xmin, ymin, xmax, ymax$  reprezintă limitele domeniului de variație pentru variabilele de adresare fizică  $x, y$ . De exemplu, pentru un display cu rezoluția de  $1024 \times 768$  puncte, vom avea:

$$0 = x_{\min} \leq x \leq x_{\max} = 1023$$

$$0 = y_{\min} \leq y \leq y_{\max} = 767.$$

După aceste precizări, prezentăm secvențele care implementează deplasările elementare în cele 8 direcții, precum și modificările corespunzătoare ale variabilelor de stare  $f$ ,  $f_x$ ,  $f_y$ ; aceste secvențe constituie împreună nucleul algoritmului de trasare incrementală a unei curbe plane de gradul doi.

### Secvența D0

Deplasare elementară în direcția 0 (la dreapta).

Pasul 1: *call plot1* ( $x, y$ );

dacă  $x = x_{\max}$ , return.

Pasul 2:  $x \leftarrow x + 1$ ;

$f_x \leftarrow f_x + 2a_1$ ;

$f_y \leftarrow f_y + a_2$ .

Pasul 3:  $f_7 \leftarrow f + f_x - f_y + a_1 - a_2 + a_3$ ;

$f_0 \leftarrow f + f_x + a_1$ ;

dacă  $f_7 + f_0 < 0$ , atunci  $f \leftarrow f_7$  și salt la Secvența D7.

Pasul 4:  $f_1 \leftarrow f + f_x + f_y + a_1 + a_2 + a_3$ ;

dacă  $f_0 + f_1 \leq 0$ , atunci  $f \leftarrow f_0$  și salt la Secvența D0.

Pasul 5:  $f \leftarrow f_1$  și salt la Secvența D1.

În primul pas se generează efectiv un punct în mediul de afișare și se verifică condiția de încadrare în fereastra de vizualizare. Subrutina *plot1* realizează o operație în plus față de subrutina *plot*, și va fi precizată ulterior (secțiunea 8.4.6). În Pasul 2 se actualizează variabilele de adresare fizică și variabilele de stare  $f_x$  și  $f_y$ , corespunzător deplasării elementare în direcția 0. În acest moment variabila  $f$  este deja actualizată (la ieșirea din secvența de deplasare anterioară). Pașii 3, 4 și 5 implementează criteriul de decizie (4.15), pe baza relațiilor de recurență (4.20) între variabilele de stare. Înainte de trecerea la următoarea secvență de deplasare elementară, se actualizează variabila de stare  $f$ .

Pentru celelalte direcții, secvențele de generare-deplasare se dezvoltă în mod analog, după cum urmează:

### Secvența D1

Deplasare elementară în direcția 1 (dreapta-sus).

Pasul 1: *call plot1* ( $x, y$ );  
 dacă  $x = x_{max}$ , return;  
 dacă  $y = y_{max}$ , return.

Pasul 2:  $x \leftarrow x + 1, y \leftarrow y + 1$ ;  
 $fx \leftarrow fx + 2a_1 + a_2$ ;  
 $fy \leftarrow fy + a_2 + 2a_3$ .

Pasul 3:  $f_0 \leftarrow f + fx + a_1$ ;  
 $f_1 \leftarrow f + fx + fy + a_1 + a_2 + a_3$ ;  
 dacă  $f_0 + f_1 < 0$ , atunci  $f \leftarrow f_0$  și salt la Secvența D0.

Pasul 4:  $f_2 \leftarrow f + fy + a_3$ ;  
 dacă  $f_1 + f_2 \leq 0$ , atunci  $f \leftarrow f_1$  și salt la Secvența D1.

Pasul 5:  $f \leftarrow f_2$  și salt la Secvența D2.

### Secvența D2

Deplasare elementară în direcția 2 (în sus).

Pasul 1: *call plot1* ( $x, y$ );  
 dacă  $y = y_{max}$ , return.

Pasul 2:  $y \leftarrow y + 1$ ;  
 $fx \leftarrow fx + a_2$ ;  
 $fy \leftarrow fy + 2a_3$ .

Pasul 3:  $f_1 \leftarrow f + fx + fy + a_1 + a_2 + a_3$ ;  
 $f_2 \leftarrow f + fy + a_3$ ;  
 dacă  $f_1 + f_2 < 0$ , atunci  $f \leftarrow f_1$  și salt la Secvența D1.

Pasul 4:  $f_3 \leftarrow f - fx + fy + a_1 - a_2 + a_3$ ;  
 dacă  $f_2 + f_3 \leq 0$ , atunci  $f \leftarrow f_2$  și salt la Secvența D2.

Pasul 5:  $f \leftarrow f_3$  și salt la Secvența D3.

### Secvența D3

Deplasare elementară în direcția 3 (stînga-sus).

Pasul 1: *call plot1* ( $x, y$ );



dacă  $x = x_{min}$  sau  $y = y_{max}$ , return.

Pasul 2:  $x \leftarrow x - 1, y \leftarrow y + 1;$

$fx \leftarrow fx - 2a_1 + a_2;$

$fy \leftarrow fy - a_2 + 2a_3.$

Pasul 3:  $f_2 \leftarrow f + fy + a_3;$

$f_3 \leftarrow f - fx + fy + a_1 - a_2 + a_3;$

dacă  $f_2 + f_3 < 0$ , atunci  $f \leftarrow f_2$  și salt la Secvența D2.

Pasul 4:  $f_4 \leftarrow f - fx + a_1;$

dacă  $f_3 + f_4 \leq 0$ , atunci  $f \leftarrow f_3$  și salt la Secvența D3.

Pasul 5:  $f \leftarrow f_4$  și salt la Secvența D4.

### Secvența D4

Deplasare elementară în direcția 4 (la stînga).

Pasul 1: *call plot1* ( $x, y$ );

dacă  $x = x_{min}$ , return.

Pasul 2:  $x \leftarrow x - 1;$

$fx \leftarrow fx - 2a_1;$

$fy \leftarrow fy - a_2.$

Pasul 3:  $f_3 \leftarrow f - fx + fy + a_1 - a_2 + a_3;$

$f_4 \leftarrow f - fx + a_1;$

dacă  $f_3 + f_4 < 0$ , atunci  $f \leftarrow f_3$  și salt la Secvența D3.

Pasul 4:  $f_5 \leftarrow f - fx - fy + a_1 + a_2 + a_3;$

dacă  $f_4 + f_5 \leq 0$ , atunci  $f \leftarrow f_4$  și salt la Secvența D4.

Pasul 5:  $f \leftarrow f_5$  și salt la Secvența D5.

### Secvența D5

Deplasare elementară în direcția 5 (stînga-jos).

Pasul 1: *call plot1* ( $x, y$ );

dacă  $x = x_{min}$ , return;

dacă  $y = y_{min}$ , return.

Pasul 2:  $x \leftarrow x - 1, y \leftarrow y - 1;$

$fx \leftarrow fx - 2a_1 - a_2;$

$fy \leftarrow fy - a_2 - 2a_3.$

Pasul 3:  $f_4 \leftarrow f - fx + a_1;$

$$f_5 \leftarrow f - fx - fy + a_1 + a_2 + a_3;$$

dacă  $f_4 + f_5 < 0$ , atunci  $f \leftarrow f_4$  și salt la Secvența D4.

Pasul 4:  $f_6 \leftarrow f - fy + a_3;$

dacă  $f_5 + f_6 \leq 0$ , atunci  $f \leftarrow f_5$  și salt la Secvența D5.

Pasul 5:  $f \leftarrow f_6$  și salt la Secvența D6.

### Secvența D6

Deplasare elementară în direcția 6 (în jos).

Pasul 1: *call plot1* ( $x, y$ );

dacă  $y = y_{min}$ , return.

Pasul 2:  $y \leftarrow y - 1;$

$$fx \leftarrow fx - a_2;$$

$$fy \leftarrow fy - 2a_3.$$

Pasul 3:  $f_5 \leftarrow f - fx - fy + a_1 + a_2 + a_3;$

$$f_6 \leftarrow f - fy + a_3;$$

dacă  $f_5 + f_6 < 0$ , atunci  $f \leftarrow f_5$  și salt la Secvența D5.

Pasul 4:  $f_7 \leftarrow f + fx - fy + a_1 - a_2 + a_3;$

dacă  $f_6 + f_7 \leq 0$ , atunci  $f \leftarrow f_6$  și salt la Secvența D6.

Pasul 5:  $f \leftarrow f_7$  și salt la Secvența D7.

### Secvența D7

Deplasare elementară în direcția 7 (dreapta-jos).

Pasul 1: *call plot1* ( $x, y$ );

dacă  $x = x_{max}$  sau  $y = y_{min}$ , return.

Pasul 2:  $x \leftarrow x + 1, y \leftarrow y - 1;$

$$fx \leftarrow fx + 2a_1 - a_2;$$

$$fy \leftarrow fy + a_2 - 2a_3.$$

Pasul 3:  $f_6 \leftarrow f - fy + a_3;$

$$f_7 \leftarrow f + fx - fy + a_1 - a_2 + a_3;$$

dacă  $f_6 + f_7 < 0$ , atunci  $f \leftarrow f_6$  și salt la Secvența D6.

Pasul 4:  $f_0 \leftarrow f + fx + a_1;$

dacă  $f_7 + f_0 \leq 0$ , atunci  $f \leftarrow f_7$  și salt la Secvența D7.

Pasul 5:  $f \leftarrow f_0$  și salt la Secvența D0.

Rutinele prezentate mai sus utilizează, în afară de variabilele de stare  $f$ ,  $fx$ ,  $fy$  și variabilele de adresare fizică  $x, y$ , încă 8 variabile auxiliare temporare  $f_i, i = \overline{0, 7}$ . Acestea pun în evidență modul de folosire a formulelor de deplasare incrementală (4.20) pentru actualizarea variabilelor de stare. De fapt, este suficientă o singură variabilă auxiliară, comună pentru toate cele 8 secvențe, și această posibilitate trebuie luată în considerare în cazul unei implementări concrete. De exemplu, secvența care realizează deplasarea elementară în direcția 0 poate fi rescrisă într-un mod echivalent, cu ajutorul variabilei auxiliare  $t$ , în modul următor:

---

### Secvența D0

---

Deplasare elementară în direcția 0 (la dreapta).

Pasul 1: *call plo1* ( $x, y$ );  
dacă  $x = x_{max}$ , return.

Pasul 2:  $x \leftarrow x + 1$ ;  
 $fx \leftarrow fx + 2a_1$ ;  
 $fy \leftarrow fy + a_2$ .

Pasul 3:  $t \leftarrow f + fx + a_1$ ;  
 $f \leftarrow t - fy - a_2 + a_3$ ;  
dacă  $f + t < 0$ , atunci salt la Secvența D7.

Pasul 4:  $f \leftarrow t + fy + a_2 + a_3$ ;  
dacă  $f + t > 0$ , atunci salt la Secvența D1.

Pasul 5:  $f \leftarrow t$  și salt la Secvența D0.

În plus, secvența precedentă ilustrează posibilitățile de reducere a numărului operațiilor aritmetice și de atribuire necesare pentru implementarea deplasărilor incrementale.

### 8.4.5. Trasarea unui arc de curbă

În această secțiune prezentăm procedurile de trasare a unui arc de curbă de ecuație (4.1), pornind de la un punct  $(x, y)$  de intersecție al curbei cu una din laturile ferestrei de vizualizare. Se presupune că sensul de parcurgere a arcului de curbă a fost ales astfel încât  $f < 0$  ( $f > 0$ ) la stînga (respectiv dreapta) direcției de înaintare.

Procedurile de trasare a unui arc de curbă se bazează pe secvențele de generare incrementală D0, D1, ... D7 dezvoltate în secțiunea 8.4.4. La început, fiecare procedură de trasare trebuie să inițializeze variabilele de stare  $f$ ,  $fx$ ,  $fy$  și să aleagă direcția primei deplasări elementare. Deplasările

ulterioare sînt efectuate în cadrul secvențelor D0, D1, ... D7, pînă cînd se ajunge la celălalt capăt al arcului de curbă, adică pînă cînd se întîlnește din nou o margine a ferestrei de vizualizare.

În continuare descriem procedurile *arc\_up* și *arc\_up\_rev*, care trasează un arc de curbă pornind de la un punct situat la marginea de jos ( $y = y_{min}$ ) a ferestrei de vizualizare. În acest caz, prima deplasare elementară poate fi în una din direcțiile 0, 1, 2, 3 sau 4. Pentru alegerea direcției optime, poate fi aplicată ideea cuprinsă în criteriul (4.16) de efectuare a pasului incremental. Mai precis, se calculează pe rînd sumele  $f(P_i) + f(P_{i+1})$ , pentru  $i = 0, 1, 2, 3$  și se alege deplasarea în direcția  $j$ , unde  $j$  este primul  $i$  pentru care  $f(P_i) + f(P_{i+1}) < 0$ . În acest caz sînt necesare (maximum) 4 comparații, deoarece există 5 posibilități de alegere. Acest principiu de decizie se bazează în mod esențial pe ipoteza că  $f < 0$  ( $> 0$ ) la stînga (respectiv dreapta) direcției de înaintare (fig. 8-24).

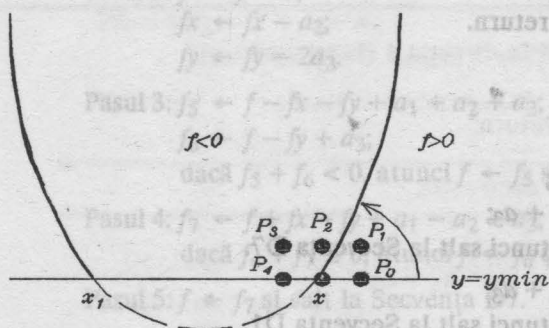


Figura 8-24.

Alegerea primei deplasări elementare prin inspectarea direcțiilor posibile în sens trigonometric direct.

Criteriul de alegere de mai sus reprezintă de fapt generalizarea criteriului (4.16) pentru 5 puncte candidat. La fel ca în secțiunea 8.4.3, se poate obține ușor o justificare riguroasă analizînd toate posibilitățile de poziționare relativă a punctelor candidat  $P_0, P_1, P_2, P_3, P_4$  în raport cu traseul curbei ideale. Procedura de trasare a unui arc de curbă descrisă în continuare se bazează pe metoda prezentată mai sus de alegere a direcției inițiale.

### Procedura *arc\_up*

Trasarea unui arc de curbă pornind de la un punct  $(x, y)$  situat la marginea de jos a ferestrei de vizualizare ( $y = y_{min}$ ).

Pasul 1:  $f \leftarrow a_1x^2 + a_2xy + a_3y^2 + a_4x + a_5y + a_6$ ;

$fx \leftarrow 2a_1x + a_2y + a_4$ .

Pasul 2:  $f_0 \leftarrow f + fx + a_1$ ;

dacă  $f + f_0 \geq 0$ , atunci salt la Pasul 3;



$x \leftarrow x + 1;$

$f \leftarrow f_0;$

$fx \leftarrow fx + 2a_1.$

Pasul 3: dacă  $x < x_{min}$ , return;

dacă  $x > x_{max}$ , return.

Pasul 4:  $fy \leftarrow a_2x + 2a_3y + a_5;$

$drawn \leftarrow true.$

Pasul 5:  $f_0 \leftarrow f + fx + a_1;$

$f_1 \leftarrow f + fx + fy + a_1 + a_2 + a_3;$

dacă  $f_0 + f_1 < 0$ , atunci  $f \leftarrow f_0$  și salt la Secvența D0.

Pasul 6:  $f_2 \leftarrow f + fy + a_3;$

dacă  $f_1 + f_2 < 0$ , atunci  $f \leftarrow f_1$  și salt la Secvența D1.

Pasul 7:  $f_3 \leftarrow f - fx + fy + a_1 - a_2 + a_3;$

dacă  $f_2 + f_3 \leq 0$ , atunci  $f \leftarrow f_2$  și salt la Secvența D2.

Pasul 8:  $f_4 \leftarrow f - fx + a_1;$

dacă  $f_3 + f_4 \leq 0$ , atunci  $f \leftarrow f_3$  și salt la Secvența D3.

Pasul 9:  $f \leftarrow f_4$  și salt la Secvența D4.

Procedura are ca date de intrare coordonatele  $x, y$  ale punctului inițial, care se calculează în programul principal (secțiunea 8.4.6) prin intersectarea curbei cu dreapta  $y = y_{min}$ . În Pasul 1 se inițializează variabilele de stare  $f = f(x, y)$  și  $fx = f'_x(x, y)$ . În Pasul 2 se efectuează o corecție a valorii abscisei  $x$ , dat fiind că valoarea inițială este calculată în programul principal cu ajutorul funcției parte întreagă, deci cu aproximație prin lipsă. Variabila  $x$  este incrementată dacă punctul  $(x+1, y_{min})$  este mai aproape de curbă decât  $(x, y_{min})$ , ceea ce se detectează prin condiția  $f(x, y_{min}) + f(x+1, y_{min}) < 0$ . În Pasul 3 se verifică condițiile de încadrare în fereastra de vizualizare pe orizontală, care nu sînt verificate în programul principal. În Pasul 4 se inițializează variabila de stare  $fy = f'_y(x, y)$  și se memorează în variabila logică globală *drawn* faptul că un arc de curbă este efectiv generat. Rolul acestei variabile globale va fi precizat în secțiunea 8.4.6. Pașii 5, 6, 7, 8, 9 implementează criteriul de alegere a direcției inițiale de deplasare expus mai înainte.

Procedura *arc\_up* funcționează corect în cazul în care  $x_1 \leq x$ , unde  $x_1$  este abscisa celui de-al doilea punct de intersecție al curbei (4.1) cu orizontala  $y = y_{min}$  (fig. 8-24). Chiar dacă cele două puncte de intersecție (dacă acestea există) sînt foarte apropiate sau coincid din cauza aproximărilor la numere întregi, procedura *arc\_up* selectează direcția inițială corectă.

Pe de altă parte, dacă al doilea punct de intersecție este la dreapta

punctului  $(x, y_{min})$ , ca în fig. 8-25, procedura *arc\_up* este inoperantă în cazul cînd cele două puncte de intersecție sînt foarte apropiate. În această situație este necesară examinarea celor 5 posibilități în ordine inversă, adică în sens trigonometric invers. Prin urmare, procedeul corect de alegere a direcției inițiale constă în a calcula pe rînd sumele  $f(P_i) + f(P_{i-1})$ , pentru  $i = 4, 3, 2, 1$ , și a selecta direcția inițială  $j$ , unde  $j$  este primul (cel mai mare)  $i$  pentru care  $f(P_i) + f(P_{i-1}) > 0$ ; acest criteriu de decizie se concretizează în procedura *arc\_up\_rev* descrisă în continuare.

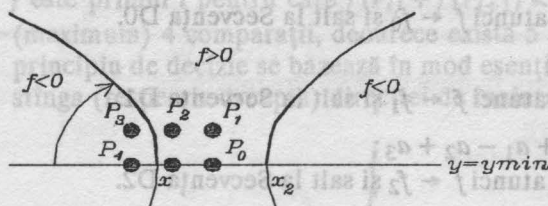


Figura 8-25.

Alegerea primei deplasări elementare prin examinarea direcțiilor posibile în sens trigonometric invers.

### Procedura *arc\_up\_rev*

Trasarea unui arc de curbă pornind de la un punct  $(x, y)$  situat la marginea de jos a ferestrei de vizualizare ( $y = y_{min}$ ).

Pasul 1:  $f \leftarrow a_1x^2 + a_2xy + a_3y^2 + a_4x + a_5y + a_6$ ;

$fx \leftarrow 2a_1x + a_2y + a_4$ .

Pasul 2:  $f_0 \leftarrow f + fx + a_1$ ;

dacă  $f + f_0 \geq 0$ , atunci salt la Pasul 3;

$x \leftarrow x + 1$ ;

$f \leftarrow f_0$ ;

$fx \leftarrow fx + 2a_1$ .

Pasul 3: dacă  $x < x_{min}$ , return;

dacă  $x > x_{max}$ , return.

Pasul 4:  $fy \leftarrow a_2x + 2a_3y + a_5$ ;

*drawn*  $\leftarrow$  true.

Pasul 5:  $f_4 \leftarrow f - fx + a_1$ ;

$f_3 \leftarrow f - fx + fy + a_1 - a_2 + a_3$ ;

dacă  $f_4 + f_3 > 0$ , atunci  $f \leftarrow f_4$  și salt la Secvența D4.

Pasul 6:  $f_2 \leftarrow f + fy + a_3$ ;

dacă  $f_3 + f_2 > 0$ , atunci  $f \leftarrow f_3$  și salt la Secvența D3.

Pasul 7:  $f_1 \leftarrow f + fx + fy + a_1 + a_2 + a_3$ ;

dacă  $f_2 + f_1 \geq 0$ , atunci  $f \leftarrow f_2$  și salt la Secvența D2.

Pasul 8:  $f_0 \leftarrow f + fx + a_1$ ;

dacă  $f_1 + f_0 \geq 0$ , atunci  $f \leftarrow f_1$  și salt la Secvența D1.

Pasul 9:  $f \leftarrow f_0$  și salt la Secvența D0.

Procedurile *arc\_up* și *arc\_up\_rev* se referă la un arc de curbă care pornește de la marginea de jos a ferestrei. Pentru fiecare din celelalte 3 margini sînt necesare cîte două proceduri: *arc\_down* și *arc\_down\_rev* pentru marginea de sus, *arc\_right* și *arc\_right\_rev* pentru marginea din stînga, *arc\_left* și *arc\_left\_rev* pentru marginea din dreapta. Aceste proceduri se construiesc în mod asemănător și nu mai sînt detaliate aici. Precizăm numai că procedurile *arc\_down*, *arc\_right* și *arc\_left* analizează direcțiile posibile pentru prima deplasare elementară în sens trigonometric direct, după cum urmează:

- *arc\_down* — direcțiile 4, 5, 6, 7, 0;
- *arc\_right* — direcțiile 6, 7, 0, 1, 2;
- *arc\_left* — direcțiile 2, 3, 4, 5, 6.

Analog, procedurile *arc\_down\_rev*, *arc\_right\_rev*, *arc\_left\_rev* analizează direcțiile posibile ale primei deplasări în sens trigonometric invers:

- *arc\_down\_rev* — direcțiile 0, 7, 6, 5, 4;
- *arc\_right\_rev* — direcțiile 2, 1, 0, 7, 6;
- *arc\_left\_rev* — direcțiile 6, 5, 4, 3, 2.

#### 8.4.6. Trasarea curbei generale de gradul doi

Sîntem acum în măsură să abordăm rutina principală de trasare a unei curbe conice, reprezentată analitic printr-o ecuație de forma (4.1). Structura algoritmului general de trasare este destul de simplă, și cuprinde în principal următoarele trei faze:

1) La început se calculează cantitățile  $\delta$ ,  $\Delta$  după formulele (4.2), și se separă trasarea conicelor degenerate ( $\Delta = 0$ ). După cum se va arăta în secțiunea 8.4.7, în multe cazuri particulare de degenerare algoritmul principal de trasare funcționează corect; totuși, există situații cînd trasarea curbelor degenerate trebuie abordată separat.

Pentru algoritmul principal de trasare se asigură condiția  $\Delta > 0$ , eventual printr-o schimbare generală de semn a coeficienților  $a_i$ ,  $i = \overline{1, 6}$ .

2) În faza cea mai importantă a algoritmului, care începe cu Pasul 3, se calculează toate intersecțiile curbei (4.1) cu laturile ferestrei de vizualizare. Funcția  $f(x, y)$  fiind de gradul doi în  $x$  și  $y$ , curba  $f(x, y) = 0$  intersectează fiecare latură a ferestrei în 0, 1 sau 2 puncte; în total pot exista maximum 8 puncte de intersecție (fig. 8–26).



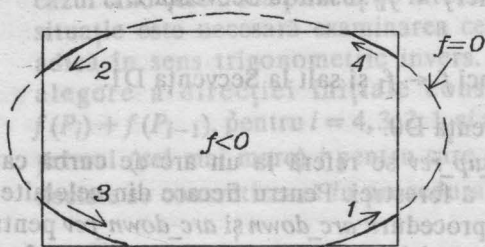


Figura 8-26.

Pot exista maximum 8 puncte de intersecție ale conicei (4.1) cu marginile ferestrei dreptunghiulare de vizualizare, și maximum 4 arce de curbă în interiorul ferestrei, care sînt trasate în ordinea indicată.

Pentru fiecare punct de intersecție, se cercetează semnul funcției  $f$  la dreapta arcului de curbă care pornește din acest punct, și este orientat spre interiorul ferestrei. Dacă  $f < 0$  la dreapta curbei, atunci punctul de intersecție este neglijat, deoarece arcul de curbă trebuie trasat începînd de la celălalt capăt, care corespunde altui punct de intersecție. Dacă  $f > 0$  la dreapta curbei, atunci arcul de curbă care pornește din punctul de intersecție respectiv este trasat cu ajutorul uneia din procedurile dezvoltate în secțiunea 8.4.5. În cazul în care există două puncte de intersecție, unul și numai unul dintre acestea îndeplinește condiția de mai sus cu privire la semnul lui  $f$ .

Modul de calculare a punctelor de intersecție ale curbei ideale cu marginile ferestrei de vizualizare necesită o analiză atentă, pentru a evita erorile de plasare care pot rezulta din structura discretă a mediului de afișare. Ne vom referi la intersecția cu marginea de jos ( $y = y_{min}$ ), pentru celelalte margini problema rezolvîndu-se în mod analog.

Pentru a determina abscisele punctelor de intersecție ale curbei  $f(x, y) = 0$  cu dreapta  $y = y_{min}$ , se calculează aproximări întregi prin lipsă pentru rădăcinile ecuației în  $x$ :

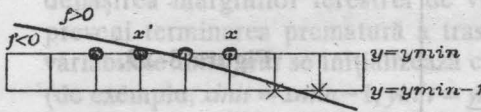
$$f(x, y) + f(x, y-1) = 2a_1x^2 + a_2x(2y-1) + a_3(2y^2-2y+1) + 2a_4x + a_5(2y-1) + 2a_6 = 0 \quad (4.21)$$

unde  $y = y_{min}$ . Această condiție conduce la rezultatul corect, spre deosebire de ecuația teoretică  $f(x, y_{min}) = 0$ , în spațiul discret de afișare în care interesează numai coordonatele întregi ale punctelor generate. De exemplu, în cazul ilustrat în fig. 8-27 în care curba intersectează orizontala sub un unghi foarte ascuțit, ecuația (4.21) conduce la adresa  $x$  a primului punct generat, care nu coincide cu abscisa punctului teoretic de intersecție.

Ecuația (4.21) este o consecință a faptului că  $f(x, y_{min}) + f(x, y_{min}-1) < 0$  (respectiv  $> 0$ ) pentru toate punctele  $(x, y_{min})$  mai apropiate (respectiv mai depărtate) de curbă decît  $(x, y_{min}-1)$ . În cazul limită în care  $f(x, y_{min}) + f(x, y_{min}-1) = 0$ , avem  $f(x, y_{min}) = -f(x, y_{min}-1)$ , ceea ce înseamnă că punctele  $(x, y_{min})$  și  $(x, y_{min}-1)$  sînt (aproximativ) egal



Figura 8-27.



Ecuția (4.21) furnizează abscisa  $x$  a primului punct generat, care nu coincide întotdeauna cu abscisa  $x'$  a punctului teoretic de intersecție (în aproximație întreagă).

depărtate de curba ideală, în conformitate cu ipoteza  $I_1$  discutată în secțiunea 8.4.2. Prin urmare ecuația (4.21) furnizează direct adresa  $x$  începînd de la care punctele care trebuie generate intră în fereastră (eventual cu o croare de un punct spre stînga, datorită aproximării prin lipsă).

Dacă curba  $f(x, y) = 0$  intersectează orizontala  $y = y_{min}$  sub un unghi apropiat de  $90^\circ$ , atunci ecuația (4.21) conduce la același rezultat ca ecuația  $f(x, y_{min}) = 0$  (în aproximație întreagă).

Condiția (4.21) este în particular foarte adecvată pentru cazurile în care curba  $f(x, y) = 0$  este aproape tangentă la dreapta  $y = y_{min}$ . În aceste cazuri, ecuația (4.21) nu are soluții dacă toate punctele care trebuie generate sînt în interiorul ferestrei de vizualizare. De exemplu, parabola  $f(x, y) = (x-10)^2 - 12y - 4 = 0$  intersectează axa  $y = 0$  în punctele  $(8, 0)$  și  $(12, 0)$ ; pe de altă parte, ecuația  $f(x, 0) + f(x, -1) = 2(x-10)^2 + 4 = 0$  nu are soluții, în conformitate cu faptul că nici unul din punctele din rastru care trebuie generate nu coboară sub axa  $y = 0$  (fig. 8-28). Acest fapt va avea ca rezultat trasarea întregii curbe printr-un singur arc, pornind de la unul din punctele de intersecție cu celelalte margini  $y = y_{max}$ ,  $x = x_{min}$  sau  $x = x_{max}$ .

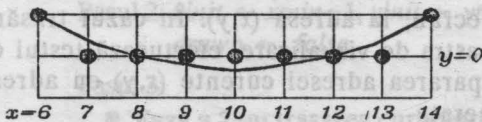


Figura 8-28.

Parabola  $(x-10)^2 - 12y - 4 = 0$  intersectează axa  $y = 0$ , dar toate punctele generate au ordonate  $y \geq 0$ .

3) În faza a 3-a, care începe cu Pasul 17 al algoritmului, se trasează curbele care nu intersectează marginile ferestrei de vizualizare: cercuri sau elipse complet incluse în fereastră. Această situație se detectează prin condiția  $drawn = false$ . Variabila logică globală  $drawn$ , inițializată cu valoarea  $false$  în faza 1, ia valoarea  $true$  dacă cel puțin un arc de curbă este efectiv generat în faza 2.

Cercurile și elipsele complet incluse în fereastră se trasează în modul

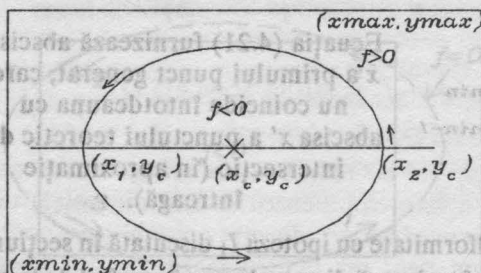


Figura 8-29.

Trasarea curbelor complet incluse în fereastra de vizualizare.

următor (fig. 8-29): se calculează ordonata  $y_c$  a centrului curbei, după formula (4.23), apoi se calculează abscisele  $x_1, x_2, x_1 \leq x_2$  ale punctelor de intersecție ale curbei cu orizontala  $y = y_c$ , iar în final se apelează procedura *arc\_up* pentru trasarea efectivă, începînd cu punctul de intersecție din dreapta  $(x_2, y_c)$ .

În acest caz, procesul iterativ de generare a punctelor se termină după parcurgerea completă a curbei închise, deci atunci cînd se ajunge din nou la primul punct generat. Înainte de începerea trasării, adresa primului punct generat se memorează cu ajutorul variabilelor *xinit, yinit*. Condiția de terminare a trasării este testată în rutina *plot1*, care este apelată pentru generarea efectivă a fiecărui punct, și care este descrisă în continuare. Variabila logică *second*, inițializată la valoarea *false*, la intrarea în faza a 3-a a algoritmului, este utilizată în rutina *plot1* pentru oprirea trasării atunci cînd se ajunge a doua oară la adresa  $(xinit, yinit)$ .

#### Rutina *plot1* (*x, y*)

Generează un punct pe ecran, la adresa  $(x, y)$ . În cazul trasării curbelor închise incluse în fereastra de vizualizare, efectuează testul de terminare a trasării prin compararea adresei curente  $(x, y)$  cu adresa  $(xinit, yinit)$  a primului punct generat.

Pasul 1: Dacă  $x \neq xinit$ , salt la Pasul 2;  
dacă  $y \neq yinit$ , salt la Pasul 2;  
dacă *second* = *true*, atunci stop;  
*second* ← *true*.

Pasul 2: call *plot* (*x, y*);  
return.

Rutina *plot1* este utilizată și în faza a 2-a a algoritmului, când terminarea trasării unui arc de curbă se detectează într-un mod diferit, și anume prin depășirea marginilor ferestrei de vizualizare (secțiunea 8.4.4). Pentru a preveni terminarea prematură a trasării datorită testului din rutina *plot1*, variabilele *xinit*, *yinit* se inițializează cu adresa unui punct imposibil de atins (de exemplu,  $xinit = xmin - 1$ ,  $yinit = ymin - 1$ ) la intrarea în faza a 2-a.

După aceste pregătiri, sîntem în măsură să construim modulul principal al algoritmului de trasare a curbelor conice plane, reprezentate printr-o ecuație de gradul doi de forma generală (4.1). Alte precizări sînt adăugate în cuprinsul algoritmului și marcate cu semnul „●”.

### Algoritmul D

Trasarea incrementală a unei curbe plane de gradul doi, de ecuație  $f(x, y) = a_1x^2 + a_2xy + a_3y^2 + a_4x + a_5y + a_6 = 0$ . Date de intrare: coeficienții  $a_i$ ,  $i = \overline{1, 6}$  și marginile ferestrei de vizualizare  $xmin$ ,  $ymin$ ,  $xmax$ ,  $ymax$  (toate sub formă de numere întregi).

Pasul 1:

● Faza 1: inițializări

$$\delta \leftarrow a_2^2 - 4a_1a_3;$$

$$\Delta \leftarrow a_1a_5^2 + a_3a_4^2 - a_2a_4a_5 + a_6\delta;$$

dacă  $\Delta = 0$ , trasează conică degenerată

● a se vedea secțiunea 8.4.7;

dacă  $\Delta > 0$ , salt la Pasul 2;

$$a_i \leftarrow -a_i \text{ pentru } i = \overline{1, 6};$$

$$\Delta \leftarrow -\Delta$$

● a fost asigurată condiția  $\Delta > 0$ .

Pasul 2:  $xinit \leftarrow xmin - 1$ ,  $yinit \leftarrow ymin - 1$ ;

*drawn*  $\leftarrow$  *false*.

Pasul 3:

● Faza a 2-a: trasarea curbelor care intersectează marginile ferestrei de vizualizare. Sînt trasate pe rînd toate arcele de curbă neîntrerupte care sînt incluse în fereastră.

Dacă  $a_1 \neq 0$ , salt la Pasul 6.

Pasul 4:

● Curba intersectează cel mult într-un punct marginile de jos și de sus ale ferestrei

$$y \leftarrow ymin;$$

dacă  $a_2(2y - 1) + 2a_4 = 0$ , salt la Pasul 5

- În acest caz,  $f(x, y_{min}) + f(x, y_{min}-1)$  nu se anulează, deci curba nu traversează horizontala  $y = y_{min}$ ;

$$x \leftarrow -\frac{a_3(2y^2-2y+1)+a_5(2y-1)+2a_6}{a_2(2y-1)+2a_4}$$

- Abscisa punctului de intersecție, calculată din ecuația  $f(x, y_{min}) + f(x, y_{min}-1) = 0$ . Toate intersecțiile se calculează prin aproximare la numere întregi prin lipsă, dar acest aspect nu este exprimat explicit;

dacă  $a_1(2x+1)+a_2y+a_4 < 0$ , salt la Pasul 5

- trasarea efectivă are loc numai dacă  $f > 0$  la dreapta direcției de înaintare, ceea ce în acest caz este echivalent cu  $f(x+1, y) > f(x, y)$ ;

call arc\_up.

Pasul 5:  $y \leftarrow y_{max}$ ;

dacă  $a_2(2y+1)+2a_4 = 0$ , salt la Pasul 10

- $f(x, y_{max}) + f(x, y_{max}+1) \neq 0$ , deci curba nu traversează horizontala  $y = y_{max}$ ;

$$x \leftarrow -\frac{a_3(2y^2+2y+1)+a_5(2y+1)+2a_6}{a_2(2y+1)+2a_4}$$

- abscisa punctului de intersecție rezultă din ecuația  $f(x, y_{max}) + f(x, y_{max}+1) = 0$ ;

dacă  $a_1(2x+1)+a_2y+a_4 > 0$ , salt la Pasul 10

- $f > 0$  la dreapta direcției de înaintare  $\Leftrightarrow f(x+1, y) < f(x, y)$ ;

call arc\_down;

salt la Pasul 10.

Pasul 6:

- Curba intersectează marginile de jos și de sus în cel mult două puncte;

$y \leftarrow y_{min}$ ;

$$D \leftarrow [a_2(2y-1)+2a_4]^2 - 8a_1[a_3(2y^2-2y+1)+a_5(2y-1)+2a_6];$$

dacă  $D < 0$ , salt la Pasul 8

- ecuația  $f(x, y_{min}) + f(x, y_{min}-1) = 0$  nu are rădăcini reale;

$$x_1 \leftarrow \frac{-[a_2(2y-1)+2a_4] - \sqrt{D}}{4a_1}, x_2 \leftarrow \frac{-[a_2(2y-1)+2a_4] + \sqrt{D}}{4a_1};$$

dacă  $x_1 > x_2$ , atunci  $t \leftarrow x_1, x_1 \leftarrow x_2, x_2 \leftarrow t$

- au fost calculate rădăcinile  $x_1, x_2, x_1 \leq x_2$  ale ecuației  $f(x, y_{min}) + f(x, y_{min}-1) = 0$ , care sînt abscisele punctelor de intersecție cu horizontala  $y = y_{min}$ ;

dacă  $a_1(2x_2+1)+a_2y+a_4 < 0$ , salt la Pasul 7

- pentru arcul de curbă care pornește din  $(x_2, y)$ ,  $f > 0$  la dreapta



direcției de înaintare  $\Leftrightarrow f(x_2+1, y) > f(x_2, y)$ ;

$x \leftarrow x_2$ ;

call arc\_up

- conform situației din fig. 8-24;  
salt la Pasul 8.

Pasul 7:  $x \leftarrow x_1$ ;

call arc\_up\_rev

- conform situației din fig. 8-25.

Pasul 8:  $y \leftarrow y_{\max}$ ;

$D \leftarrow [a_2(2y+1)+2a_4]^2 - 8a_1[a_3(2y^2+2y+1)+a_5(2y+1)+2a_6]$ ;

dacă  $D < 0$ , salt la Pasul 10

- ecuația  $f(x, y_{\max}) + f(x, y_{\max}+1) = 0$  nu are rădăcini reale;

$x_1 \leftarrow \frac{-[a_2(2y+1)+2a_4] - \sqrt{D}}{4a_1}$ ,  $x_2 \leftarrow \frac{-[a_2(2y+1)+2a_4] + \sqrt{D}}{4a_1}$ ;

dacă  $x_1 > x_2$ , atunci  $t \leftarrow x_1$ ,  $x_1 \leftarrow x_2$ ,  $x_2 \leftarrow t$

- au fost calculate rădăcinile  $x_1, x_2$ ,  $x_1 \leq x_2$  ale ecuației  $f(x, y_{\max}) + f(x, y_{\max}+1) = 0$ , care sînt abscisele punctelor de intersecție cu orizontala  $y = y_{\max}$ ;

dacă  $a_1(2x_2+1)+a_2y+a_4 < 0$ , salt la Pasul 9

- pentru arcul de curbă care pornește din  $(x_2, y)$ ,  $f > 0$  la dreapta direcției de înaintare  $\Leftrightarrow f(x_2+1, y) < f(x_2, y)$ ;

$x \leftarrow x_1$ ;

call arc\_down;

salt la Pasul 10.

Pasul 9:  $x \leftarrow x_2$ ;

call arc\_down\_rev.

Pasul 10:

- Se calculează acum intersecțiile cu marginile verticale ale ferestrei de vizualizare.

Dacă  $a_3 \neq 0$ , salt la Pasul 13.

Pasul 11:

- Curba intersectează cel mult într-un punct marginile din stînga și din dreapta;

$x \leftarrow x_{\min}$

dacă  $a_2(2x-1)+2a_5 = 0$ , salt la Pasul 12;

$y \leftarrow -\frac{a_1(2x^2-2x+1)+a_4(2x-1)+2a_6}{a_2(2x-1)+2a_5}$

- ordonata punctului de intersecție, calculată din ecuația

$f(x_{min}, y) + f(x_{min}-1, y) = 0$ ;  
dacă  $a_3(2y+1) + a_2x + a_5 > 0$ , salt la Pasul 12

- trasarea efectivă are loc numai dacă  $f > 0$  la dreapta direcției de înaintare, ceea ce în acest caz este echivalent cu  $f(x, y+1) < f(x, y)$ ;  
call arc\_right.

Pasul 12:  $x \leftarrow x_{max}$ ;

dacă  $a_2(2x+1) + 2a_5 = 0$ , stop;

$y \leftarrow -\frac{a_1(2x^2+2x+1) + a_4(2x+1) + 2a_6}{a_2(2x+1) + 2a_5}$ ;

dacă  $a_3(2y+1) + a_2x + a_5 < 0$ , stop;

call arc\_left;

stop

- în acest caz algoritmul nu mai intră în faza a 3-a, în care sînt trasate numai curbe de tip eliptic, deoarece  $a_1 \neq 0$ ,  $a_3 \neq 0$  pentru acest gen de curbe.

Pasul 13:

- Curba intersectează marginile din stînga și din dreapta în cel mult două puncte

$x \leftarrow x_{min}$

$D \leftarrow [a_2(2x-1) + 2a_5]^2 - 8a_3[a_1(2x^2-2x+1) + a_4(2x-1) + 2a_6]$ ;

dacă  $D < 0$ , salt la Pasul 15;

$y_1 \leftarrow \frac{-[a_2(2x-1) + 2a_5] - \sqrt{D}}{4a_3}$ ,  $y_2 \leftarrow \frac{-[a_2(2x-1) + 2a_5] + \sqrt{D}}{4a_3}$ ;

dacă  $y_1 > y_2$ , atunci  $t \leftarrow y_1$ ,  $y_1 \leftarrow y_2$ ,  $y_2 \leftarrow t$ ;

dacă  $a_3(2y_2+1) + a_2x + a_5 < 0$ , salt la Pasul 14;

$y \leftarrow y_1$ ;

call arc\_right;

salt la Pasul 15.

Pasul 14:  $y \leftarrow y_2$ ;

call arc\_right\_rev.

Pasul 15:  $x \leftarrow x_{max}$ ;

$D \leftarrow [a_2(2x+1) + 2a_5]^2 - 8a_3[a_1(2x^2+2x+1) + a_4(2x+1) + 2a_6]$ ;

dacă  $D < 0$ , salt la Pasul 17;

$y_1 \leftarrow \frac{-[a_2(2x+1) + 2a_5] - \sqrt{D}}{4a_3}$ ,  $y_2 \leftarrow \frac{-[a_2(2x+1) + 2a_5] + \sqrt{D}}{4a_3}$ ;

dacă  $y_1 > y_2$ , atunci  $t \leftarrow y_1$ ,  $y_1 \leftarrow y_2$ ,  $y_2 \leftarrow t$ ;

dacă  $a_3(2y_2+1) + a_2x + a_5 < 0$ , salt la Pasul 16;

$y \leftarrow y_2$ ;

call arc\_left;  
salt la Pasul 17.

Pasul 16:  $y \leftarrow y_1$ ;  
call arc\_left\_rev.

Pasul 17:

- Faza a 3-a: trasarea curbelor închise de tip eliptic, care sînt complet incluse în fereastra de vizualizare

Dacă  $drawn = .true.$ , stop

- cel puțin un arc de curbă a fost trasat în faza a 2-a;

dacă  $\delta \geq 0$ , stop

- curba este de tip hiperbolic sau parabolic, exterioară ferestrei de vizualizare;

$$y \leftarrow \frac{2a_1a_5 - a_2a_4}{\delta}$$

- ordonata centrului curbei de tip eliptic, care este și ordonata primului punct generat;

dacă  $y < y_{min}$  sau  $y > y_{max}$ , stop

- curba este exterioară ferestrei;

$$D \leftarrow (a_2y + a_4)^2 - 4a_1(a_3y^2 + a_5y + a_6);$$

dacă  $D < 0$ , stop

- în acest caz ecuația nu reprezintă o curbă reală;

$$x_1 \leftarrow \frac{-(a_2y + a_4) - \sqrt{D}}{2a_1}, x_2 \leftarrow \frac{-(a_2y + a_4) + \sqrt{D}}{2a_1};$$

dacă  $x_1 > x_2$ , atunci  $t \leftarrow x_1, x_1 \leftarrow x_2, x_2 \leftarrow t$

- au fost calculate intersecțiile  $(x_1, y)$  și  $(x_2, y)$ ,  $x_1 \leq x_2$  ale curbei cu orizontala care trece prin centru — fig. 8-29;

dacă  $x_2 < x_{min}$  sau  $x_2 > x_{max}$ , stop

- curba este exterioară ferestrei, deși centrul curbei este în interiorul ei;

dacă  $x_1 \neq x_2$ , salt la Pasul 18;

call plot  $(x_2, y)$

- în acest caz curbă este aproximată printr-un singur punct;

stop.

Pasul 18:  $x \leftarrow x_2$

- se pornește de la punctul de intersecție din dreapta — fig. 8-29;

$$f \leftarrow ax^2 + a_2xy + a_3y^2 + a_4x + a_5y + a_6;$$

$$fx \leftarrow 2a_1x + a_2y + a_4;$$

$$f_0 \leftarrow f + fx + a_1;$$

dacă  $f + f_0 < 0$ , atunci  $x \leftarrow x + 1$

- corectare a poziției punctului inițial, asemănătoare cu cea

efectuată la începutul procedurii *arc\_up*;

$x_{init} \leftarrow x, y_{init} \leftarrow y$

- se memorează adresa primului punct generat;  
 $second \leftarrow false$ ; salt la procedura *arc\_up*
- pentru curbele închise, momentul terminării procesului de generare se detectează în rutina *plot1*, atunci când se ajunge a doua oară la adresa ( $x_{init}, y_{init}$ ).

#### 8.4.7. Curbe degenerare

După cum s-a dovedit în secțiunea 8.4.1, dacă  $\Delta = 0$ , ecuația (4.1) nu reprezintă o curbă propriu-zisă; ea se descompune în două ecuații de gradul întâi cu coeficienți în general complecși, care reprezintă două drepte plane în cazul când toți acești coeficienți sînt reali. Algoritmul de trasare dezvoltat în secțiunile precedente funcționează corect și poate fi aplicat pentru cazurile de degenerare când cele două drepte sînt paralele sau se intersectează în afara ferestrei de vizualizare. Dacă dreptele sînt concurente în interiorul ferestrei, algoritmul general funcționează aproape corect, în sensul că apar neliniarități de cîteva puncte în vecinătatea punctului de intersecție (fig. 8-30).

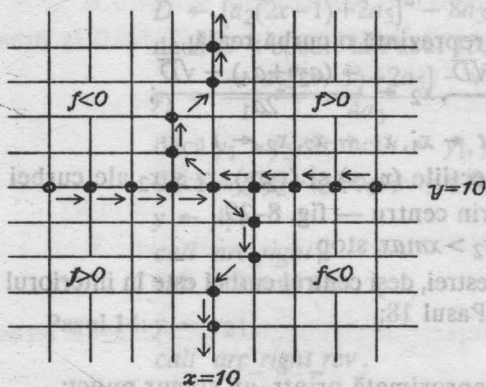


Figura 8-30.

Rezultatul aplicării  
algoritmului general de trasare  
pentru curba degenerată  
 $f(x, y) = xy - 10x - 10y + 100 =$   
 $= (x-10)(y-10) = 0$ . Punctul  
(10, 10) este generat de două ori.

Algoritmul nu poate fi aplicat pentru trasarea curbelor degenerare în două drepte confundate (de exemplu  $f(x, y) = x^2 - 2xy + y^2 = (x-y)^2 = 0$ ), deoarece nu poate fi asigurată condiția  $f(x, y) < 0$  la stînga direcției de înaintare.

Pentru trasarea corectă a curbelor degenerare este posibilă și o altă metodă, care se impune în cazurile în care cele două drepte sînt confundate sau concurente în interiorul ecranului: se calculează coeficienții ecuațiilor celor două drepte, în funcție de coeficienții ecuației inițiale (4.1), și se aplică de două ori algoritmul general de trasare pentru cele două ecuații



obținute. Este evident că algoritmul poate fi aplicat pentru trasarea unei drepte ( $a_1 = a_2 = a_3 = 0$ ), cu condiția ca ceilalți coeficienți  $a_4, a_5, a_6$  să fie întregi sau raționali. După cum se va arăta în continuare, există cazuri particulare de degenerare când cele două drepte au coeficienți iraționali; în aceste cazuri este necesară înlocuirea prealabilă a coeficienților iraționali prin aproximări raționale suficient de precise.

În continuare prezentăm o analiză mai detaliată a cazurilor de degenerare a curbilor plane de gradul doi, cu deducerea expresiilor analitice ale celor două drepte componente; nu mai insistăm asupra detaliilor algoritmului de trasare pentru fiecare caz în parte, care nu ridică probleme de implementare deosebite.

Condiția necesară și suficientă de degenerare este (secțiunea 8.4.1):

$$\Delta = a_1 a_5^2 + a_3 a_4^2 - a_2 a_4 a_5 + (a_2^2 - 4a_1 a_3) a_6 = 0. \quad (4.22)$$

**Cazul 1.**  $\delta = a_2^2 - 4a_1 a_3 \neq 0$ . În acest caz conica are centru unic, de coordonate:

$$x_c = \frac{2a_3 a_4 - a_2 a_5}{a_2^2 - 4a_1 a_3}, \quad y_c = \frac{2a_1 a_5 - a_2 a_4}{a_2^2 - 4a_1 a_3} \quad (4.23)$$

și trece prin centru: se poate arăta că din (4.22) și (4.23) rezultă  $f(x_c, y_c) = 0$  (centrul reprezintă de fapt punctul de intersecție a celor două drepte componente). Deoarece avem:

$$\begin{aligned} f(x+x_c, y+y_c) &= a_1 x^2 + a_2 xy + a_3 y^2 + (2a_1 x_c + a_2 y_c + a_4)x + \\ &\quad + (a_2 x_c + 2a_3 y_c + a_5)y + f(x_c, y_c) = \\ &= a_1 x^2 + a_2 xy + a_3 y^2, \end{aligned} \quad (4.33)$$

rezultă că ecuația curbei se poate scrie sub forma:

$$f(x, y) = a_1(x-x_c)^2 + a_2(x-x_c)(y-y_c) + a_3(y-y_c)^2 = 0. \quad (4.24)$$

**1.1 •** Dacă  $\delta = a_2^2 - 4a_1 a_3 < 0$ , atunci ecuația (4.24) nu poate fi satisfăcută decât pentru  $x = x_c, y = y_c$ . Prin urmare, în acest caz conica se reduce la un singur punct  $(x_c, y_c)$ , ale cărui coordonate sînt date de formulele (4.23).

**1.2 •** Dacă  $\delta = a_2^2 - 4a_1 a_3 > 0$ , atunci conica se reduce la două drepte concurente, de ecuații:

$$2a_1 x + (a_2 \pm \sqrt{\delta})y + \left( a_4 + \frac{a_2 a_4 - 2a_1 a_5}{\pm \sqrt{\delta}} \right) = 0 \quad (4.25)$$

$$(a_2 \pm \sqrt{\delta})x + 2a_3y + \left(a_5 + \frac{a_2a_5 - 2a_3a_4}{\pm \sqrt{\delta}}\right) = 0$$

în care semnul din fața lui  $\sqrt{\delta}$  trebuie ales astfel încît să corespundă cu semnul efectiv al coeficientului  $a_2$  (a se vedea secțiunea 8.4.1).

**Cazul 2.**  $\delta = a_2^2 - 4a_1a_3 = 0$ . Conica nu are centru unic. Rezultă în primul rînd că  $a_1$  și  $a_3$  au același semn, deci putem presupune  $a_1 \geq 0$ ,  $a_3 \geq 0$  (eventual, este necesară o schimbare generală de semn a coeficienților, în faza inițială).

Din  $\Delta = 0$ ,  $\delta = 0$  deducem succesiv următoarele relații între coeficienți:

$$a_1a_5^2 + a_3a_4^2 - a_2a_4a_5 = 0 \Rightarrow a_1a_5^2 + a_3a_4^2 = a_2a_4a_5; \quad (4.26)$$

$$\begin{aligned} (a_2a_5 - 2a_3a_4)^2 &= a_2^2a_5^2 + 4a_3^2a_4^2 - 4a_2a_3a_4a_5 = \\ &= 4a_1a_3a_5^2 + 4a_3^2a_4^2 - 4a_3(a_1a_5^2 + a_3a_4^2) = 0 \Rightarrow \\ &\Rightarrow a_2a_5 = 2a_3a_4; \end{aligned} \quad (4.27)$$

$$\begin{aligned} (a_2a_4 - 2a_1a_5)^2 &= a_2^2a_4^2 + 4a_1^2a_5^2 - 4a_1a_2a_4a_5 = \\ &= 4a_1a_3a_4^2 + 4a_1^2a_5^2 - 4a_1(a_1a_5^2 + a_3a_4^2) = 0 \Rightarrow \\ &\Rightarrow a_2a_4 = 2a_1a_5. \end{aligned} \quad (4.28)$$

**2.1** • Dacă  $a_1 \neq 0$ , adică  $a_1 > 0$ , ecuația  $f(x, y) = 0$  se poate scrie sub forma echivalentă:

$$\begin{aligned} 4a_1^2x^2 + 4a_1a_2xy + 4a_1a_3y^2 + 4a_1a_4x + 4a_1a_5y + 4a_1a_6 &= 0 \Rightarrow \\ \Rightarrow 4a_1^2x^2 + 4a_1a_2xy + a_2^2y^2 + 4a_1a_4x + 2a_2a_4y + 4a_1a_6 &= 0 \Rightarrow \\ \Rightarrow (2a_1x + a_2y)^2 + 2a_4(2a_1x + a_2y) + 4a_1a_6 &= 0 \Rightarrow \\ \Rightarrow (2a_1x + a_2y + a_4)^2 &= a_4^2 - 4a_1a_6 \end{aligned} \quad (4.29)$$

în care am folosit relațiile (4.28) și  $\delta = 0$ . Distingem următoarele 3 subcazuri:

**2.1.1** • Dacă, în plus,  $a_4^2 > 4a_1a_6$ , atunci conica se reduce la două drepte paralele, de ecuații:

$$2a_1x + a_2y + a_4 + \sqrt{a_4^2 - 4a_1a_6} = 0 \quad (4.30)$$

$$2a_1x + a_2y + a_4 - \sqrt{a_4^2 - 4a_1a_6} = 0.$$

În acest caz trasarea se poate efectua folosind algoritmul general dezvoltat în secțiunea 8.4.6, aplicat ecuației  $f(x, y) = 0$  în forma inițială.

- 2.1.2 •** Dacă  $a_4^2 = 4a_1a_6$ , conica se reduce la două drepte confundate de ecuație comună:

$$2a_1x + a_2y + a_4 = 0. \quad (4.31)$$

Trasarea curbei se poate efectua aplicând algoritmul general pentru ecuația liniară (4.31), care are coeficienți întregi.

- 2.1.3 •** Dacă  $a_4^2 < 4a_1a_6$ , ecuația  $f(x, y) = 0$  nu reprezintă o curbă reală.

- 2.2 •** Dacă  $a_3 \neq 0$ , adică  $a_3 > 0$ , ecuația  $f(x, y) = 0$  se poate scrie sub forma echivalentă:

$$\begin{aligned} 4a_1a_3x^2 + 4a_2a_3xy + 4a_3^2y^2 + 4a_3a_4x + 4a_3a_5y + 4a_3a_6 &= 0 \Rightarrow \\ \Rightarrow a_2^2x^2 + 4a_2a_3xy + 4a_3^2y^2 + 2a_2a_5x + 4a_3a_5y + 4a_3a_6 &= 0 \Rightarrow \\ \Rightarrow (a_2x + 2a_3y)^2 + 2a_5(a_2x + 2a_3y) + 4a_3a_6 &= 0 \Rightarrow \\ \Rightarrow (a_2x + 2a_3y + a_5)^2 = a_5^2 - 4a_3a_6 &\quad (4.32) \end{aligned}$$

în care am folosit relațiile (4.27) și  $\delta = 0$ . Distingem din nou 3 subcazuri:

- 2.2.1 •** Dacă, în plus,  $a_5^2 > 4a_3a_6$ , atunci conica se reduce la două drepte paralele, de ecuații:

$$a_2x + 2a_3y + a_5 + \sqrt{a_5^2 - 4a_3a_6} = 0 \quad (4.33)$$

$$a_2x + 2a_3y + a_5 - \sqrt{a_5^2 - 4a_3a_6} = 0.$$

Algoritmul general aplicat ecuației  $f(x, y) = 0$  în forma inițială rezolvă corect problema trasării în acest caz.

- 2.2.2 •** Dacă  $a_5^2 = 4a_3a_6$ , conica se reduce la două drepte confundate de ecuație comună:

$$a_2x + 2a_3y + a_5 = 0. \quad (4.34)$$

Trasarea curbei se poate efectua aplicând algoritmul general pentru ecuația liniară (4.34), care are coeficienți întregi.

- 2.2.3 •** Dacă  $a_5^2 < 4a_3a_6$ , ecuația  $f(x, y) = 0$  nu reprezintă o curbă reală.

- 2.3 •** Dacă  $a_1 = a_3 = 0$ , atunci din  $\delta = 0$  rezultă  $a_2 = 0$ . Prin urmare, ecuația  $f(x, y) = a_4x + a_5y + a_6 = 0$  este de gradul întâi și reprezintă o dreaptă, care poate fi trasată prin aplicarea algoritmului general.

### 8.4.8. Considerații de implementare

Algoritmul de trasare a curbelor plane de gradul doi, prezentat în secțiunile anterioare, a fost proiectat astfel încît să permită o implementare cît mai eficientă cu ajutorul microprocesoarelor actuale de uz general. Toate variabilele și constantele folosite sînt întregi; în partea sa cea mai importantă din punct de vedere al eficienței, care este bucla principală de generare iterativă a punctelor (secțiunea 8.4.4), algoritmul folosește numai operații de adunare, scădere și comparație între numere întregi.

Mărimea clasei de curbe care pot fi generate este determinată de modul de alegere a reprezentărilor în memorie pentru variabilele și constantele utilizate de algoritm. Pentru aplicațiile practice curente, sînt suficiente și sînt recomandate următoarele forme de reprezentare:

- coeficienții  $a_1, a_2, a_3$  se reprezintă pe 8 sau 16 biți;
- coeficienții  $a_4, a_5$ , se reprezintă pe 16 biți;
- coeficientul  $a_6$  se reprezintă pe 32 biți;
- constanta  $\delta$  se reprezintă pe 16 biți;
- constanta  $\Delta$  se reprezintă pe 32 biți;
- variabilele de stare  $f, fx, fy$  și variabilele temporare  $t, f_0, f_1, \dots, f_7$  se reprezintă pe 16 biți;
- variabila  $D$ , utilizată în calcularea punctelor de intersecție cu marginile, se reprezintă pe 32 biți.

În general, expresiile de gradul 1 sau 2 în coeficienți și argumente (de exemplu  $\delta = a_2^2 - 4a_1a_3$ ,  $fx = 2a_1x + a_2y + a_4$ ,  $fy = a_2x + 2a_3y + a_5$ , etc.) se calculează pe 16 biți, iar expresiile de gradul 3 sau 4 (de exemplu  $\Delta, D$ , etc.) se calculează pe 32 biți. Variabila  $f$ , deși corespunde unei expresii de gradul 3, se poate reprezenta pe 16 biți, deoarece este întotdeauna egală cu valoarea funcției într-un punct din imediata vecinătate a curbei  $f(x, y) = 0$ .

Pentru mărirea eficienței în execuție, toate constantele derivate din coeficienți, folosite în bucla principală de generare (secvențele  $D0, D1, \dots, D7$  din secțiunea 8.4.4), de exemplu  $2a_1 + a_2, a_2 + 2a_3, a_1 + a_2 + a_3$ , etc., trebuie calculate o singură dată (pe 16 biți) la începutul programului. Este necesară alocarea în memorie a unui cuvînt de 16 biți pentru fiecare din aceste constante.

Prin urmare, pentru implementarea eficientă a buclei principale de generare a punctelor, este suficientă aritmetica pe 16 biți, în virgulă fixă, fără înmulțiri și împărțiri.

La începutul trasării unui arc de curbă sînt necesare operații de înmulțire între numere întregi pentru inițializarea variabilelor de stare (procedurile *arc\_up*, *arc\_up\_rev*, etc.). În plus, calcularea punctelor de intersecție ale curbei cu marginile ferestrei de vizualizare implică efectuarea



de înmulțiri, împărțiri și extrageri de rădăcini pătrate, care trebuie să furnizeze partea întreagă a rezultatului exact. Dacă procesorul utilizat nu dispune de instrucțiuni de înmulțire și împărțire, este necesară dezvoltarea unor rutine speciale pentru efectuarea acestor operații; de asemenea, este necesară o rutină specială pentru calcularea radicalilor. Eventual, este posibilă utilizarea subrutinelor corespunzătoare din biblioteca aritmetică a unui limbaj de nivel înalt. Eficiența acestor operații aritmetice nu este importantă pentru performanțele globale ale algoritmului, deoarece ele apar numai în afara buclei principale de generare incrementală a punctelor.

## 8.5. Concluzii

Concluzia generală este că trasarea incrementală a curbelor de gradul întâi și doi, pe dispozitive de afișare grafică cu rastu dreptunghiular, nu ridică probleme de implementare deosebite în cazul programării atente a rezultatelor teoretice. Pentru trasarea dreptelor și cercurilor, este suficientă aritmetica pe 8 sau 16 biți, în virgulă fixă, deoarece algoritmi respectivi utilizează numai operații de adunare, scădere și comparație de numere întregi.

Pentru trasarea unei curbe generale de gradul doi, aritmetica în virgulă mobilă este bineînțeles de mare utilitate, dar nu este neapărat necesară. Implementări foarte eficiente sînt posibile cu ajutorul microprocesoarelor actuale, cu aritmetică în virgulă fixă, cu sau fără instrucțiuni de înmulțire și împărțire.

## 8.6. Bibliografie

- [1] J.D. Foley, A. Van Dam  
*Fundamentals of Interactive Computer Graphics*, Addison Wesley, 1983
- [2] W.M. Newman, R.F. Sproull  
*Principles of Interactive Computer Graphics, Second Edition*, McGraw-Hill, 1979
- [3] J.E. Bresenham, R.A. Earnshaw, A.R. Forrest, R.J. Lansdown, M.L.V. Pitteway  
*Theoretical Foundations of Computer Graphics and CAD*, NATO ASI Series, Springer Verlag, 1988
- [4] J.E. Bresenham  
*A Linear Algorithm for Incremental Digital Display of Circular Arcs*, CACM 20, february 1977
- [5] Y. Suenaga, T. Kamae, T. Kabayashi  
*A High-Speed Algorithm for the Generation of Straight Lines and Circular Arcs*, IEEE Transactions on Computers, no. 10, october 1979
- [6] \* \* \* *Mică Enciclopedie Matematică*, Editura Tehnică, 1980



**Tudor Bălănescu  
Horia Georgescu**

**Liviu Sofonea  
Șerban Gavrila**

**Marian Gheorghe  
Ion Văduva**

## **PROGRAMAREA ÎN LIMBAJELE PASCAL ȘI TURBO PASCAL**

**Volumul I: Programarea în limbajul Pascal. Concepte fundamentale.**

**Volumul II: Programarea în limbajul TURBO PASCAL**

**Volumul I:** Lucrarea este un ghid de învățare a limbajului Pascal, îmbinând într-un mod foarte accesibil teoria și exercițiile practice. Scopul lucrării este punerea în evidență a simplității și clarității acestui limbaj foarte răspândit, ca și posibilitatea de a atinge o anumită disciplină a programării.

Lucrarea cuprinde:

- o introducere în care se prezintă câteva exemple de programare în limbaj Pascal pentru a forma cititorului o imagine de ansamblu asupra acestuia;
- capitolul 1 în care se prezintă concepte de lexic și sintaxă;
- capitolul 2 care abordează tipurile de date, variabile, constante și expresii ale limbajului;
- capitolul 3 în care se prezintă instrucțiunile (simple și structurate);
- capitolul 4 care se ocupă de noțiunile de procedură, funcții program și modul, ca mecanisme de abstractizare a algoritmilor;
- capitolul 5 prezintă metodologia lui Hoare de exprimare a raționamentelor asupra corectitudinii programelor;
- capitolul 6 prezintă facilitățile de depanare simbolică ale compilatorului Pascal - Oregon.

**Volumul II:** Lucrarea prezintă mediul de dezvoltare a programelor Turbo-Pascal, versiunea 5.5 creat de firma Borland International.

În prima parte se face o introducere gradată, bazată pe numeroase ilustrații, în principiile de funcționare și utilizare a mediului Turbo Pascal.

În următoarele capitole (1-4) sunt prezentate particularitățile limbajului de programare Turbo-Pascal, prin raportarea la descrierea conceptelor standard, conținută în "Programarea în limbajul Pascal - Concepte fundamentale".

Cap. 5 tratează principiile de organizare a programelor precum și tehnici de programare orientată pe obiecte.

Cap. 6 conține descrierea unităților standard. Sunt prezentate numeroase aplicații de utilizare a unităților Graph și Crt (editor grafic, scrierea textelor pe direcții arbitrare, grafica Turtle).

Lucrarea mai conține un număr de anexe cuprinzând elemente ale limbajului și comenzi de utilizare a mediului Turbo-Pascal.



Lucrarea se adresează studenților, absolvenților facultății de matematică și ai secțiilor de specialitate din institutele tehnice și economice.







- Obiectivul cărții este acela de a reuni aspectele de implementare și de aplicații pentru grafica pe calculator în limbajele moderne de programare **PASCAL** și **C**, unele dintre subiectele abordate fiind în premieră la noi în țară.
- Cartea se adresează studenților, chiar elevilor, cercetătorilor, cadrelor didactice și tuturor utilizatorilor calculatoarelor electronice din domeniul cercetării și proiectării asistate de calculator.
- Utilitatea cărții rezultă din faptul că subiectele tratate sînt rezultatul colaborării dintre specialiști ce lucrează în învățămînt, cercetare și în domeniul elaborării de software, și sînt susținute de multe programe executate pe calculator, împreună cu imaginile grafice corespunzătoare.



- **VOLUMUL I**, intitulat „**IMPLEMENTARE**”, abordează particularitățile de implementare a aspectelor grafice atît pe **minicalculatoare** (compatibile **PDP**), cît și pe **microcalculatoare** (compatibile **IBM-PC**).
- **VOLUMUL II**, intitulat „**APLICAȚII**”, abordează aplicații de grafică pe calculator în domeniile: teoria fractalilor, teoria curbelor și suprafețelor, geometria de tip „**TURTLE**”, trasarea curbelor pe dispozitivele de afișare grafică.